

ตัวควบคุมที่แปลงระบบควบคุมให้เป็นระบบเชิงเส้นด้วยการป้อนกลับชนิดปรับค่าเองได้สำหรับ  
ระบบจานหมุนทางกล



นาย ณะชัย วิภาวรศิลป์

ศูนย์วิทยทรัพยากร

วิทยานิพนธ์นี้เป็นส่วนหนึ่งของการศึกษาตามหลักสูตรปริญญาวิศวกรรมศาสตรมหาบัณฑิต

สาขาวิชาวิศวกรรมเครื่องกล ภาควิชาวิศวกรรมเครื่องกล

คณะวิศวกรรมศาสตร์ จุฬาลงกรณ์มหาวิทยาลัย

ปีการศึกษา 2552

ลิขสิทธิ์ของจุฬาลงกรณ์มหาวิทยาลัย

SELF-TUNING FEEDBACK LINEARIZATION CONTROLLER FOR A MECHANICAL DISK  
PLANT



Mr. Thanachai Viphavorasin

A Thesis Submitted in Partial Fulfillment of the Requirements  
for the Degree of Master of Engineering Program in Mechanical Engineering

Department of Mechanical Engineering

Faculty of Engineering

Chulalongkorn University

Academic Year 2009

Copyright of Chulalongkorn University

หัวข้อวิทยานิพนธ์

ตัวควบคุมที่แปลงระบบควบคุมให้เป็นระบบเชิงเส้นด้วยการ  
ป้อนกลับชนิดปรับค่าเองได้สำหรับระบบจานหมุนทางกล

โดย

นาย ณะชัย วิกาวรศิลป์

สาขาวิชา

วิศวกรรมเครื่องกล

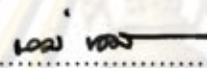
อาจารย์ที่ปรึกษาวิทยานิพนธ์หลัก

รองศาสตราจารย์ ดร. รัชทิน จันทร์เจริญ

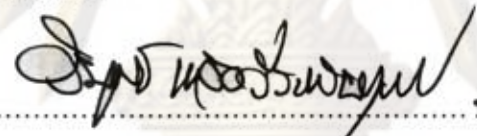
อาจารย์ที่ปรึกษาวิทยานิพนธ์ร่วม


ผู้ช่วยศาสตราจารย์ ดร. ศุภวุฒิ จันทรานูวัฒน์


คณะวิศวกรรมศาสตร์ จุฬาลงกรณ์มหาวิทยาลัย อนุมัติให้บัณฑิตวิทยาลัย  
เป็นส่วนหนึ่งของการศึกษาตามหลักสูตรปริญญาโทบัณฑิต


  
..... คณบดีคณะวิศวกรรมศาสตร์  
(รองศาสตราจารย์ ดร. บุญสม เลิศหิรัญวงศ์)

คณะกรรมการสอบวิทยานิพนธ์

  
..... ประธานกรรมการ  
(รองศาสตราจารย์ ดร. วิบูลย์ แสงวีระพันธุ์ศิริ)

  
..... อาจารย์ที่ปรึกษาวิทยานิพนธ์หลัก  
(รองศาสตราจารย์ ดร. รัชทิน จันทร์เจริญ)

  
..... อาจารย์ที่ปรึกษาวิทยานิพนธ์ร่วม  
(ผู้ช่วยศาสตราจารย์ ดร. ศุภวุฒิ จันทรานูวัฒน์)

  
..... กรรมการภายนอกมหาวิทยาลัย  
(อาจารย์ ดร. เจตวิทย์ ภัคทรัพย์พันธุ์)

ศูนย์วิจัยทรัพยากร  
จุฬาลงกรณ์มหาวิทยาลัย

ธนะชัย วิศวารศิลป์ : ตัวควบคุมที่แปลงระบบควบคุมให้เป็นระบบเชิงเส้นด้วยการ  
ป้อนกลับชนิดปรับค่าเองได้สำหรับระบบจานหมุนทางกล. (SELF-TUNING FEEDBACK  
LINEARIZATION CONTROLLER FOR A MECHANICAL DISK PLANT) อ.ที่ปรึกษา  
วิทยานิพนธ์หลัก : รศ.ดร.รัชทิน จันทรเจริญ, อ.ที่ปรึกษาวิทยานิพนธ์ร่วม : ผศ.ดร.ศุภาวุฒิ  
จันทรานูวัฒน์, 109 หน้า.

วิทยานิพนธ์นี้เป็นการนำเสนอวิธีการควบคุมติดตามทางเดินสำหรับระบบจานหมุนทางกลที่ไม่เป็นเชิง  
เส้น ตัวควบคุมได้รับการออกแบบบนพื้นฐานของการแปลงระบบควบคุมให้เป็นระบบเชิงเส้นด้วยการป้อนกลับ  
และการชดเชยพลวัตของระบบในระบบเวลาไม่ต่อเนื่อง แบบจำลองของระบบปิดจะมีลักษณะเป็นสมการทาง  
พีชคณิตกล่าวคือ เอาต์พุตในอนาคตเท่ากับอินพุตที่เวลาปัจจุบันโดยมีเวลาดำเนินการที่ ซึ่งเอื้อต่อการนำไปใช้ใ  
การควบคุมเส้นทางเดินของระบบ และเมื่อเปรียบเทียบกับวิธีการควบคุมที่แปลงระบบให้เป็นเชิงเส้นด้วยการ  
ป้อนกลับโดยทั่วไปจะพบว่าวิธีการนี้ไม่จำเป็นต้องใช้สัญญาณความเร็วและความเร่งของเส้นทางเดินอ้างอิง ผล  
การทดลองควบคุมระบบจริงแสดงให้เห็นว่าวิธีการควบคุมดังกล่าวสามารถควบคุมให้ระบบติดตามเส้นทางเดิน  
แบบต่อเนื่องที่ต้องการได้เป็นอย่างดี และเมื่อเปรียบเทียบกับวิธีการควบคุมที่แปลงระบบให้เป็นเชิงเส้นด้วยการ  
ป้อนกลับโดยทั่วไปพบว่าตัวควบคุมที่นำเสนอให้ผลการควบคุมที่ดีกว่าเมื่อสัญญาณอ้างอิงไม่เรียบ ในกรณีที่  
แบบจำลองของระบบมีพารามิเตอร์ที่ไม่ทราบค่าและเส้นทางเดินเป็นฟังก์ชันเป็นคาบ ความสามารถในการปรับ  
ค่าเองได้จะถูกติดตั้งในตัวควบคุมเพื่อประมาณค่าพารามิเตอร์ที่ไม่ทราบค่า โดยวิธีการปรับค่าของตัวควบคุม  
นั้นประสบความสำเร็จในการนำไปใช้ควบคุมให้ระบบติดตามทางเดินที่ต้องการได้แม้ว่าในตอนเริ่มต้น  
พารามิเตอร์ของระบบจะมีค่าไม่ถูกต้อง ในกรณีที่สัญญาณอ้างอิงมีลักษณะเป็นขั้นบันไดหรือมีความไม่ต่อเนื่อง  
สัญญาณอ้างอิงจะถูกปรับให้เป็นสัญญาณแบบเรียบเพื่อหลีกเลี่ยงไม่ให้สัญญาณควบคุมมีค่าสูงจนเกินไป โดย  
ใช้ฟังก์ชันถ่ายโอนของรูปมาตรฐานของระบบอันดับสองในการแปลงสัญญาณที่มีลักษณะเป็นขั้นบันไดให้เป็น  
สัญญาณใหม่ที่มีความเรียบ จากผลการทดลองแสดงให้เห็นว่าวิธีดังกล่าวสามารถรับมือกับสัญญาณอ้างอิงที่มี  
ลักษณะเป็นขั้นบันไดได้อย่างมีประสิทธิภาพ

ศูนย์วิทยทรัพยากร

จุฬาลงกรณ์มหาวิทยาลัย

ภาควิชา.....วิศวกรรมเครื่องกล.....

ลายมือชื่อนิสิต.....นาย วัชรพงศ์.....

สาขาวิชา.....วิศวกรรมเครื่องกล.....

ลายมือชื่ออ.ที่ปรึกษาวิทยานิพนธ์หลัก.....

ปีการศึกษา..... 2552.....

ลายมือชื่ออ.ที่ปรึกษาวิทยานิพนธ์ร่วม.....

# #5070294021 : MAJOR MECHANICAL ENGINEERING

KEYWORDS : SELF-TUNING CONTROLLER / FEEDBACK LINEARIZATION

THANACHAI VIPHAVORASIN : SELF-TUNING FEEDBACK LINEARIZATION CONTROLLER FOR A MECHANICAL DISK PLANT. THESIS ADVISOR : ASSOC. PROF. RATCHATIN CHANCHAROEN, Ph.D., THESIS CO-ADVISOR : ASST. PROF. SUPAVUT CHANTRANUWATHANA, Ph.D., 109 pp.

This Thesis proposes a technique to control a nonlinear mechanical disk plant to follow a trajectory. A controller is designed based on feedback linearization and suppression of the system dynamics in discrete-time. The resulting closed loop system behavior is thus in algebraic form, i.e., the output in the future equals the current input with a constant time delay. In this way, the control of the output trajectory is easy. Compared to conventional feedback linearization, this technique does not require velocity and acceleration command. The experimentation on the disk plant demonstrates that the technique is able to control the plant to perfectly track a desired smooth trajectory. Compared to conventional feedback linearization, the proposed controller is more effective, especially when reference signal is unsmooth. In case that the system model contains unknown parameter and trajectory is periodic, a self-tuning ability is to be installed in the controller to estimate the unknown parameter. The purposed self-tuning algorithm is also successfully implemented to give a perfect tracking result even when the plant parameter is not precise at the beginning. In case that the reference trajectory contains a step or discontinuity, the trajectory should be modified such that it becomes smooth trajectory to avoid high control effort. The standard second order transfer function could be used to convert the step trajectory into a new smooth trajectory. The experiment demonstrates that this technique can effectively control the system to follow a step trajectory as well.

ศูนย์วิจัยทรัพยากร

จุฬาลงกรณ์มหาวิทยาลัย

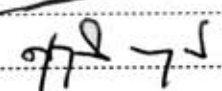
Department : Mechanical Engineering...

Student's Signature 

Field of Study : Mechanical Engineering...

Advisor's Signature 

Academic Year : 2009.....

Co-Advisor's Signature 

## กิตติกรรมประกาศ

วิทยานิพนธ์ฉบับนี้สำเร็จลุล่วงไปได้ด้วยความช่วยเหลืออย่างดียิ่งของ รองศาสตราจารย์ ดร. รัชทิน จันทรเจริญ อาจารย์ที่ปรึกษาวิทยานิพนธ์หลัก และ ผู้ช่วยศาสตราจารย์ ดร. ศุภวุฒิ จันทรานุกัณณ์ อาจารย์ที่ปรึกษาวิทยานิพนธ์ร่วม ที่ให้ความกรุณาช่วยเหลือและให้คำปรึกษาต่างๆ ทำให้วิทยานิพนธ์นี้สำเร็จลุล่วงไปได้ด้วยดี และขอขอบคุณพี่ๆ เพื่อนๆ ในระดับปริญญาโทและปริญญาเอกที่ให้คำปรึกษา และความช่วยเหลือในการทำวิทยานิพนธ์ รวมไปถึงครอบครัว และเพื่อนๆ ทุกคนที่เป็นกำลังใจให้ตลอด

สุดท้ายนี้ขอขอบพระคุณ จุฬาลงกรณ์มหาวิทยาลัย ที่ได้ปลูกฝังความเป็นบัณฑิตที่สมบูรณ์ให้แก่ข้าพเจ้าตั้งแต่ระดับปริญญาตรีเป็นต้นมา



ศูนย์วิทยทรัพยากร  
จุฬาลงกรณ์มหาวิทยาลัย

## สารบัญ

|                         | หน้า |
|-------------------------|------|
| บทคัดย่อภาษาไทย.....    | ง    |
| บทคัดย่อภาษาอังกฤษ..... | จ    |
| กิตติกรรมประกาศ.....    | ฉ    |
| สารบัญ.....             | ช    |
| สารบัญภาพ.....          | ฎ    |

|  | หน้า |
|--|------|
| บทที่ 1 บทนำ.....  | 1    |
| 1.1 ความเป็นมาและความสำคัญของปัญหา.....  | 1    |
| 1.2 วัตถุประสงค์ของการวิจัย.....   | 4    |
| 1.3 ขอบเขตของการวิจัย.....   | 4    |
| 1.4 วิธีการดำเนินงานวิจัย.....   | 5    |
| 1.5 ประโยชน์ที่ได้รับ.....   | 5    |
| บทที่ 2 เอกสารและงานวิจัยที่เกี่ยวข้อง.....  | 6    |
| 2.1 เอกสารและงานวิจัยที่เกี่ยวข้องกับการแปลงระบบเป็นเชิงเส้นด้วยการ<br>ป้อนกลับ.....       | 6    |
| 2.2 เอกสารและงานวิจัยที่เกี่ยวข้องกับการควบคุมแบบปรับตัวได้.....                           | 9    |
| 2.3 ตัวควบคุมที่นำเสนอ.....  | 13   |
| บทที่ 3 การแปลงระบบเป็นเชิงเส้นด้วยการป้อนกลับ.....  | 14   |
| 3.1 พื้นฐานการแปลงระบบเป็นเชิงเส้นด้วยการป้อนกลับ.....                                     | 14   |
| 3.2 การแปลงระบบเป็นเชิงเส้นด้วยการป้อนกลับสำหรับระบบจานหมุนทางกล.....                      | 17   |
| 3.2.1 ระบบจานหมุนทางกล.....  | 17   |
| 3.2.2 ตัวควบคุมที่ใช้การแปลงระบบเป็นเชิงเส้นด้วยการป้อนกลับสำหรับ<br>ระบบจานหมุนทางกล..... | 18   |
| 3.3 การจำลองการควบคุมด้วยคอมพิวเตอร์.....  | 22   |

|  | หน้า |
|--|------|
| 3.3.1 แบบจำลองระบบงานหมุนทางกล.....  | 22   |
| 3.3.2 ผลการจำลองเอาต์พุตของแบบจำลองระบบงานหมุนทางกล.....                               | 24   |
| 3.3.2 ผลการจำลองการควบคุมระบบงานหมุนทางกล.....   | 25   |
| 3.3.3.1 ผลการจำลองควบคุมให้เอาต์พุตของระบบติดตามทางเดิน<br>อ้างอิงแบบต่อเนื่อง.....    | 25   |
| 3.3.3.2 ผลการจำลองควบคุมให้เอาต์พุตของระบบติดตามทางเดิน<br>อ้างอิงแบบไม่ต่อเนื่อง..... | 26   |
| 3.3.4 สรุปผลการจำลองควบคุมระบบงานหมุน.....   | 29   |
| บทที่ 4 ตัวควบคุมชนิดปรับค่าเองได้.....  | 30   |
| 4.1 บทนำ.....  | 30   |
| 4.2 การออกแบบตัวควบคุม.....  | 33   |
| 4.3 การหาเอกลักษณ์ของระบบแบบออนไลน์.....   | 34   |
| 4.3.1 แบบจำลองโดยประมาณของระบบปิด.....   | 35   |
| 4.3.2 การประมาณค่าพารามิเตอร์แบบออนไลน์.....   | 37   |
| 4.3.3 การนำไปใช้ในการควบคุม.....   | 38   |
| 4.4 การจำลองควบคุมด้วยคอมพิวเตอร์.....   | 41   |
| 4.4.1 ผลการจำลองควบคุมระบบงานหมุนทางกล.....  | 42   |
| 4.4.1.1 ผลการจำลองควบคุมให้เอาต์พุตของระบบติดตามทางเดิน<br>อ้างอิงแบบต่อเนื่อง.....    | 42   |
| 4.4.1.2 ผลการจำลองควบคุมให้เอาต์พุตของระบบติดตามทางเดิน<br>อ้างอิงแบบไม่ต่อเนื่อง..... | 48   |
| 4.4.2 สรุปผลการจำลองควบคุมด้วยตัวควบคุมชนิดปรับค่าเองได้.....                          | 53   |
| บทที่ 5 การทดลอง.....  | 54   |
| 5.1 อุปกรณ์ที่ใช้ในการทดลอง.....   | 54   |
| 5.2 ระบบควบคุมที่ใช้ในการทดลอง.....  | 57   |
| 5.3 ผลการทดลองกรณีทราบแบบจำลองของระบบทั้งหมด.....                                      | 59   |



|   | หน้า |
|---|------|
| 5.3.1 ผลการทดลองควบคุมให้จามหมุนติดตามสัญญาณทางเดินอ้างอิง<br>ชายน์สวีป.....      | 59   |
| 5.3.2 ผลการทดลองควบคุมให้จามหมุนติดตามสัญญาณทางเดินอ้างอิง<br>จากจามหมุนเล็ก..... | 62   |
| 5.3.3 ผลการทดลองควบคุมให้จามหมุนมีการตอบสนองตามพลวัตที่<br>กำหนด.....             | 66   |
| 5.3.4 สรุปการทดลองควบคุมระบบจามหมุนในกรณีทีทราบแบบจำลองของ<br>ระบบทั้งหมด.....    | 67   |
| 5.4 ผลการทดลองที่สองกรณีทราบแบบจำลองของระบบบางส่วน.....                           | 67   |
| 5.4.1 ผลการทดลองควบคุมให้จามหมุนติดตามสัญญาณทางเดินอ้างอิง<br>ชายน์สวีป.....      | 68   |
| 5.4.2 การทดลองควบคุมให้จามหมุนติดตามสัญญาณทางเดินอ้างอิง<br>แบบต่อเนื่องใดๆ.....  | 73   |
| 5.4.3 การทดลองควบคุมให้จามหมุนติดตามสัญญาณทางเดินอ้างอิง<br>รูปคลื่นพัลส์.....    | 78   |
| 5.4.4 สรุปผลการด้วยตัวควบคุมชนิดปรับค่าเองได้.....                                | 82   |
| บทที่ 6 สรุปการวิจัยและข้อเสนอแนะ.....  | 83   |
| 6.1 สรุปผลการวิจัย.....   | 83   |
| 6.2 ข้อเสนอแนะ.....   | 84   |
| รายการอ้างอิง.....  | 86   |
| ภาคผนวก.....  | 91   |
| ภาคผนวก ก. โปรแกรมที่ใช้ในการจำลองและควบคุมระบบจามหมุน.....                       | 91   |

|  |     |
|--|-----|
| บทความทางวิชาการที่ได้นำเสนอในการประชุมวิชาการเครือข่ายวิศวกรรมเครื่องกลแห่งประเทศไทย ครั้งที่ 23 (The 23 <sup>rd</sup> Conference of the Mechanical Engineering Network of Thailand) ซึ่งจัดขึ้นที่จังหวัดเชียงใหม่ระหว่างวันที่ 4-7 พฤศจิกายน 2552.... | 100 |
| ประวัติผู้เขียนวิทยานิพนธ์.....  | 109 |



# ศูนย์วิทยทรัพยากร จุฬาลงกรณ์มหาวิทยาลัย

## สารบัญภาพ

|             | หน้า  |
|-------------|---|
| รูปที่ 3.1  | ถังน้ำในระบบควบคุมระดับของเหลวในถัง..... 14   |
| รูปที่ 3.2  | แผนภาพการควบคุมทางเดินโดยการแปลงระบบเป็นเชิงเส้นด้วยการป้อนกลับ. 19   |
| รูปที่ 3.3  | แผนภาพการควบคุมทางเดินโดยการแปลงระบบเป็นเชิงเส้นด้วยการป้อนกลับ<br>ในรูปแบบเวลาไม่ต่อเนื่อง..... 21             |
| รูปที่ 3.4  | ระบบจานหมุนทางกลที่ใช้ในการจำลอง..... 24  |
| รูปที่ 3.5  | ผลการจำลองเอาต์พุตของแบบจำลองในรูปสมการดิฟเฟอเรนซ์ที่คาบเวลาสุ่ม<br>ต่างๆ เปรียบเทียบกับเอาต์พุตของระบบ..... 24 |
| รูปที่ 3.6  | แผนภาพการจำลองควบคุมทางเดินของระบบจานหมุนทางกล..... 25  |
| รูปที่ 3.7  | ผลการจำลองควบคุมระบบจานหมุนทางกลให้ติดตามทางเดินแบบต่อเนื่องที่<br>คาบเวลาสุ่มต่างๆ ..... 26                    |
| รูปที่ 3.8  | ผลการจำลองควบคุมระบบจานหมุนทางกลให้ติดตามทางเดินแบบขั้นบันได... 27  |
| รูปที่ 3.9  | แผนภาพการจำลองควบคุมทางเดินของระบบจานหมุนทางกลสำหรับทางเดิน<br>อ้างอิงที่มีลักษณะเป็นขั้นบันได..... 28          |
| รูปที่ 3.10 | ผลการจำลองควบคุมระบบจานหมุนทางกลให้ติดตามทางเดินแบบขั้นบันได<br>โดยกำหนดพลวัตของฟังก์ชันถ่ายโอนแบบต่างๆ..... 29 |
| รูปที่ 4.1  | การควบคุมแบบป้อนกลับทั่วไป..... 31  |
| รูปที่ 4.2  | การควบคุมแบบปรับตัวได้..... 31  |
| รูปที่ 4.3  | ตัวควบคุมชนิดปรับค่าเองได้..... 32  |
| รูปที่ 4.4  | แผนผังแบบจำลองโดยประมาณของระบบปิด..... 36   |
| รูปที่ 4.5  | ตารางค้นหาหนึ่งมิติที่มีข้อมูล $m$ จุด..... 37  |
| รูปที่ 4.6  | ความคลาดเคลื่อนของข้อมูลยอมรับได้รอบจุดข้อมูลในตารางค้นหา..... 38   |
| รูปที่ 4.7  | แผนผังแสดงการปรับปรุงพารามิเตอร์ของตัวควบคุม..... 40  |
| รูปที่ 4.8  | แผนภาพระบบควบคุมจานหมุนทางกลด้วยตัวควบคุมที่ชนิดปรับค่าเองได้..... 41   |
| รูปที่ 4.9  | แผนภาพการจำลองควบคุมทางเดินของระบบจานหมุนทางกลด้วยตัวควบคุม<br>ชนิดปรับค่าเองได้..... 42                        |
| รูปที่ 4.10 | ผลการจำลองควบคุมระบบจานหมุนให้ติดตามทางเดินแบบต่อเนื่องด้วยตัว<br>ควบคุมชนิดปรับค่าเองได้..... 45               |

|             |   |    |
|-------------|---|----|
| รูปที่ 4.11 | ผลลัพธ์เมื่อชดเชยเวลาหน่วงของการจำลองควบคุมระบบงานหมุนให้ติดตาม<br>ทางเดินแบบต่อเนื่องด้วยตัวควบคุมชนิดปรับค่าเองได้.....         | 47 |
| รูปที่ 4.12 | การลู่เข้าของฟังก์ชัน $\hat{F}$ สู่มูลค่าจริง ในการจำลองควบคุมระบบงานหมุนให้<br>ติดตามทางเดินอ้างอิงแบบต่อเนื่อง.....             | 47 |
| รูปที่ 4.13 | แผนภาพการจำลองควบคุมทางเดินของระบบงานหมุนทางกลสำหรับทางเดิน<br>อ้างอิงที่มีลักษณะเป็นขั้นบันไดด้วยตัวควบคุมชนิดปรับค่าเองได้..... | 48 |
| รูปที่ 4.14 | ผลการจำลองควบคุมระบบงานหมุนให้ติดตามทางเดินรูปคลื่นพัลส์ด้วยตัว<br>ควบคุมชนิดปรับค่าเองได้.....                                   | 50 |
| รูปที่ 4.15 | ผลลัพธ์เมื่อชดเชยเวลาหน่วงของการจำลองควบคุมระบบงานหมุนให้ติดตาม<br>ทางเดินรูปคลื่นพัลส์ด้วยตัวควบคุมชนิดปรับค่าเองได้.....        | 52 |
| รูปที่ 4.16 | การลู่เข้าของฟังก์ชัน $\hat{F}$ สู่มูลค่าจริง ในการจำลองควบคุมระบบงานหมุนให้<br>ติดตามทางเดินอ้างอิงรูปคลื่นพัลส์.....            | 52 |
| รูปที่ 5.1  | แผงวงจร Sensoray model 626.....   | 55 |
| รูปที่ 5.2  | ชุดทดลองระบบงานหมุนทางกล ECP model 220.....   | 56 |
| รูปที่ 5.3  | ชุดทดลองควบคุมระบบงานหมุนทางกล.....   | 56 |
| รูปที่ 5.4  | ระบบงานหมุนทางกลที่ต้องการควบคุม.....   | 57 |
| รูปที่ 5.5  | ระบบควบคุมทางเดินของงานหมุนทางกล.....   | 58 |
| รูปที่ 5.6  | ผลการควบคุมระบบงานหมุนด้วยตัวควบคุมที่นำเสนอ เปรียบเทียบกับวิธีการ<br>ควบคุมแบบทั่วไป.....  | 60 |
| รูปที่ 5.7  | ผลลัพธ์เมื่อชดเชยเวลาหน่วงของการควบคุมระบบงานหมุนด้วยตัวควบคุมที่<br>นำเสนอ เปรียบเทียบกับวิธีการควบคุมแบบทั่วไป.....             | 61 |
| รูปที่ 5.8  | ผลการควบคุมให้งานหมุนติดตามสัญญาณอ้างอิงจากงานหมุนเล็ก.....   | 63 |
| รูปที่ 5.9  | ผลลัพธ์เมื่อชดเชยเวลาหน่วงของการควบคุมให้งานหมุนติดตามสัญญาณ<br>อ้างอิงจากงานหมุนเล็ก.....  | 65 |
| รูปที่ 5.10 | ผลการควบคุมให้ระบบงานหมุนทางกลติดตามทางเดินแบบขั้นบันไดโดย<br>กำหนดพลวัตของฟังก์ชันถ่ายโอนแบบต่างๆ.....                           | 66 |
| รูปที่ 5.11 | ผลการควบคุมให้ระบบงานหมุนติดตามทางเดินอ้างอิงซายน์สแควร์ด้วยตัว<br>ควบคุมชนิดปรับค่าเองได้.....                                   | 70 |

|             |   |    |
|-------------|---|----|
| รูปที่ 5.12 | ผลลัพธ์เมื่อชดเชยเวลาหน่วงของการควบคุมให้ระบบงานหมุนติดตามทางเดิน<br>ข้างอิงชายน์สวีปด้วยตัวควบคุมชนิดปรับค่าเองได้.....        | 72 |
| รูปที่ 5.13 | การลู่เข้าของฟังก์ชัน $\hat{F}$ สู่อค่าจริง ในการจำลองควบคุมระบบงานหมุนให้<br>ติดตามทางเดินข้างอิงชายน์สวีป.....                | 72 |
| รูปที่ 5.14 | ผลการควบคุมให้ระบบงานหมุนติดตามทางเดินข้างอิงแบบต่อเนื่องใดๆ ด้วย<br>ตัวควบคุมชนิดปรับค่าเองได้.....                            | 75 |
| รูปที่ 5.15 | ผลลัพธ์เมื่อชดเชยเวลาหน่วงของการควบคุมให้ระบบงานหมุนติดตามทางเดิน<br>ข้างอิงแบบต่อเนื่องใดๆ ด้วยตัวควบคุมชนิดปรับค่าเองได้..... | 77 |
| รูปที่ 5.16 | การลู่เข้าของฟังก์ชัน $\hat{F}$ สู่อค่าจริง ในการจำลองควบคุมระบบงานหมุนให้<br>ติดตามทางเดินข้างอิงแบบต่อเนื่องใดๆ.....          | 77 |
| รูปที่ 5.17 | ผลการควบคุมให้ระบบงานหมุนติดตามทางเดินรูปคลื่นพัลส์ด้วยตัวควบคุม<br>ชนิดปรับค่าเองได้.....                                      | 79 |
| รูปที่ 5.18 | ผลลัพธ์เมื่อชดเชยเวลาหน่วงของการควบคุมให้ระบบงานหมุนให้ติดตาม<br>ทางเดินรูปคลื่นพัลส์ด้วยตัวควบคุมชนิดปรับค่าเองได้.....        | 81 |
| รูปที่ 5.19 | การลู่เข้าของฟังก์ชัน $\hat{F}$ สู่อค่าจริง ในการจำลองควบคุมระบบงานหมุนให้<br>ติดตามทางเดินข้างอิงรูปคลื่นพัลส์.....            | 81 |
| รูปที่ ก.1  | โปรแกรมจำลองเอาต์พุตของแบบจำลองระบบงานหมุนทางกล.....  | 92 |
| รูปที่ ก.2  | หน้าต่างการกำหนดระเบียบวิธีเชิงตัวเลขที่ใช้ในโปรแกรมจำลองของโปรแกรม<br>แมทแล็บ/ซิมูลิงค์.....                                   | 92 |
| รูปที่ ก.3  | โปรแกรมจำลองควบคุมระบบงานหมุนทางกลด้วยวิธีแปลงระบบเป็นเชิงเส้น<br>ด้วยการป้อนกลับที่นำเสนอ.....                                 | 94 |
| รูปที่ ก.4  | โปรแกรมจำลองควบคุมระบบงานหมุนทางกลด้วยตัวควบคุมชนิดปรับค่าเอง<br>ได้.....   | 95 |
| รูปที่ ก.5  | หน้าต่างกำหนดพารามิเตอร์การสื่อสารของ xPC Target.....   | 96 |
| รูปที่ ก.6  | หน้าต่างสร้างบูทดิสก์สำหรับ Target PC ของ xPC Target.....   | 97 |
| รูปที่ ก.7  | โปรแกรมควบคุมระบบงานหมุนทางกลด้วยวิธีแปลงระบบเป็นเชิงเส้นด้วยการ<br>ป้อนกลับที่นำเสนอ.....                                      | 98 |
| รูปที่ ก.8  | โปรแกรมควบคุมระบบงานหมุนทางกลด้วยตัวควบคุมชนิดปรับค่าเองได้.....  | 99 |

## บทที่ 1

### บทนำ

#### 1.1 ความเป็นมาและความสำคัญของปัญหา

ในปัจจุบันมีการใช้ระบบควบคุมอัตโนมัติ (Automatic control) กันอย่างแพร่หลายทั้งในอุตสาหกรรมการผลิต โรงไฟฟ้า เครื่องบิน รถยนต์ แม้แต่อุปกรณ์เครื่องใช้ไฟฟ้าที่ใช้ตามครัวเรือนก็ได้มีการนำระบบควบคุมอัตโนมัติมาประยุกต์ใช้ จากแต่ก่อนที่ระบบหรืออุปกรณ์ต่างๆ มีความซับซ้อนต่ำและง่ายต่อการออกแบบตัวควบคุม แต่ต่อมาเมื่อได้มีการพัฒนาเทคโนโลยีต่างๆ เพื่อตอบสนองต่อการดำเนินชีวิตของมนุษย์ให้มีความสะดวกสบายและปลอดภัยสูงสุด ส่งผลให้ระบบต่างๆ เริ่มมีความซับซ้อนขึ้น เป็นผลทำให้เกิดการค้นคว้า วิจัย และพัฒนาวิธีการ เทคนิค และทฤษฎีระบบควบคุม เพื่อให้สามารถรับมือกับระบบที่มีความซับซ้อนมากขึ้นได้

การออกแบบตัวควบคุมที่ทำให้เอาต์พุตของระบบไม่เชิงเส้นติดตามทางเดินถือเป็นงานที่ทำหาย เนื่องจากเอาต์พุตและสัญญาณควบคุมมีความสัมพันธ์แบบไม่เชิงเส้น ส่งผลให้ตัวควบคุมที่ออกแบบบนพื้นฐานของการประมาณระบบให้เป็นเชิงเส้นรอบจุดสมดุลหรือจุดทำงานนั้นให้ผลการควบคุมไม่เป็นที่น่าพอใจสำหรับระบบซึ่งทำงานบนช่วงการทำงานที่กว้าง เนื่องจากตัวควบคุมแบบเชิงเส้นที่ออกแบบโดยใช้การประมาณระบบให้เป็นเชิงเส้นรอบจุดทำงานเพียงจุดเดียวนั้นไม่สามารถชดเชยความไม่เป็นเชิงเส้นที่ครอบคลุมช่วงการทำงานได้อย่างเหมาะสม

เมื่อหลายปีที่ผ่านมาปัญหานี้ได้รับความสนใจเพิ่มมากขึ้นในภาคอุตสาหกรรม ชูตส่งกำลังทางกลถูกแทนที่ด้วยเทคโนโลยีทางอิเล็กทรอนิกส์ที่เรียกว่าบายไวร์ (By Wire) ยกตัวอย่างเช่น คันเร่งของยานยนต์ซึ่งใช้เทคโนโลยีนี้ โดยตำแหน่งของคันเร่งจะถูกตรวจจับโดยเซ็นเซอร์และส่งผ่านมาทางสายสัญญาณเพื่อนำมาใช้ในการเปิดลิ้นปีกผีเสื้อ เช่นเดียวกันกับเทคโนโลยี "Steer by wire" ที่ถูกนำมาใช้กับยานยนต์รุ่นใหม่ในขณะนี้ นอกจากนี้ยังมีงานด้านอื่นที่ต้องการตัวควบคุมทางเดินที่มีความแม่นยำอีกเช่น อุปกรณ์มาสเตอร์/สเลฟ หุ่นยนต์ที่ขับเคลื่อนด้วยความเร็วสูง และเครื่องจักรซีเอ็นซีความเร็วสูง

ในความเป็นจริงแล้วระบบทางกลล้วนแล้วแต่เป็นระบบไม่เชิงเส้น ระบบโดยทั่วไปจะประกอบด้วยแรงเสียดทานซึ่งจะมีความไม่เป็นเชิงเส้นสูงเมื่อมีแรงเสียดทานแห้ง (Dry Friction) รวมอยู่ด้วย ความไม่เป็นเชิงเส้นเนื่องจากแรงโน้มถ่วง และการเปลี่ยนแปลงของความ

เฉื่อยหรือภาวะ ทำให้ตัวควบคุมพีไอดีให้ผลการควบคุมไม่เป็นที่น่าพอใจ โดยเฉพาะการควบคุมให้ระบบติดตามทางเดิน ตัวควบคุมนี้ไม่สามารถควบคุมให้ค่าความผิดพลาดของการติดตามทางเดิน (Tracking Error) เข้าสู่ศูนย์ได้ (Asymptotically Stability) ดังนั้นการควบคุมระบบไม่เชิงเส้นจึงถูกนำมาใช้ เนื่องจากตัวควบคุมสำหรับระบบไม่เชิงเส้นมีความสามารถในการจัดการกับความไม่เชิงเส้นได้โดยตรงบนช่วงการทำงานที่กว้าง

วิธีการที่นำมาใช้ในการออกแบบตัวควบคุมติดตามทางเดินอย่างได้ผลสำหรับระบบไม่เชิงเส้นคือ วิธีการแปลงระบบให้เป็นเชิงเส้นด้วยการป้อนกลับ (Conventional Feedback Linearization) ซึ่งโดยทั่วไปนั้น สัญญาณควบคุมจะประกอบด้วยสองส่วนคือ ส่วนป้อนกลับเพื่อแปลงระบบให้เป็นเชิงเส้น และส่วนควบคุมให้ระบบติดตามทางเดิน สำหรับส่วนป้อนกลับเพื่อแปลงระบบให้เป็นเชิงเส้นจะคำนวณสัญญาณควบคุมบนพื้นฐานของการป้อนกลับสเตต เพื่อทำให้ระบบปิดเป็นเชิงเส้น จากนั้นสัญญาณควบคุมของส่วนควบคุมให้ระบบติดตามทางเดินจะถูกคำนวณจากระบบปิดเชิงเส้นเพื่อควบคุมให้ค่าความผิดพลาดของการติดตามทางเดินเข้าสู่ศูนย์ โดยทั้งสองส่วนจะทำงานร่วมกันในรูปแบบของตัวควบคุมติดตามทางเดินซึ่งให้ผลการควบคุมทางเดินที่มีประสิทธิภาพ

สำหรับระบบทางกลอันดับสอง (Second Order Mechanical Systems) ในกรณีที่เราทราบแบบจำลองพลวัตของระบบเชิงเส้นที่มีความแม่นยำ จะสามารถนำสัญญาณตำแหน่งอ้างอิง อนุพันธ์อันดับหนึ่งและอันดับสองของสัญญาณตำแหน่งอ้างอิงมาใช้คำนวณหาสัญญาณควบคุมโดยใช้พลวัตผกผัน (Inverse Dynamic) ของระบบเชิงเส้น ซึ่งเมื่อนำสัญญาณควบคุมที่ถูกต้องคำนวณด้วยวิธีการนี้ไปใช้ควบคุมพลวัตของระบบเชิงเส้นจะให้ผลลัพธ์ของทางเดินที่มีความแม่นยำ และเนื่องจากระบบปิดเป็นเชิงเส้น การพิสูจน์เสถียรภาพของระบบจึงสามารถทำได้โดยใช้ทฤษฎีของระบบเชิงเส้น

ความยุ่งยากของการควบคุมให้ระบบติดตามทางเดินอ้างอิงสำหรับระบบไม่เชิงเส้นด้วยวิธีการแปลงระบบให้เป็นเชิงเส้นด้วยการป้อนกลับโดยทั่วไป คือต้องใช้อนุพันธ์อันดับหนึ่งและอันดับสองของสัญญาณตำแหน่งอ้างอิง และอนุพันธ์อันดับหนึ่งของตำแหน่งจริงในการคำนวณสัญญาณควบคุม โดยเฉพาะกับอุปกรณ์มอเตอร์/สเลฟ และอุปกรณ์บายัวร์ ซึ่งใช้อุปกรณ์อินพุต (Input device) เป็นเครื่องกำเนิดสัญญาณตำแหน่งอ้างอิงที่ถูกควบคุมโดยมนุษย์ อาจทำให้สัญญาณตำแหน่งอ้างอิงมีการสั่นหรือเป็นสัญญาณที่ไม่เรียบ ส่งผลถึงความผิดพลาดของอนุพันธ์ของสัญญาณตำแหน่งอ้างอิงต่อเนื่องไปถึงผลการควบคุม ทั้งนี้อนุพันธ์อันดับหนึ่งและ

อนุพันธ์อันดับสองของตำแหน่งอ้างอิงจะต้องถูกคำนวณในเวลาจริง (real-time) หรือต้องถูกตรวจวัดในเวลาจริง ซึ่งจำเป็นต้องความสามารถในการคำนวณของฮาร์ดแวร์ที่สูงหรือเพิ่มอุปกรณ์ตรวจวัดจึงเป็นการเพิ่มต้นทุนของระบบควบคุม นอกจากนี้ในการคำนวณสัญญาณควบคุมต้องใช้ทั้งการป้อนกลับสดเพื่อชดเชยความไม่เป็นเชิงเส้นของระบบ และใช้การคำนวณบนพื้นฐานของวิธีการพลวัตผกผันของระบบเชิงเส้น เพื่อนำไปใช้ในการควบคุมพลวัตของระบบให้สามารถติดตามทางเดินแบบต่อเนื่องได้เป็นอย่างดี

วิธีการจัดการกับปัญหานี้คือ สัญญาณควบคุมในส่วนของการป้อนกลับต้องไม่เพียงแต่ชดเชยความไม่เป็นเชิงเส้นของระบบแต่ต้องถูกออกแบบให้ชดเชยพลวัตของระบบ ทำให้ระบบปิดอยู่ในรูปสมการทางพีชคณิตของความสัมพันธ์ระหว่างสัญญาณอินพุตและเอาต์พุต สัญญาณตำแหน่งอ้างอิงจึงสามารถนำมาใช้อ้างอิงได้โดยตรง โดยที่ระบบยังคงสามารถติดตามทางเดินได้เป็นอย่างดี

อีกปัญหาหนึ่งสำหรับวิธีการแปลงระบบให้เป็นเชิงเส้นด้วยการป้อนกลับก็คือแบบจำลองพลวัตของระบบไม่เชิงเส้นต้องมีความแม่นยำเพียงพอ ซึ่งการหาแบบจำลองทางคณิตศาสตร์ (Mathematic Model) ที่มีความแม่นยำสามารถสร้างได้ยาก และถึงแม้จะสามารถสร้างแบบจำลองเพื่อใช้ในการควบคุมขึ้นมาได้ แต่ก็ยังมีความแตกต่างของแบบจำลองกับระบบจริง เนื่องจากความเป็นพลวัตของระบบ ทำให้พารามิเตอร์หลายๆ ตัวในระบบ มีค่าเปลี่ยนแปลงไปตลอดเวลา ซึ่งการเปลี่ยนแปลงพารามิเตอร์ของระบบอาจส่งผลให้ตัวควบคุมไม่สามารถรักษาสมรรถนะของระบบควบคุมไว้ได้

ปัญหาเหล่านี้สามารถแก้ไขโดยออกแบบให้ตัวควบคุมสามารถปรับตัวได้ โดยใช้การหาเอกลักษณ์ของระบบ (System Identification) ซึ่งเป็นวิธีการจำลองระบบพลวัตขึ้นมาจากการใช้ข้อมูลอินพุตที่สอดคล้องกับค่าเอาต์พุตของระบบที่ได้จากการทดลอง วิธีการนี้ช่วยลดความยุ่งยากในการหาแบบจำลองขอระบบที่มีความซับซ้อนและไม่เป็นเชิงเส้นสูง อีกทั้งพารามิเตอร์ของแบบจำลองสามารถจะปรับค่าได้แบบออนไลน์ ตามการเปลี่ยนแปลงพารามิเตอร์ของระบบที่เกิดขึ้น วิธีการควบคุมที่ออกแบบโดยใช้การหาเอกลักษณ์ของระบบนั้นคือ ตัวควบคุมชนิดปรับค่าเองได้ (Self-tuning Controller) ซึ่งเป็นตัวควบคุมแบบปรับตัวได้ (Adaptive Controller) มีจุดเด่นคือ ตัวควบคุมสามารถปรับเกนของตัวควบคุมได้แบบออนไลน์ เพื่อคงไว้ซึ่งสมรรถนะของระบบควบคุมเมื่อมีความไม่แน่นอนของพารามิเตอร์หรือมีการเปลี่ยนแปลงพารามิเตอร์ของระบบเกิดขึ้น โดยไม่ต้องออกแบบตัวควบคุมใหม่



ดังเหตุผลที่กล่าวมาข้างต้น วิทยานิพนธ์นี้จึงนำเสนอแนวคิดของตัวควบคุมชนิดปรับค่าเองได้สำหรับระบบไม่เชิงเส้น โดยใช้พื้นฐานของวิธีการแปลงระบบให้เป็นเชิงเส้นด้วยการป้อนกลับ หรือตัวควบคุมที่แปลงระบบควบคุมเป็นระบบเชิงเส้นด้วยการป้อนกลับชนิดปรับค่าเองได้ (Self-tuning Feedback Linearization Controller) ซึ่งจะรวมเอาข้อดีของวิธีการทั้งสองเข้าด้วยกัน โดยตัวควบคุมที่นำเสนอเป็นการออกแบบเพื่อควบคุมทางเดินของระบบจานหมุนทางกล (Mechanical Disk Plant)

## 1.2 วัตถุประสงค์ของการวิจัย

1) นำเสนอแนวคิดและพัฒนาตัวควบคุมติดตามทางเดิน (Trajectory Controller) สำหรับใช้ในการควบคุมระบบจานหมุนทางกล (Mechanical Disk Plant) โดยประยุกต์ใช้วิธีการแปลงระบบควบคุมเป็นระบบเชิงเส้นด้วยการป้อนกลับ (Feedback Linearization) ร่วมกับตัวควบคุมชนิดปรับค่าเองได้ (Self-tuning Controller)

2) ศึกษาข้อดีข้อเสียและสมรรถภาพของตัวควบคุมที่แปลงระบบควบคุมเป็นระบบเชิงเส้นด้วยการป้อนกลับชนิดปรับค่าเองได้ (Self-tuning Feedback Linearization Controller) สำหรับระบบจากหมุนทางกล

## 1.3 ขอบเขตของการวิจัย

1) พัฒนาและออกแบบตัวควบคุมติดตามทางเดินสำหรับระบบไม่เชิงเส้น โดยใช้วิธีการแปลงระบบควบคุมให้เป็นระบบเชิงเส้น ร่วมกับแบบจำลองโดยประมาณของระบบ และตัวควบคุมสามารถปรับค่าเองได้แบบออนไลน์ สำหรับใช้ในการควบคุมทางเดินของระบบจานหมุนทางกลที่มีแบบจำลองพลวัต (Dynamic Model) ดังสมการที่ (1.1)

$$\tau = J(\theta)\ddot{\theta} + f(\theta, \dot{\theta}) \quad (1.1)$$

โดยที่  $\tau$  คือ อินพุตทอร์ก

$\theta$  คือ ตำแหน่งมุมของจานหมุน (เอาต์พุตที่สนใจ)

$J(\theta) = J$  คือ โมเมนต์ความเฉื่อยซึ่งมีค่าคงที่

$f(\theta, \dot{\theta})$  คือ ฟังก์ชันความไม่เป็นเชิงเส้นเช่น แรงเสียดทานแห้ง แรงโน้มถ่วง

2) ทำการจำลองระบบควบคุมด้วยระเบียบวิธีเชิงตัวเลข (Numerical Method)

3) ทดลองควบคุมระบบจริง ศึกษาผลการควบคุม ข้อดีข้อเสียและสมรรถภาพของตัวควบคุมที่แปลงระบบควบคุมเป็นระบบเชิงเส้นด้วยการป้อนกลับชนิดปรับค่าเองได้สำหรับระบบงานหมุนเชิงกล

#### 1.4 วิธีการดำเนินงานวิจัย

1) ศึกษาและค้นคว้าผลงานวิจัยในช่วงเวลาที่ผ่านมา ที่เกี่ยวข้องกับตัวควบคุมชนิดปรับค่าเองได้ การหาเอกลักษณ์ของระบบ (System Identification) และวิธีการแปลงระบบควบคุมเป็นระบบเชิงเส้นด้วยการป้อนกลับ ศึกษาแนวคิด และทฤษฎี รวมไปถึงข้อดีข้อเสียและประสิทธิภาพของวิธีการต่างๆ เพื่อนำมาปรับใช้กับตัวควบคุมที่แปลงระบบควบคุมเป็นระบบเชิงเส้นด้วยการป้อนกลับชนิดปรับค่าเองได้

2) ออกแบบโครงสร้างของตัวควบคุมที่แปลงระบบควบคุมเป็นระบบเชิงเส้นด้วยการป้อนกลับชนิดปรับค่าเองได้ สำหรับควบคุมทางเดินของระบบงานหมุนทางกล

3) จำลองการควบคุม ของตัวควบคุมกับระบบที่สร้างขึ้น โดยใช้โปรแกรมแมทแล็บ/ซิมูลิงค์ (Matlab/Simulink)

4) ทำการทดลองควบคุมระบบจริงและเก็บข้อมูลจากการทดลอง

5) วิเคราะห์ผลการทดลอง ศึกษาข้อดีข้อเสียและศักยภาพของตัวควบคุม

6) สรุปผลการวิจัย และจัดทำวิทยานิพนธ์

#### 1.5 ประโยชน์ที่ได้รับ

1) ตัวควบคุมที่แปลงระบบควบคุมเป็นระบบเชิงเส้นด้วยการป้อนกลับชนิดปรับค่าเองได้ ที่มีสมรรถภาพในการควบคุมติดตามทางเดินของระบบงานหมุนทางกล

2) แนวคิดในการพัฒนาตัวควบคุมติดตามทางเดินสำหรับระบบทางกลอื่นๆ เช่น หุ่นยนต์อุตสาหกรรม (Industrial Robots) หุ่นยนต์ทางการแพทย์ (Medical Robots) เป็นต้น

จุฬาลงกรณ์มหาวิทยาลัย

## บทที่ 2

### เอกสารและงานวิจัยที่เกี่ยวข้อง

ภายในบทนี้จะแบ่งออกเป็น 3 หัวข้อ โดยหัวข้อแรกจะกล่าวถึงเอกสารและงานวิจัยที่เกี่ยวข้องกับวิธีการแปลงระบบเป็นเชิงเส้นด้วยการป้อนกลับ (Feedback Linearization) หัวข้อที่สองเอกสารและงานวิจัยที่เกี่ยวข้องกับการควบคุมแบบปรับตัวได้ (Adaptive Control) สุดท้ายในหัวข้อที่สามจะกล่าวถึงตัวควบคุมที่ต้องการจะนำเสนอ

#### 2.1 เอกสารและงานวิจัยที่เกี่ยวข้องกับการแปลงระบบเป็นเชิงเส้นด้วยการป้อนกลับ

ในกรณีที่ระบบที่ต้องการจะควบคุมมีพฤติกรรมเป็นเชิงเส้น เราสามารถใช้ทฤษฎีระบบควบคุมแบบเชิงเส้นในการออกแบบระบบควบคุมได้ โดยจะสามารถควบคุมหรือกำหนดผลตอบสนองในสภาวะชั่วคราว (Transient Response) ค่าความผิดพลาดในสภาวะคงตัว (Steady-State Error) และเสถียรภาพของระบบควบคุมได้ โดยจะมีแผนภาพรูตโลคัส (Root Locus) และแผนภาพโบดี (Bode Plot) รวมไปถึงทฤษฎีบทค่าสุดท้าย (Final Value Theorem) และเกณฑ์ไนควิสต์ (Nyquist Criterion) เป็นเครื่องมือสำคัญการออกแบบระบบควบคุมแบบเชิงเส้นเพื่อให้ผลลัพธ์การควบคุมมีสมรรถนะที่ดีที่สุด [1]

ตัวควบคุมที่มีความโดดเด่นสำหรับระบบที่มีอินพุตเดี่ยว-เอาต์พุตเดี่ยว (Single input, Single Output; SISO) คือการควบคุมป้อนกลับแบบพีไอดีธรรมดา ซึ่งเป็นระบบควบคุมแบบดั้งเดิม (Classical Control) ที่ออกแบบและวิเคราะห์บนโดเมนความถี่ และโดเมนการแปลงลาปลาซ โดยการใช้แบบจำลองในรูปของฟังก์ชันถ่ายโอน (Transfer Function) โดยตัวควบคุมพีไอดีมีอัลกอริทึมไม่ซับซ้อน และใช้พารามิเตอร์เพียงแค่สามตัวในการกำหนดทั้งผลตอบสนองในสภาวะชั่วคราว และผลตอบสนองในสภาวะคงตัว (Steady-State Response) ทำให้เป็นที่นิยมและใช้กันโดยทั่วไปในระบบควบคุมอัตโนมัติต่างๆ [2]-[5]

แต่อย่างไรก็ตามตัวควบคุมพีไอดีหรือระบบควบคุมแบบดั้งเดิมยังมีข้อจำกัดอยู่มาก เช่น การรับมือกับระบบที่มีอันดับสูง (High Order System) หรือมีหลายอินพุตและหลายเอาต์พุต (Multiple-Input Multiple-Output; MIMO) รวมไปถึงการอธิบายพฤติกรรมภายในของระบบ (Internal Behavior) จึงเป็นที่มาของระบบควบคุมสมัยใหม่ (Modern Control) ที่ออกแบบโดยมีพื้นฐานจากแบบจำลองสมการอนุพันธ์ของพลวัตของระบบ เป็นการออกแบบโดยใช้แบบจำลองในรูปปริภูมิสถานะ (State Space Model) ซึ่งมีความเหมาะสมกับระบบที่มีความยุ่งยาก

ซับซ้อนคือ ระบบเป็นสมการดิฟเฟอเรนเชียลที่มีอันดับสูง หรือมีหลายอินพุตและหลายเอาต์พุต [6]-[9]

วิธีการควบคุมเชิงเส้นขึ้นอยู่กับสมมุติฐานหลักที่ว่า มีช่วงการทำงานเล็กๆ (Small Range Operation) สำหรับแบบจำลองเชิงเส้น ดังเช่นการประมาณระบบไม่เชิงเส้นให้เป็นเชิงเส้นรอบจุดทำงานหรือจุดสมดุล (Equilibrium Point) โดยใช้การกระจายอนุกรมเทย์เลอร์ (Taylor series expansion) [10] ดังนั้นเมื่อต้องการช่วงการทำงานที่กว้าง ตัวควบคุมแบบเชิงเส้นจะให้ผลการควบคุมที่ไม่น่าพอใจ หรืออาจจะไม่มีเสถียรภาพ เพราะความไม่เป็นเชิงเส้นในระบบไม่ได้ถูกชดเชยอย่างเหมาะสม นอกจากนี้แบบจำลองของระบบต้องสามารถประมาณให้เป็นเชิงเส้นได้ แต่ในระบบจริงนั้นมีความไม่เป็นเชิงเส้นโดยธรรมชาติที่ไม่สามารถประมาณให้เป็นเชิงเส้นได้ ซึ่งถูกเรียกว่า "hard nonlinearities" ยกตัวอย่างเช่น แรงเสียดทานคูลอมบ์ (Coulomb Friction) การอิ่มตัว (Saturation) และแบ็กแลช (Backlash) โดยผลกระทบจากสิ่งเหล่านี้ไม่สามารถนำมาวิเคราะห์ด้วยระเบียบวิธีแบบเชิงเส้นได้

สาเหตุที่สำคัญอีกประการหนึ่งของการพัฒนาระบบควบคุมแบบไม่เชิงเส้นคือ ความไม่แน่นอนของแบบจำลอง (Model Uncertainty) ในการออกแบบตัวควบคุมแบบเชิงเส้นนั้น จำเป็นต้องทราบพารามิเตอร์ของแบบจำลองของระบบที่มีความแม่นยำเพียงพอ แต่อย่างไรก็ตาม ปัญหามากมายในการควบคุมเกิดขึ้นจากความไม่แน่นอนในพารามิเตอร์ของแบบจำลอง ซึ่งอาจหมายถึงการเปลี่ยนแปลงพารามิเตอร์อย่างช้าๆ (เช่น ความดันอากาศระหว่างการเดินทางของเครื่องบิน) หรือการแปลงพารามิเตอร์แบบทันทีทันใด (เช่น ความเฉื่อยของหุ่นยนต์เมื่อจับวัตถุชิ้นใหม่) ตัวควบคุมแบบเชิงเส้นที่ได้รับผลจากความผิดพลาดหรือค่าที่ล้าหลังของพารามิเตอร์ของแบบจำลอง อาจมีประสิทธิภาพลดลงอย่างมีนัยสำคัญหรือแม้กระทั่งขาดเสถียรภาพ แต่ความไม่แน่นอนเชิงเส้นนี้สามารถเพิ่มเข้าไปในส่วนของตัวควบคุม เพื่อให้สามารถทนต่อความไม่แน่นอนของแบบจำลองได้

ด้วยเหตุผลเหล่านี้ทำให้เกิดงานวิจัยและพัฒนาวิธีควบคุมแบบไม่เชิงเส้น เพื่อตอบสนองต่อความต้องการในการควบคุมระบบไม่เชิงเส้นให้มีผลการควบคุมเป็นที่น่าพอใจ โดยวิธีการควบคุมระบบไม่เชิงเส้นนั้นสามารถแบ่งออกเป็นกลุ่มใหญ่ๆ ได้ดังนี้

### การแปลงระบบให้เป็นเชิงเส้นด้วยการป้อนกลับ (Feedback linearization)

การรับมือกับความไม่เป็นเชิงเส้นของระบบมีวิธีการที่ตรงไปตรงมาคือการชดเชยความไม่เป็นเชิงเส้นของระบบด้วยการป้อนกลับเพื่อให้ระบบปิดเป็นระบบเชิงเส้น การแปลงระบบให้เป็นเชิงเส้นนี้มีสองวิธีการคือ การแปลงระบบให้เป็นเชิงเส้นด้วยการป้อนกลับแบบฟูลสเตต (Full State Feedback Linearization) ซึ่งเป็นการแปลงตัวแปรสเตตด้วยกฎการป้อนกลับเพื่อให้ระบบปิดมีลักษณะเป็นเชิงเส้น [11]-[14] การแปลงระบบให้เป็นเชิงเส้นอีกวิธีหนึ่งคือ การแปลงระบบให้เป็นเชิงเส้นด้วยการป้อนกลับแบบอินพุตเอาต์พุต (Input-Output Feedback Linearization) ซึ่งเป็นวิธีที่นิยมนำมาใช้กันเมื่อต้องการควบคุมเอาต์พุตให้อยู่ที่ค่าที่ต้องการ โดยใช้ความสัมพันธ์ของระหว่างเอาต์พุตที่ต้องการควบคุมกับตัวแปรอินพุตในการสร้างกฎการป้อนกลับเพื่อให้ระบบปิดเป็นเชิงเส้น [15]-[17]

สำหรับการแปลงระบบให้เป็นเชิงเส้นแบบฟูลสเตตนั้นจะมีความยุ่งยากอยู่ที่เทคนิคการแปลงตัวแปรสเตตของระบบให้อยู่ในรูปของตัวแปรใหม่ที่มีลักษณะพฤติกรรมเป็นแบบเชิงเส้น และสำหรับวิธีการแปลงระบบให้เป็นเชิงเส้นด้วยการป้อนกลับแบบอินพุตเอาต์พุตจะมีความยุ่งยากอยู่ที่การพิสูจน์เสถียรภาพของพลวัตภายใน (Internal Dynamics) โดย Slotine และ Li [18] ได้รวบรวมเทคนิคการทราบดีฟอร์มต่างๆ อาทิเช่น การแปลงระบบเป็นเชิงเส้นโดยอาศัยความสัมพันธ์ของตัวแปรอินพุตกับตัวแปรสเตต (Input-state linearization) การแปลงระบบเป็นเชิงเส้นโดยอาศัยความสัมพันธ์ของตัวแปรอินพุตกับตัวแปรเอาต์พุต (Input-Output Linearization) นอกจากนี้ยังมีงานวิจัยอื่นๆ ที่นำวิธีการแปลงระบบเป็นเชิงเส้นด้วยการป้อนกลับไปพัฒนาต่อยอด และประยุกต์ใช้งานกับระบบที่ไม่เป็นเชิงเส้นต่างๆ ยกตัวอย่างเช่น

Chanchareon et al [19] ซึ่งได้เสนอวิธีการออกแบบตัวควบคุมที่อยู่บนพื้นฐานของการแปลงระบบเป็นเชิงเส้นด้วยการป้อนกลับที่เรียกว่า “Computed feedback linearization” สำหรับใช้ในการควบคุมระบบระบบเชิงเส้นและไม่เชิงเส้น โดยได้ทำการทดลองควบคุมระดับน้ำในถัง และตำแหน่งของจานหมุน จากผลการทดลองพบว่าวิธีการควบคุมดังกล่าวสามารถให้ผลการตอบสนองที่มีประสิทธิภาพทั้งในการควบคุมตำแหน่งเป้าหมายและการควบคุมทางเดิน

ศุภวัฒน์ เจียมลักษณะไพศาล และ รัชทิน จันทร์เจริญ [20] ได้เสนอเทคนิคการประมาณการแปลงระบบเป็นเชิงเส้นด้วยการป้อนกลับแบบฟูลสเตต และทดลองแปลงระบบถึงน้ำสองถังที่มีลักษณะไม่เชิงเส้นให้เป็นระบบเชิงเส้นที่มีสมการระบบตามที่ต้องการ จากผลการ

ทดลองพบว่าระบบประมาณเชิงเส้นที่ได้ทำให้ระบบควบคุมมีเสถียรภาพและมีพฤติกรรมที่ใกล้เคียงกับที่ต้องการ

สำหรับการรับมือกับความไม่แน่นอนของแบบจำลอง มีตัวควบคุมแบบไม่เชิงเส้นสองกลุ่มหลักๆ คือ ตัวควบคุมแบบคงทน (Robust Controllers) หรือการควบคุมแบบสไลด์ดิ้งโหมด (Sliding Mode Control) และตัวควบคุมแบบปรับตัวได้ (Adaptive Controllers) โดยในที่นี้จะกล่าวถึงเฉพาะในส่วนของตัวควบคุมแบบปรับตัวได้ ซึ่งตัวควบคุมชนิดนี้เกนของตัวควบคุม (Controller Gain) จะสามารถปรับค่าเองได้โดยกล่าวถึงในหัวข้อถัดไป

## 2.2 เอกสารและงานวิจัยที่เกี่ยวข้องกับการควบคุมแบบปรับตัวได้

ตัวควบคุมแบบปรับตัวได้ (Adaptive controller) ต่างจากตัวควบคุมแบบปกติคือเกนของตัวควบคุมสามารถเปลี่ยนแปลงได้ และมีกลไกสำหรับการปรับปรุงค่าเกนของตัวควบคุมแบบออนไลน์ขึ้นกับสัญญาณในระบบ โดยวิธีการพื้นฐานบางส่วนในการสร้างตัวควบคุมแบบปรับตัวได้ มีดังต่อไปนี้

### ตารางค่าอัตราขยาย (Gain Scheduling) [21]

ในช่วงแรกเริ่มของวิธีการควบคุมแบบปรับตัวได้คือการใช้ตารางค่าอัตราขยาย ซึ่งถูกนำไปใช้กับระบบควบคุมการบินโดยเฉพาะในช่วงปี 1950 และ 1960 หลักการของวิธีการนี้คือการหาตัวแปรกระบวนการเสริม (Auxiliary process variables) ที่มีสัมพันธภาพกับการเปลี่ยนแปลงพลวัตของกระบวนการ นอกเหนือจากเอาต์พุตของระบบที่ใช้สำหรับการป้อนกลับ ทำให้สามารถชดเชยการเปลี่ยนแปลงพารามิเตอร์ของระบบโดยการเปลี่ยนพารามิเตอร์ของตัวควบคุมซึ่งสัมพันธ์กับตัวแปรเสริม

ข้อดีวิธีการใช้ตารางค่าอัตราขยายคือพารามิเตอร์สามารถเปลี่ยนแปลงได้อย่างรวดเร็วในการตอบสนองต่อการเปลี่ยนแปลงพลวัตของระบบ โดยเฉพาะในกรณีที่พลวัตของระบบขึ้นกับตัวแปรที่สามารถวัดได้โดยง่าย ยกตัวอย่างเช่น ระบบควบคุมการบินที่พลวัตแปรตามการเปลี่ยนแปลงความดัน หรือผลคูณของความหนาแน่นของอากาศกับความเร็วสัมพัทธ์ของเครื่องบิน ยกกำลังสอง

แม้ว่าการใช้ตารางค่าอัตราขยายจะเป็นที่นิยมมากในทางปฏิบัติ แต่ข้อเสียของตารางค่าอัตราขยายคือเป็นการปรับตัวแบบวงเปิด (Open-loop Adaptation scheme) ที่ไม่ได้

เกิดจากการเรียนรู้จริง นอกจากนี้ในการออกแบบอาจต้องใช้เครื่องมืออุปกรณ์และการทดลองจำนวนมาก

### การควบคุมโดยใช้แบบจำลองอ้างอิงที่ปรับตัวได้ (Model Reference Adaptive Control) [22]-[26]

การควบคุมแบบปรับตัวได้นอกจากนี้ออกมาจากตารางค่าอัตราขยายถูกนำเสนอเพื่อชดเชยการเปลี่ยนแปลงพลวัตของระบบ คือการควบคุมโดยใช้แบบจำลองอ้างอิงที่ปรับตัวได้ ตัวควบคุมนี้จะมีด้วยกันสองวง วงด้านในหรือวงของการควบคุมเป็นวงของการควบคุมแบบปกติซึ่งประกอบด้วยระบบที่ต้องการจะควบคุมและตัวควบคุม และวงนอกหรือวงของการปรับปรุงค่าซึ่งมีหน้าที่ในการปรับพารามิเตอร์ของตัวควบคุมให้ค่าความผิดพลาดของเอาต์พุตจากแบบจำลองอ้างอิงและเอาต์พุตของระบบเป็นศูนย์

ประเด็นสำคัญของวิธีการนี้คือกลไกการปรับปรุงค่าที่ทำให้ความผิดพลาดของเอาต์พุตเป็นศูนย์ ซึ่งมีด้วยกันหลายวิธีเช่น การปรับปรุงตามเกรเดียนท์ (Gradient update) การใช้กฎของเอ็มไอที (M.I.T. rule) หรือใช้ทฤษฎีของเลียปูนอฟ (Lyapunov theory)

### ตัวควบคุมชนิดปรับค่าเองได้ (Self-tuning Controller) [27]-[29]

เทคนิคของการควบคุมแบบปรับตัวได้นี้ เริ่มจากการออกแบบตัวควบคุมสำหรับระบบที่ทราบแบบจำลอง และการออกแบบในส่วนของการปรับปรุงค่า ซึ่งจะขึ้นกับโครงสร้างของตัวควบคุมและความสัมพันธ์ระหว่างพารามิเตอร์ของระบบและพารามิเตอร์ของตัวควบคุม ดังนั้นเมื่อไม่ทราบพารามิเตอร์ของระบบก็จะใช้อัลกอริทึมแบบวนซ้ำในการหาพารามิเตอร์ของระบบ จากนั้นนำพารามิเตอร์ของระบบที่ประมาณได้มาปรับปรุงเกนของตัวควบคุม

ตัวควบคุมชนิดปรับค่าเองได้จะแยกส่วนของการควบคุมและการหาเอกลักษณ์ของระบบออกจากกัน แตกต่างจากวิธีการควบคุมโดยใช้แบบจำลองอ้างอิงที่ปรับตัวได้ ที่พารามิเตอร์ของตัวควบคุมจะถูกปรับปรุงโดยตรงเพื่อให้เอาต์พุตของระบบติดตามเอาต์พุตของแบบจำลองอ้างอิง ตัวควบคุมชนิดปรับค่าเองได้นั้นมีความยืดหยุ่นในการเลือกวิธีการออกแบบตัวควบคุม รวมไปถึงการเลือกวิธีหาเอกลักษณ์ของระบบ แต่การวิเคราะห์ระบบควบคุมที่ใช้ตัวควบคุมชนิดปรับค่าเองได้มีความซับซ้อนมากกว่าวิธีการควบคุมโดยใช้แบบจำลองอ้างอิงที่ปรับตัวได้

## งานวิจัยอื่น ๆ ที่ใช้ตัวควบคุมชนิดปรับค่าเองได้

Chang Chieh Hang [30] ได้เสนอตัวควบคุมชนิดปรับค่าเองได้ที่ใช้วิธีการวางตำแหน่งโพล (Pole placement) ในการออกแบบตัวควบคุม ร่วมกับตัวประมาณค่าพารามิเตอร์แบบออนไลน์ ซึ่งใช้วิธีกำลังสองน้อยสุดแบบวนซ้ำ (Recursive Least Square; RLS) โดยตัวควบคุมถูกออกแบบให้มีสองเวลาสุ่ม (Dual rate) รูปของการควบคุมจะใช้ช่วงเวลาสุ่มที่น้อยกว่า และรูปของการประมาณค่าพารามิเตอร์จะมีช่วงเวลาสุ่มที่นานกว่า ซึ่งการทำเช่นนี้จะช่วยลดภาระการคำนวณของตัวควบคุม และเพิ่มความคงทนให้กับการประมาณค่า โดยผลลัพธ์จากการจำลองระบบควบคุม และการทดลองกับไพลอทแพลนต์ (Pilot plant) แสดงให้เห็นว่าตัวควบคุมที่ใช้สองเวลาสุ่มนั้นศักยภาพสูงกว่าตัวควบคุมที่ใช้เวลาสุ่มเดียว (Single rate)

ธเนศ ธีรศักดิ์านนท์ [31] เสนอการควบคุมแบบไม่เชิงเส้นแบบปรับตัวได้สำหรับแขนหุ่นยนต์ข้อต่อเดียวแบบอ่อนตัว โดยได้นำกฎการควบคุมแบบตามรอยโดยประมาณ (Approximate tracking) สำหรับระบบไม่เชิงเส้นเฟสไม่ต่ำสุด (Non minimum phase nonlinear system) ที่มีความไม่แน่นอนของพารามิเตอร์ มาดัดแปลงให้เป็นตัวควบคุมแบบปรับตัวได้ (Adaptive control) โดยการเพิ่มตัวประมาณพารามิเตอร์ที่ใช้ทฤษฎีบทของเลียปูนอฟ (Lyapunov-based parameter estimator) และตัวประมาณค่าพารามิเตอร์แบบกำลังสองน้อยสุด (Least square parameter estimator) ในการจำลองระบบควบคุมด้วยคอมพิวเตอร์พบว่าการใช้ตัวประมาณพารามิเตอร์แบบกำลังสองน้อยสุดสามารถใช้งานได้ง่ายและมีสมรรถนะดีกว่า ดังนั้นจึงเลือกใช้ตัวประมาณพารามิเตอร์แบบกำลังสองน้อยสุดในการทดลองจริง ซึ่งผลลัพธ์ที่ได้แสดงให้เห็นว่าตัวควบคุมที่นำเสนอสามารถควบคุมแขนหุ่นยนต์แบบอ่อนตัวเพื่อให้ตำแหน่งปลายแขนตามรอยสัญญาณอ้างอิงได้เป็นอย่างดี และสามารถปรับตัวให้เข้ากับพารามิเตอร์ที่ไม่ทราบค่าแน่นอนได้อย่างรวดเร็ว

Michiyo et al. [32] ได้นำเสนอตัวควบคุมพีไอดีชนิดปรับค่าเองได้ ที่มีการรวมเทคนิคของโครงข่ายประสาทเข้าไว้ในตัวควบคุม เพื่อให้สามารถปรับค่าเกณฑ์ของตัวควบคุมได้อย่างรวดเร็วทันการตอบสนองของกระบวนการที่มีความไม่เป็นเชิงเส้น โดยได้มีการแบ่งค่าพารามิเตอร์ของตัวควบคุมพีไอดีออกเป็น 2 ส่วน คือส่วนที่เป็นการคำนวณมาจากโครงสร้างของระบบปรับค่าเองได้ที่ใช้วิธีทำซ้ำกำลังสองน้อยที่สุด และอีกส่วนหนึ่งเป็นส่วนที่คำนวณมาจากเทคนิคของโครงข่ายประสาท ที่มีชั้นของโครงข่าย 3 ชั้นและใช้วิธีถ่วงน้ำหนักคือ วิธีโพรพากันดาย้อนกลับ (back propagation method) จากการทดสอบตัวควบคุมบนกระบวนการที่มีความไม่เป็นเชิงเส้น



พบว่า พารามิเตอร์ของตัวควบคุมมีการปรับค่าได้ตามความเปลี่ยนแปลงของกระบวนการอย่างเหมาะสม ในงานวิจัยนี้ไม่ได้เสนอการเปรียบเทียบผลการควบคุมกับตัวควบคุมอื่นๆ เลย

อนุชา ทิพย์วัลย์ [33] ได้เสนอตัวควบคุมพีไอดีชนิดปรับค่าเองได้ โดยได้นำเจเนติกอัลกอริทึม (Genetic Algorithms) มาใช้ในการหาค่าพารามิเตอร์ของตัวควบคุมพีไอดี และได้ทำการทดลองควบคุมกระบวนการปรับค่าพีไอซีให้เป็นกลาง พร้อมทั้งทดสอบเปรียบเทียบกับตัวควบคุมพีไอดีธรรมดา ซึ่งผลการควบคุมปรากฏว่าการใช้เจเนติกอัลกอริทึมสามารถปรับค่าพารามิเตอร์ของตัวควบคุมพีไอดีได้อย่างเหมาะสม โดยงานวิจัยนี้ได้เลือกแบบจำลองเชิงเส้นอันดับหนึ่ง (First Order Linear Model) ร่วมกับกระบวนการทำซ้ำกำลังสองน้อยที่สุดในการหาเอกลักษณ์ของระบบ แล้วนำพารามิเตอร์ของแบบจำลองไปใช้ในการปรับพารามิเตอร์ของตัวควบคุมพีไอดีด้วยเจเนติกอัลกอริทึม

Nguyen Duc Hoang และ Bui Thanh Huyen [34] ได้เสนอตัวควบคุมชนิดปรับค่าเองได้ โดยใช้วิธีการระบุตำแหน่งโพลในการควบคุมเตาอบไฟฟ้า งานวิจัยนี้ได้เลือกใช้แบบจำลองพหุนาม และใช้วิธีทำซ้ำกำลังสองน้อยสุดแบบขยาย (Recursive Extended Least Squares) ในการหาเอกลักษณ์ของระบบ จากนั้นนำพารามิเตอร์ที่ได้ไปใช้ในการควบคุมด้วยวิธีการระบุตำแหน่งโพล เมื่อพารามิเตอร์ของระบบเปลี่ยนก็จะทำให้พารามิเตอร์ของการควบคุมเปลี่ยนตามไปด้วยทำให้ผลการควบคุมมีประสิทธิภาพตามที่ต้องการได้

D.L.Yu, T.K. Chang และ D.W. Yu [35] ได้เสนอตัวควบคุมพีไอดีชนิดปรับค่าเองได้ สำหรับระบบควบคุมหลายตัวแปรที่เปลี่ยนแปลงตามเวลา โดยการควบคุมใช้แบบจำลองข่ายงานนิวรัล (Neural Network Model) ของระบบเป็นพื้นฐาน และแบบจำลองข่ายงานนิวรัลนั้นใช้ตัวกรองคาลมานแบบขยายในการเรียนรู้การเปลี่ยนแปลงพลวัตของระบบ ขณะที่พารามิเตอร์ของตัวควบคุมพีไอดีถูกปรับเปลี่ยนโดยใช้วิธีการเลียปูนอฟ (Lyapunov method) เพื่อลดค่าความคลาดเคลื่อนของการติดตามให้น้อยที่สุด งานวิจัยนี้ได้ทำการจำลองการควบคุมของตัวควบคุมกับแบบจำลองทางคณิตศาสตร์ของเครื่องปฏิกรณ์ถังกวนแบบต่อเนื่อง (CSTR) และเปรียบเทียบผลการควบคุมกับตัวควบคุมพีไอดีแบบพารามิเตอร์คงที่ ซึ่งผลปรากฏว่า ตัวควบคุมพีไอดีชนิดปรับค่าได้ให้ผลการควบคุมที่ดีกว่าตัวควบคุมพีไอดีแบบพารามิเตอร์คงที่อย่างเห็นได้ชัด

จากที่กล่าวมาจะเห็นว่าตัวควบคุมชนิดปรับค่าเองได้นั้น ส่วนใหญ่จะใช้การหาแบบจำลองเพื่อนำมาใช้ปรับค่าพารามิเตอร์ของตัวควบคุม และเมื่อนำตัวควบคุมชนิดปรับค่าเองได้มาใช้กับระบบที่มีความไม่เป็นเชิงเส้น จะสามารถให้ผลการควบคุมที่ดีกว่าตัวควบคุมที่ไม่

สามารถปรับค่าได้ โดยตัวควบคุมชนิดปรับค่าได้แต่ละแบบมีการเลือกใช้วิธีการควบคุมแบบจำลอง วิธีการหาเอกลักษณ์ของระบบ (System Identification) รวมไปถึงตัวประมาณค่าพารามิเตอร์ที่แตกต่างกัน ขึ้นอยู่กับแนวความคิดของผู้วิจัย

### 2.3 ตัวควบคุมที่นำเสนอ

วิธีการควบคุมส่วนใหญ่ได้รับการออกแบบให้สามารถควบคุมค่าให้คงได้อย่างมีประสิทธิภาพ หากต้องการควบคุมให้เอาต์พุตของระบบทางกลที่ไม่เป็นเชิงเส้นติดตามทางเดิน (Trajectory Tracking Control) การแปลงระบบควบคุมให้เป็นระบบเชิงเส้นตามที่ต้องการนั้นไม่เพียงพอ แต่จำเป็นต้องควบคุมให้ค่าความผิดพลาดของการติดตามทางเดิน (Tracking Error) เข้าสู่ศูนย์ด้วย สำหรับระบบเชิงเส้นพลวัตผกผัน (Inverse dynamics) ของระบบจะถูกนำมาใช้ในการคำนวณสัญญาณควบคุม ในส่วนของระบบไม่เชิงเส้นจะต้องใช้ทั้งการป้อนกลับสเตตเพื่อชดเชยความไม่เป็นเชิงเส้นของระบบ และใช้การคำนวณบนพื้นฐานของวิธีการพลวัตผกผันของระบบเชิงเส้น [18] [36] [37]

ปัญหาสำคัญของการควบคุมติดตามทางเดินด้วยวิธีการแปลงระบบให้เป็นเชิงเส้นด้วยการป้อนกลับโดยทั่วไปคือ การคำนวณสัญญาณควบคุมบนพื้นฐานของวิธีการพลวัตผกผันจำเป็นต้องใช้อุณหภูมิอันดับหนึ่งและอันดับสองของสัญญาณอ้างอิงในการคำนวณสัญญาณควบคุม ซึ่งจะมีปัญหาอย่างมากในกรณีที่สัญญาณอ้างอิงถูกสร้างขึ้นจากอุปกรณ์อินพุตที่ควบคุมโดยมนุษย์ อีกทั้งการแปลงระบบให้เป็นเชิงเส้นต้องทราบแบบจำลองของระบบไม่เชิงเส้นที่มีความแม่นยำ

ปัญหาเหล่านี้เป็นที่มาของวิทยานิพนธ์ฉบับนี้ ซึ่งต้องการจะนำเสนอแนวคิดวิธีการควบคุมติดตามทางเดินระบบทางกลที่ไม่เป็นเชิงเส้น โดยไม่จำเป็นต้องใช้อุณหภูมิของสัญญาณอ้างอิง ด้วยการออกแบบบนพื้นฐานของการแปลงระบบเป็นเชิงเส้นด้วยการป้อนกลับให้สามารถชดเชยพลวัตของระบบได้ พร้อมทั้งออกแบบให้ตัวควบคุมสามารถปรับค่าตัวเองได้เพื่อให้สามารถรับมือกับกรณีที่ไม่ทราบพารามิเตอร์ของแบบจำลองของระบบบางส่วนได้ (Model with Unknown Parameters)

## บทที่ 3

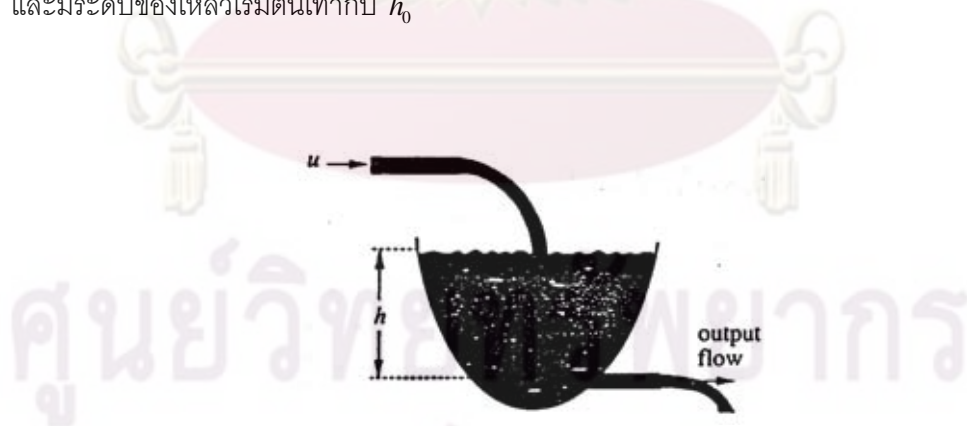
### การแปลงระบบเป็นเชิงเส้นด้วยการป้อนกลับ

#### 3.1 พื้นฐานการแปลงระบบเป็นเชิงเส้นด้วยการป้อนกลับ [18]

การแปลงระบบเป็นเชิงเส้นด้วยการป้อนกลับ (Feedback Linearization) มีหลักการคือใช้วิธีการทางพีชคณิตในการเปลี่ยนพลวัตของระบบไม่เชิงเส้นให้เป็นเชิงเส้น ทำให้สามารถใช้วิธีการควบคุมแบบเชิงเส้นได้ การควบคุมโดยการแปลงระบบเป็นเชิงเส้นด้วยการป้อนกลับนั้นถูกนำไปใช้ในการควบคุมเฮลิคอปเตอร์ เครื่องบิน หุ่นยนต์ อุตสาหกรรม และอุปกรณ์ชีวการแพทย์ แต่อย่างไรก็ตามการแปลงระบบเป็นเชิงเส้นด้วยการป้อนกลับนั้นมีจุดอ่อนและข้อจำกัดอย่างมาก

รูปแบบที่ง่ายที่สุดของการแปลงระบบเป็นเชิงเส้นโดยการป้อนกลับ คือการชดเชยความไม่เป็นเชิงเส้นของระบบไม่เชิงเส้น ทำให้ระบบปิดของระบบไม่เชิงเส้นนั้นอยู่ในรูปแบบเชิงเส้น (Linear Form) ซึ่งในบทนี้จะกล่าวถึงหลักการพื้นฐานของการแปลงระบบเป็นเชิงเส้นด้วยการป้อนกลับ โดยการใช้ตัวอย่างการควบคุมระดับของของเหลวในถัง

พิจารณาการควบคุมระดับของเหลว  $h$  ในถังดังรูปที่ 3.1 เพื่อให้ได้ระดับของของเหลวที่ต้องการ  $h_d$  โดยอินพุตที่ใช้ในการควบคุมคืออัตราการไหลของของเหลว  $u$  ที่เข้าสู่ถัง และมีระดับของเหลวเริ่มต้นเท่ากับ  $h_0$



รูปที่ 3.1 การควบคุมระดับของเหลวในถัง [18]

แบบจำลองพลวัตของถังน้ำคือ

$$\frac{d}{dt} \left[ \int_0^h A(h) dh \right] = u(t) - a\sqrt{2gh} \quad (2.1)$$

โดยที่  $A(h)$  คือพื้นที่หน้าตัดขวางของถัง และ  $a$  คือพื้นที่หน้าตัดขวางของท่อน้ำขาออก ถ้าระดับของเหลวเริ่มต้น  $h_0$  กับระดับของเหลวที่ต้องการ  $h_d$  ต่างกันมาก การควบคุมระดับของเหลว  $h$  จะเป็นปัญหาแบบไม่เชิงเส้น

แบบจำลองพลวัตในสมการที่ (2.1) สามารถเขียนได้เป็น

$$A(h)\dot{h} = u - a\sqrt{2gh}$$

ถ้าให้  $u(t)$  เป็นดังต่อไปนี้

$$u(t) = a\sqrt{2gh} + Av \quad (2.2)$$

โดยที่  $v$  เป็นอินพุตสมมูล (Equivalent Input) ที่สามารถกำหนดได้ พิจารณาผลลัพธ์ที่ได้จะเป็นเชิงเส้นดังนี้

$$\dot{h} = v \quad (2.3)$$

ถ้าให้  $v$  เป็น

$$v = -\alpha\tilde{h} \quad (2.4)$$

โดยที่  $\tilde{h} = h(t) - h_d$  เป็นค่าความคลาดเคลื่อนของระดับของเหลว และ  $\alpha$  เป็นค่าคงที่บวก จะทำให้ได้ระบบปิดดังต่อไปนี้

$$\dot{h} + \alpha\tilde{h} = 0 \quad (2.5)$$

ซึ่งหมายความว่า  $\tilde{h} \rightarrow 0$  ขณะที่  $t \rightarrow \infty$  พิจารณาสมการที่ (2.2) และ (2.3) จะได้อินพุตที่ถูกต้องกำหนดโดยกฎการควบคุมแบบไม่เชิงเส้น คือ

$$u(t) = a\sqrt{2gh} - A\alpha\tilde{h} \quad (2.6)$$

ส่วนแรกของกฎการควบคุมในสมการที่ (2.6) ทางด้านขวามือ ใช้จัดการกับของเหลวที่ไหลออก  $a\sqrt{2gh}$  ในขณะที่ส่วนที่สองใช้ในการเพิ่มระดับของของเหลวให้เป็นไปตามระบบเชิงเส้นที่ต้องการ

แนวคิดของการแปลงระบบเชิงเส้นด้วยการป้อนกลับ นั่นคือ การหักล้างความไม่เป็นเชิงเส้น และทำให้เกิดระบบเชิงเส้นที่ต้องการ ซึ่งสามารถนำมาใช้งานได้โดยง่ายกับกลุ่มของระบบไม่เชิงเส้นที่อยู่ในรูปคอมพานีเนียนฟอร์ม (Companion Form) ระบบไม่เชิงเส้นจะอยู่ในรูปคอมพานีเนียนฟอร์มเมื่อสามารถอธิบายพลวัตของระบบได้ดังสมการ

$$\dot{\mathbf{x}}^{(n)} = \mathbf{f}(\mathbf{x}) + \mathbf{b}(\mathbf{x})u \quad (2.7)$$

โดยในที่นี้  $u$  เป็นอินพุตของการควบคุม,  $x$  เป็นเอาต์พุตที่สนใจ,  $\mathbf{x} = [x, \dot{x}, \dots, x^{(n-1)}]^T$  เป็นเวกเตอร์สถานะ (State Vector),  $\mathbf{f}(\mathbf{x})$  และ  $\mathbf{b}(\mathbf{x})$  เป็นฟังก์ชันไม่เชิงเส้นของสถานะ สมการที่ (2.7) นั้นมีลักษณะเฉพาะที่พบได้ยาก ซึ่งในความเป็นจริงนั้น แม้ว่าอนุพันธ์ของ  $x$  จะปรากฏในสมการ แต่ไม่มีอนุพันธ์ของอินพุต  $u$  ปรากฏอยู่ด้วย ดังนั้นสมการที่ (2.7) จะถูกแทนด้วยแบบจำลองปริภูมิสถานะดังสมการ (2.8)

$$\frac{d}{dt} \begin{bmatrix} x_1 \\ \dots \\ x_{n-1} \\ x_n \end{bmatrix} = \begin{bmatrix} x_2 \\ \dots \\ x_n \\ \mathbf{f}(\mathbf{x}) + \mathbf{b}(\mathbf{x})u \end{bmatrix} \quad (2.8)$$

สำหรับระบบที่สามารถอธิบายด้วยคอมพานีเนียนฟอร์ม จะให้อินพุตของการควบคุมเป็น (สมมติให้  $b$  ไม่เป็นศูนย์)

$$u = \frac{1}{b}[v - f] \quad (2.9)$$

เราจะสามารถหักล้างความไม่เป็นเชิงเส้น และสามารถหาความสัมพันธ์ของอินพุตและเอาต์พุตได้อย่างง่ายดาย ดังนี้

$$\dot{\mathbf{x}}^{(n)} = v \quad (2.10)$$

ถ้าให้กฎของการควบคุมคือ

$$v = -k_1x - k_2\dot{x} - \dots - k_{n-1}x^{(n-1)} \quad (2.11)$$

และเลือก  $k_i$  ให้  $p^{(n)} + k_{n-1}p^{(n-1)} + \dots + k_1$  เป็นพหุนามที่มีเสถียรภาพ (Stable Polynomial) จะส่งผลให้พลวัตของระบบปิดมีเสถียรภาพแบบเอกซ์โพเนนเชียล (Exponentially Stable Dynamics) นั่นคือ

$$x^{(n)} + k_{n-1}x^{(n-1)} + \dots + k_1x = 0 \quad (2.12)$$

ซึ่งหมายความว่า  $x(t) \rightarrow 0$  และสำหรับการควบคุมให้ระบบควบคุมติดตามทางเดินที่ต้องการ  $x_d$  จะให้กฎการควบคุมเป็น

$$v = x_d^{(n)} - k_1e - k_2\dot{e} - \dots - k_{n-1}e^{(n-1)} \quad (2.13)$$

โดยที่  $e = x(t) - x_d(t)$  เป็นค่าความคลาดเคลื่อนของการติดตาม จะทำให้ค่าความคลาดเคลื่อนของการติดตามทางเดินเข้าสู่ศูนย์แบบเอกซ์โพเนนเชียล นั่นคือ

$$e^{(n)} + k_{n-1}e^{(n-1)} + \dots + k_1e = 0 \quad (2.14)$$

หมายเหตุ วิธีการนี้สามารถนำมาใช้ได้กรณีที่  $x$  เป็นเวกเตอร์ และ  $b$  เป็นเมทริกซ์จัตุรัสที่สามารถหาอินเวอร์สได้ (Invertible Square Matrix) ด้วยเช่นกัน

### 3.2 การแปลงระบบเป็นเชิงเส้นด้วยการป้อนกลับสำหรับระบบจานหมุนทางกล

ในหัวข้อนี้จะกล่าวถึงการนำวิธีการแปลงระบบเป็นเชิงเส้นด้วยการป้อนกลับมาประยุกต์ใช้ในการควบคุมทางเดินของระบบจานหมุนทางกล โดยในครั้งแรกจะกล่าวถึงลักษณะของระบบจานหมุนทางกลที่ต้องการจะควบคุม ในส่วนที่สองเป็นการออกแบบตัวควบคุมให้มีความเหมาะสมกับระบบที่ต้องการจะควบคุม และส่วนสุดท้ายเป็นการจำลองการควบคุมด้วยคอมพิวเตอร์เพื่อศึกษาถึงศักยภาพ และลักษณะเฉพาะของตัวควบคุม

#### 3.2.1 ระบบจานหมุนทางกล

พิจารณาแบบจำลองพลวัตของระบบจานหมุนทางกลในสมการที่ (1.1) จะพบว่า เป็นระบบไม่เชิงเส้นอันดับสองแบบอินพุตเดียวเอาต์พุตเดียวที่ไม่เปลี่ยนแปลงตามเวลา (SISO Second-Order Nonlinear Time-Invariant System) โดยระบบสามารถเขียนให้อยู่ในรูปแบบรูปคอมพานีเยนฟอร์มได้ ดังนี้

$$\tau = J\ddot{\theta} + \mathfrak{f}(\theta, \dot{\theta})$$

$$\ddot{\theta} = -\frac{\mathfrak{f}(\theta, \dot{\theta})}{J} + \frac{1}{J}\tau \quad (2.15)$$

$$\ddot{\theta} = f(\theta, \dot{\theta}) + b\tau \quad (2.16)$$

โดยที่

$$\left. \begin{aligned} f(\theta, \dot{\theta}) &= -\frac{f(\theta, \dot{\theta})}{J} \\ b &= \frac{1}{J} \end{aligned} \right\} \quad (2.17)$$

ระบบ (2.16)-(2.17) สามารถเขียนในรูปปริภูมิสแตต (State Space) โดยกำหนดตัวแปรสแตต (State Variable) ดังนี้

$$\left. \begin{aligned} x_1 &= \theta \\ x_2 &= \dot{\theta} \end{aligned} \right\} \quad (2.18)$$

แบบจำลองปริภูมิสแตต คือ

$$\begin{aligned} \begin{bmatrix} \dot{x}_1 \\ \dot{x}_2 \end{bmatrix} &= \begin{bmatrix} x_2 \\ f(x_1, x_2) + b\tau \end{bmatrix} \\ y &= x_1 \end{aligned} \quad (2.19)$$

พิจารณาระบบ (2.19) จะพบว่าระบบมีดีกรีสัมพัทธ์ (Relative Degree) เท่ากับสอง ซึ่งเท่ากับอันดับของระบบ (System's Order) ดังนั้นระบบไม่มีพลวัตภายใน (Internal Dynamics) [18]

### 3.2.2 ตัวควบคุมที่ใช้การแปลงระบบเป็นเชิงเส้นด้วยการป้อนกลับสำหรับระบบจานหมุนทางกล

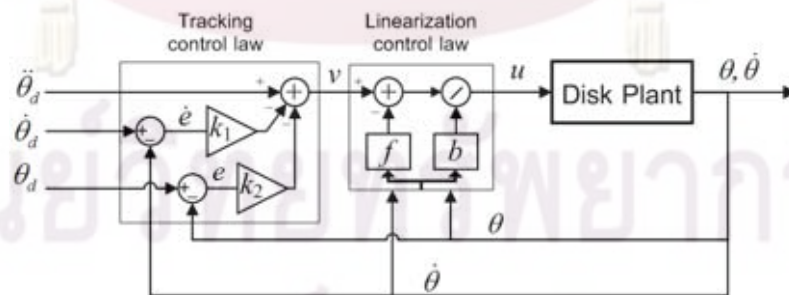
จากที่กล่าวมาในหัวข้อที่ 3.2.1 แบบจำลองของระบบจานหมุนทางกลนั้นสามารถเขียนให้อยู่ในรูปคอมพาคเนชันฟอร์มได้ดังสมการ (2.16)-(2.17) ดังนั้นการแปลงระบบเป็นเชิงเส้นด้วยการป้อนกลับสามารถทำได้โดยใช้กฎการควบคุมในสมการที่ (2.9) และใช้กฎการควบคุมดังสมการ (2.13) สำหรับการควบคุมทางเดินของระบบ โดยที่  $\theta_d$  เป็นทางเดินที่ต้องการหรือตำแหน่งทางเดินอ้างอิง และ  $e = \theta(t) - \theta_d(t)$  เป็นค่าความผิดพลาดของการติดตามทางเดิน ได้ดังนี้

$$\left. \begin{aligned} \tau &= \frac{1}{b} [v - f(\theta, \dot{\theta})] \\ v &= \ddot{\theta}_d - k_1 \dot{e} - k_2 e \end{aligned} \right\} \quad (2.20)$$

จะได้ระบบควบคุมแบบปิดที่ทำให้ทำให้ค่าความคลาดเคลื่อนของการติดตามทางเดินเข้าสู่ศูนย์แบบเอกซ์โพเนนเชียล

$$\ddot{e} + k_2\dot{e} + k_1e = 0 \quad (2.21)$$

เมื่อพิจารณากฎการควบคุมในสมการที่ (2.20) จะพบว่าข้อมูลที่จำเป็นต้องใช้ในการคำนวณสัญญาณควบคุม คือ เอาต์พุต อนุพันธ์อันดับหนึ่งของเอาต์พุต ตำแหน่งทางเดินอ้างอิง รวมไปถึงอนุพันธ์อันดับหนึ่งและอันดับสองของตำแหน่งทางเดินอ้างอิง โดยมีแผนผังของระบบควบคุมดังรูปที่ 3.2 ดังนั้นในกรณีนี้ที่ระบบที่ต้องการควบคุมเป็นอุปกรณ์มาสเตอร์/สเลฟ (Master/Slave Device) อุปกรณ์บายไวร์ (By Wire Device) หรือมีอุปกรณ์อินพุต (Input Device) เป็นเครื่องกำเนิดสัญญาณตำแหน่งอ้างอิง ไม่เพียงแต่อนุพันธ์อันดับหนึ่งของเอาต์พุตเท่านั้นที่ต้องถูกคำนวณในเวลาจริง (Real time) อนุพันธ์อันดับหนึ่งและอนุพันธ์อันดับสองของตำแหน่งอ้างอิงจะต้องถูกคำนวณในเวลาจริงด้วยเช่นกัน ซึ่งการหาอนุพันธ์ในเวลาจริงนั้นมีความยุ่งยาก วิธีการที่สามารถนำไปใช้งานได้ง่ายวิธีหนึ่งคือ การหาอนุพันธ์โดยใช้วิธีการเชิงตัวเลข (Numerical Differentiation) แต่การหาค่าอนุพันธ์เชิงตัวเลขโดยตรงนั้นจะเป็นการขยายขนาดของสัญญาณรบกวนให้สูงขึ้นด้วยเช่นกัน จึงอาจส่งผลให้ผลการควบคุมไม่เป็นที่น่าพอใจ และระบบควบคุมขาดเสถียรภาพได้ วิธีการแก้ปัญหาอีกวิธีการหนึ่งคือ การเพิ่มอุปกรณ์สำหรับตรวจวัดความเร็วรอบ (Tachometer) และอุปกรณ์ตรวจวัดความเร่ง (Accelerometer) ในระบบควบคุม แต่การเพิ่มอุปกรณ์ตรวจวัดเหล่านี้หมายถึงต้นทุนของระบบควบคุมจะสูงขึ้นตามไปด้วย



รูปที่ 3.2 แผนภาพการควบคุมทางเดินโดยการแปลงระบบเป็นเชิงเส้นด้วยการป้อนกลับ



การออกแบบตัวควบคุมด้วยวิธีที่กล่าวมาข้างต้นนั้นเป็นการออกแบบตัวควบคุมในระบบเวลาต่อเนื่อง (Continuous time domain) แต่ในความเป็นจริงแล้วตัวควบคุมถูกสร้างขึ้นบนดิจิทัลคอมพิวเตอร์ซึ่งทำงานบนระบบเวลาไม่ต่อเนื่อง (Discrete time domain) ดังนั้นแนวทางหนึ่งในการออกแบบตัวควบคุมคือการออกแบบตัวควบคุมบนระบบเวลาไม่ต่อเนื่อง โดยการแปลงแบบจำลองของระบบจําานหมุนทางกลในสมการ (2.16)-(2.17) ให้อยู่ในรูปแบบเวลาไม่ต่อเนื่อง (Discretization method) โดยใช้ระเบียบวิธีไฟไนต์ดิฟเฟอเรนซ์ (Finite difference method) [38] ดังนี้

กำหนดให้

$T$  คือ เวลาสุ่ม (Sampling time)

$\theta_k$  คือ เอาต์พุตที่เวลา  $k$

ค่าอนุพันธ์อันดับหนึ่งจากการแบ่งย่อยย้อนหลัง (Backward difference method)

$$\dot{\theta} = \frac{\theta_k - \theta_{k-1}}{T} + \mathcal{O}(T) \quad (2.22)$$

$$\dot{\theta} \approx \frac{\theta_k - \theta_{k-1}}{T} \quad (2.23)$$

ค่าอนุพันธ์อันดับสองจากการแบ่งย่อยตรงกลาง (Central difference method)

$$\ddot{\theta} = \frac{\theta_{k+1} - 2\theta_k + \theta_{k-1}}{T^2} + \mathcal{O}(T^2) \quad (2.24)$$

$$\ddot{\theta} \approx \frac{\theta_{k+1} - 2\theta_k + \theta_{k-1}}{T^2} \quad (2.25)$$

แทน (2.23) และ (2.25) ลงในสมการ (2.16)-(2.17) จะได้สมการดิฟเฟอเรนซ์

$$\frac{\theta_{k+1} - 2\theta_k + \theta_{k-1}}{T^2} = f\left(\theta_k, \frac{\theta_k - \theta_{k-1}}{T}\right) + b\tau_k \quad (2.26)$$

$$\theta_{k+1} = T^2 f\left(\theta_k, \frac{\theta_k - \theta_{k-1}}{T}\right) + 2\theta_k - \theta_{k-1} + T^2 b\tau_k \quad (2.27)$$

$$\theta_{k+1} = F(\theta_k, \theta_{k-1}) + B\tau_k \quad (2.28)$$

โดยที่

$$\left. \begin{aligned}
 F(\theta_k, \theta_{k-1}) &= T^2 f\left(\theta_k, \frac{\theta_k - \theta_{k-1}}{T}\right) + 2\theta_k - \theta_{k-1} \\
 &= -\frac{T^2 f\left(\theta_k, \frac{\theta_k - \theta_{k-1}}{T}\right)}{J} + 2\theta_k - \theta_{k-1} \\
 B &= T^2 b \\
 &= \frac{T^2}{J}
 \end{aligned} \right\} \quad (2.29)$$

จากนั้นทำการแปลงระบบ ให้เป็นเชิงเส้นด้วยการป้อนกลับ โดยให้กฎของการควบคุมคือ

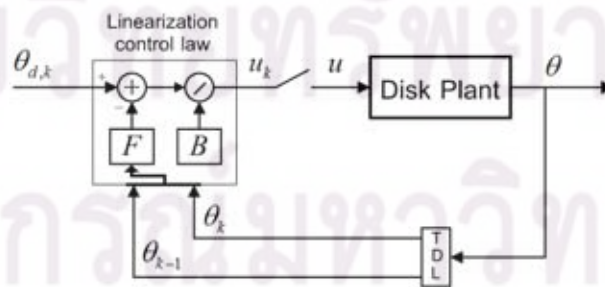
$$\tau_k = \frac{1}{B} [v_k - F(\theta_k, \theta_{k-1})] \quad (2.30)$$

จะได้ระบบควบคุมแบบปิดอยู่ในรูปสมการพีชคณิต

$$\theta_{k+1} = v_k \quad (2.31)$$

จากระบบปิด (2.31) พบว่าการให้สัญญาณควบคุมดังสมการ (2.30) เป็นการชดเชยพลวัตของระบบ ทำให้เราสามารถควบคุมให้ระบบควบคุมติดตามทางเดินที่ต้องการได้โดยให้  $v_k$  เป็นตำแหน่งทางเดินอ้างอิงที่ต้องการ  $\theta_{d,k}$  ซึ่งจะให้อาตัพุตที่มีเวลาหน่วงคงที่เท่ากับเวลาสุ่ม นั่นคือค่าความผิดพลาดในการติดตามทางเดินจะไม่ลู่เข้าสู่ศูนย์แต่จะมีค่าเท่ากับผลต่างของสัญญาณทางเดินอ้างอิงที่เวลา  $k$  กับที่เวลา  $k-1$  ดังในสมการ (2.32) โดยแผนผังของระบบควบคุมจะเป็นดังรูปที่ 3.3

$$e_k = \theta_{d,k} - \theta_k = \theta_{d,k} - \theta_{d,k-1} \quad (2.32)$$



รูปที่ 3.3 แผนภาพการควบคุมทางเดินโดยการแปลงระบบเป็นเชิงเส้นด้วยการป้อนกลับในรูปแบบเวลาไม่ต่อเนื่อง

พิจารณากฎการควบคุมในสมการ จะพบว่า ข้อมูลที่ใช้ในการคำนวณสัญญาณควบคุมมีเพียงเอาต์พุตที่เวลา  $k$  เอาต์พุตที่เวลา  $k-1$  และสัญญาณทางเดินอ้างอิงที่เวลา  $k$  เท่านั้น เปรียบเทียบกับกฎการควบคุม (2.20) ที่ได้จากการออกแบบตัวควบคุมบนระบบเวลาต่อเนื่อง ซึ่งจำเป็นต้องใช้ข้อมูลอนุพันธ์อันดับหนึ่งและอันดับสองของสัญญาณทางเดินอ้างอิงด้วย แสดงให้เห็นว่าการจัดการสัญญาณบนระบบเวลาไม่ต่อเนื่องสามารถลดความผิดพลาดของขั้นตอนการคำนวณค่าอนุพันธ์ในเวลาจริงได้ โดยที่เอาต์พุตที่ได้จะมีเวลาหน่วงเท่ากับเวลาสุ่ม แต่เราสามารถลดค่าความผิดพลาดจากเวลาหน่วงที่เกิดขึ้นได้โดยการใช้เวลาสุ่มที่มีค่าน้อย ด้วยเหตุผลที่กล่าวมานั้น ผู้วิจัยจึงเลือกใช้ตัวควบคุมที่ออกแบบบนระบบเวลาไม่ต่อเนื่องมาใช้ในการควบคุมระบบงานหมุนทางกล

### 3.3 การจำลองการควบคุมด้วยคอมพิวเตอร์

ในหัวข้อนี้จะเป็นการจำลองระบบควบคุมด้วยคอมพิวเตอร์ (Simulation) เพื่อศึกษาถึงศักยภาพ และลักษณะเฉพาะของตัวควบคุมที่ได้ออกแบบไว้ในหัวข้อ 3.2.2 ในการควบคุมทางเดินของระบบงานหมุนทางกล

#### 3.3.1 แบบจำลองระบบงานหมุนทางกล

ระบบงานหมุนเชิงกลที่ใช้ในการจำลองเป็นดังรูปที่ 3.4 โดยกำหนดให้งานหมุนมีมวล 0.5 กิโลกรัม รัศมี 20 เซนติเมตร และมีมวล 0.5 กิโลกรัม อยู่บนงานหมุนห่างจากจุดศูนย์กลางของงานหมุน 15 เซนติเมตร โมเมนต์ความเฉื่อยของระบบจะมีเท่ากับ 0.02125 กิโลกรัม.เมตร<sup>2</sup> มีแรงเสียดทางแห้ง (Dry friction) ขนาด 0.05 นิวตัน.เมตร และแรงเสียดทานหนืด (Viscous friction) ที่มีค่าความหนืด 0.1 นิวตัน.เมตร.วินาที/เรเดียน แบบจำลองพลวัตของระบบงานหมุนทางกลเป็นดังสมการ

$$J\ddot{\theta} + \text{sgn}(\dot{\theta})(C|\dot{\theta}| + F_0) + mgl \sin(\theta) = \tau$$

$$\ddot{\theta} = -\frac{1}{J} \text{sgn}(\dot{\theta})(C|\dot{\theta}| + F_0) - \frac{mgl}{J} \sin(\theta) + \frac{1}{J} \tau \quad (2.33)$$

โดยที่

$J$  คือ โมเมนต์ความเฉื่อย

$\theta$  คือ ตำแหน่งมุมของงานหมุน

$m$  คือ มวลที่ติดอยู่บนงานหมุน

$l$  คือ ระยะจากจุดศูนย์กลางของจานหมุน

$F_0$  คือ แรงเสียดทานแห้ง

$C$  คือ ค่าความหนืด

$g$  คือ ความเร่งเนื่องจากแรงโน้มถ่วง (9.8134 เมตร/วินาที<sup>2</sup>)

แปลงระบบให้อยู่ในรูปแบบเวลาไม่ต่อเนื่อง แทน (2.23) และ (2.25) ลงในสมการ (2.33)

$$\frac{\theta_{k+1} - 2\theta_k + \theta_{k-1}}{T^2} = -\frac{1}{J} \operatorname{sgn}(\theta_k - \theta_{k-1}) \left( C \left| \frac{\theta_k - \theta_{k-1}}{T} \right| + F_0 \right) - \frac{mgl}{J} \sin(\theta_k) + \frac{1}{J} \tau_k \quad (2.34)$$

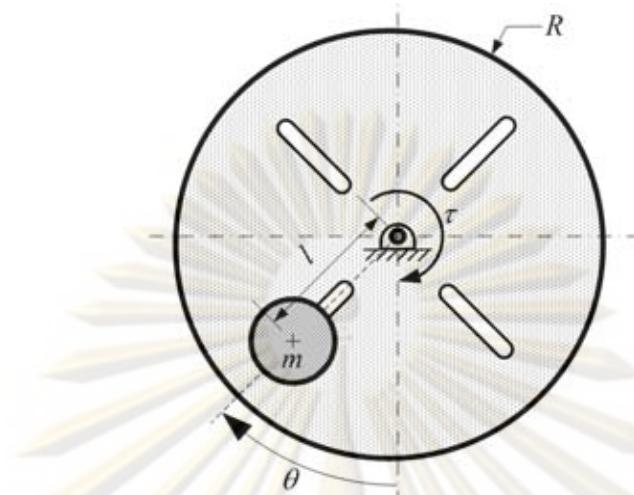
$$\theta_{k+1} = -\frac{T^2}{J} \operatorname{sgn}(\theta_k - \theta_{k-1}) \left( C \left| \frac{\theta_k - \theta_{k-1}}{T} \right| + F_0 \right) - \frac{mglT^2}{J} \sin(\theta_k) + 2\theta_k - \theta_{k-1} + \frac{T^2}{J} \tau_k \quad (2.35)$$

แบบจำลองในรูปสมการดิฟเฟอเรนซ์

$$\theta_{k+1} = F(\theta_k, \theta_{k-1}) + B\tau_k \quad (2.36)$$

โดยที่

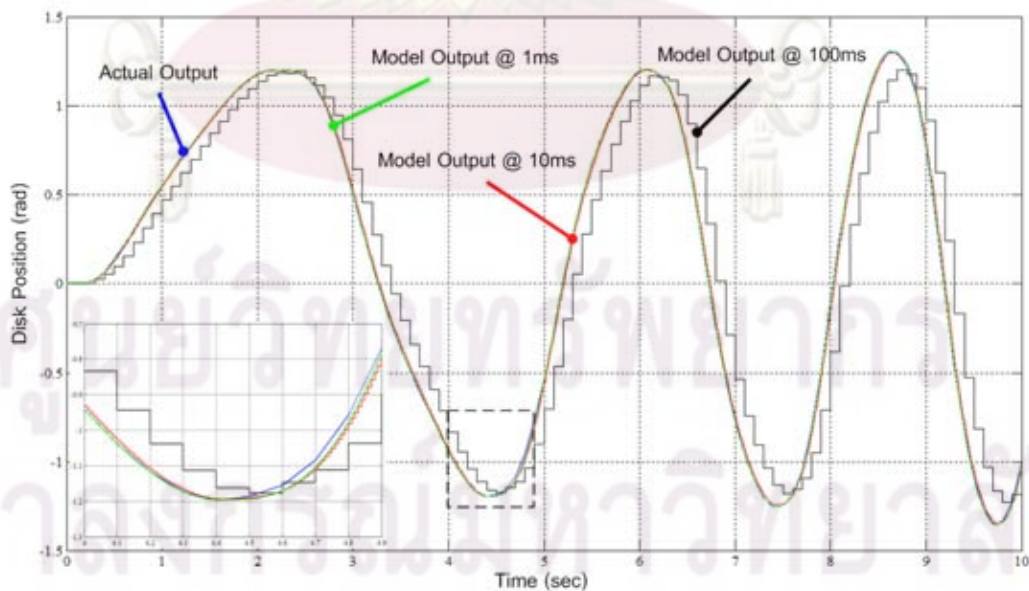
$$\left. \begin{aligned} F(\theta_k, \theta_{k-1}) &= -\frac{T^2}{J} \operatorname{sgn}(\theta_k - \theta_{k-1}) \left( C \left| \frac{\theta_k - \theta_{k-1}}{T} \right| + F_0 \right) \\ &\quad - \frac{mglT^2}{J} \sin(\theta_k) + 2\theta_k - \theta_{k-1} \\ B &= \frac{T^2}{J} \end{aligned} \right\} \quad (2.37)$$



รูปที่ 3.4 ระบบจานหมุนทางกลที่ใช้ในการจำลอง

### 3.3.2 ผลการจำลองเอาต์พุตของแบบจำลองระบบจานหมุนทางกล

ทำการจำลองเอาต์พุตของแบบจำลองในรูปแบบสมการดิฟเฟอเรนซ์ (2.36)-(2.37) โดยให้เวลาสุ่มมีค่าเท่ากับ 100 มิลลิวินาที 10 มิลลิวินาที และ 1 มิลลิวินาที เปรียบเทียบกับเอาต์พุตของระบบที่ได้จากแบบจำลองพลวัตในรูปแบบสมการดิฟเฟอเรนเชียล (2.33) โดยให้อินพุตทอร์กเป็นฟังก์ชันไซน์ (Sine) ที่ความถี่ 0.1 เฮิรตซ์ เฟสเริ่มต้น 0 เรเดียน แอมพลิจูด 0.75 นิวตัน. เมตร และให้อาต์พุตของระบบเริ่มต้นที่ 0 เรเดียน

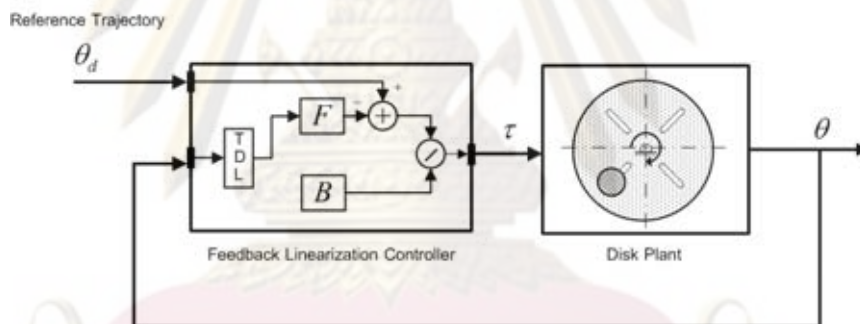


รูปที่ 3.5 ผลการจำลองเอาต์พุตของแบบจำลองในรูปแบบสมการดิฟเฟอเรนซ์ที่ค่าเวลาสุ่มต่างๆ เปรียบเทียบกับเอาต์พุตของระบบ

ผลการจำลองในรูปที่ 3.5 แสดงให้เห็นว่าแบบจำลองในรูปแบบสมการดิฟเฟอเรนเชียลมีเอาต์พุตใกล้เคียงกับเอาต์พุตของระบบ โดยเอาต์พุตของแบบจำลองจะมีค่าเข้าใกล้เอาต์พุตของระบบเมื่อคาบเวลาสุ่มมีค่าน้อยลง เนื่องจากความผิดพลาดในการประมาณอนุพันธ์เชิงตัวเลขมีค่าลดลง แสดงให้เห็นว่าแบบจำลองสมการดิฟเฟอเรนเชียลสามารถนำมาใช้แทนแบบจำลองสมการดิฟเฟอเรนเชียลของระบบในการออกแบบตัวควบคุมได้

### 3.3.3 ผลการจำลองการควบคุมระบบจานหมุนทางกล

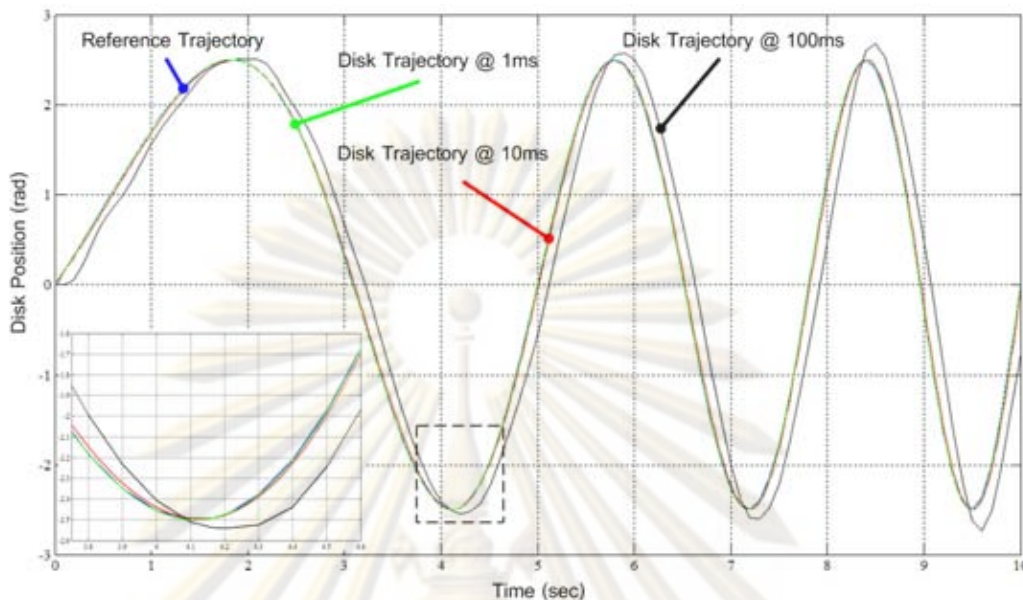
ในการจำลองควบคุมตำแหน่งจานหมุนของระบบจานหมุนทางกล จะกำหนดขีดจำกัดของฮาร์ดแวร์ หรือค่าสูงสุดของสัญญาณควบคุมที่สามารถสร้างได้ โดยให้ค่าอินพุตทอร์คสูงสุดเท่ากับ 3 นิวตัน.เมตร และจำลองควบคุมให้เอาต์พุตของระบบติดตามทางเดินอ้างอิงแบบต่อเนื่องและไม่ต่อเนื่อง โดยใช้อินพุตของการควบคุมตามสมการ (2.30) ระบบควบคุมจะเป็นดังรูปที่ 3.6



รูปที่ 3.6 แผนภาพการจำลองควบคุมทางเดินของระบบจานหมุนทางกล

#### 3.3.3.1 ผลการจำลองควบคุมให้เอาต์พุตของระบบติดตามทางเดินอ้างอิงแบบต่อเนื่อง

ทำการจำลองควบคุม โดยกำหนดเวลาสุ่มมีค่าเท่ากับ 100 มิลลิวินาที 10 มิลลิวินาที และ 1 มิลลิวินาที เพื่อเปรียบเทียบผลลัพธ์ของการควบคุม และศักยภาพของตัวควบคุมที่เวลาสุ่มต่างๆ และให้สัญญาณทางเดินอ้างอิงที่ต้องการเป็นไซน์สวีป (Sine sweep) ความถี่ 0.1-0.5 เฮิรตซ์ ภายในเวลา 10 วินาที มีแอมพลิจูด 2.5 เรเดียน เฟสเริ่มต้นที่ 0 เรเดียน และให้เอาต์พุตของระบบเริ่มต้นที่ 0 เรเดียน



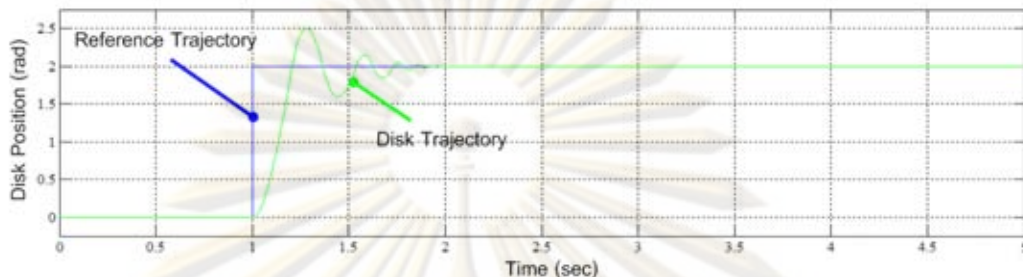
รูปที่ 3.7 ผลการจำลองควบคุมระบบจานหมุนทางกลให้ติดตามทางเดินแบบต่อเนื่องที่คาบเวลา  
 สุ่มต่างๆ

จากผลการจำลองควบคุมระบบจานหมุนทางกลให้ติดตามทางเดินแบบต่อเนื่องโดยใช้เวลาสุ่มที่แตกต่างกันในรูปที่ 3.7 จะพบว่าเอาต์พุตของระบบสามารถติดตามทางเดินอ้างอิงได้ โดยเอาต์พุตของระบบจะเข้าใกล้ทางเดินอ้างอิงมากขึ้นเมื่อคาบเวลาสุ่มมีค่าน้อยลง นั่นคือตัวควบคุมจะให้ผลลัพธ์การควบคุมทางเดินที่มีความแม่นยำมากขึ้นเมื่อคาบเวลาสุ่มมีค่าน้อยลง แสดงให้เห็นว่าตัวควบคุมมีศักยภาพในการควบคุมทางเดินของระบบให้ติดตามทางเดินอ้างอิงแบบต่อเนื่องได้เป็นอย่างดี

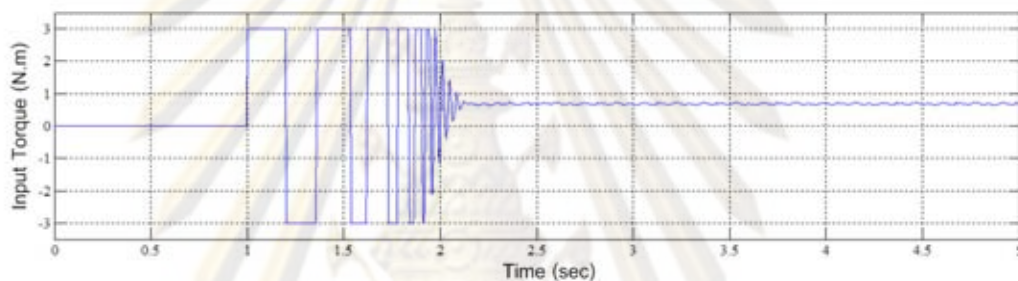
### 3.3.3.2 ผลการจำลองควบคุมให้เอาต์พุตของระบบติดตามทางเดินอ้างอิงแบบไม่ต่อเนื่อง

ทำการจำลองควบคุมให้เอาต์พุตของระบบจานหมุนทางกลติดตามทางเดินอ้างอิงที่มีลักษณะไม่ต่อเนื่องมีลักษณะเป็นขั้นบันได (Step trajectory) ผลการจำลองควบคุมให้เอาต์พุตของระบบติดตามทางเดินอ้างอิงแบบไม่ต่อเนื่องเป็นฟังก์ชันขั้นขนาด 2 เรเดียน ที่เวลาสุ่ม 5 มิลลิวินาที และเอาต์พุตของระบบเริ่มต้นที่ 0 เรเดียน รูปที่ 3.8 จากผลการจำลองควบคุมทั้งสองกรณีพบว่าเอาต์พุตเกิดการสั่นก่อนที่จะเข้าสู่สัญญาณเส้นทางเดินอ้างอิง เนื่องจากสัญญาณควบคุมที่จะนำระบบเข้าสู่ทางเดินมีค่าสูงจนเกินขีดจำกัดของฮาร์ดแวร์ ทำให้สัญญาณควบคุมอิมพัลส์ที่มีค่าสูงสุดที่เป็นไปได้ อย่างไรก็ตามสัญญาณควบคุมจะมีค่าลดลงเมื่อระบบเข้าใกล้เส้นทาง

เดินอ้างอิง การสั่นจะลดลงเมื่อสัญญาณควบคุมที่คำนวณได้มีค่าไม่เกินขีดจำกัดของฮาร์ดแวร์ เนื่องจากระบบควบคุมไม่ได้ถูกออกแบบมาให้รับมือกับสัญญาณอ้างอิงที่มีลักษณะไม่ต่อเนื่อง



(ก) เคาต์พุตของระบบควบคุม



(ข) สัญญาณควบคุม

รูปที่ 3.8 ผลการจำลองควบคุมระบบจานหมุนทางกลให้ติดตามทางเดินแบบขั้นบันได

วิธีการเพิ่มศักยภาพของตัวควบคุมให้สามารถรับมือกับสัญญาณทางเดินอ้างอิงที่เป็นฟังก์ชันขั้น สามารถทำได้โดยการปรับสัญญาณทางเดินอ้างอิงให้มีลักษณะเป็นสัญญาณแบบต่อเนื่องที่มีพลวัตตามที่กำหนด โดยให้สัญญาณอ้างอิงผ่านสมการฟังก์ชันถ่ายโอนที่มีพลวัตเท่ากับที่กำหนด  $G(s)$  ดังรูปที่ 3.9 และสามารถกำหนดสมการฟังก์ชันถ่ายโอนให้ที่มีพลวัตเท่ากับที่ต้องการเพื่อให้ระบบควบคุมมีการตอบสนองต่อสัญญาณอ้างอิงที่เป็นฟังก์ชันขั้น เช่นเดียวกับระบบที่มีอันดับสอง (Second-Order Systems) ได้ดังนี้

สมการฟังก์ชันถ่ายโอนรูปแบบมาตรฐานของระบบที่มีอันดับสอง [39]

$$G(s) = \frac{\omega_n^2}{s^2 + 2\xi\omega_n s + \omega_n^2} \quad (2.38)$$

ค่าโพลของสมการฟังก์ชันถ่ายโอนข้างต้นจะมีค่า



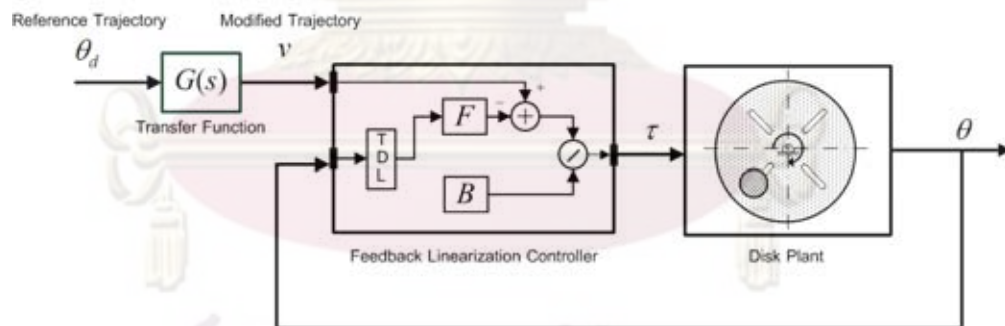
$$\left. \begin{aligned} s_1 &= -\zeta\omega_n - \omega_n\sqrt{1-\zeta^2} \\ s_2 &= -\zeta\omega_n + \omega_n\sqrt{1-\zeta^2} \end{aligned} \right\} \quad (2.39)$$

โดยที่ตัวพารามิเตอร์อัตราส่วนการหน่วง (Damping ratio)  $\zeta$  และค่าความถี่ธรรมชาติ (Natural frequency)  $\omega_n$  เป็นตัวบ่งบอกลักษณะของการตอบสนองของระบบอันดับที่สอง ดังนั้นจึงสามารถกำหนดทางเดินแบบต่อเนื่องที่มีพลวัตเท่ากับที่ต้องการได้โดยการกำหนดค่าอัตราส่วนการหน่วง  $\zeta$  และค่าเวลาคงที่ (Time constant)  $t_c$  ของระบบอันดับสอง โดยที่

$$t_c = \frac{1}{\zeta\omega_n} \quad (2.40)$$

สมการฟังก์ชันถ่ายโอน (2.38) จะสามารถเขียนได้เป็น

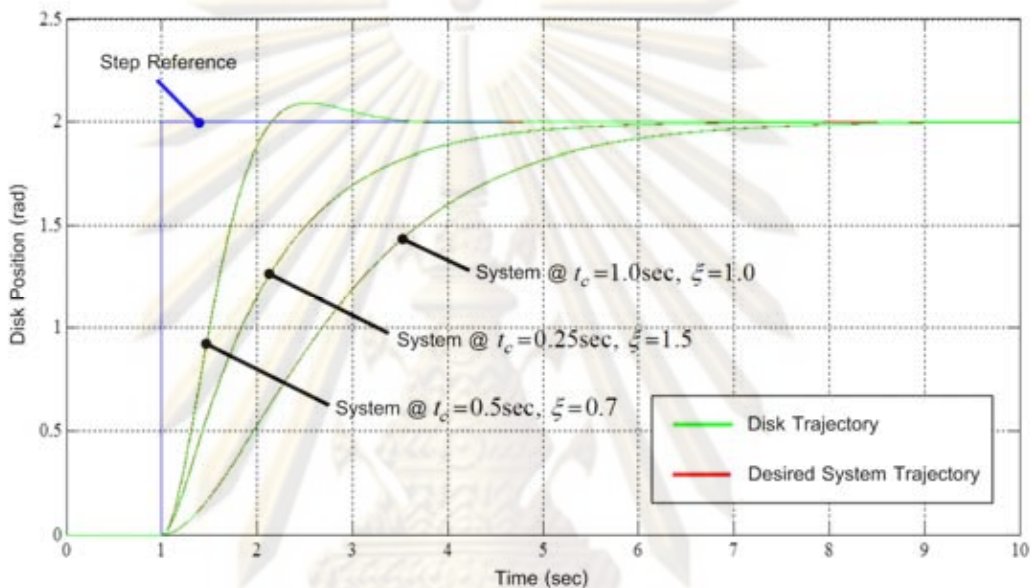
$$G(s) = \frac{\left(\frac{1}{\zeta t_c}\right)^2}{s^2 + \frac{2}{t_c}s + \left(\frac{1}{\zeta t_c}\right)^2} \quad (2.41)$$



รูปที่ 3.9 แผนภาพการจำลองควบคุมทางเดินของระบบจานหมุนทางกลสำหรับทางเดินอ้างอิงที่มีลักษณะเป็นขั้นบันได

รูปที่ 3.10 แสดงผลการจำลองควบคุมโดยกำหนดพลวัตของฟังก์ชันถ่ายโอนให้มีค่าเวลาคงที่และอัตราส่วนการหน่วงต่างกัน เป็น (1)  $t_c = 0.5$  วินาที  $\zeta = 0.7$  (2)  $t_c = 0.25$  วินาที  $\zeta = 1.5$  และ (3)  $t_c = 1$  วินาที  $\zeta = 1$  ตามลำดับ ผลลัพธ์การควบคุมแสดงให้เห็นว่าวิธีการนี้สามารถรับมือกับสัญญาณอ้างอิงที่มีลักษณะเป็นขั้นบันไดได้อย่างน่าพอใจ นั่นคือเอาต์พุตมีการตอบสนองเช่นเดียวกับระบบที่มีพลวัตเท่ากับที่กำหนด หรือเอาต์พุตสามารถติดตามทางเดิน

อ้างอิงแบบต่อเนื่องที่มีพลวัตเท่ากับที่กำหนดได้นั่นเอง แต่ทั้งนี้ขึ้นอยู่กับขนาดสัญญาณควบคุมสูงสุดที่เป็นไปได้ หากกำหนดผลตอบสนองของระบบมีความเร็วสูง ก็จำเป็นที่จะต้องใช้สัญญาณควบคุมที่มีค่าสูงขึ้นไปด้วย ซึ่งอาจจะเกินขีดจำกัดของสัญญาณควบคุมที่สามารถสร้างได้ ทำให้ระบบไม่สามารถตอบสนองตามที่ต้องการ นอกจากนี้วิธีการดังกล่าวจะเป็นผลทำให้ระบบควบคุมกลับมามีพลวัตเท่ากับที่กำหนดแทน



รูปที่ 3.10 ผลการจำลองควบคุมระบบจานหมุนทางกลให้ติดตามทางเดินแบบขั้นบันไดโดยกำหนดพลวัตของฟังก์ชันถ่ายโอนแบบต่างๆ

### 3.3.4 สรุปผลการจำลองควบคุมระบบจานหมุน

จากผลการจำลองควบคุม แสดงให้เห็นว่าตัวควบคุมที่ใช้การแปลงระบบให้เป็นเชิงเส้นที่ออกแบบบนระบบเวลาไม่ต่อเนื่อง สามารถจำลองควบคุมให้เอาต์พุตของระบบติดตามสัญญาณทางเดินอ้างอิงแบบต่อเนื่องเป็นชานส์สวิปที่ต้องการได้อย่างน่าพอใจ โดยจะให้ผลลัพธ์การจำลองควบคุมที่มีประสิทธิภาพมากขึ้นเมื่อเวลาสุ่มมีค่าลดลงเนื่องจากระบบควบคุมถูกออกแบบให้มีเวลาน่วงคงที่เท่ากับเวลาสุ่ม นอกจากนี้ตัวควบคุมยังสามารถรับมือกับสัญญาณอ้างอิงแบบไม่ต่อเนื่องมีลักษณะเป็นขั้นบันไดได้ โดยให้สัญญาณอ้างอิงผ่านฟังก์ชันถ่ายโอนที่มีพลวัตเท่ากับที่กำหนด เพื่อปรับสัญญาณอ้างอิงให้มีลักษณะเป็นสัญญาณแบบต่อเนื่อง ทำให้มีผลตอบสนองเช่นเดียวกับระบบที่มีอันดับสองตามที่มีพลวัตตามที่ต้องการได้อีกด้วย

## บทที่ 4

### ตัวควบคุมชนิดปรับค่าเองได้

#### 4.1 บทนำ

เมื่อต้องการศึกษาถึงปรากฏการณ์ต่างๆ ที่เกิดขึ้นภายในระบบ จะพบว่า มีตัวแปรที่สามารถบอกถึงสถานะของระบบ เข้ามาเกี่ยวข้องกับระบบที่พิจารณาด้วยเสมอ ตัวแปรที่สำคัญสามารถแยกออกได้เป็นสองประเภทคือ (1) อินพุต (2) เอาต์พุต ซึ่งตัวแปรเหล่านี้จะมีการเปลี่ยนแปลงได้ตามเวลา

อินพุต (Input) คือตัวแปรภายนอกที่สามารถส่งผลต่อการเปลี่ยนแปลงของพฤติกรรมระบบ โดยที่ระบบหนึ่งๆ สามารถมีอินพุตได้มากกว่าหนึ่งตัว อินพุตที่เราสามารถควบคุมได้ จะเรียกว่า ตัวแปรปรับ (Manipulated Variables) ส่วนอินพุตที่ไม่สามารถควบคุมได้ เรียกว่า ตัวแปรรบกวน (Disturbance Variables)

เอาต์พุต (Output) คือตัวแปรที่แสดงการตอบสนองของระบบที่มีต่อการเปลี่ยนแปลงของอินพุต ซึ่งในส่วนของเอาต์พุตที่เราต้องการควบคุมจะเรียกว่าเป็น ตัวแปรควบคุม (Controlled Variables) และจะต้องสามารถวัดค่าได้

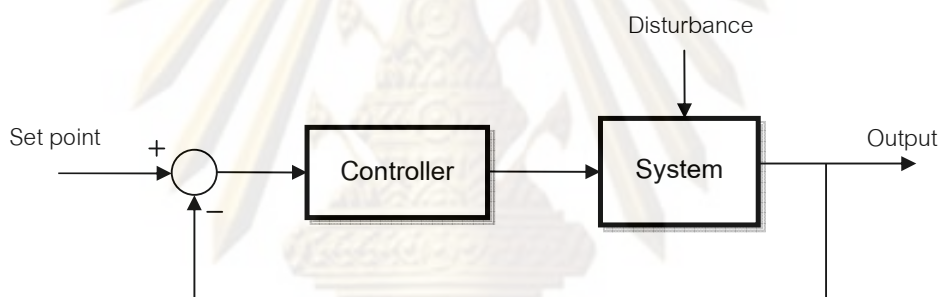
การควบคุมระบบเป็นความต้องการที่จะควบคุม “ตัวแปรควบคุม” ที่เราสนใจด้วยการปรับ “ตัวแปรปรับ” ที่สำคัญบางตัว โดยที่ตัวแปรทั้งสองชุดนี้จะมีความสัมพันธ์เกี่ยวข้องกัน หรือมีความควบคุมได้ (Controllability) ซึ่งรูปแบบการควบคุมที่เป็นที่นิยมใช้กันแพร่หลายในระบบควบคุมอัตโนมัติคือ การควบคุมแบบป้อนกลับ (Feedback Control)

หลักของกระบวนการควบคุมแบบป้อนกลับต่างๆ ไป คือมีการใช้ค่าความผิดพลาด (Error) ซึ่งเป็นผลต่างของค่าเป้าหมายที่ต้องการ (Setpoint) กับค่าตัวแปรควบคุมในกระบวนการที่ได้จากการวัด มาผ่านขั้นตอนวิธีทางคณิตศาสตร์ เพื่อทำการคำนวณหาเอาต์พุตของตัวควบคุม (Controller Output) ซึ่งขั้นตอนวิธีทางคณิตศาสตร์ที่ใช้ จะมีความซับซ้อน แตกต่างกันไปตามรูปแบบและชนิดของตัวควบคุมนั้นๆ

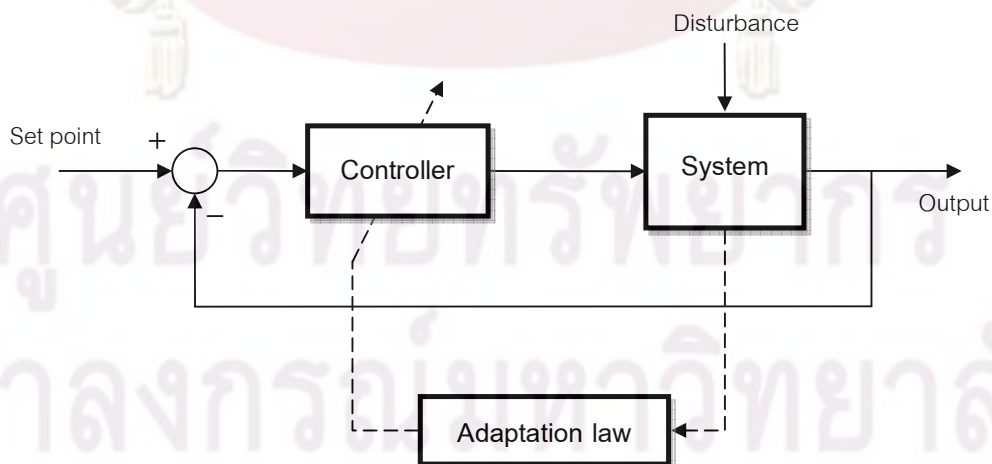
ถึงแม้ว่าตัวควบคุมแบบป้อนกลับต่างๆ ไป เช่น ตัวควบคุมพีไอดี จะเป็นที่นิยมกันอย่างกว้างขวาง เพราะมีความทนทาน (Robustness) สูง และสามารถทำความเข้าใจได้ง่าย แต่เนื่องจากข้อจำกัดในหลายด้านของตัวควบคุมแบบป้อนกลับเหล่านั้น จึงได้มีการพัฒนาตัวควบคุม

ที่มีความซับซ้อนเพิ่มขึ้น เพื่อให้สามารถรองรับความต้องการ ที่มีต่อประสิทธิภาพในการควบคุมระบบที่สูงขึ้นได้

การควบคุมแบบปรับตัวได้ (Adaptive Control) [18] [27] เป็นหนึ่งในการพัฒนาตัวควบคุมให้มีประสิทธิภาพสูงขึ้น เป็นการควบคุมที่สามารถปรับการตอบสนอง ให้เข้ากับ ความเปลี่ยนแปลงที่เกิดขึ้นกับลักษณะของตัวแปรกระบวนการ หรือความเปลี่ยนแปลงเนื่องจากกระบวนการที่เป็นพลวัตได้ ข้อแตกต่างที่เห็นได้ชัดระหว่างตัวควบคุมแบบปรับตัวได้ กับตัวควบคุมแบบป้อนกลับธรรมดา นั้นคือตัวควบคุมแบบปรับตัวได้จะมีการปรับค่าพารามิเตอร์ในตัวเอง และมีกลไกในการหาค่าพารามิเตอร์ที่เหมาะสมนั้น ซึ่งตัวควบคุมแบบป้อนกลับทั่วไป จะมียค่าพารามิเตอร์คงที่ สังเกตความแตกต่างระหว่างการควบคุมแบบป้อนกลับธรรมดา (รูปที่ 4.1) กับการควบคุมแบบปรับตัวได้ (รูปที่ 4.2)



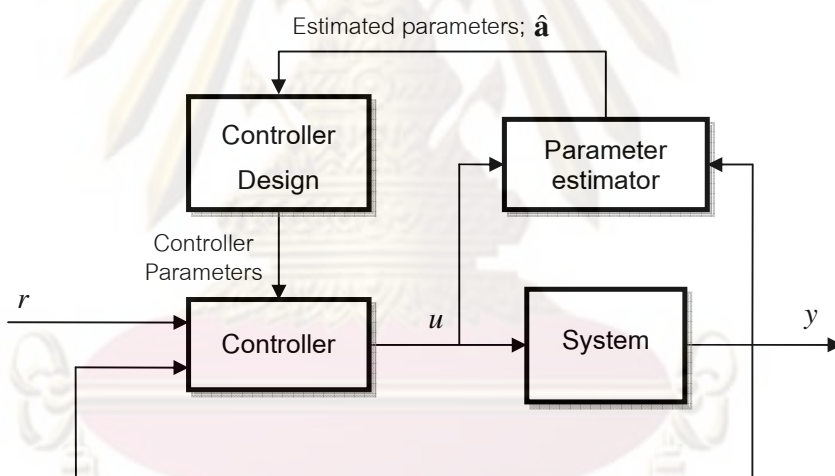
รูปที่ 4.1 การควบคุมแบบป้อนกลับทั่วไป (Typical Feedback Control)



รูปที่ 4.2 การควบคุมแบบปรับตัวได้ (Adaptive Control)

จะเห็นว่าระบบการควบคุมแบบปรับตัวได้ประกอบด้วยสองวง โดยวงแรกมีลักษณะเช่นเดียวกับวงป้อนกลับ ส่วนอีกวงหนึ่ง que เพิ่มขึ้นมาจากระบบธรรมดา จะเป็นวงของการปรับค่าพารามิเตอร์ โดยทั่วไปวงของการปรับค่าจะดำเนินไปช้ากว่าวงของการป้อนกลับ

ในการออกแบบการควบคุมแบบไม่สามารถปรับตัวได้ (Non-adaptive Control) นั้นจะสามารถคำนวณพารามิเตอร์ของตัวควบคุมได้จากระบบที่ต้องการจะควบคุม แต่หากไม่ทราบพารามิเตอร์ของระบบที่ต้องการจะควบคุม วิธีการที่สมเหตุสมผลที่สุดก็คือการประมาณค่าพารามิเตอร์เหล่านั้น โดยใช้ตัวประมาณค่าพารามิเตอร์ (Parameter Estimator) ตัวควบคุมที่ได้มาจากการทำงานร่วมกันของตัวควบคุมกับตัวประมาณค่าพารามิเตอร์แบบออนไลน์ (On-line Parameter Estimator) จะถูกเรียกว่า “Self-tuning Controller” หรือตัวควบคุมชนิดปรับค่าเองได้ รูปที่ 4.3 แสดงโครงสร้างของตัวควบคุมชนิดปรับค่าเองได้ ซึ่งเป็นตัวควบคุมที่ทำงานไปพร้อมๆ กับการประมาณค่าพารามิเตอร์ของระบบ



รูปที่ 4.3 ตัวควบคุมชนิดปรับค่าเองได้

การทำงานของตัวควบคุมชนิดปรับค่าเองได้จะเป็นไปตามขั้นตอนดังนี้คือ ในแต่ละช่วงเวลา ตัวประมาณค่าจะส่งค่าประมาณของพารามิเตอร์ของระบบ ( $\hat{\mathbf{a}}$  ในรูปที่ 4.3) ไปยังตัวควบคุม ซึ่งค่าประมาณนั้นถูกคำนวณโดยใช้อินพุต  $u$  และเอาต์พุต  $y$  ในอดีตของระบบที่ต้องการจะควบคุม จากนั้นคอมพิวเตอร์จะทำการคำนวณพารามิเตอร์ของตัวควบคุม และใช้พารามิเตอร์ของตัวควบคุมกับค่าจากการวัดมาใช้คำนวณออกมาเป็นสัญญาณควบคุม สำหรับนำไปควบคุมระบบ และวนซ้ำเช่นนี้ไปเรื่อยๆ การปรับค่าพารามิเตอร์ของตัวควบคุมในลักษณะนี้ถือเป็นการปรับตัวแบบทางอ้อม (Indirect Adaptive Control) ผ่านทางพารามิเตอร์ของระบบที่

ประมาณได้ แต่อย่างไรก็ตามเราสามารถจัดการคำนวณในส่วนนี้ได้ โดยการปรับเปลี่ยนพารามิเตอร์ของระบบใหม่ให้อยู่ในรูปพารามิเตอร์ของตัวควบคุม ทำให้ตัวควบคุมมีการปรับตัวแบบทางตรง (Direct Adaptive Control) จากพารามิเตอร์ที่ประมาณได้

งานวิจัยนี้มุ่งเน้นไปที่การศึกษาตัวควบคุมที่แปลงระบบควบคุมให้เป็นระบบเชิงเส้นด้วยการป้อนกลับชนิดปรับค่าเองได้ (Self-tuning Feedback Linearization Controller) เป็นตัวควบคุมชนิดปรับค่าเองได้ ซึ่งอยู่ในกลุ่มของการควบคุมแบบปรับตัวได้ ลักษณะของตัวควบคุมรูปแบบนี้จะประกอบไปด้วย 3 ส่วนหลักคือ

- การออกแบบตัวควบคุม (Controller Design) เพื่อให้ได้ระบบควบคุมที่เหมาะสมกับระบบที่ต้องการจะควบคุม ภาพได้เงื่อนไขการออกแบบที่ได้กำหนดไว้
- การหาเอกลักษณ์ของระบบ (System Identification) เป็นการสร้างความสัมพันธ์ทางคณิตศาสตร์ในรูปของแบบจำลองขึ้นมา เพื่อนำไปใช้ในการปรับปรุงตัวควบคุม
- การนำไปใช้ (Implementation) คือขั้นตอนวิธีการนำตัวควบคุมที่ได้จากการออกแบบมาใช้ในการควบคุม เพื่อให้ได้การตอบสนองที่เป็นไปตามวัตถุประสงค์ที่ต้องการ

โดยตัวควบคุมจะใช้วิธีการแปลงระบบควบคุมให้เป็นเชิงเส้นด้วยการป้อนกลับ และตัวควบคุมสามารถปรับค่าเองได้ คือ ตัวควบคุมสามารถปรับพารามิเตอร์ของตัวควบคุมได้แบบออนไลน์ เพื่อคงไว้ซึ่งศักยภาพของระบบควบคุมเมื่อมีความไม่แน่นอนของพารามิเตอร์หรือมีการเปลี่ยนแปลงพารามิเตอร์ของระบบเกิดขึ้น โดยไม่ต้องออกแบบตัวควบคุมใหม่ อีกทั้งยังสามารถลดความยุ่งยากในการใช้งานลงได้เนื่องจากไม่จำเป็นต้องใช้แบบจำลองของระบบล่วงหน้า แต่อาศัยการหาเอกลักษณ์ของระบบแบบออนไลน์โดยใช้แบบจำลองตารางค้นหา (Look-up Table Model) ร่วมกับวิธีกำลังสองน้อยสุดแบบวนซ้ำ (Recursive least square; RLS) ในการประมาณค่าพารามิเตอร์ของแบบจำลอง ทำให้แบบจำลองโดยประมาณสามารถปรับค่าแบบออนไลน์ได้ (Online tuning)

#### 4.2 การออกแบบตัวควบคุม (Controller Design)

ในงานวิจัยนี้ได้ออกแบบตัวควบคุมสำหรับควบคุมทางเดิน (Trajectory) ของระบบจรวดโดยใช้วิธีการแปลงให้ระบบควบคุมเป็นระบบเชิงเส้นด้วยการป้อนกลับ ดังที่ได้ออกแบบไว้ในหัวข้อ 3.2.2 ซึ่งข้อมูลที่นำมาใช้ในการคำนวณสัญญาณควบคุม (2.30) คือ

สัญญาณทางเดินอ้างอิงที่ต้องการ  $\theta_{d,k}$  ค่าของฟังก์ชันไม่เชิงเส้น  $\hat{F}(\theta_k, \theta_{k-1})$  และฟังก์ชันคงที่  $\hat{B}$  ดังนี้

$$\tau_k = \frac{1}{\hat{B}} [\theta_{d,k} - \hat{F}(\theta_k, \theta_{k-1})] \quad (3.1)$$

เมื่อให้สัญญาณควบคุม (3.1) กับระบบ (2.28)-(2.29) ในสมการด้านล่าง

$$\theta_{k+1} = F(\theta_k, \theta_{k-1}) + B\tau_k$$

จะได้ระบบควบคุมแบบปิดคือ

$$\theta_{k+1} = F(\theta_k, \theta_{k-1}) + \frac{B}{\hat{B}} [\theta_{d,k} - \hat{F}(\theta_k, \theta_{k-1})] \quad (3.2)$$

$$\theta_{k+1} = \left[ F(\theta_k, \theta_{k-1}) - \frac{B}{\hat{B}} \hat{F}(\theta_k, \theta_{k-1}) \right] + \frac{B}{\hat{B}} \theta_{d,k} \quad (3.3)$$

$$\theta_{k+1} = e_F(\theta_k, \theta_{k-1}, e_B) + e_B \theta_{d,k} \quad (3.4)$$

โดยที่

$$\left. \begin{aligned} e_F(\theta_k, \theta_{k-1}, e_B) &= F(\theta_k, \theta_{k-1}) - \frac{B}{\hat{B}} \hat{F}(\theta_k, \theta_{k-1}) \\ e_B &= \frac{B}{\hat{B}} \end{aligned} \right\} \quad (3.5)$$

#### 4.3 การหาเอกลักษณ์ของระบบแบบออนไลน์ (Online System Identification)

การหาเอกลักษณ์ของระบบ เป็นกรรมวิธีในการจำลองระบบพลวัตขึ้นมาจากการใช้ข้อมูลอินพุต และเอาต์พุตของระบบที่ได้จากการทดลอง ระบบที่ได้จากการหาเอกลักษณ์ จะแสดงได้โดยการเขียนในรูปของแบบจำลอง (Model) เพื่อที่จะแสดงให้เห็นถึงความสัมพันธ์ของตัวแปรอินพุตและเอาต์พุตที่ได้มานั้น แบบจำลองของระบบมักจะอยู่ในรูปของแบบจำลองทางคณิตศาสตร์ ซึ่งอาศัยพื้นฐานมาจากการหาสมดุลมวล และสมดุลพลังงานทำให้แบบจำลองทางคณิตศาสตร์ที่ได้นั้น อยู่ในรูปของสมการผลต่าง หรือสมการอนุพันธ์ (Difference or Differential Equation) เนื่องจากแบบจำลองทางคณิตศาสตร์ในรูปแบบนี้ มีความเหมาะสมต่อการวิเคราะห์ทำนาย และออกแบบระบบทางพลวัต

แต่สำหรับระบบที่มีระบบซับซ้อน เช่นระบบที่มีความไม่เป็นเชิงเส้น (Nonlinear System) การที่จะหาแบบจำลองทางคณิตศาสตร์ที่ถูกต้องเป็นไปได้ยาก ดังนั้นอาจจำเป็นต้องประมาณระบบด้วยแบบจำลองที่มีความซับซ้อนน้อยลง ถึงแม้ว่าการประมาณระบบเช่นนี้จะค่าการประมาณที่มีความผิดพลาดจากระบบจริงอยู่บ้าง แต่ก็ทำให้ระบบมีความซับซ้อนและยุ่งยากน้อยลง และทำให้การประมาณค่าเป็นไปได้อย่างรวดเร็ว และง่ายมากขึ้น

พิจารณาตัวควบคุมในหัวข้อ 4.2 จะเห็นว่าพารามิเตอร์ของตัวควบคุมนั้นถูกคำนวณจากพารามิเตอร์ของระบบโดยตรง ดังนั้นเราจึงสามารถนำพารามิเตอร์ของระบบควบคุมแบบปิด (3.4)-(3.5) มาปรับแก้พารามิเตอร์ของตัวควบคุมได้ด้วยการหาเอกลักษณ์ของระบบปิดดังกล่าว

ในงานวิจัยนี้จะออกแบบตัวควบคุมชนิดค่าเองได้ สำหรับกรณีที่ทราบค่าของฟังก์ชันคงที่  $B$  ซึ่งหาได้จากค่า  $J$  ในสมการ (1.1) แต่ไม่ทราบพารามิเตอร์ของฟังก์ชันไม่เชิงเส้น  $f(\theta, \dot{\theta})$  ซึ่งเป็นฟังก์ชันของแรงเสียดทานและแรงโน้มถ่วง โดยจะส่งผลให้ระบบควบคุมในสมการ (3.4)-(3.5) มีเฉพาะค่าความผิดพลาดที่เกิดจากความคลาดเคลื่อนของฟังก์ชัน  $\hat{F}$  ดังสมการด้านล่าง

$$\theta_{k+1} = e_F(\theta_k, \theta_{k-1}, e_B) + e_B \theta_{d,k} \quad (3.6)$$

โดยที่

$$\left. \begin{aligned} e_B &= 1 \\ e_F(\theta_k, \theta_{k-1}, e_B) &= e_F(\theta_k, \theta_{k-1}) \end{aligned} \right\} \quad (3.7)$$

อย่างไรก็ตามการหาเอกลักษณ์ของฟังก์ชัน  $e_F$  ซึ่งเป็นฟังก์ชันสองตัวแปรนั้นจำเป็นต้องใช้ข้อมูลจำนวนมากจึงไม่มีความเหมาะสมต่อการหาเอกลักษณ์แบบออนไลน์ ดังนั้นจึงกำหนดเงื่อนไขให้ทางเดินอ้างอิงที่ต้องการมีลักษณะเป็นฟังก์ชันเป็นคาบ (Periodic Function) เพื่อให้ฟังก์ชัน  $F$  และฟังก์ชัน  $e_F$  จะเป็นฟังก์ชันของตัวแปรเวลาเพียงตัวแปรเดียว จะได้

$$e_F(\theta_k, \theta_{k-1}) = e_{F,k} \quad (3.8)$$

ระบบปิด (3.6)-(3.7) จะสามารถเขียนได้เป็น

$$\theta_{k+1} = e_{F,k} + \theta_{d,k} \quad (3.9)$$



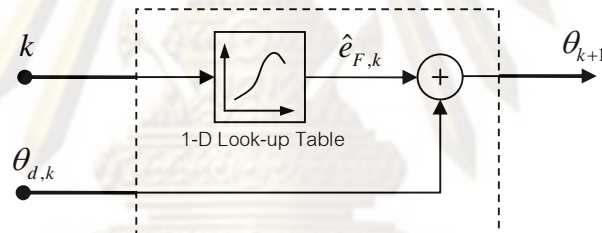
โดยที่

$$e_{F,k} = F_k - \hat{F}_k \quad (3.10)$$

จาก (3.9)-(3.10) แสดงให้เห็นว่าเราสามารถปรับปรุงฟังก์ชัน  $\hat{F}_k$  ให้ถูกต้องได้ โดยใช้  $e_{F,k}$  ซึ่งจะได้จากการหาเอกลักษณ์ของระบบปิด (3.9)

#### 4.3.1 แบบจำลองโดยประมาณของระบบปิด (Approximate model)

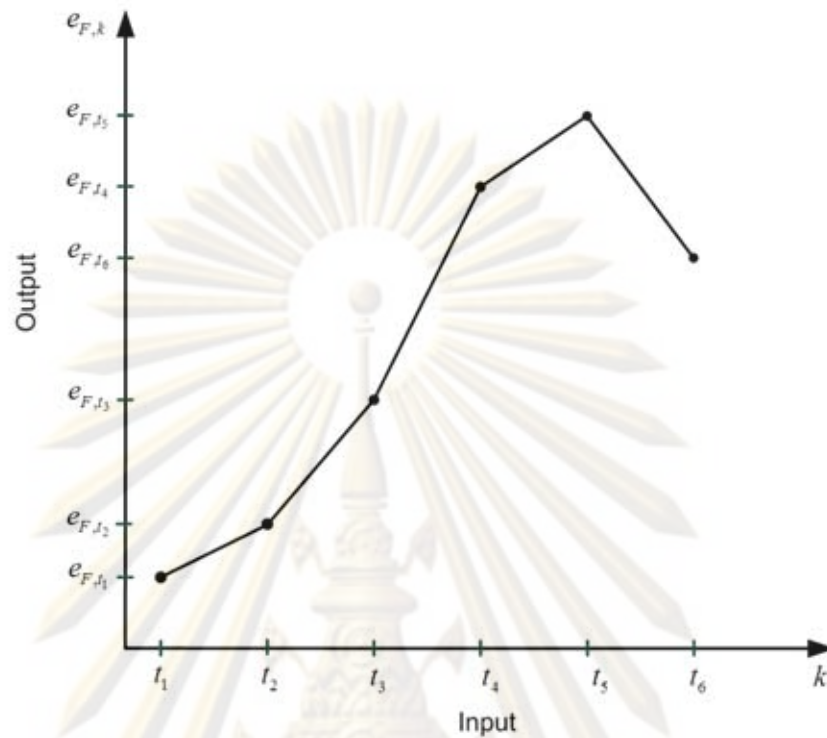
แบบจำลองโดยประมาณของระบบปิด (3.9)-(3.10) จะใช้แบบจำลองตารางค้นหา ซึ่งมีความเหมาะสมกับระบบที่มีความไม่เป็นเชิงเส้นสูง และมีวิธีการคำนวณที่ไม่ซับซ้อน [40] โดยแบบจำลองจะประกอบด้วยตารางค้นหา 1 มิติ (One-Dimensional Look-up Table) ที่มีอินพุตเป็นเวลา  $k$  และเอาต์พุตเป็นค่าของฟังก์ชัน  $e_{F,k}$  ณ เวลานั้น แผนผังแบบจำลองของระบบปิดจะเป็นดังรูปที่ 4.4



รูปที่ 4.4 แผนผังแบบจำลองโดยประมาณของระบบปิด

รูปที่ 4.5 แสดงตารางค้นหาหนึ่งมิติของแบบจำลอง ที่ประกอบด้วยจุดข้อมูล 6 จุด คือ  $(t_1, e_{F,t_1})$  ถึง  $(t_6, e_{F,t_6})$  ซึ่งค่าอินพุต 6 ค่า  $t_1$  ถึง  $t_6$  ที่มีความสัมพันธ์กับค่าเอาต์พุต  $e_{F,t_1}$  ถึง  $e_{F,t_6}$  ถูกจัดเก็บไว้ตารางค้นหา เอ้าต์พุตของแบบจำลองตารางค้นหาจะถูกคำนวณโดยใช้จุดในตารางค้นหาที่อยู่ใกล้ที่สุดทางด้านซ้ายและด้านขวาของอินพุตของแบบจำลอง และทำการคำนวณโดยใช้การประมาณค่าในช่วงแบบเชิงเส้น (Linear Interpolation) กับค่าทั้งสอง ทำให้ได้เอาต์พุตของตารางค้นหาหนึ่งมิติเป็นดังนี้

$$\hat{e}_{F,k} = \frac{e_{F,t_{\text{left}}}(t_{\text{right}} - k) + e_{F,t_{\text{right}}}(k - t_{\text{left}})}{t_{\text{right}} - t_{\text{left}}} \quad (3.11)$$



รูปที่ 4.5 ตารางค้นหาหนึ่งมิติที่มีข้อมูล  $m$  จุด

#### 4.3.2 การประมาณค่าพารามิเตอร์แบบออนไลน์ (Online Parameter Estimation)

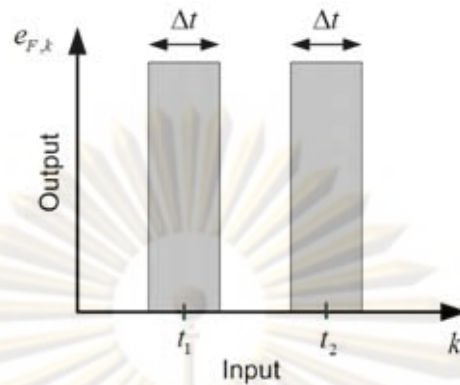
การประมาณค่าพารามิเตอร์ของระบบแบบออนไลน์ จะใช้วิธีกำลังสองน้อยสุดแบบวนซ้ำ [40] ในการประมาณฟังก์ชัน  $\hat{e}_{F,k}$  ซึ่งจะถูกรวบรวมในตารางค้นหา เพื่อนำไปปรับแก้พารามิเตอร์ของตัวควบคุม

จากระบบปิด (3.9) เราสามารถจัดรูปสมการใหม่ได้ดังสมการ (3.12) ซึ่งแสดงให้เห็นว่าค่าของฟังก์ชัน  $e_{F,k}$  สามารถหาได้จากการวัดค่าอินพุตและเอาต์พุตของระบบควบคุม

$$e_{F,k} = \theta_{k+1} - \theta_{d,k} \quad (3.12)$$

ขั้นตอนการจับเก็บข้อมูลลงในตารางค้นหา (Measurement of Look-up Table)

ข้อมูลที่วัดได้ไม่จำเป็นต้องตรงกับจุดข้อมูลในตารางค้นหา  $t_j$  อย่างแม่นยำ แต่จะยอมให้มีความคลาดเคลื่อน (tolerance)  $\Delta t$  ได้ (รูปที่ 4.6) โดยจะนำข้อมูลที่ได้จากบริเวณโดยรอบมาเฉลี่ยด้วยวิธีกำลังสองน้อยสุดคำนวณค่าของฟังก์ชัน  $\hat{e}_{F,t_j}$  โดยใช้ แล้วจึงจัดเก็บเอาต์พุตที่คำนวณได้ลงในตารางค้นหา ซึ่งการทำเช่นนี้จะช่วยลดสัญญาณรบกวนได้



รูปที่ 4.6 ความคลาดเคลื่อนของข้อมูลยอมรับได้รอบจุดข้อมูลในตารางค้นหา

พิจารณาข้อมูลที่วัดได้รอบจุดข้อมูลใดๆ ในตารางค้นหา

$$t_j - \frac{\Delta t}{2} \leq k \leq t_j + \frac{\Delta t}{2} \quad (3.13)$$

วิธีกำลังสองน้อยสุดมีจุดประสงค์คือ ต้องการประมาณค่า  $\hat{e}_{F,t_j}$  ที่ทำให้ฟังก์ชันผลรวมค่าผิดพลาดกำลังสอง (Sum Square Error; SSE) มีค่าน้อยสุด

$$SSE = \sum_{i=1}^n \|\hat{e}_{F,t_j} - e_{F,k}(i)\|^2 \quad (3.14)$$

เมื่อ  $n$  เป็นจำนวนข้อมูลของค่าการวัด โดยระเบียบวิธีกำลังสองน้อยสุดแบบวนซ้ำ (Recursive Least Square Algorithm) จะมีขั้นตอนดังสมการด้านล่าง

$$\hat{e}_{F,t_j}(n+1) = \hat{e}_{F,t_j}(n) + \frac{1}{n+1} [e_{F,k}(n+1) - \hat{e}_{F,t_j}(n)] \quad (3.15)$$

$$n = 0, 1, 2, \dots$$

โดยจะต้องมีการกำหนดค่าเริ่มต้นของ  $\hat{e}_{F,t_j}(0)$

### 4.3.3 การนำไปใช้ในการควบคุม

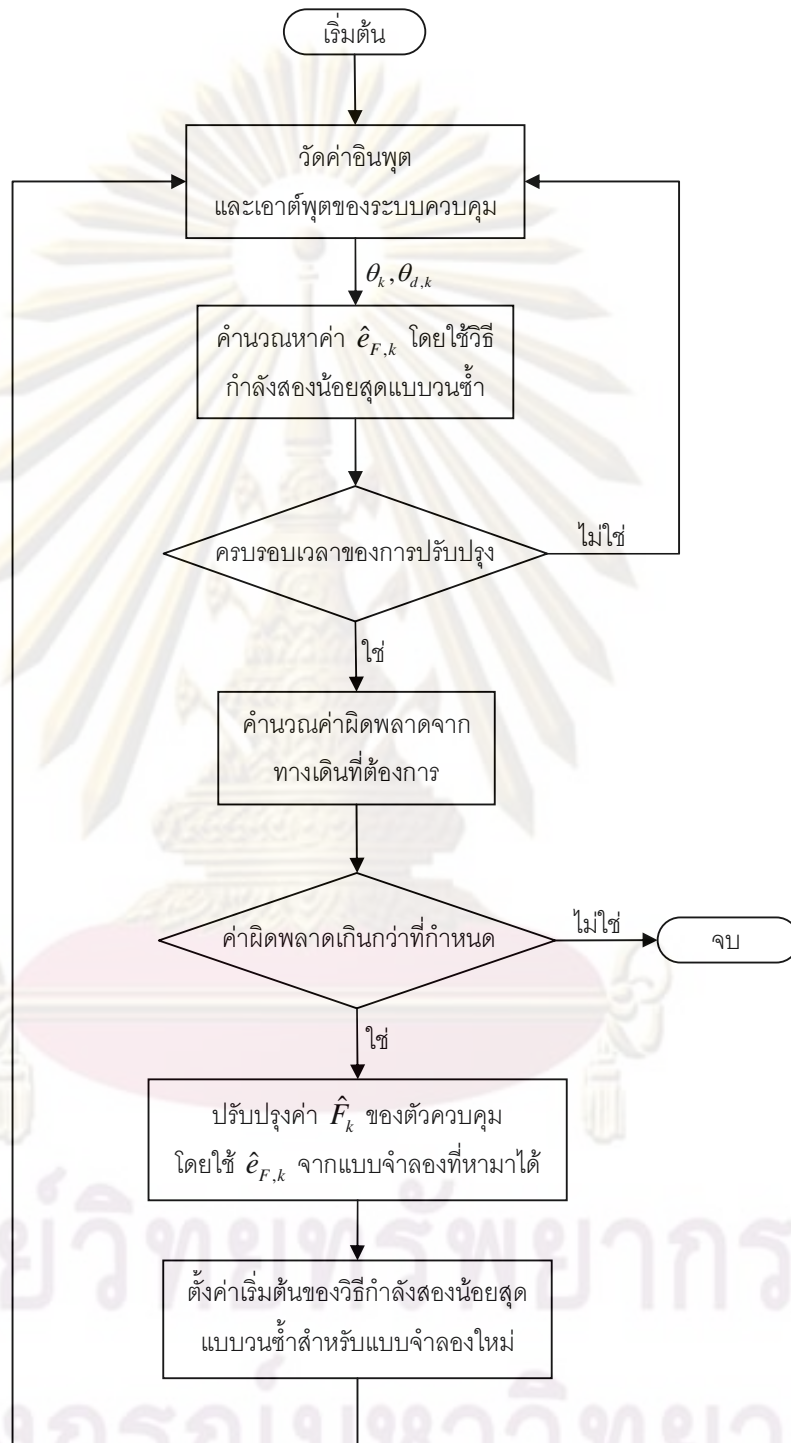
ในการควบคุมโดยใช้ตัวควบคุมชนิดปรับค่าได้ที่ได้นำเสนอไปนั้น มีขั้นตอนวิธีในการนำตัวควบคุมไปใช้งาน และการปรับพารามิเตอร์ของตัวควบคุม ดังนี้

- ก. กำหนดขนาดของตารางค้นหาในแบบจำลองระบบควบคุม จำนวนจุดข้อมูล รวมไปถึงความคลาดเคลื่อนที่ยอมรับได้  $\Delta t$  และกำหนดตารางค้นหาของตัวควบคุมให้มีขนาดเท่ากับตารางค้นหาในแบบจำลอง
- ข. กำหนดค่าเริ่มต้นของวิธีกำลังสองน้อยสุดแบบวนซ้ำ  $\hat{e}_{F,t_j}(0)$  และ  $n(0)$  สำหรับทุกจุดข้อมูลในตารางค้นหา
- ค. กำหนดค่าเริ่มต้นของฟังก์ชัน  $\hat{F}$  สำหรับตัวควบคุม เพื่อนำมาใช้ในการคำนวณสัญญาณควบคุม (3.1) ให้มีความเหมาะสมกับระบบที่ต้องการจะควบคุม
- ง. เก็บข้อมูลอินพุต-เอาต์พุตของระบบควบคุม โดยข้อมูลที่เก็บคือ สัญญาณทางเดินอ้างอิง  $\theta_{d,k}$  เอาต์พุตของระบบ  $\theta_k$  และเวลา  $k$
- จ. นำข้อมูลที่ได้จาก ง. ทั้งในอดีตและปัจจุบัน ไปใช้ในการคำนวณหาค่า  $\hat{e}_{F,k}$  ของแบบจำลองของระบบแบบออนไลน์ด้วยวิธีกำลังสองน้อยสุดแบบวนซ้ำ แล้วจัดเก็บลงในตารางค้นหา
- ฉ. เมื่อครบรอบเวลาของการปรับปรุงค่า ให้เปรียบเทียบผลการตอบสนองที่ได้ว่าเอาต์พุตเข้าสู่ค่าเป้าหมายหรือไม่ โดยพิจารณาจากผลรวมค่าผิดพลาดในการติดตามทางเดินกำลังสองเมื่อชดเชยเวลาหนึ่งวง (Sum Square Error)  $\sum_{k=1}^n \|\theta_{d,k-1} - \theta_k\|^2$  ทั้งนี้เพื่อพิจารณาเฉพาะความผิดพลาดที่เกิดจากความคลาดเคลื่อนของฟังก์ชัน  $\hat{F}$  เท่านั้น
- ช. เมื่อค่าที่ได้ใน ฉ. เบี่ยงเบนเกินจากค่าที่กำหนดไว้  $\varepsilon$  จะนำค่า  $\hat{e}_{F,k}$  ที่ประมาณได้ไปปรับปรุงพารามิเตอร์ของตัวควบคุม  $\hat{F}_k$  โดยการปรับปรุงตารางค้นหาของตัวควบคุมดังนี้

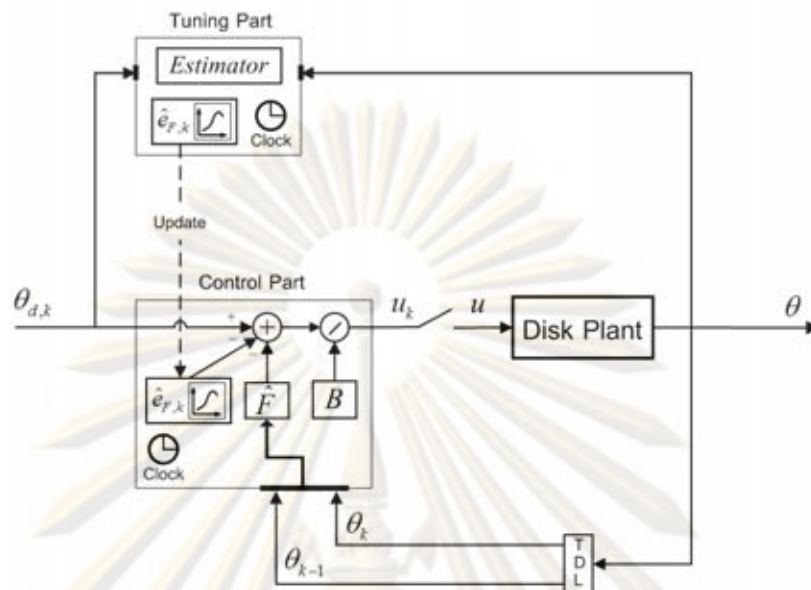
$$\hat{e}_{F,\text{control}(\text{new})} = \hat{e}_{F,\text{control}(\text{old})} + \hat{e}_{F,\text{tuning}} \quad (3.16)$$

- ซ. ตั้งค่าเริ่มต้นของวิธีกำลังสองน้อยสุดแบบวนซ้ำสำหรับแบบจำลอง  $\hat{e}_{F,t_j}(0)$  และ  $n(0)$  ใหม่ จากนั้นเริ่มคำนวณซ้ำในขั้นตอน ง. ต่อไป แต่หากค่าที่ได้ใน ฉ. เบี่ยงเบนน้อยกว่าค่าที่กำหนดก็จะให้หยุดของการปรับปรุงค่า

พิจารณาแผนผังการปรับค่าพารามิเตอร์ของตัวควบคุม  $\hat{F}_k$  ได้ในรูปที่ 4.7 และแผนภาพระบบควบคุมจานหมุนทางกลด้วยตัวควบคุมชนิดปรับค่าเองได้ในรูปที่ 4.8



รูปที่ 4.7 แผนผังแสดงการปรับปรุงพารามิเตอร์ของตัวควบคุม



รูปที่ 4.8 แผนภาพระบบควบคุมจานหมุนทางกลด้วยตัวควบคุมที่ชนิดปรับค่าเองได้

#### 4.4 การจำลองควบคุมด้วยคอมพิวเตอร์

ในหัวข้อนี้จะเป็นการจำลองระบบควบคุมด้วยคอมพิวเตอร์ (Simulation) เพื่อศึกษาถึงศักยภาพของตัวควบคุมชนิดปรับค่าเองได้ที่ได้ออกแบบไว้ในหัวข้อ 4.2 และ 4.3 ในการควบคุมทางเดินของระบบจานหมุนทางกล โดยใช้แบบจำลองของระบบจานหมุนทางกลในหัวข้อ 3.3.1 และกำหนดให้พารามิเตอร์  $C$   $F_0$  และ  $m$  ในสมการ (2.33) เป็นพารามิเตอร์ที่ไม่ทราบค่า ซึ่งจะสามารถแปลงแบบจำลองให้อยู่ในรูปสมการดิฟเฟอเรนเชียลดังสมการด้านล่าง

$$\theta_{k+1} = \hat{F}(\theta_k, \theta_{k-1}) + B\tau_k \quad (3.17)$$

โดยที่

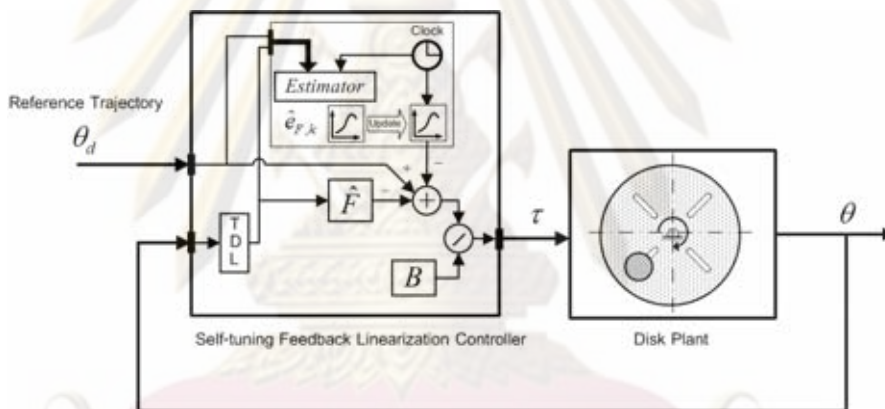
$$\hat{F}(\theta_k, \theta_{k-1}) = -\frac{T^2}{J} \operatorname{sgn}(\theta_k - \theta_{k-1}) \left( \hat{C} \left( \frac{\theta_k - \theta_{k-1}}{T} \right) + \hat{F}_0 \right) - \frac{\hat{m}gIT^2}{J} \sin(\theta_k) + 2\theta_k - \theta_{k-1} \quad (3.18)$$

$$B = \frac{T^2}{J}$$

โดยที่การจำลองควบคุมนี้เป็นการจำลองควบคุม ในกรณีที่ทราบค่าของฟังก์ชันคงที่  $B$  หรือทราบค่าโมเมนต์ความเฉื่อย  $J$  และสัญญาณทางเดินอ้างอิงเป็นฟังก์ชันเป็นคาบ

#### 4.4.1 ผลการจำลองควบคุมระบบจานหมุนทางกล

ในการจำลองควบคุมตำแหน่งจานหมุนของระบบจานหมุนทางกล จะกำหนดขีดจำกัดของฮาร์ดแวร์ หรือค่าสูงสุดของสัญญาณควบคุมที่สามารถสร้างได้ โดยให้ค่าอินพุตทอร์คสูงสุดเท่ากับ 3 นิวตัน.เมตร และจำลองควบคุมให้เอาต์พุตของระบบติดตามทางเดินอ้างอิงแบบต่อเนื่องเป็นซายน์สแควร์ และทางเดินอ้างอิงแบบไม่ต่อเนื่องเป็นขั้นบันได โดยใช้อินพุตของการควบคุมตามสมการ (3.1) ระบบควบคุมจะเป็นดังรูปที่ 4.9



รูปที่ 4.9 แผนภาพการจำลองควบคุมทางเดินของระบบจานหมุนทางกลด้วยตัวควบคุมชนิดปรับค่าเองได้

##### 4.4.1.1 ผลการจำลองควบคุมให้เอาต์พุตของระบบติดตามทางเดินอ้างอิงแบบต่อเนื่อง

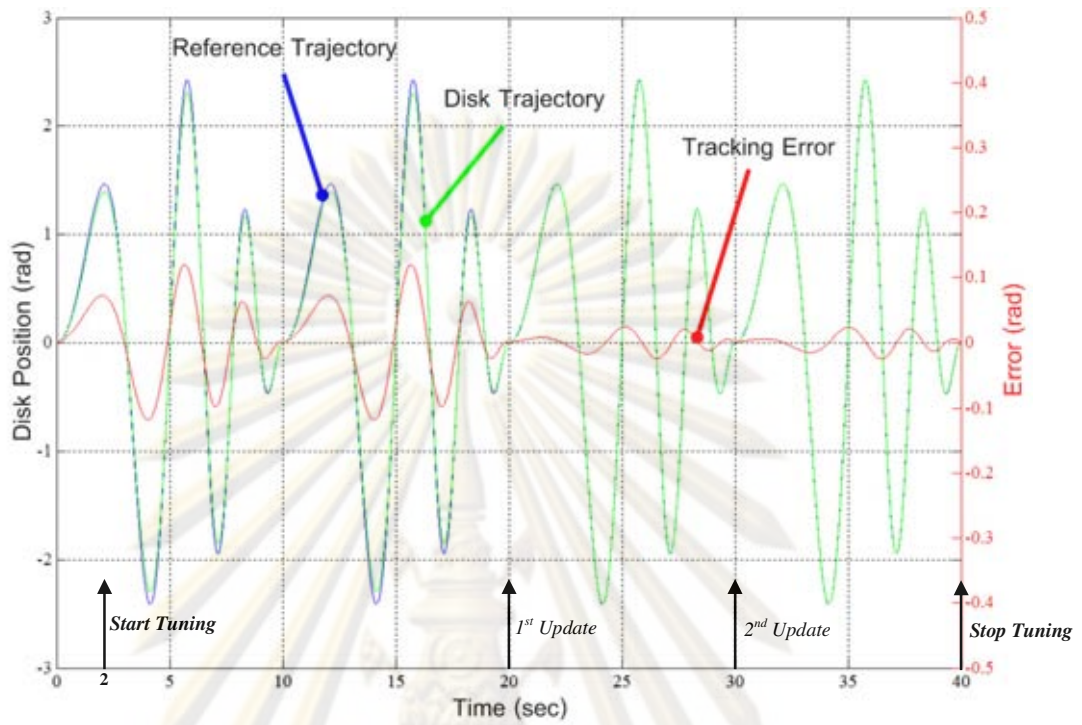
ทำการจำลองควบคุม โดยกำหนดเวลาสุ่มที่ 5 มิลลิวินาที และให้สัญญาณทางเดินอ้างอิงที่ต้องการเป็นฟังก์ชันเป็นคาบซายน์สแควร์ มีคาบเวลา 10 วินาที ความถี่ 0.1-0.5 เฮิรตซ์ ภายในเวลา 10 วินาที เฟสเริ่มต้นที่ 0 เรเดียน มีแอมพลิจูดเป็นฟังก์ชันซายน์แบบเต็มคลื่น (Full Wave Sine Function) ขนาด 2.5 เรเดียน ความถี่  $0.1\pi$  เฮิรตซ์ และให้เอาต์พุตของระบบเริ่มต้นที่ 0 เรเดียน

โดยกำหนดค่าเริ่มต้นของตัวควบคุมดังต่อไปนี้

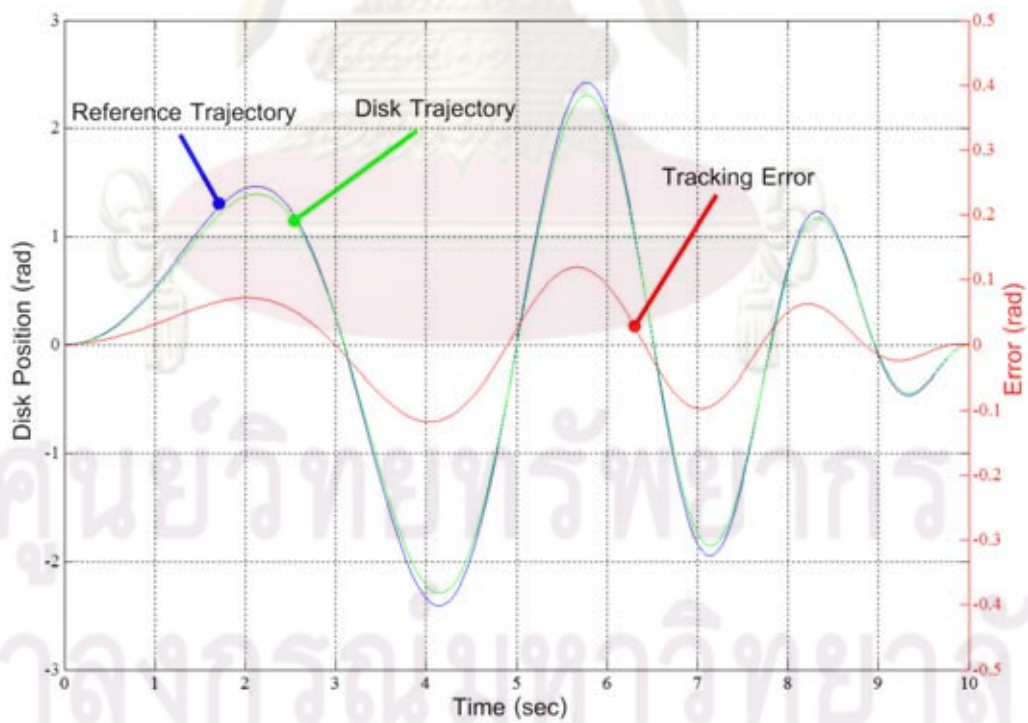
- กำหนดให้ตารางค้นหาที่มีขนาด 201 จุดข้อมูล เริ่มตั้งแต่ 0 ถึง 10 วินาที ซึ่งจะมีช่องว่าง (Gab) ระหว่างจุดข้อมูลเป็น 0.05 วินาที และกำหนดความคลาดเคลื่อนที่ยอมรับได้  $\Delta t$  เท่ากับ 0.05 วินาที
- กำหนดค่าเริ่มต้นของฟังก์ชัน  $\hat{e}_{F,i_j}(0) = 0$  ในตารางค้นหาของแบบจำลอง
- กำหนดให้พารามิเตอร์ที่ไม่ทราบค่า  $C = F_0 = m = 0$  ดังนั้นจะได้ค่าเริ่มต้นของฟังก์ชัน  $\hat{F}(\theta_k, \theta_{k-1}) = 2\theta_k - \theta_{k-1}$  สำหรับตัวควบคุม
- กำหนดรอบเวลาของการปรับปรุงค่าในรอบแรก เป็นสองเท่าของคาบเวลาของสัญญาณอ้างอิง นั่นคือที่เวลา 20 วินาที และเท่ากับคาบเวลาของสัญญาณอ้างอิงหรือทุก 10 วินาที สำหรับรอบต่อไป
- กำหนดให้ผลรวมค่าผิดพลาดในการติดตามทางเดินกำลังสองเมื่อขาดเซตเวลาหน่วงที่ยอมรับได้เพื่อหยุดการปรับปรุงค่า  $\varepsilon$  เท่ากับ ค่าความผิดพลาดที่ยอมรับได้ยกกำลังสอง คูณกับจำนวนข้อมูลในหนึ่งรอบการปรับปรุงค่า ถ้ากำหนดให้ค่าความผิดพลาดที่ยอมรับได้เท่ากับ 0.001 เเรเดียน ผลรวมค่าผิดพลาดในการติดตามทางเดินกำลังสองที่ยอมรับได้ จะเท่ากับ 0.002

ผลการจำลองควบคุมรูปที่ 4.10 และผลลัพธ์เมื่อขาดเซตเวลาหน่วงรูปที่ 4.11 ชี้ให้เห็นว่าเอาต์พุตของระบบจะลู่เข้าสู่ทางเดินอ้างอิง ทำให้ค่าความผิดพลาดของการติดตามทางเดินลดลงจนกระทั่งมีเพียงค่าความผิดพลาดที่เกิดจากเวลาหน่วงเท่านั้น ทั้งนี้การลู่เข้าของฟังก์ชัน  $\hat{F}$  ในรูปที่ 4.12 แสดงให้เห็นว่า ตัวควบคุมสามารถปรับปรุงค่า  $\hat{F}$  ให้ลู่เข้าสู่ค่าจริงได้ ส่งผลให้สามารถลดค่าความผิดพลาดของการติดตามทางเดินเมื่อขาดเซตเวลาหน่วงลงได้ จนกระทั่งต่ำกว่าค่าที่กำหนดในรอบที่ 3 ของการปรับปรุงค่า และทำให้เอาต์พุตของระบบติดตามทางเดินอ้างอิงแบบต่อเนื่องเป็นชายนส์วีปได้เป็นอย่างดีโดยมีเวลาหน่วงคงที่

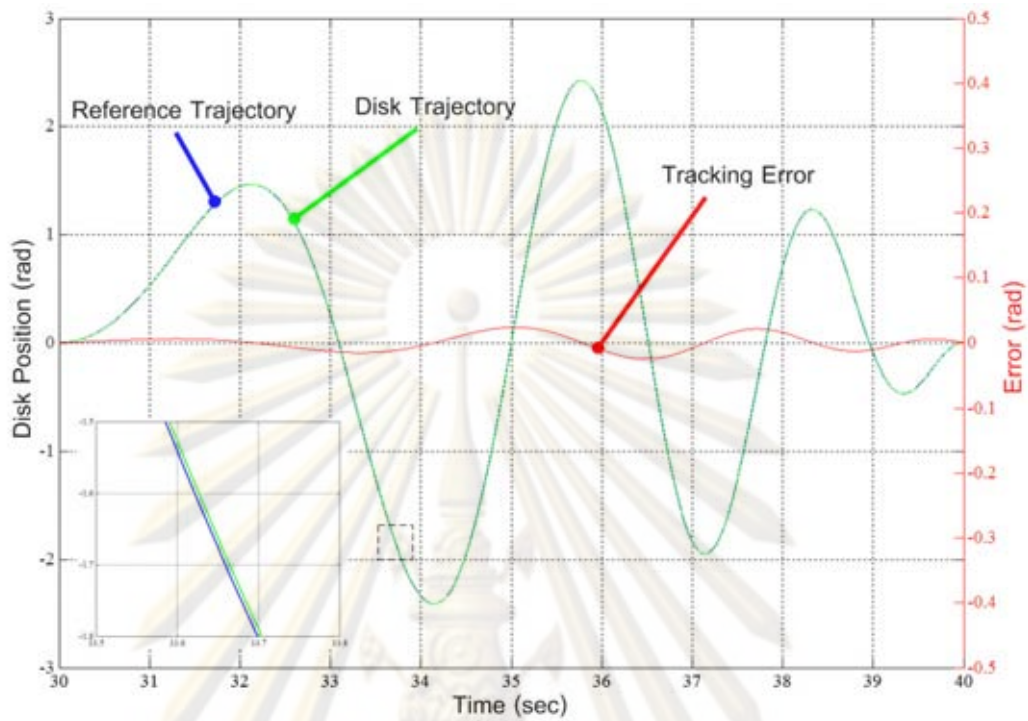




(ก) ผลลัพธ์ที่เวลา 0 ถึง 40 วินาที



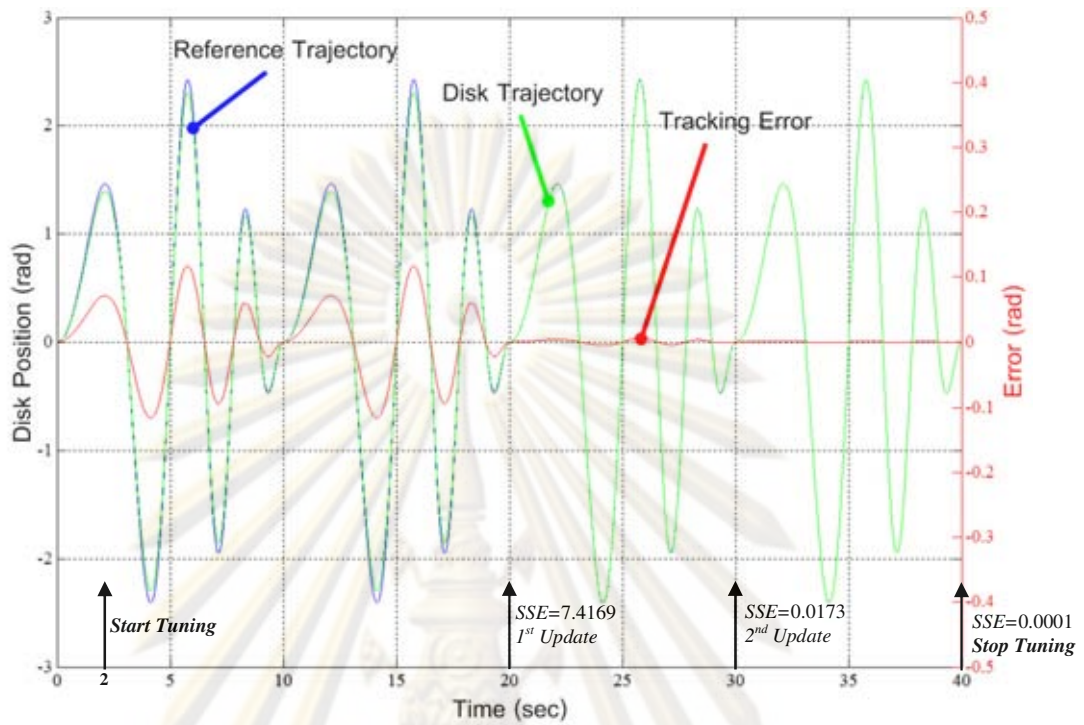
(ข) ผลลัพธ์ที่เวลา 0 ถึง 10 วินาที



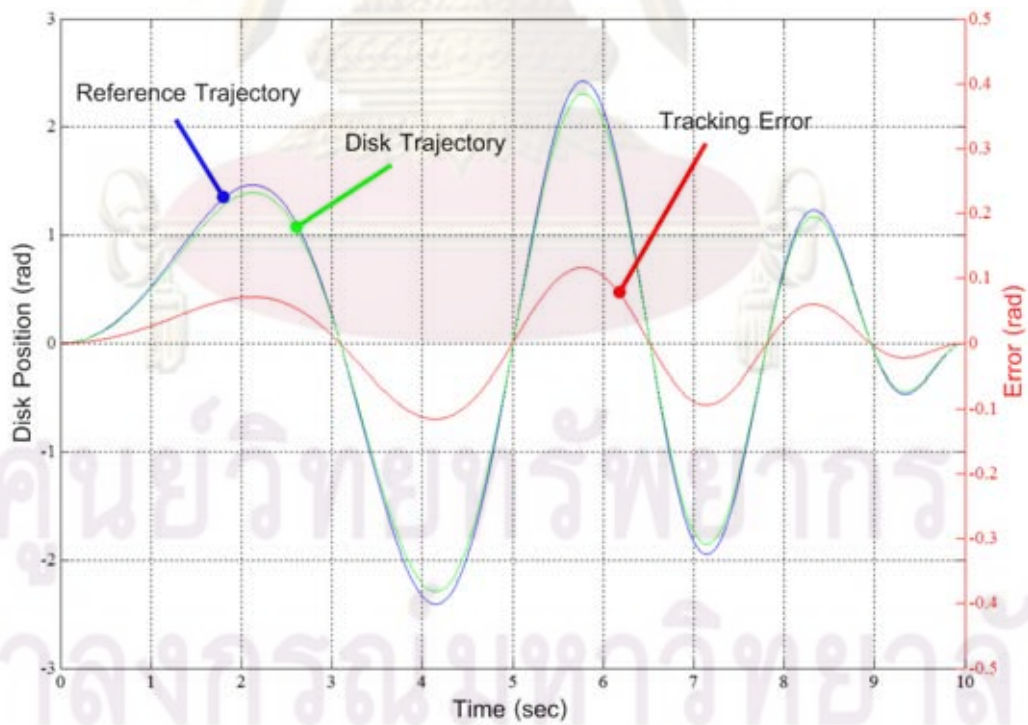
(ค) ผลลัพธ์ที่เวลา 30 ถึง 40 วินาที

รูปที่ 4.10 ผลการจำลองควบคุมระบบจานหมุนให้ติดตามทางเดินแบบต่อเนื่องด้วยตัวควบคุม  
ชนิดปรับค่าเองได้

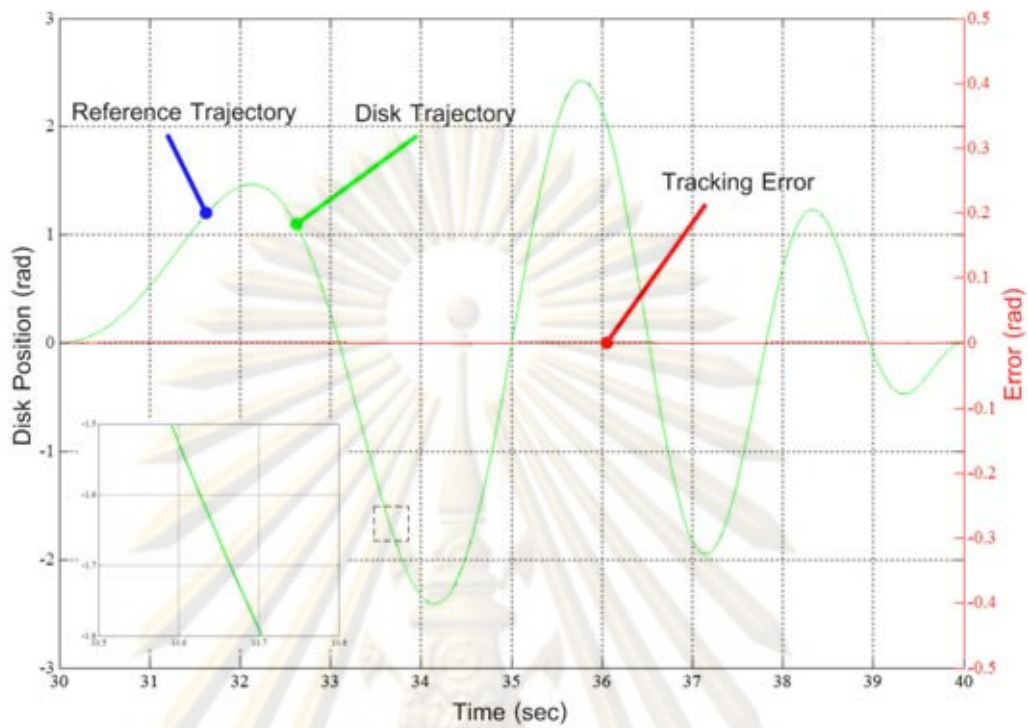
ศูนย์วิทยทรัพยากร  
จุฬาลงกรณ์มหาวิทยาลัย



(ก) ผลลัพธ์ที่เวลา 0 ถึง 40 วินาที

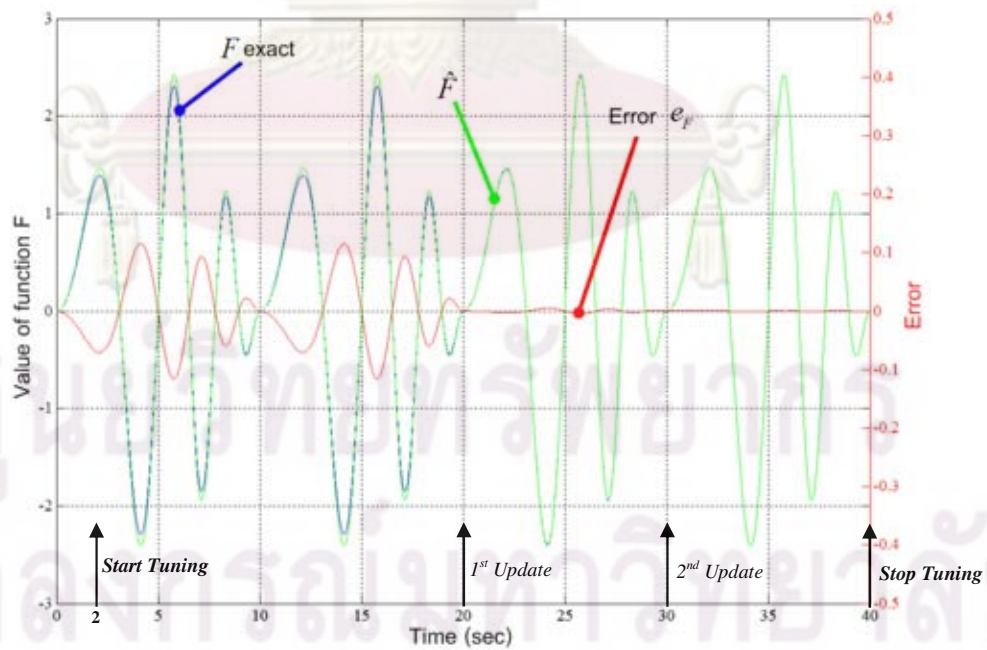


(ข) ผลลัพธ์ที่เวลา 0 ถึง 10 วินาที



(ค) ผลลัพธ์ที่เวลา 30 ถึง 40 วินาที

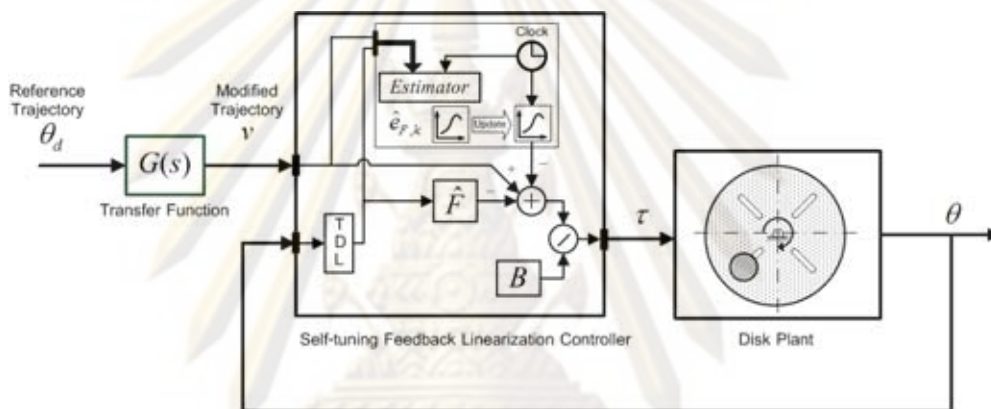
รูปที่ 4.11 ผลลัพธ์เมื่อชดเชยเวลาหน่วงของการจำลองควบคุมระบบงานหมุนให้ติดตามทางเดินแบบต่อเนื่องด้วยตัวควบคุมชนิดปรับค่าเองได้



รูปที่ 4.12 การลู่เข้าของฟังก์ชัน  $\hat{F}$  สู่ค่าจริง ในการจำลองควบคุมระบบงานหมุนให้ติดตามทางเดินอ้างอิงแบบต่อเนื่อง

4.4.1.2 ผลการจำลองควบคุมให้เอาต์พุตของระบบติดตามทางเดินอ้างอิงแบบไม่ต่อเนื่อง

การควบคุมให้เอาต์พุตของระบบติดตามทางเดินอ้างอิงแบบไม่ต่อเนื่องมีลักษณะเป็นขั้นบันได จะต้องปรับสัญญาณทางเดินอ้างอิงให้มีลักษณะเป็นสัญญาณแบบต่อเนื่อง โดยให้สัญญาณอ้างอิงผ่านฟังก์ชันถ่ายโอนที่มีพลวัตเท่ากับที่กำหนดเพื่อปรับให้เป็นสัญญาณแบบต่อเนื่องตามที่มีพลวัตตามที่ต้องการ ดังที่กล่าวไว้ในหัวข้อ 3.3.3.2 ซึ่งระบบควบคุมจะเป็นดังรูปที่ 4.13

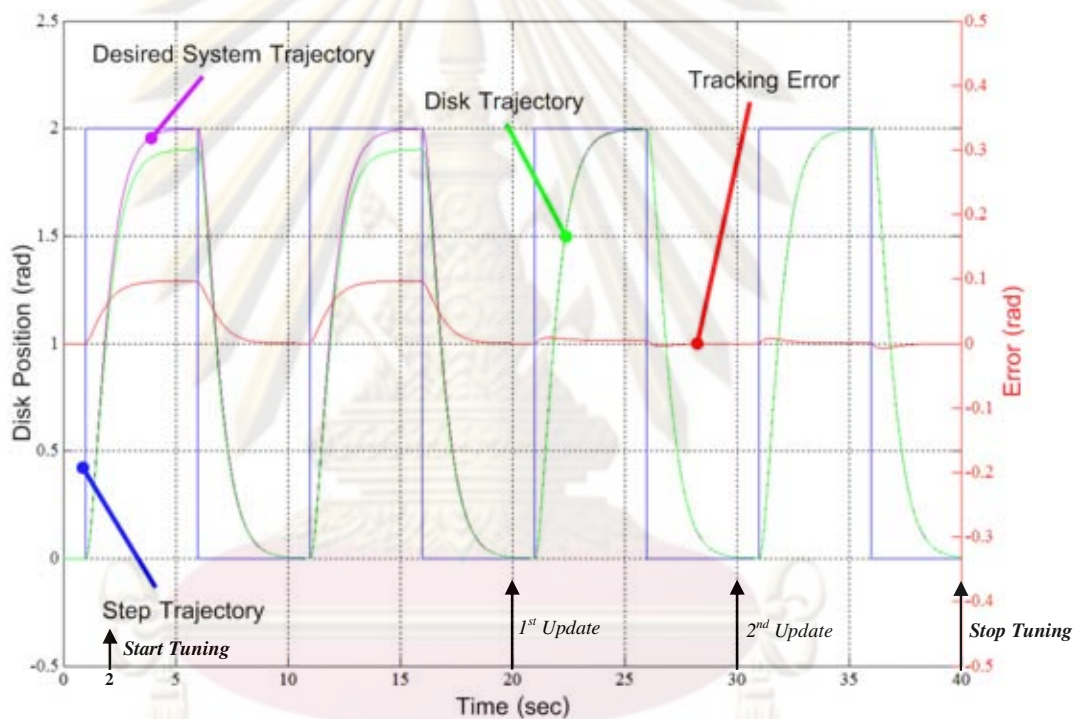


รูปที่ 4.13 แผนภาพการจำลองควบคุมทางเดินของระบบจานหมุนทางกลสำหรับทางเดินอ้างอิงที่มีลักษณะเป็นขั้นบันไดด้วยตัวควบคุมชนิดปรับค่าเองได้

ทำการจำลองควบคุมที่เวลาสุ่ม 5 มิลลิวินาที ให้เอาต์พุตของระบบติดตามทางเดินอ้างอิงเป็นคลื่นพัลส์รูปสี่เหลี่ยม (Square wave pulse) แอมพลิจูด 2 เรเดียน มีความถี่ 10 วินาที ความกว้างพัลส์ (Pulse Width) 5 วินาที มีการหน่วงเฟส (Phase Delay) 1 วินาที และให้เอาต์พุตของระบบเริ่มต้นที่ 0 เรเดียน โดยกำหนดพลวัตของฟังก์ชันถ่ายโอนให้มีค่าเวลาคงที่  $t_c = 0.5$  วินาที และอัตราส่วนการหน่วง  $\zeta = 1$  พร้อมทั้งกำหนดค่าเริ่มต้นของตัวควบคุม เช่นเดียวกับในหัวข้อ 4.4.1.1

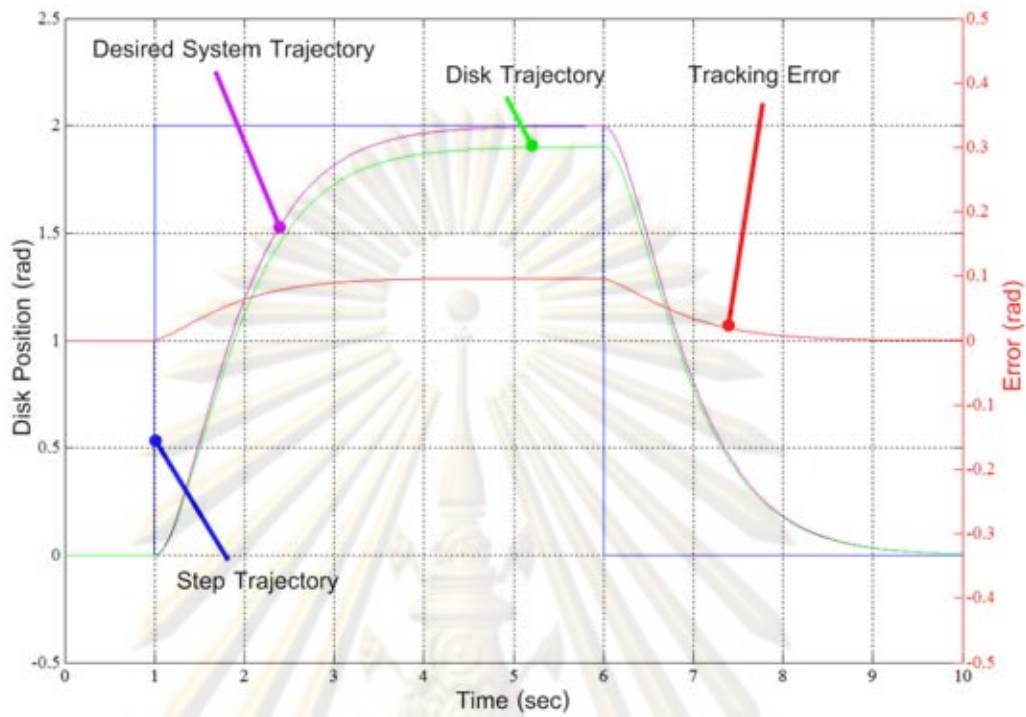
ผลลัพธ์การควบคุมในรูปที่ 4.14 และผลลัพธ์เมื่อชดเชยเวลาหน่วงรูปที่ 4.15 พร้อมทั้งการใส่ค่าของค่า  $\hat{F}$  ในรูปที่ 4.16 แสดงให้เห็นถึงความสามารถของตัวควบคุม เช่นเดียวกับการจำลองควบคุมในหัวข้อที่ 4.4.1.1 นั่นคือ ตัวควบคุมสามารถปรับค่า  $\hat{F}$  ให้

เข้าสู่ค่าจริงได้ ส่งผลให้เอาต์พุตของระบบเข้าสู่ทางเดินอ้างอิง ทำให้ค่าความผิดพลาดของการติดตามทางเดินลดลงจนกระทั่งมีเพียงค่าความผิดพลาดที่เกิดจากเวลาหน่วงเท่านั้น โดยตัวควบคุมสามารถลดค่าความผิดพลาดของการติดตามทางเดินเมื่อชดเชยเวลาหน่วงจะลดลงได้ จนกระทั่งต่ำกว่าค่าที่กำหนดในรอบที่ 3 ของการปรับปรุงค่า และทำให้เอาต์พุตของระบบมีการตอบสนองต่อสัญญาณทางเดินอ้างอิงที่มีลักษณะเป็นขั้นบันไดเช่นเดียวกับระบบที่มีพลวัตเท่ากับที่กำหนด

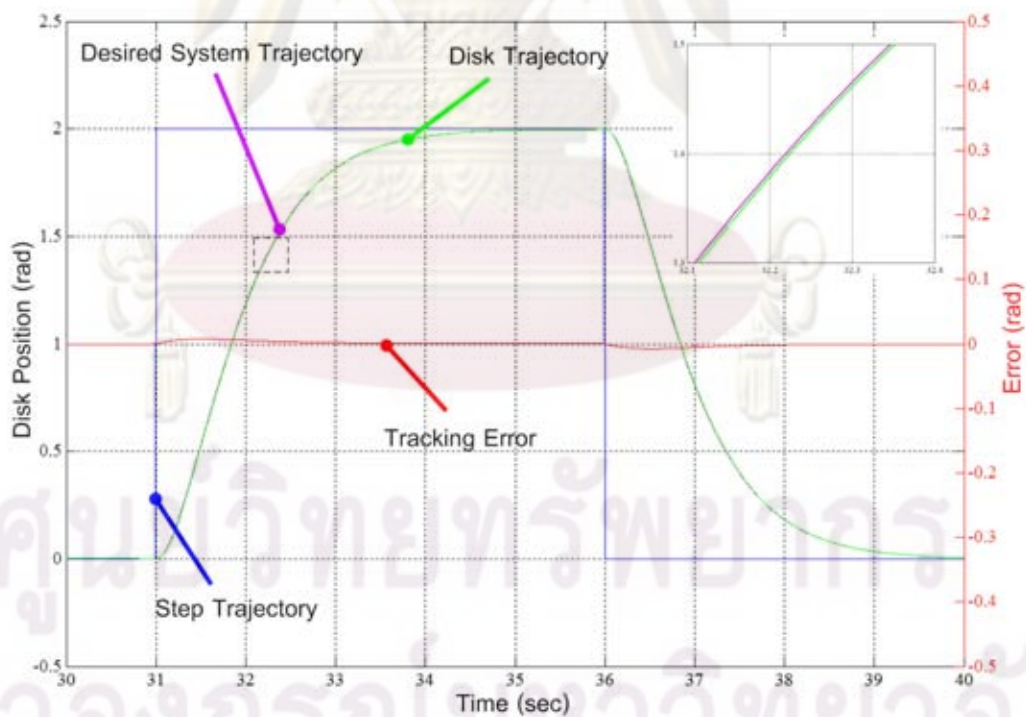


(ก) ผลลัพธ์ที่เวลา 0 ถึง 40 วินาที

ศูนย์วิทยทรัพยากร  
จุฬาลงกรณ์มหาวิทยาลัย

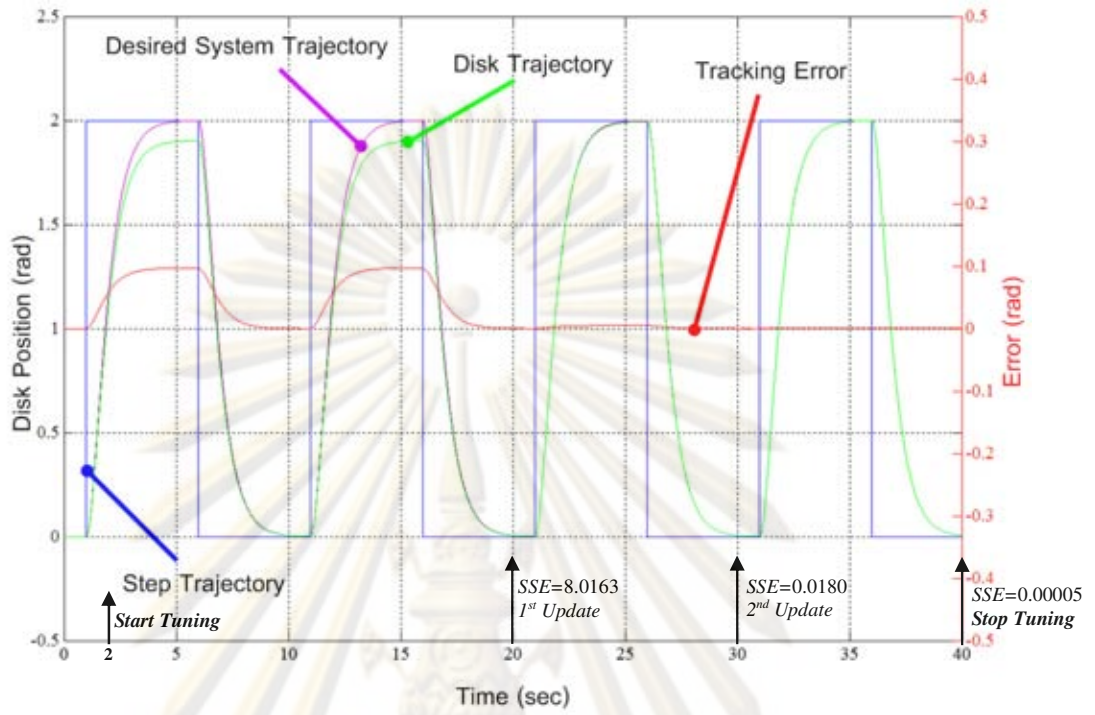


(ข) ผลลัพธ์ที่เวลา 0 ถึง 10 วินาที

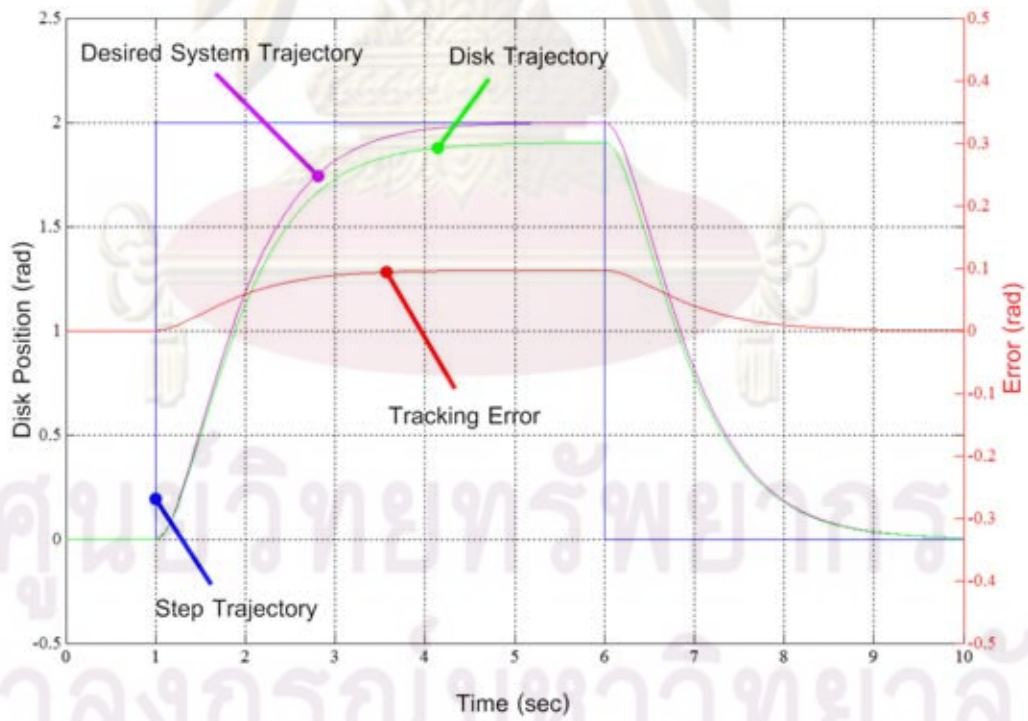


(ค) ผลลัพธ์ที่เวลา 30 ถึง 40 วินาที

รูปที่ 4.14 ผลการจำลองควบคุมระบบจานหมุนให้ติดตามทางเดินรูปคลื่นพัลส์ด้วยตัวควบคุมชนิดปรับค่าเองได้

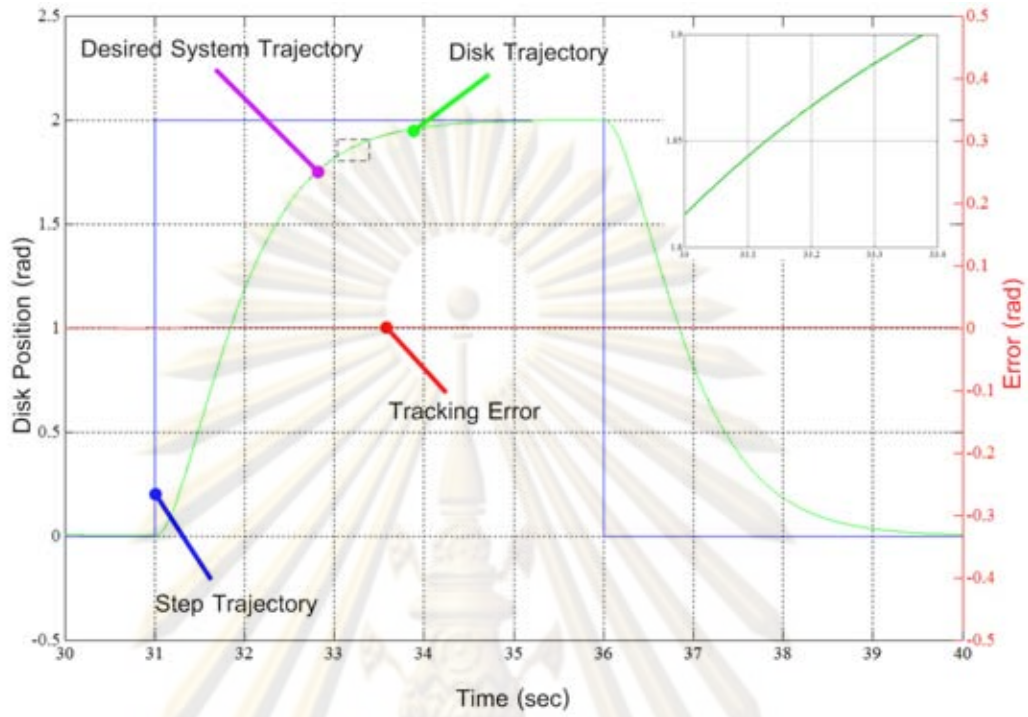


(ก) ผลลัพธ์ที่เวลา 0 ถึง 40 วินาที



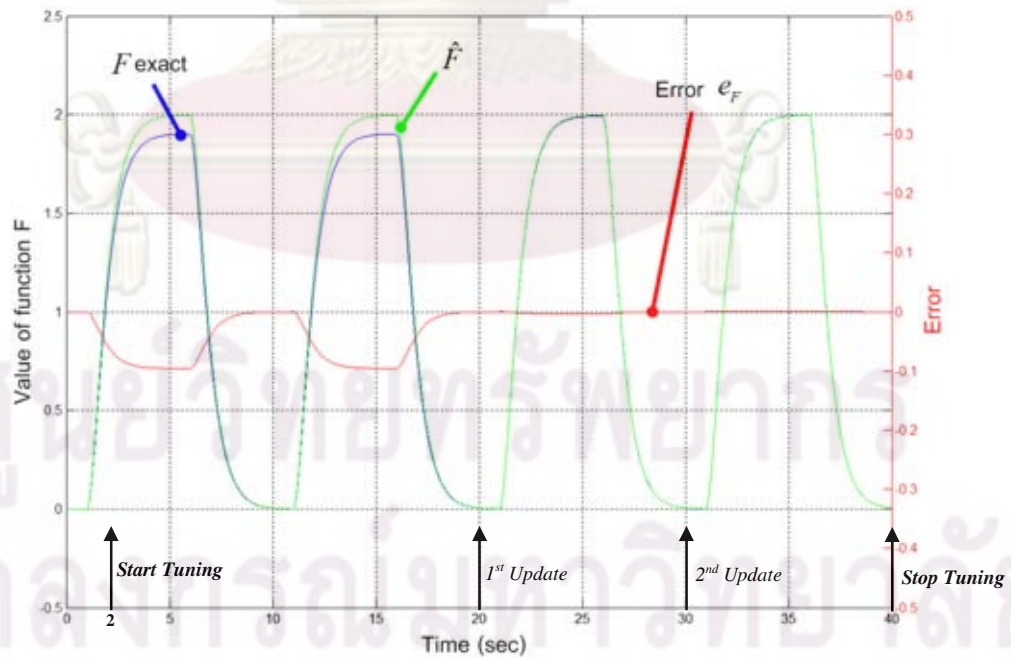
(ข) ผลลัพธ์ที่เวลา 0 ถึง 10 วินาที





(ค) ผลลัพธ์ที่เวลา 30 ถึง 40 วินาที

รูปที่ 4.15 ผลลัพธ์เมื่อชดเชยเวลาหน่วงของการจำลองควบคุมระบบจานหมุนให้ติดตามทางเดินรูปคลื่นพัลส์ด้วยตัวควบคุมชนิดปรับค่าเองได้



รูปที่ 4.16 การลู่เข้าของฟังก์ชัน  $\hat{F}$  สู่ค่าจริง ในการจำลองควบคุมระบบจานหมุนให้ติดตามทางเดินอ้างอิงรูปคลื่นพัลส์

#### 4.4.2 สรุปผลการจำลองควบคุมด้วยตัวควบคุมชนิดปรับค่าเองได้

ในกรณีที่ไมทราบค่าพารามิเตอร์  $C$   $F_0$  และ  $m$  ของแบบจำลองของระบบงานหมุน และสัญญาณทางเดินอ้างอิงเป็นฟังก์ชันเป็นคาบ การจำลองทดสอบตัวควบคุมในหัวข้อ 4.4.1.1 และ 4.4.1.2 แสดงให้เห็นว่าตัวควบคุมมีศักยภาพในการปรับปรุงค่า  $\hat{F}$  ของแบบจำลองให้ลู่เข้าสู่ค่าจริงได้ ซึ่งจะส่งผลให้ค่าความผิดพลาดของการติดตามทางเดินลดลง และเอาต์พุตของระบบลู่เข้าสู่ทางเดินอ้างอิงได้ จนกระทั่งความผิดพลาดของการติดตามทางเดินเมื่อชดเชยเวลาหนึ่งต่ำกว่าค่าความผิดพลาดที่ยอมรับได้ คงเหลือไว้เพียงแต่ความผิดพลาดที่เกิดจากเวลาหนึ่ง ผลลัพธ์ที่ได้จากการจำลองควบคุมในหัวข้อ 4.4.1.1 คือ เอาต์พุตของระบบสามารถติดตามทางเดินอ้างอิงแบบต่อเนื่องเป็นชายนส์วีปได้อย่างมีประสิทธิภาพโดยมีเวลาหนึ่งคงที่ และในหัวข้อ 4.4.2.2 เอาต์พุตของระบบมีการตอบสนองกับสัญญาณอ้างอิงแบบไม่ต่อเนื่องมีลักษณะเป็นขั้นบันไดเช่นเดียวกับระบบที่มีพลวัตเท่ากับที่กำหนด นั่นคือตัวควบคุมสามารถปรับค่าเองได้ ทำให้สามารถควบคุมเอาต์พุตของระบบให้ติดตามทางเดินได้อย่างน่าพอใจ โดยไม่จำเป็นต้องทราบแบบจำลองของระบบทั้งหมดล่วงหน้า



ศูนย์วิทยทรัพยากร  
จุฬาลงกรณ์มหาวิทยาลัย

## บทที่ 5

### การทดลอง

เนื้อหาในบทนี้จะกล่าวถึงอุปกรณ์ และการทดลองควบคุมให้เอาต์พุตของระบบ จานหมุนทางกลติดตามทางเดินอ้างอิงด้วยตัวควบคุมที่แปลงระบบควบคุมเป็นระบบเชิงเส้นด้วยการป้อนกลับชนิดปรับค่าเองได้ โดยการทดลองจะแบ่งเป็นสองส่วน ส่วนแรกเป็นการทดลองควบคุมทางเดินของระบบจานหมุนทางกล ในกรณีที่ทราบแบบจำลองของระบบทั้งหมด นั่นคือตัวควบคุมจะมีเฉพาะส่วนของการแปลงระบบให้เป็นเชิงเส้นด้วยการป้อนกลับ และส่วนที่สองเป็นการทดลองควบคุมทางเดิน ในกรณีที่ทราบแบบจำลองของระบบบางส่วนหรือมีพารามิเตอร์ของระบบที่ไม่ทราบค่า และสัญญาณทางเดินอ้างอิงเป็นฟังก์ชันเป็นคาบ โดยใช้ตัวควบคุมชนิดปรับค่าเองได้

#### 5.1 อุปกรณ์ที่ใช้ในการทดลอง

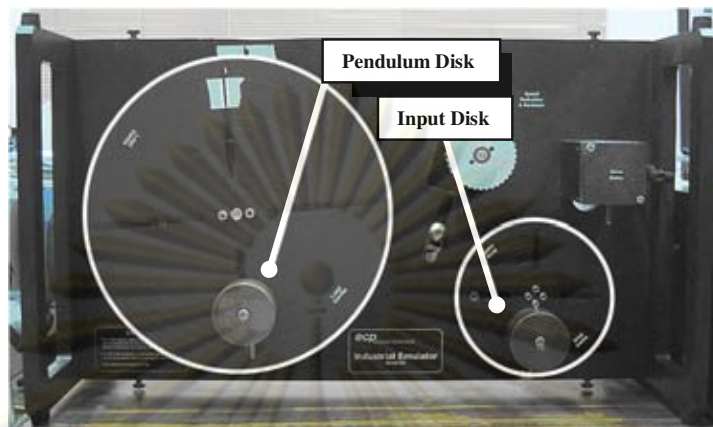
- คอมพิวเตอร์โน้ตบุ๊ก Pentium M 1.5 GHz, 1 GB RAM ทำหน้าที่เป็น Host PC ออกแบบและสร้างตัวควบคุมที่แปลงระบบควบคุมเป็นระบบเชิงเส้นด้วยการป้อนกลับชนิดปรับค่าเองได้ ด้วยโปรแกรม Matlab® Simulink
- คอมพิวเตอร์ส่วนบุคคล Core2Duo 1.8 GHz, 2 GB RAM ทำหน้าที่เป็น Target PC ควบคุมและรับสัญญาณจากระบบและนำมาประมวลผลหาสัญญาณควบคุมแล้วส่งจึงออกไปควบคุมระบบ โดยใช้เวลาสุ่ม 5 มิลลิวินาที
- โปรแกรม Matlab® xPC Real time Controller หรือ xPC Target ใช้เป็นโปรแกรมกลางเพื่อติดต่อกับอุปกรณ์ต่างๆ และทำหน้าที่เป็นตัวควบคุม
- แผงวงจร Sensoray model 626 ดังแสดงในรูปที่ 5.1 เป็นแผงวงจร Multifunction Input/Output ติดตั้งภายใน Target PC ใช้เป็น D/A ขับแรงดันขนาด -10 ถึง 10 โวลต์ เพื่อควบคุมแรงบิดของมอเตอร์ในระบบ มีความละเอียด 13 บิต และใช้สำหรับนับสัญญาณพัลส์จากเอนโค้ดเดอร์ (Encoder) มีความละเอียด 24 บิต จำนวนพัลส์ที่นับได้จะมีขนาดเป็นสี่เท่าของจำนวนพัลส์จริง

- ชุดทดลองระบบจานหมุนทางกล Educational Control Products (ECP) model 220 ดังแสดงในรูปที่ 5.2 ชุดทดลองมีกลไกทำให้สามารถปรับโมเมนต์ความเฉื่อย และผลจากแรงโน้มถ่วงได้โดยการติดตุ้มถ่วง รวมไปถึงแรงเสียดทานแบบคูลอมบ์ แรงเสียดทานหนืด นอกจากนี้ยังสามารถจำลอง ความยืดหยุ่น (Drive Flexibility) และแบ็กแล็ช (Backlash) ชุดทดลองจะประกอบด้วยจานหมุนสองจาน จานหมุนเล็ก (Input Disk) ใช้เป็นอุปกรณ์กำเนิดสัญญาณตำแหน่งอ้างอิงในเวลาจริง ขณะที่จานหมุนใหญ่ (Pendulum Disk) เป็นจานหมุนที่ต้องการควบคุม โดยมอเตอร์ที่ใช้ขับเคลื่อนเป็น ซึ่งใช้เซอร์โวมอเตอร์กระแสตรงแบบไม่มีแปรงถ่าน (Brushless DC Servo Motor) ซึ่งทำงานร่วมกับเอ็นโค้ดเดอร์ความละเอียด 4000 พัลส์ต่อรอบ และเอ็นโค้ดเดอร์สำหรับวัดตำแหน่งของจานหมุนเล็ก มีความละเอียด 2500 พัลส์ต่อรอบ ทั้งนี้ชุดทดลองมาพร้อมกับชุดควบคุมการขับเคลื่อนมอเตอร์กระแสตรงแบบไม่มีแปรงถ่าน (Brushless DC Motor Controller)

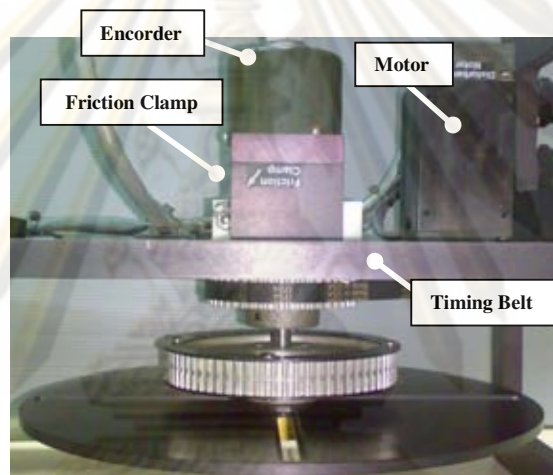


รูปที่ 5.1 แผงวงจร Sensoray model 626

ศูนย์วิทยทรัพยากร  
จุฬาลงกรณ์มหาวิทยาลัย

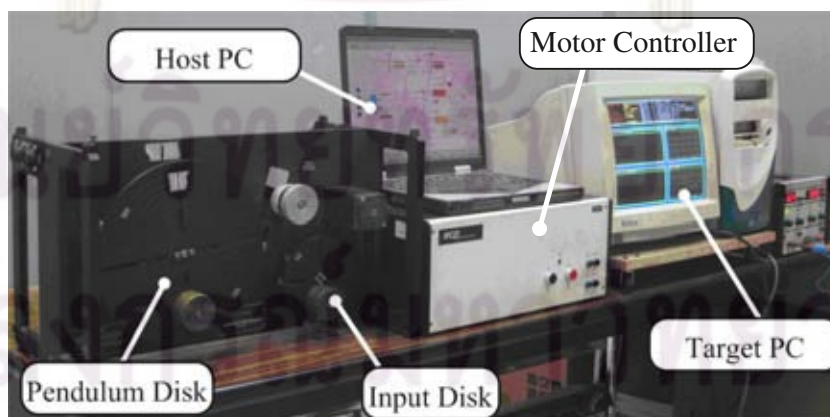


(ก) ระบบทางกล



(ข) รายละเอียดของระบบทางกล

รูปที่ 5.2 ชุดทดลองระบบงานหมุนทางกล ECP model 220



รูปที่ 5.3 ชุดทดลองควบคุมระบบงานหมุนทางกล

## 5.2 ระบบควบคุมที่ใช้ในการทดลอง

การทดลองควบคุมทางเดินของระบบจานหมุนทางกล จะใช้จานหมุนใหญ่ในชุดทดลอง ECP model 220 เป็นระบบที่ต้องการควบคุม โดยได้ติดตั้งตุ้มถ่วงทองเหลืองน้ำหนัก 500 กรัม ห่างจากจุดศูนย์กลางของจานหมุนเป็นระยะ 8 เซนติเมตร ดังรูปที่ 5.4 เพื่อสร้างความไม่เป็นเชิงเส้นจากแรงโน้มถ่วง และใช้ Friction Clamp ในการจำลองแรงเสียดทานคูลอมบ์ และแรงเสียดทานหนืด



รูปที่ 5.4 ระบบจานหมุนทางกลที่ต้องการควบคุม

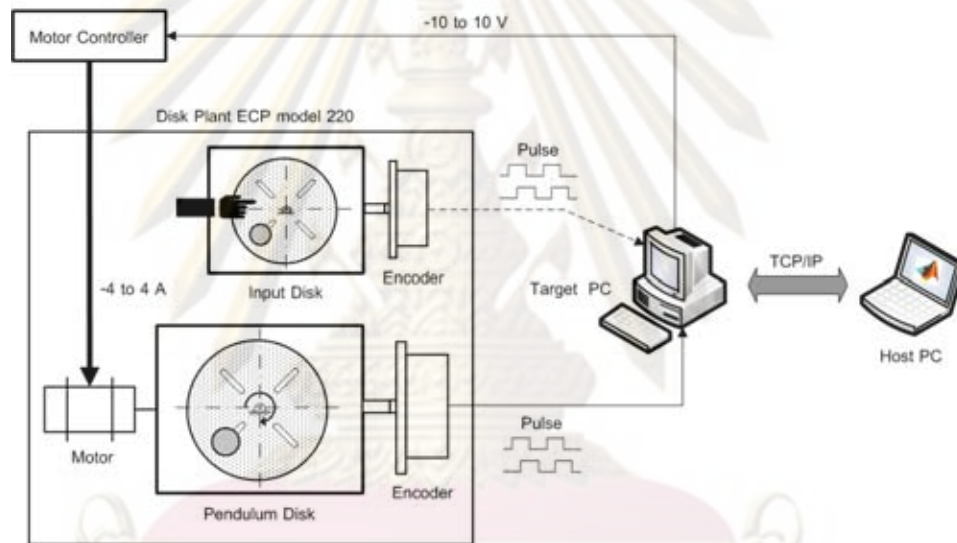
เนื่องจากชุดทดลองได้ผ่านการใช้งานมานาน รวมไปถึงมีการซ่อมแซมในบางส่วน ทำให้ค่าพารามิเตอร์ที่แท้จริงอาจมีการเปลี่ยนแปลงไปจากที่ให้ไว้ในครุภัณฑ์ ดังนั้นจึงทำการหาเอกลักษณ์ของระบบ กับชุดทดลองจริง ซึ่งจะได้แบบจำลองทางคณิตศาสตร์ของระบบจานหมุนทางกลเป็น

$$0.0232\ddot{\theta} + \text{sgn}(\dot{\theta})(0.01043|\dot{\theta}| + 0.2278) + 0.8769\sin(\theta) = u \quad (4.1)$$

โดยที่  $u$  คือ สัญญาณแรงดันควบคุมที่ให้แก่ชุดควบคุมมอเตอร์

$\theta$  คือ ตำแหน่งมุมของจานหมุน (เอาต์พุตที่สนใจ)

การควบคุมทางเดินของจานหมุน อินพุตทอร์กหรือแรงบิดของมอเตอร์ถูกควบคุมด้วยชุดควบคุมการขับเคลื่อนภายในชุดทดลอง สัญญาณที่ใช้ในการควบคุมจะมีขนาดระหว่าง -10 ถึง 10 โวลต์ ส่วนตำแหน่งของจานหมุนจะถูกวัดโดยใช้เอนโค้ดเดอร์ สัญญาณที่วัดได้เป็นสัญญาณพัลส์ ซึ่งจะถูกส่งไปยังเครื่อง Target PC เพื่อนำไปคำนวณหาสัญญาณที่จะใช้ควบคุมมอเตอร์ โดยมีแผนผังดังรูปที่ 5.5 และในกรณีที่ใช้จานหมุนเล็กเป็นตัวกำเนิดสัญญาณทางเดินอ้างอิงในเวลาจริง สัญญาณพัลส์จากเอนโค้ดเดอร์ของจานหมุนเล็กจะถูกส่งไปยังเครื่อง Target PC เพื่อนำไปคำนวณหาสัญญาณที่จะใช้ควบคุมมอเตอร์ด้วยเช่นกัน



รูปที่ 5.5 ระบบควบคุมทางเดินของจานหมุนทางกล

ในการควบคุมทางเดินของระบบจานหมุนทางกล ตัวควบคุมที่แปลงระบบให้เป็นเชิงเส้นด้วยการป้อนกลับจะใช้กฎการควบคุมในสมการ (2.30) ดังนั้นจึงต้องแปลงแบบจำลองของระบบจานหมุนทางกล (4.1) ให้อยู่ในรูปสมการดิฟเฟอเรนเชียล ซึ่งสามารถแปลงได้เป็น

$$\begin{aligned} \theta_{k+1} = & -T^2 \operatorname{sgn}(\theta_k - \theta_{k-1}) \left( 0.4496 \left| \frac{\theta_k - \theta_{k-1}}{T} \right| + 9.8190 \right) \\ & - 37.7974T^2 \sin(\theta_k) + 2\theta_k - \theta_{k-1} + 43.1034T^2 u_k \end{aligned} \quad (4.2)$$

โดยที่  $T$  เป็นเวลาสุ่ม สมการ (4.2) สามารถเขียนให้อยู่ในรูปแบบเดียวกันกับสมการ (2.28)-(2.29) ได้ดังนี้

$$\theta_{k+1} = F(\theta_k, \theta_{k-1}) + Bu_k \quad (4.3)$$

โดยที่

$$\left. \begin{aligned} F(\theta_k, \theta_{k-1}) &= -T^2 \operatorname{sgn}(\theta_k - \theta_{k-1}) \left( 0.4496 \left| \frac{\theta_k - \theta_{k-1}}{T} \right| + 9.8190 \right) \\ &\quad - 37.7974 T^2 \sin(\theta_k) + 2\theta_k - \theta_{k-1} \\ B &= 43.1034 T^2 \end{aligned} \right\} \quad (4.4)$$

### 5.3 ผลการทดลองกรณีทราบแบบจำลองของระบบทั้งหมด

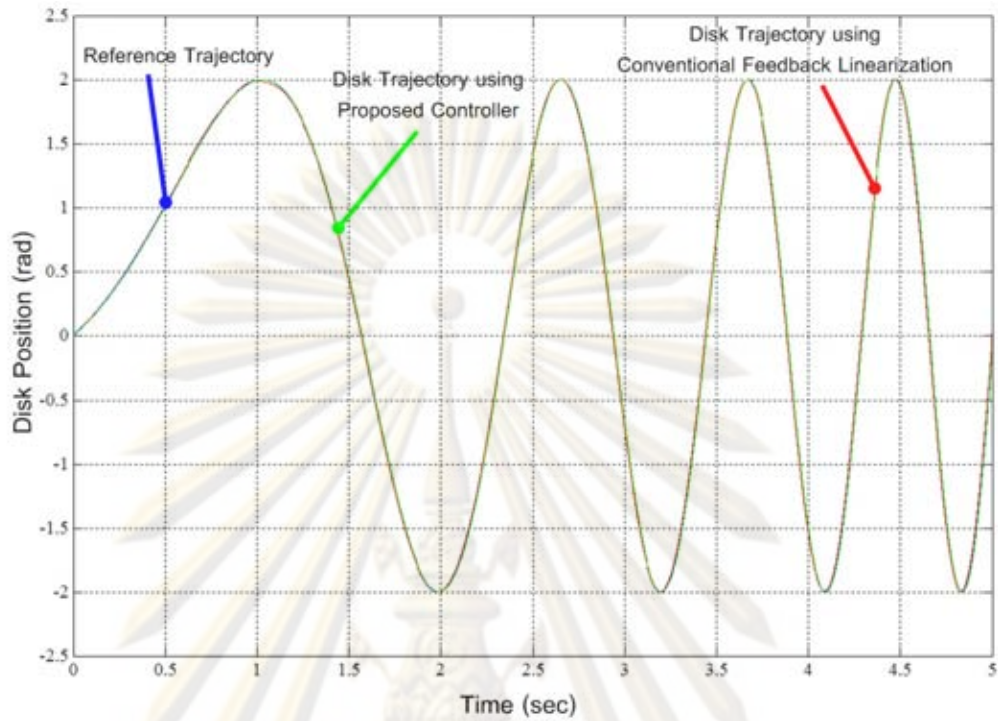
ในการทดลองควบคุมทางเดินของระบบจานหมุนทางกลในกรณีที่ทราบแบบจำลองของระบบทั้งหมด จะทำการทดลองสามการทดลอง คือ การทดลองควบคุมให้ตำแหน่งของจานหมุนติดตามทางเดินแบบต่อเนื่องเป็นชายน์สวีป การทดลองควบคุมให้ตำแหน่งของจานหมุนติดตามทางเดินแบบต่อเนื่องที่ถูกสร้างขึ้นในเวลาจริงจากจานหมุนเล็ก และการทดลองควบคุมให้เอาต์พุตของระบบมีการตอบสนองต่อสัญญาณทางเดินอ้างอิงแบบไม่ต่อเนื่องเป็นขั้นบันไดตามพลวัตที่กำหนด โดยการทดลองทั้งหมดใช้ตัวควบคุมที่แปลงระบบให้เป็นเชิงเส้นด้วยการป้อนกลับสำหรับระบบจานหมุนทางกล ซึ่งได้นำเสนอไว้ในหัวข้อ 3.2.2

#### 5.3.1 ผลการทดลองควบคุมให้จานหมุนติดตามสัญญาณทางเดินอ้างอิงชายน์สวีป

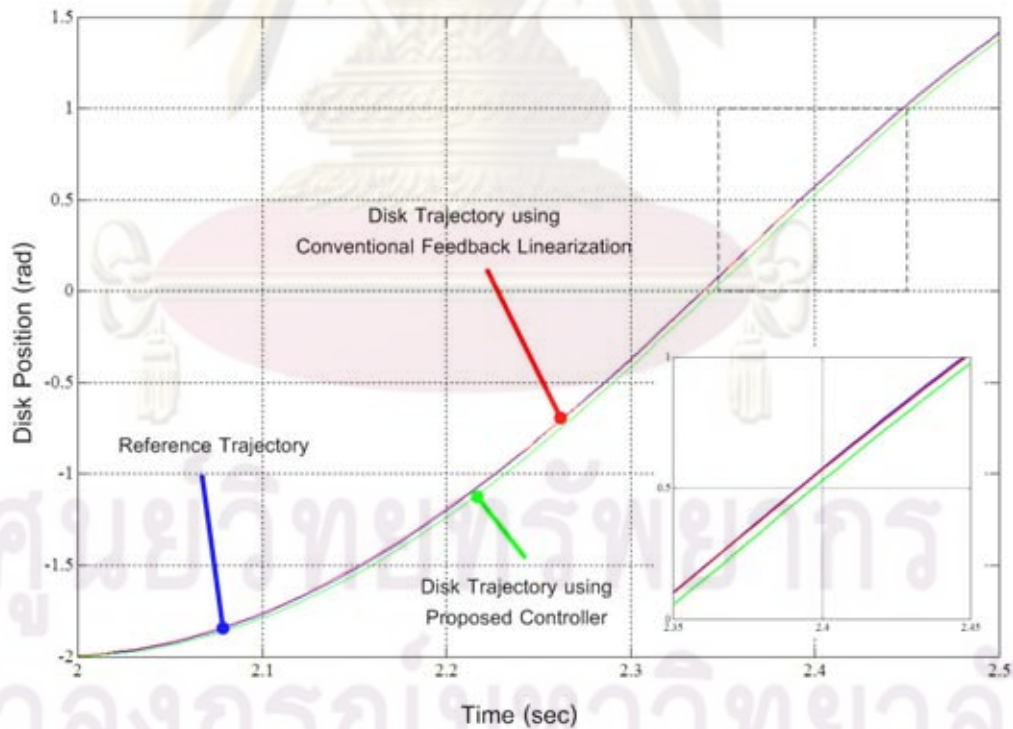
กำหนดให้สัญญาณทางเดินอ้างอิง เป็นสัญญาณชายน์สวีปความถี่ 0.1-1.5 เฮิรตซ์ ภายในเวลา 5 วินาที มีแอมพลิจูด 2 เรเดียน ทำการควบคุมด้วยตัวควบคุมที่แปลงระบบให้เป็นเชิงเส้นด้วยการป้อนกลับสำหรับระบบจานหมุนทางกล เปรียบเทียบกับวิธีการควบคุมที่ใช้การแปลงระบบให้เป็นเชิงเส้นด้วยการป้อนกลับโดยทั่วไป (Conventional Feedback Linearization) [18] ที่กำหนดพลวัตของความผิดพลาดในสมการ (2.21) ให้มีเวลาคงที่ 0.05 วินาที และอัตราส่วนการหน่วงเท่ากับ 0.7 ได้ผลการควบคุมดังรูปที่ 5.6 และผลลัพธ์เมื่อชดเชยเวลาหน่วงดังรูปที่ 5.7

จุฬาลงกรณ์มหาวิทยาลัย



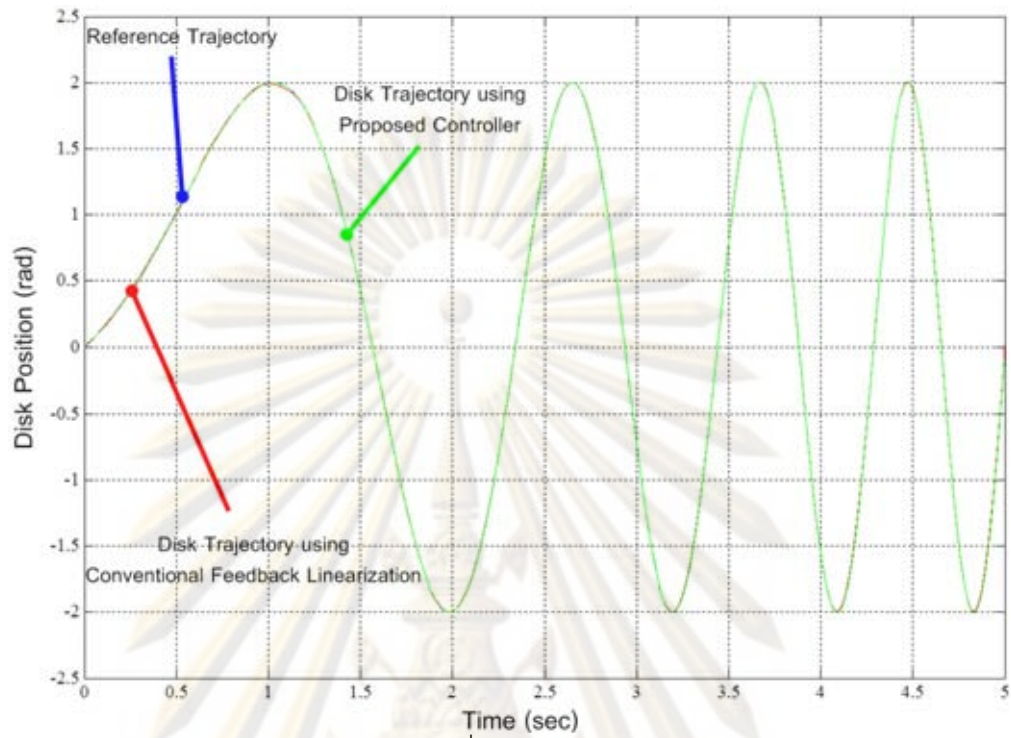


(ก) ผลลัพธ์ที่เวลา 0 ถึง 5 วินาที

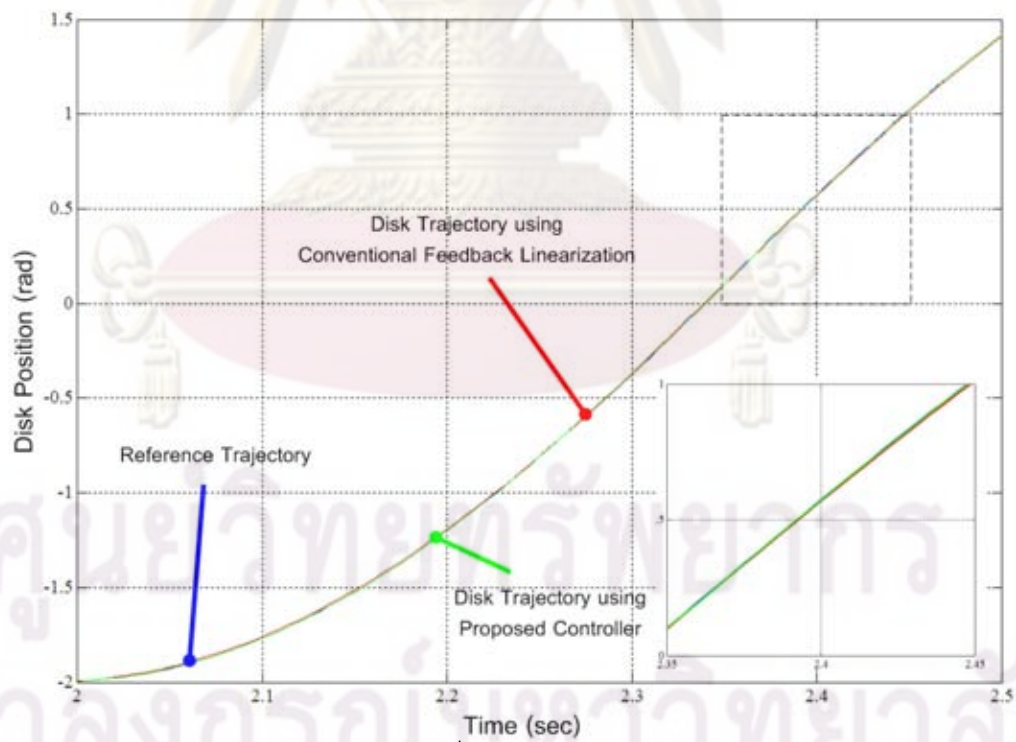


(ข) ผลลัพธ์ที่เวลา 2 ถึง 2.5 วินาที

รูปที่ 5.6 ผลการควบคุมระบบจานหมุนด้วยตัวควบคุมที่นำเสนอบริเวณเปรียบเทียบกับวิธีการควบคุมแบบทั่วไป



(ก) ผลลัพธ์ที่เวลา 0 ถึง 5 วินาที



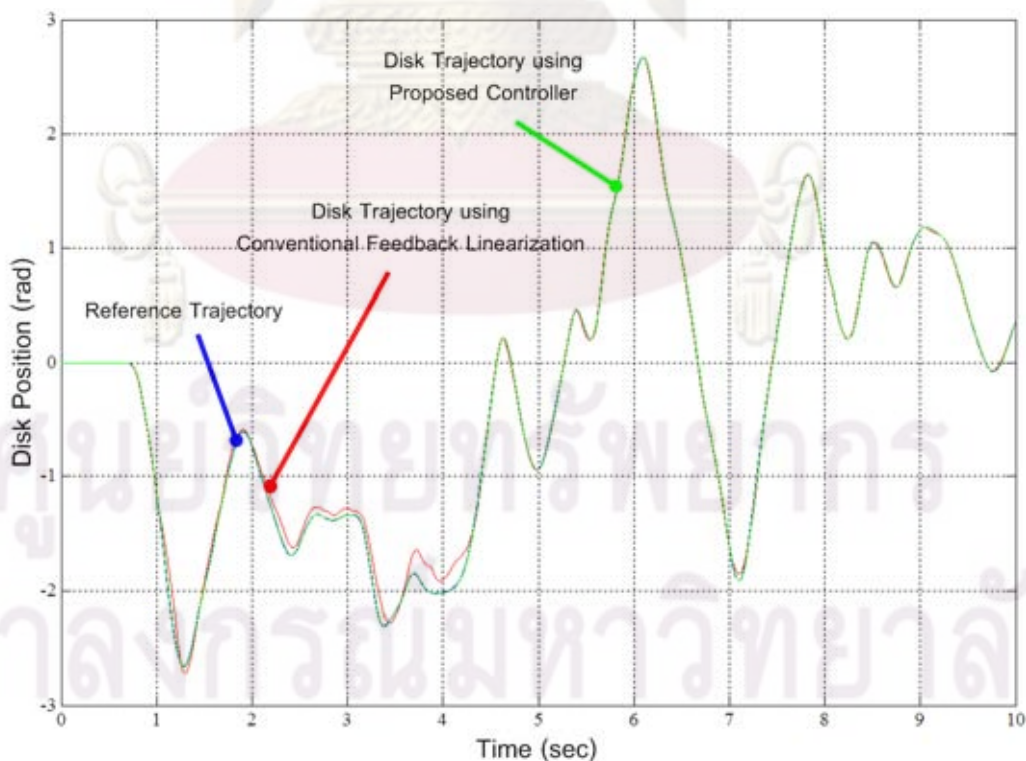
(ข) ผลลัพธ์ที่เวลา 2 ถึง 2.5 วินาที

รูปที่ 5.7 ผลลัพธ์เมื่อลดเซยเวลาหน่วงของการควบคุมระบบจานหมุนด้วยตัวควบคุมที่นำเสนอ  
เปรียบเทียบกับวิธีการควบคุมแบบทั่วไป

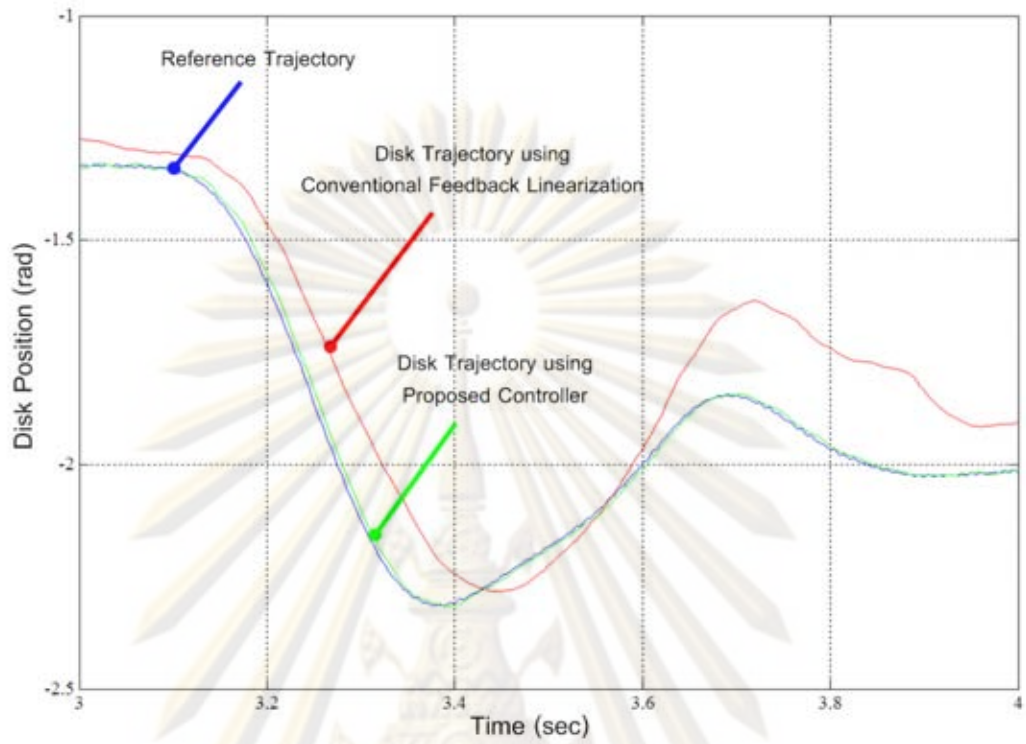
จากผลการทดลองในรูปที่ 5.6 พบว่าตัวควบคุมที่แปลงระบบให้เป็นเชิงเส้นด้วยการป้อนกลับสำหรับระบบจานหมุนทางกล และวิธีการควบคุมแบบทั่วไปนั้นสามารถควบคุมทางเดินของจานหมุนได้อย่างมีประสิทธิภาพ นั่นคือเอาต์พุตของระบบที่ได้จากตัวควบคุมทั้งสองสามารถติดตามทางเดินอ้างอิงซายน์สวี่ปได้เป็นอย่างดี โดยในส่วนของเอาต์พุตที่ได้จากตัวควบคุมที่นำเสนอนี้จะมีเวลาหน่วงคงที่เท่ากับเวลาสุ่มตามที่ได้ออกแบบไว้ในหัวข้อ 3.2.2 ซึ่งผลลัพธ์เมื่อซดเซยเวลาหน่วงในรูปที่ 5.7 แสดงให้เห็นว่าเอาต์พุตของระบบสามารถติดตามทางเดินอ้างอิงได้อย่างแม่นยำ

### 5.3.2 ผลการทดลองควบคุมให้จานหมุนติดตามสัญญาณทางเดินอ้างอิงจากจานหมุนเล็ก

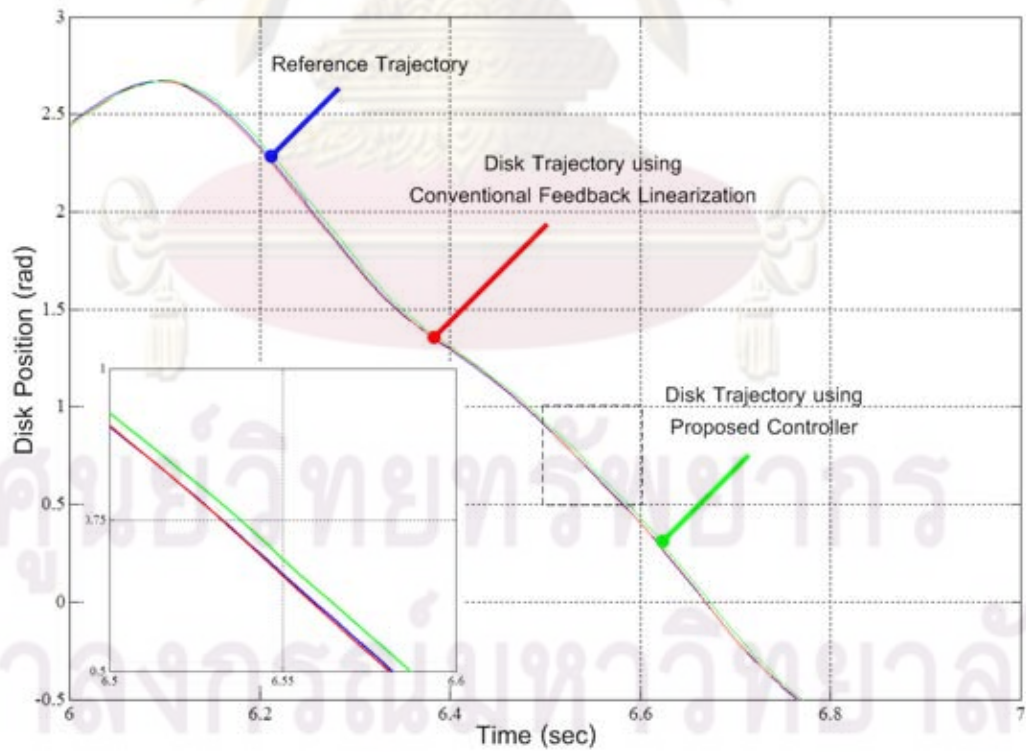
ทำการควบคุมระบบด้วยตัวควบคุมที่แปลงระบบให้เป็นเชิงเส้นด้วยการป้อนกลับสำหรับระบบจานหมุนทางกล ให้ติดตามสัญญาณทางเดินอ้างอิงที่ได้จากจานหมุนเล็ก ซึ่งเป็นการควบคุมในลักษณะ มาสเตอร์-สเลฟ (Master-Slave Control) โดยทำการควบคุมจานหมุนไปตามการหมุนของจานหมุนเล็กที่ถูกหมุนด้วยมือ เปรียบเทียบกับวิธีการควบคุมแบบทั่วไป เช่นเดียวกับในหัวข้อ 5.3.1 ได้ผลการควบคุมดังรูปที่ 5.8 และผลลัพธ์เมื่อซดเซยเวลาหน่วงดังรูปที่ 5.9



(ก) ผลลัพธ์ที่เวลา 0 ถึง 10 วินาที

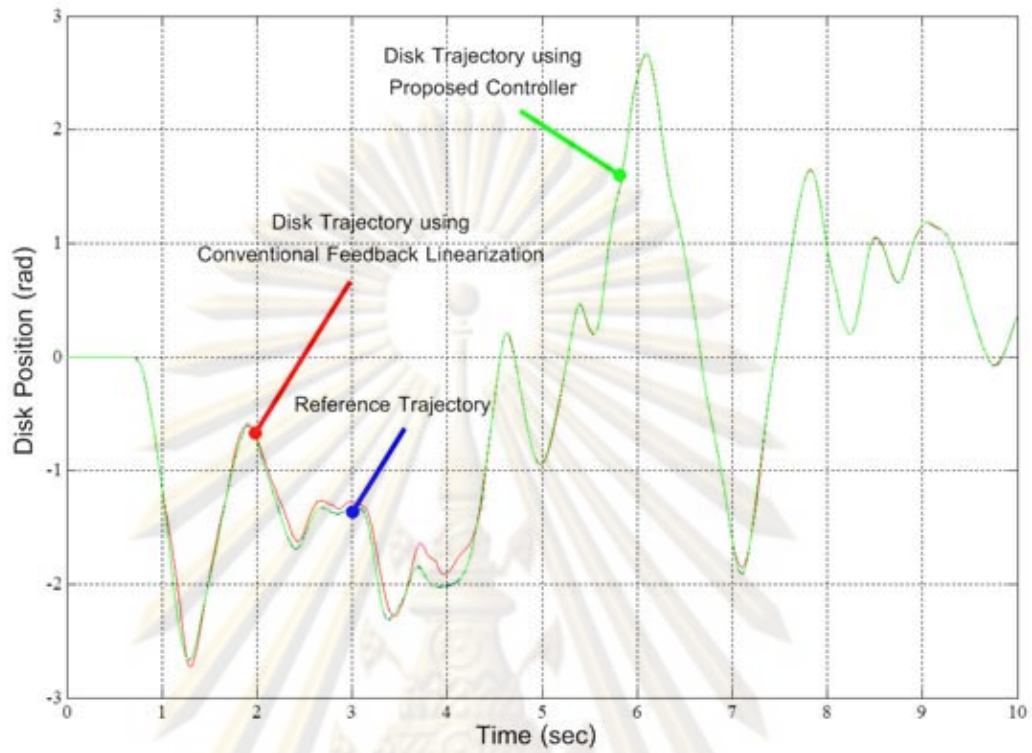


(ข) ผลลัพธ์ที่เวลา 3 ถึง 4 วินาที

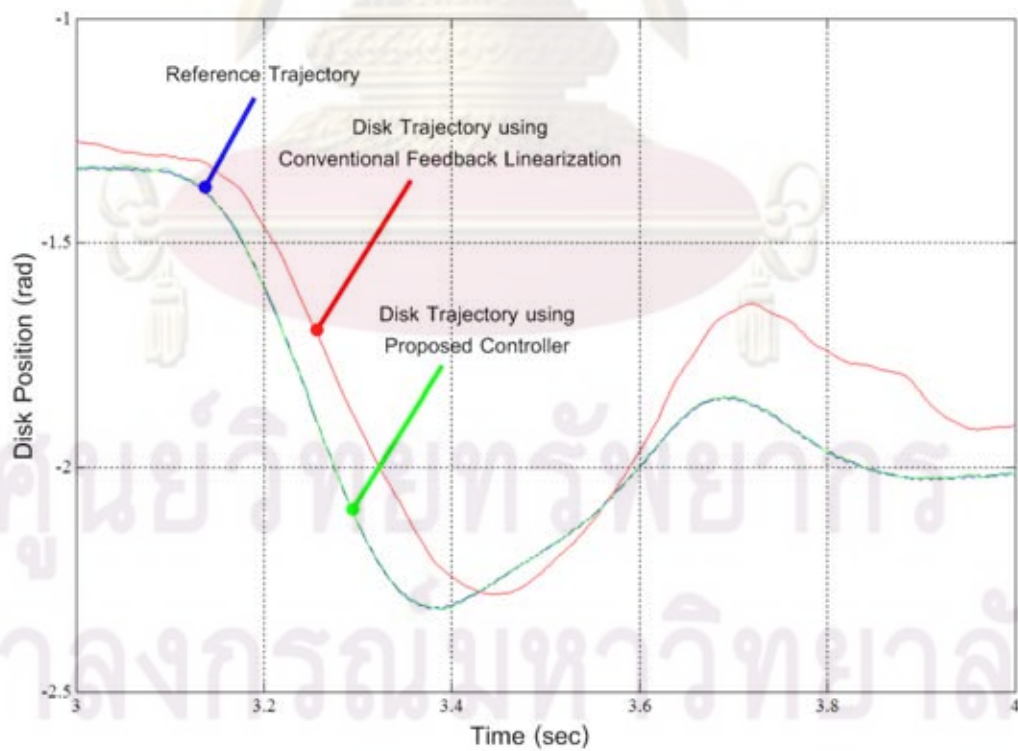


(ค) ผลลัพธ์ที่เวลา 6 ถึง 7 วินาที

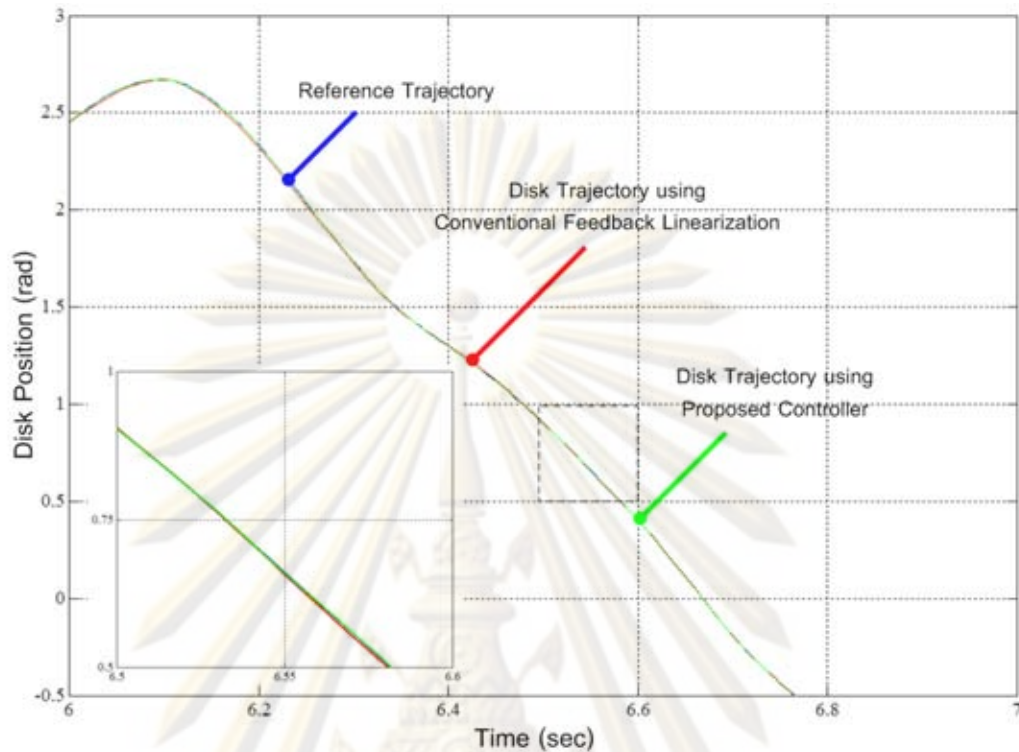
รูปที่ 5.8 ผลการควบคุมให้จานหมุนติดตามสัญญาณอ้างอิงจากจานหมุนเล็ก



(ก) ผลลัพธ์ที่เวลา 0 ถึง 10 วินาที



(ข) ผลลัพธ์ที่เวลา 3 ถึง 4 วินาที



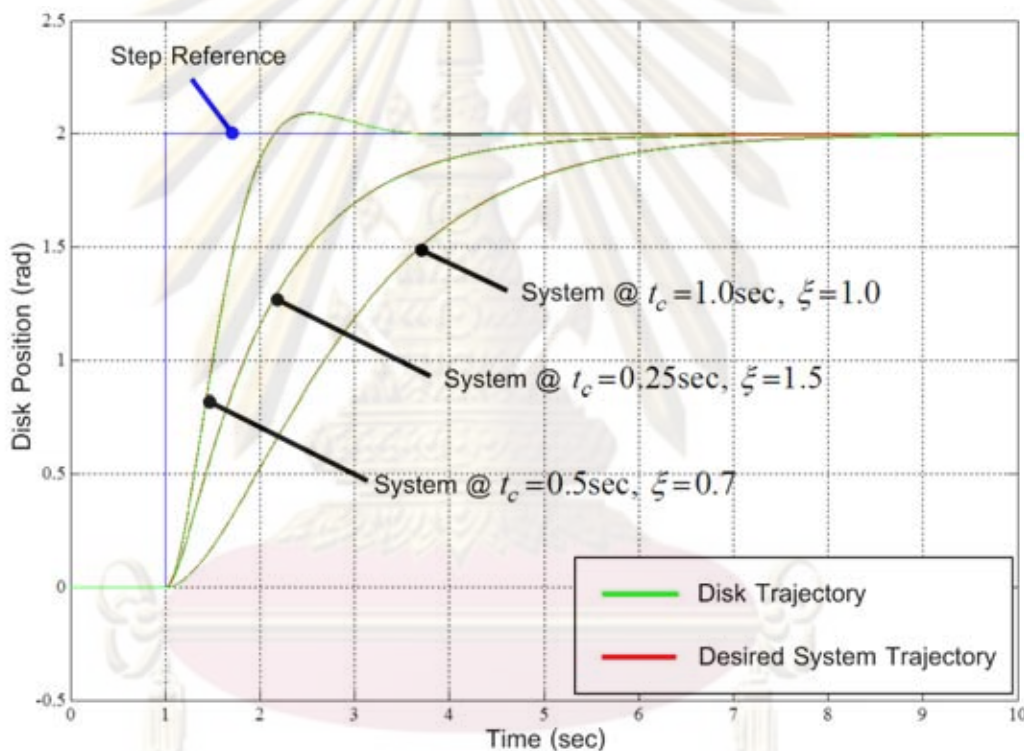
(ค) ผลลัพธ์ที่เวลา 6 ถึง 7 วินาที

รูปที่ 5.9 ผลลัพธ์เมื่อชดเชยเวลาหน่วงของการควบคุมให้จานหมุนติดตามสัญญาณอ้างอิงจากจานหมุนเล็ก

จากผลการทดลองในรูปที่ 5.8 และ 5.9 พบว่าตัวควบคุมที่แปลงระบบให้เป็นเชิงเส้นด้วยการป้อนกลับสำหรับระบบจานหมุนทางกลสามารถควบคุมเอาต์พุตของระบบให้ติดตามสัญญาณอ้างอิงได้อย่างมีประสิทธิภาพ ในขณะที่เอาต์พุตที่ได้จากวิธีการควบคุมที่แปลงระบบควบคุมให้เป็นเชิงเส้นด้วยการป้อนกลับแบบทั่วไปไม่มีความคลาดเคลื่อนจากสัญญาณอ้างอิงเกิดขึ้นในช่วงที่สัญญาณอ้างอิงมีการสั้นหรือมีสัญญาณรบกวน (รูปที่ 5.8ข และ 5.9ข) เนื่องจากวิธีการควบคุมแบบทั่วไปนั้นจำเป็นต้องนำอนุพันธ์อันดับหนึ่งและอันดับสองของสัญญาณอ้างอิงมาใช้คำนวณสัญญาณควบคุม แต่สำหรับตัวควบคุมที่นำเสนอ นั้นไม่จำเป็นต้องใช้ข้อมูลดังกล่าว และในกรณีที่สัญญาณอ้างอิงเรียบหรือไม่มีสัญญาณรบกวน วิธีการควบคุมแบบทั่วไปยังคงสามารถควบคุมทางเดินของจานหมุนได้เป็นอย่างดี (รูปที่ 5.8ค และ 5.9ค) นอกจากนี้ผลการทดลองที่ได้ยังแสดงถึงศักยภาพของตัวควบคุมที่นำเสนอเช่นเดียวกับผลการทดลองในหัวข้อ 5.3.1 นั่นคือเอาต์พุตที่ได้จากตัวควบคุมที่นำเสนอสามารถติดตามทางเดินอ้างอิงได้อย่างแม่นยำโดยมีเวลาหน่วงคงที่เท่ากับเวลาสุ่ม

### 5.3.3 ผลการทดลองควบคุมให้จานหมุนมีการตอบสนองตามพลวัตที่กำหนด

ทดลองควบคุมให้เอาต์พุตของระบบจานหมุนทางกลติดตามทางเดินอ้างอิงที่มีลักษณะไม่ต่อเนื่องมีลักษณะเป็นขั้นบันได (Step trajectory) ขนาด 2 เรเดียน พร้อมทั้งปรับสัญญาณทางเดินอ้างอิงให้มีลักษณะเป็นสัญญาณแบบต่อเนื่องที่มีพลวัตตามที่ต้องการ โดยกำหนดพลวัตของฟังก์ชันถ่ายโอนให้มีค่าเวลาคงที่และอัตราส่วนการหน่วงต่างกัน เป็น (1)  $t_c = 0.5$  วินาที  $\zeta = 0.7$  (2)  $t_c = 0.25$  วินาที  $\zeta = 1.5$  และ (3)  $t_c = 1$  วินาที  $\zeta = 1$  ตามลำดับ ได้ผลการควบคุมดังรูปที่ 5.10



รูปที่ 5.10 ผลการควบคุมให้ระบบจานหมุนทางกลติดตามทางเดินแบบขั้นบันไดโดยกำหนดพลวัตของฟังก์ชันถ่ายโอนแบบต่างๆ

จากผลการควบคุมรูปที่ 5.10 แสดงให้เห็นว่าตัวควบคุมสามารถรับมือกับสัญญาณอ้างอิงที่มีลักษณะเป็นขั้นบันไดได้อย่างมีประสิทธิภาพ โดยมีค่าความผิดพลาดที่สถานะอยู่ตัว (Steady State Error) เท่ากับ 0.002 เรเดียน 0.005 เรเดียน และ 0.007 เรเดียน ตามลำดับ นั่นคือเอาต์พุตมีการตอบสนองต่อสัญญาณอ้างอิงแบบขั้นบันไดเช่นเดียวกับระบบที่มีพลวัตเท่ากับที่กำหนด หรือเอาต์พุตสามารถติดตามทางเดินอ้างอิงแบบต่อเนื่องที่มีพลวัตเท่ากับที่กำหนดได้นั่นเอง

### 5.3.4 สรุปการทดลองควบคุมระบบจานหมุนในกรณีที่ทราบแบบจำลองของระบบทั้งหมด

ในกรณีที่ทราบแบบจำลองของระบบจานหมุนทางกลทั้งหมด ผลการทดลองในหัวข้อ 5.3.3 และ 5.3.4 แสดงให้เห็นถึงศักยภาพของตัวควบคุมที่นำเสนอ นั่นคือตัวควบคุมสามารถชดเชยความไม่เป็นเชิงเส้น และพลวัตของระบบจานหมุนได้อย่างมีประสิทธิภาพ ส่งผลให้สามารถควบคุมเอาต์พุตของระบบให้ติดตามทางเดินอ้างอิงแบบต่อเนื่องได้อย่างแม่นยำโดยมีเวลาหน่วงคงที่เท่ากับเวลาสุ่ม

อีกทั้งตัวควบคุมที่นำเสนอมีความเหมาะสมกับการควบคุมในลักษณะมาสเตอร์-สเลฟ ซึ่งสัญญาณอ้างอิงจะถูกสร้างขึ้นในเวลาจริง และสัญญาณอ้างอิงอาจมีการสั้นหรือมีสัญญาณรบกวน ทำให้วิธีการควบคุมที่แปลงระบบควบคุมให้เป็นเชิงเส้นโดยทั่วไปให้ผลการควบคุมไม่เป็นที่น่าพอใจ ในขณะที่ตัวควบคุมที่นำเสนอยังคงสามารถควบคุมทางเดินของระบบได้อย่างมีประสิทธิภาพ เนื่องจากไม่จำเป็นต้องใช้อนุพันธ์อันดับหนึ่งและอันดับสองของสัญญาณอ้างอิงในการคำนวณสัญญาณควบคุม

นอกจากนี้ตัวควบคุมที่แปลงระบบควบคุมให้เป็นเชิงเส้นด้วยการป้อนกลับสำหรับระบบจานหมุนทางกล ยังสามารถรับมือกับสัญญาณทางเดินอ้างอิงแบบไม่ต่อเนื่องมีลักษณะเป็นขั้นบันได โดยให้สัญญาณอ้างอิงผ่านฟังก์ชันถ่ายโอนที่มีพลวัตเท่ากับที่กำหนด เพื่อปรับสัญญาณอ้างอิงให้มีลักษณะเป็นสัญญาณแบบต่อเนื่อง ทำให้ผลตอบสนองมีพลวัตตามที่ต้องการได้ ซึ่งวิธีการนี้จะส่งผลให้ระบบควบคุมมีพลวัตเท่ากับที่กำหนดแทน

## 5.4 ผลการทดลองที่สองกรณีทราบแบบจำลองของระบบบางส่วน

การทดลองควบคุมทางเดินของระบบจานหมุนทางกลเมื่อทราบแบบจำลองของระบบบางส่วน ในกรณีที่ทราบเฉพาะสัมประสิทธิ์ของเทอม  $\ddot{\theta}$  ในสมการ (4.1) และไม่ทราบค่าพารามิเตอร์  $a^*$ ,  $b^*$  และ  $c^*$  ของแบบจำลองของระบบจานหมุน ดังสมการ (4.5)

$$0.0232\ddot{\theta} + \text{sgn}(\dot{\theta})(a^*|\dot{\theta}| + b^*) + c^* \sin(\theta) = u \quad (4.5)$$

สมการ (4.5) จะสามารถแปลงให้อยู่ในรูปสมการดิฟเฟอเรนเชียลได้เป็น

$$\theta_{k+1} = \hat{F}(\theta_k, \theta_{k-1}) + Bu_k \quad (4.6)$$

โดยที่



$$\left. \begin{aligned} \hat{F}(\theta_k, \theta_{k-1}) &= -\frac{T^2}{0.0232} \operatorname{sgn}(\theta_k - \theta_{k-1}) \left( a^* \left| \frac{\theta_k - \theta_{k-1}}{T} \right| + b^* \right) \\ &\quad - \frac{T^2}{0.0232} c^* \sin(\theta_k) + 2\theta_k - \theta_{k-1} \\ B &= 43.1034T^2 \end{aligned} \right\} \quad (4.7)$$

ซึ่งหมายถึงเราทราบฟังก์ชันคงที่  $B$  และกำหนดให้ทางเดินอ้างอิงที่ต้องการมีลักษณะเป็นฟังก์ชันเป็นคาบ จะใช้ตัวควบคุมชนิดค่าเองได้ที่นำเสนอไว้ในบทที่ 4 โดยทำการทดลองสามการทดลองคือการทดลองควบคุมให้ตำแหน่งของจานหมุนติดตามทางเดินแบบต่อเนื่องเป็นซายน์สแควร์ การทดลองควบคุมให้ตำแหน่งของจานหมุนติดตามทางเดินแบบต่อเนื่องใดๆ ซึ่งถูกสร้างจากจานหมุนเล็ก และการทดลองควบคุมให้เอาต์พุตของระบบมีการตอบสนองต่อสัญญาณทางเดินอ้างอิงแบบไม่ต่อเนื่องเป็นคลื่นพัลส์รูปสี่เหลี่ยมตามพลวัตที่กำหนด

#### 5.4.1 ผลการทดลองควบคุมให้จานหมุนติดตามสัญญาณทางเดินอ้างอิงซายน์สแควร์

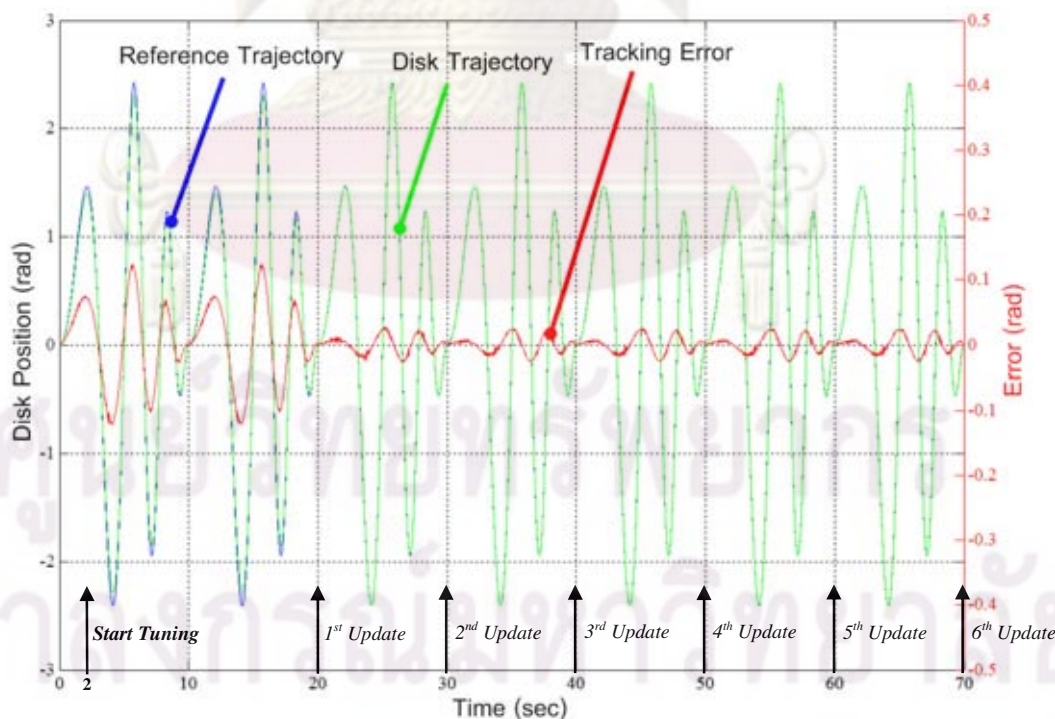
กำหนดให้สัญญาณทางเดินอ้างอิงที่ต้องการเป็นฟังก์ชันเป็นคาบซายน์สแควร์ มีคาบเวลา 10 วินาที ความถี่ 0.1-0.5 เฮิรตซ์ ภายในเวลา 10 วินาที เฟสเริ่มต้นที่ 0 เรเดียน มีแอมพลิจูดเป็นฟังก์ชันซายน์แบบเต็มคลื่นขนาด 2.5 เรเดียน ความถี่  $0.1\pi$  เฮิรตซ์ และให้เอาต์พุตของระบบเริ่มต้นที่ 0 เรเดียน

โดยกำหนดค่าเริ่มต้นของตัวควบคุมชนิดปรับค่าเองได้ดังต่อไปนี้

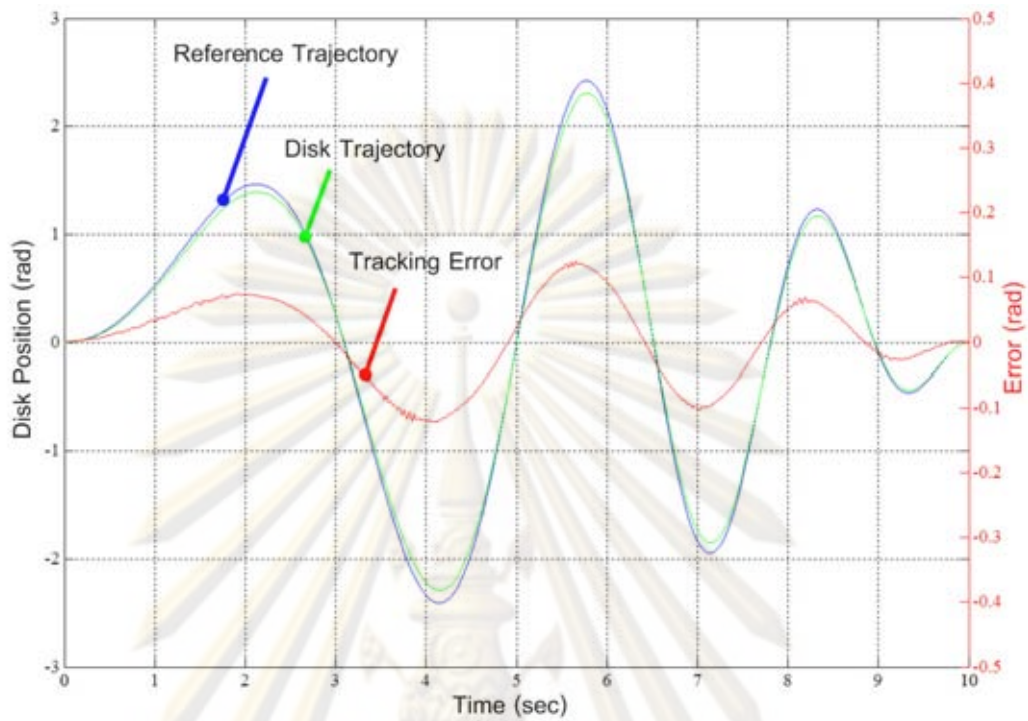
- กำหนดให้ตารางค้นหาที่มีขนาด 201 จุดข้อมูล เริ่มตั้งแต่ 0 ถึง 10 วินาที ซึ่งจะมีช่องว่าง (Gab) ระหว่างจุดข้อมูลเป็น 0.05 วินาที และกำหนดความคลาดเคลื่อนที่ยอมรับได้  $\Delta t$  เท่ากับ 0.05 วินาที เช่นกัน
- กำหนดค่าเริ่มต้นของฟังก์ชัน  $\hat{e}_{F,i}(0) = 0$  ในตารางค้นหาของแบบจำลอง และค่าเริ่มต้นสำหรับของวิธีกำลังสองน้อยสุดแบบวนซ้ำในทุกจุดข้อมูลคือ  $n(0) = 0$
- กำหนดให้พารามิเตอร์ที่ไม่ทราบค่า  $a^* = b^* = c^* = 0$  จะได้ค่าเริ่มต้นของฟังก์ชัน  $\hat{F}(\theta_k, \theta_{k-1}) = 2\theta_k - \theta_{k-1}$  สำหรับตัวควบคุม

- กำหนดรอบเวลาของการปรับปรุงค่าในรอบแรกที่เวลา 20 วินาที และทุก 10 วินาที สำหรับรอบต่อไป
- กำหนดให้ผลรวมค่าผิดพลาดในการติดตามทางเดินกำลังสองเมื่อชดเชยเวลาหน่วงที่ยอมรับได้เพื่อหยุดการปรับปรุงค่า  $\varepsilon$  เท่ากับ 0.002 (ค่าความผิดพลาดที่ยอมรับได้เท่ากับ 0.001 เรเดียน)

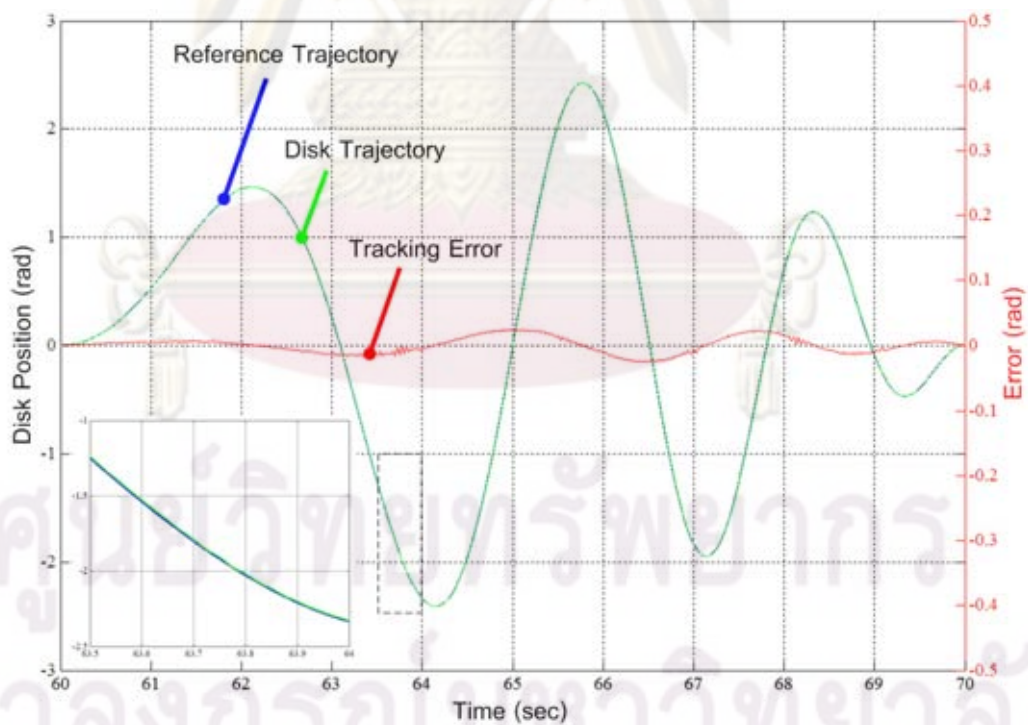
ผลการควบคุมรูปที่ 5.11 และผลลัพธ์เมื่อชดเชยเวลาหน่วงรูปที่ 5.12 ชี้ให้เห็นว่าเอาต์พุตของระบบจะลู่เข้าสู่ทางเดินอ้างอิง ทำให้ค่าความผิดพลาดของการติดตามทางเดินลดลงจนกระทั่งมีเพียงค่าความผิดพลาดที่เกิดจากเวลาหน่วงเท่านั้น ทั้งนี้การลู่เข้าสู่ของฟังก์ชัน  $\hat{F}$  ในรูปที่ 5.13 แสดงให้เห็นว่า ตัวควบคุมสามารถปรับปรุงค่า  $\hat{F}$  ให้ลู่เข้าสู่ค่าจริงได้ ส่งผลให้ค่าความผิดพลาดของการติดตามทางเดินลดลง อย่างไรก็ตามตัวควบคุมไม่สามารถลดค่าความผิดพลาดของการติดตามทางเดินเมื่อชดเชยเวลาหน่วงลงต่ำกว่าค่าที่กำหนดได้ แต่จะลดลงมาต่ำสุดที่ประมาณ 0.0029 ซึ่งก็เพียงพอต่อการควบคุมทางเดินได้อย่างมีประสิทธิภาพ นั่นคือสามารถควบคุมให้เอาต์พุตของระบบติดตามทางเดินอ้างอิงแบบต่อเนื่องเป็นชายนส์วีปเป็นอย่างดีโดยมีเวลาหน่วงคงที่



(ก) ผลลัพธ์ที่เวลา 0 ถึง 70 วินาที



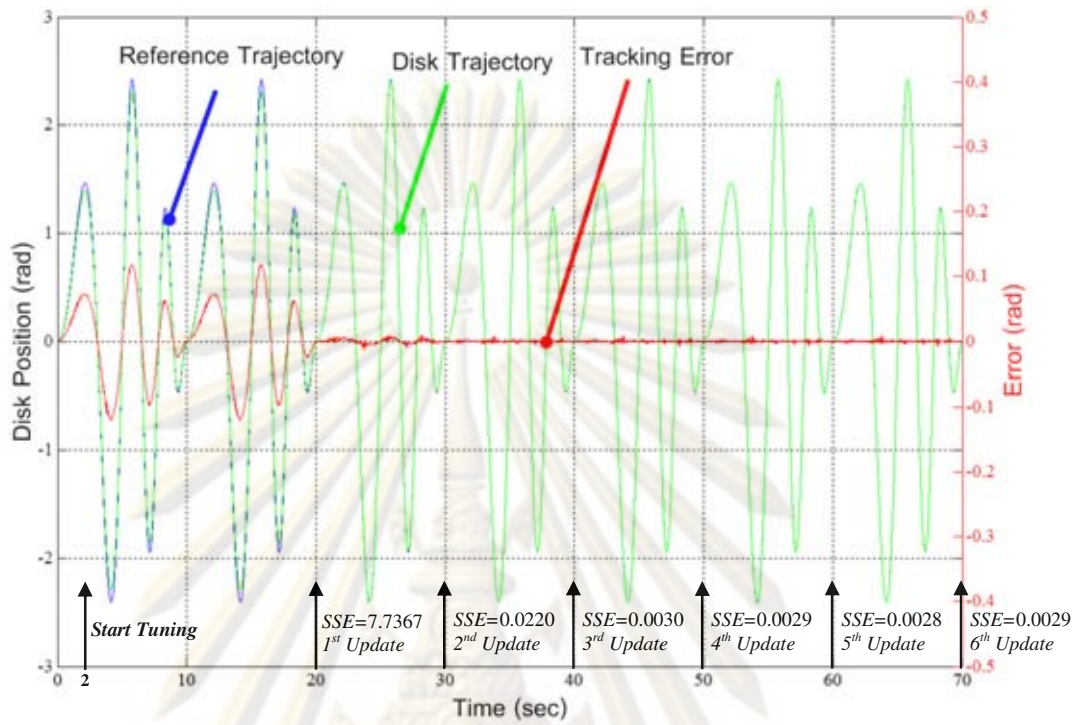
(ข) ผลลัพธ์ที่เวลา 0 ถึง 10 วินาที



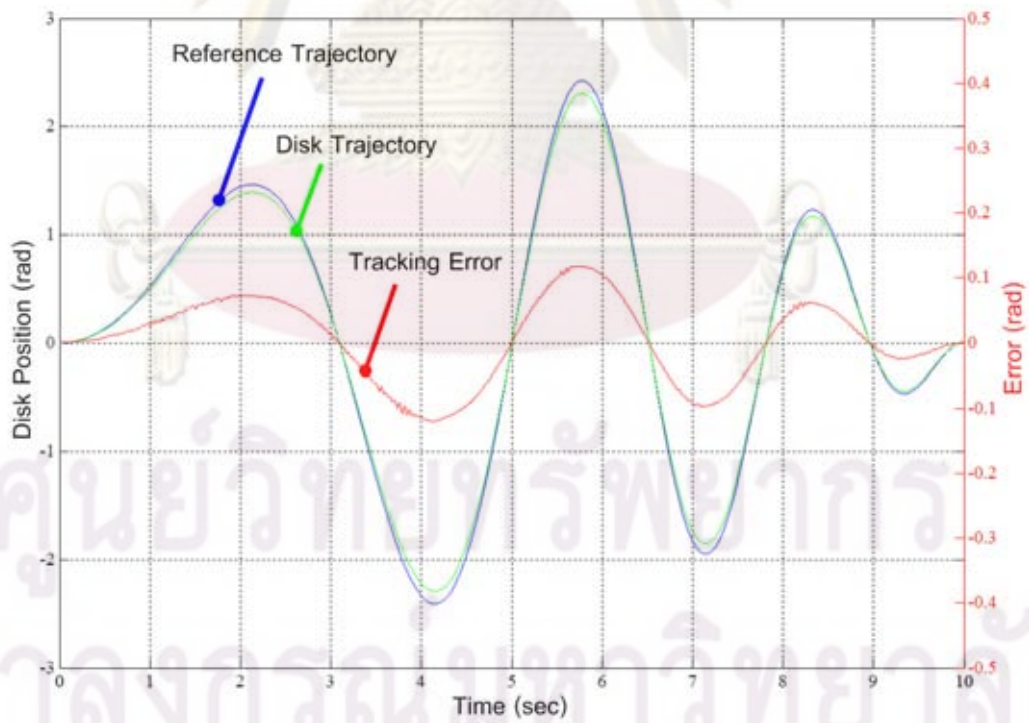
(ค) ผลลัพธ์ที่เวลา 60 ถึง 70 วินาที

รูปที่ 5.11 ผลการควบคุมให้ระบบจานหมุนติดตามทางเดินอ้างอิงซายน์สวีปด้วยตัวควบคุมชนิด

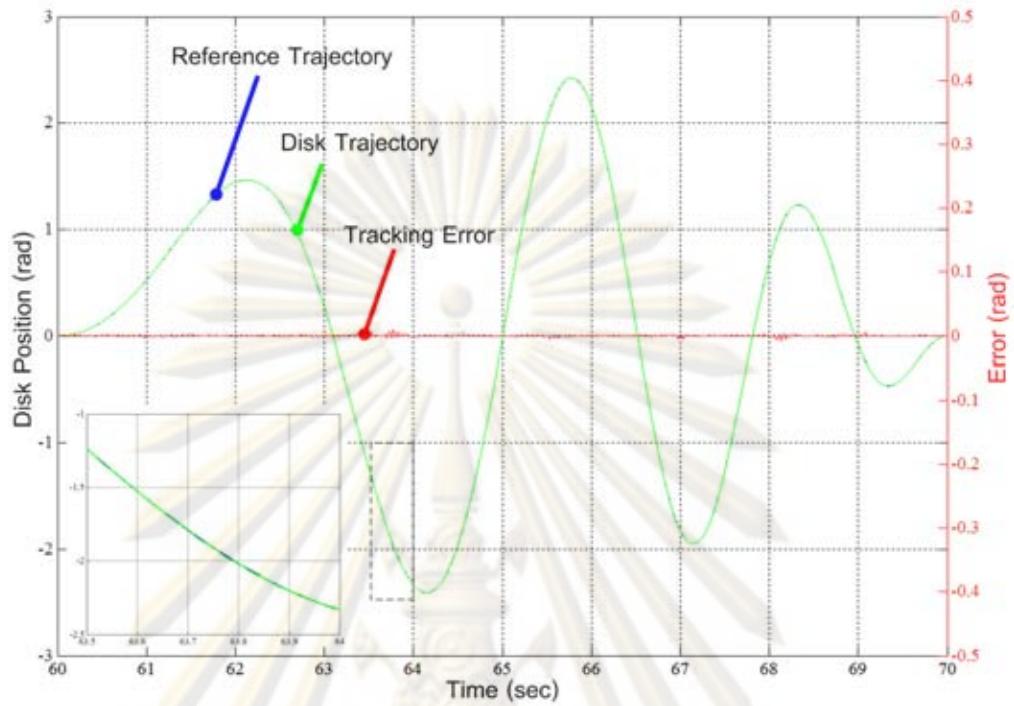
ปรับค่าเองได้



(ก) ผลลัพธ์ที่เวลา 0 ถึง 70 วินาที

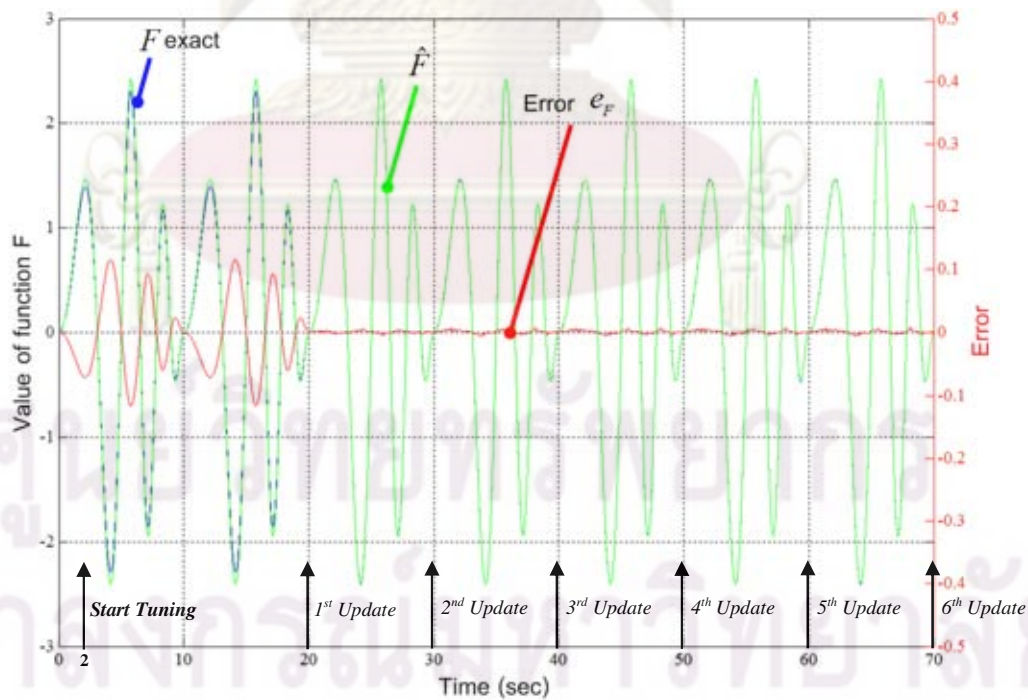


(ข) ผลลัพธ์ที่เวลา 0 ถึง 10 วินาที



(ค) ผลลัพธ์ที่เวลา 60 ถึง 70 วินาที

รูปที่ 5.12 ผลลัพธ์เมื่อชดเชยเวลาหน่วงของการควบคุมให้ระบบจานหมุนติดตามทางเดินอ้างอิง  
ซายนส์วีปด้วยตัวควบคุมชนิดปรับค่าเองได้



รูปที่ 5.13 การลู่เข้าของฟังก์ชัน  $\hat{F}$  สู่ค่าจริง ในการจำลองควบคุมระบบจานหมุนให้ติดตาม  
ทางเดินอ้างอิงซายนส์วีป

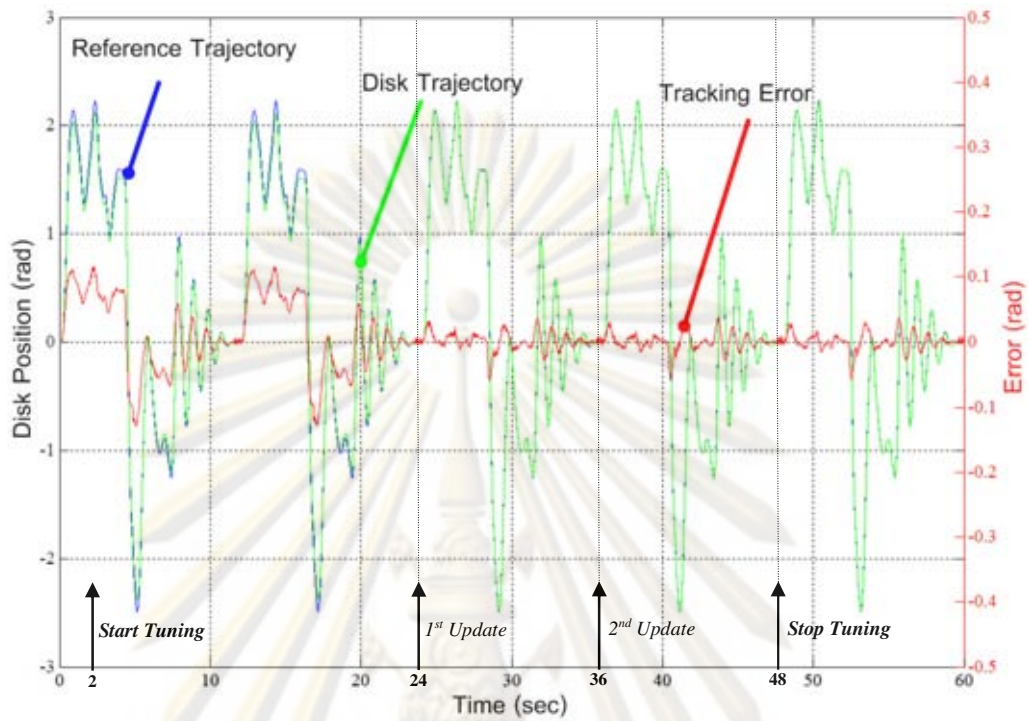
#### 5.4.2 การทดลองควบคุมให้จนวนหมุนติดตามสัญญาณทางเดินอ้างอิงแบบต่อเนื่องใดๆ

กำหนดให้สัญญาณทางเดินอ้างอิงแบบต่อเนื่องใดๆ ที่มีคาบเวลา 12 วินาที โดยสัญญาณอ้างอิงถูกสร้างขึ้นจากจนวนหมุนเล็ก และบันทึกเก็บไว้ จากนั้นจึงส่งสัญญาณอ้างอิงให้แก่ระบบควบคุมในลักษณะของฟังก์ชันเป็นคาบ

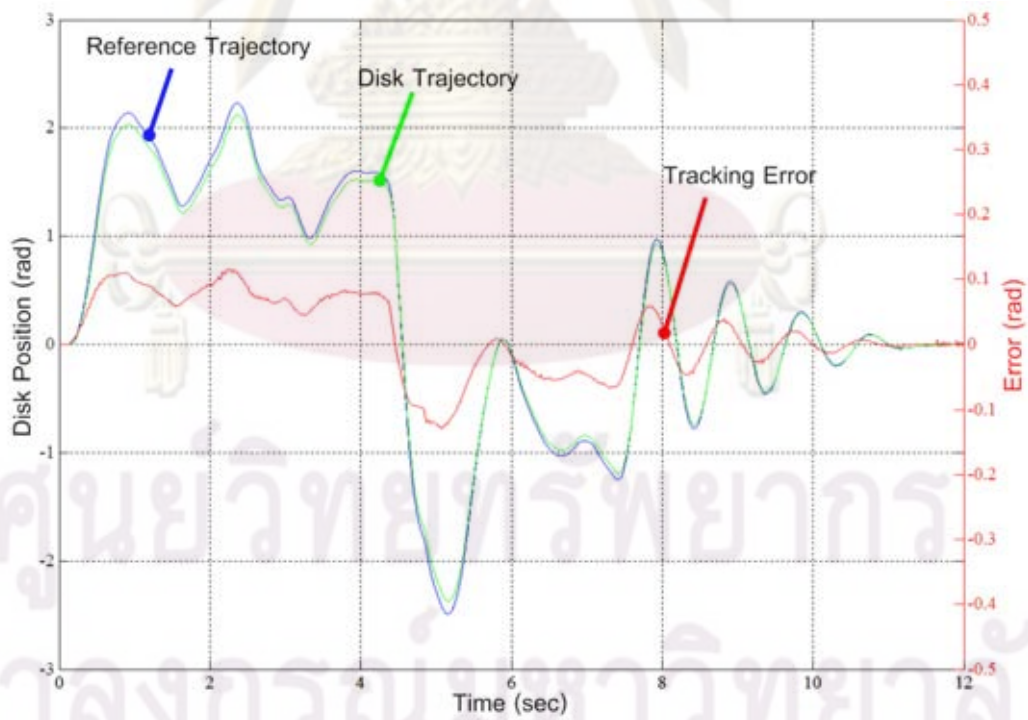
โดยกำหนดค่าเริ่มต้นของตัวควบคุมชนิดปรับค่าเองได้ดังต่อไปนี้

- กำหนดให้ตารางค้นหาที่มีขนาด 301 จุดข้อมูล เริ่มตั้งแต่ 0 ถึง 12 วินาที ซึ่งจะมีช่องว่าง (Gap) ระหว่างจุดข้อมูลเป็น 0.04 วินาที และกำหนดความคลาดเคลื่อนที่ยอมรับได้  $\Delta t$  เท่ากับ 0.04 วินาที เช่นกัน
- กำหนดรอบเวลาของการปรับปรุงค่าในรอบแรกเป็นเวลา 24 วินาที และทุก 12 วินาที สำหรับรอบต่อไป
- กำหนดให้ผลรวมค่าผิดพลาดในการติดตามทางเดินกำลังสองเมื่อชดเชยเวลาหนึ่งที่ยอมรับได้เพื่อหยุดการปรับปรุงค่า  $\varepsilon$  เท่ากับ 0.0096 (ค่าความผิดพลาดที่ยอมรับได้ เท่ากับ 0.002 เรเดียน)
- ค่าเริ่มต้นอื่นๆ กำหนดให้เป็นเช่นเดียวกับหัวข้อ 5.4.1

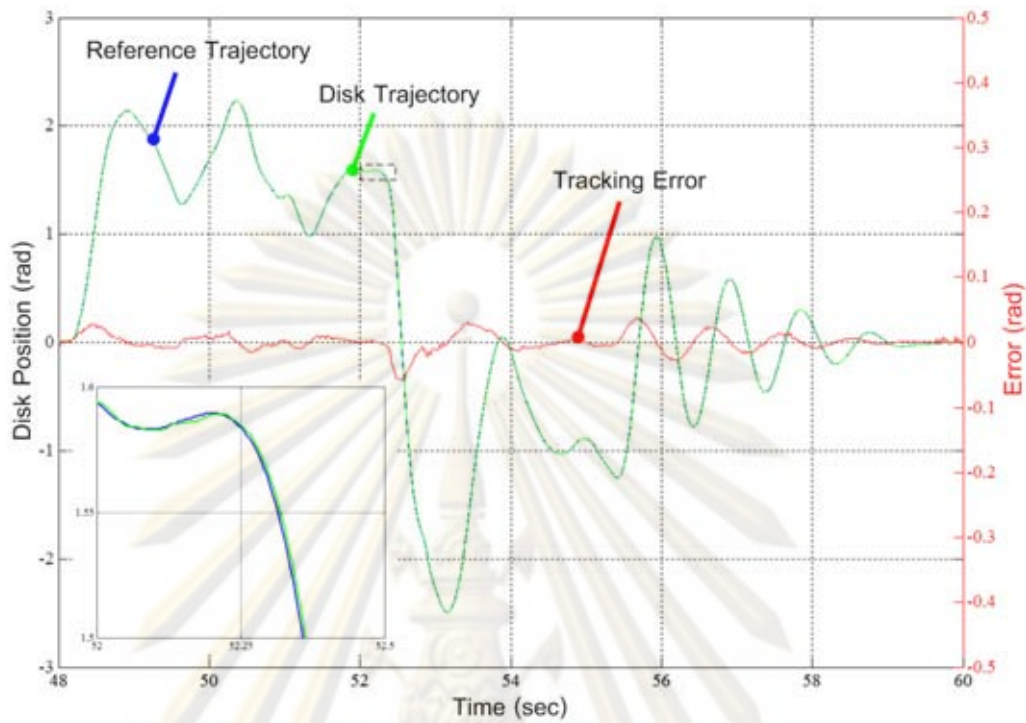
ผลการควบคุมรูปที่ 5.14 และผลลัพธ์เมื่อชดเชยเวลาหนึ่งรูปที่ 5.15 แสดงให้เห็นถึงศักยภาพของตัวควบคุมในการควบคุมให้เอาต์พุตของระบบเข้าสู่ทางเดินอ้างอิงแบบต่อเนื่อง โดยการปรับปรุงค่าของฟังก์ชัน  $F$  ให้เข้าสู่ค่าจริงดังในรูปที่ 5.16 ส่งผลให้ค่าความผิดพลาดของการติดตามทางเดินลดลงเหลือเพียงค่าความผิดพลาดที่เกิดจากเวลาหนึ่ง ทั้งนี้ตัวควบคุมสามารถลดค่าความผิดพลาดของการติดตามทางเดินเมื่อชดเชยเวลาหนึ่งลงได้ จนกระทั่งต่ำกว่าค่าที่กำหนดในรอบที่ 3 ของการปรับปรุงค่า และทำให้เอาต์พุตของระบบติดตามทางเดินอ้างอิงแบบต่อเนื่องใดๆ ได้เป็นอย่างดีโดยมีเวลาหนึ่งคงที่



(ก) ผลลัพธ์ที่เวลา 0 ถึง 50 วินาที



(ข) ผลลัพธ์ที่เวลา 0 ถึง 10 วินาที

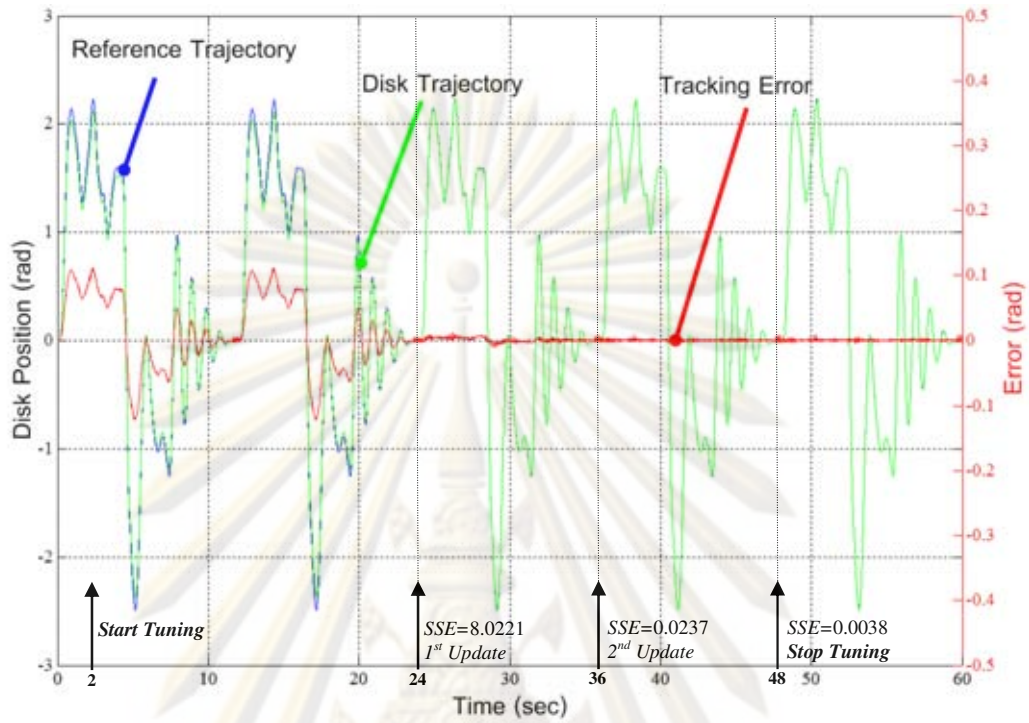


(ค) ผลลัพธ์ที่เวลา 40 ถึง 50 วินาที

รูปที่ 5.14 ผลการควบคุมให้ระบบจานหมุนติดตามทางเดินอ้างอิงแบบต่อเนื่องใดๆ ด้วยตัวควบคุมชนิดปรับค่าเองได้

ศูนย์วิทยทรัพยากร  
จุฬาลงกรณ์มหาวิทยาลัย

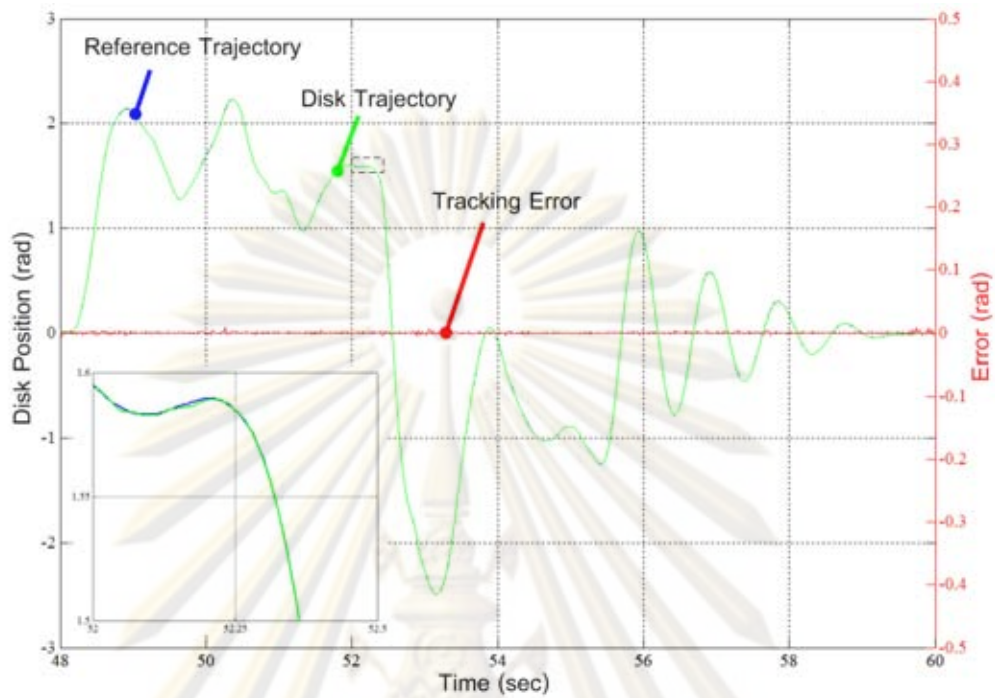




(ก) ผลลัพธ์ที่เวลา 0 ถึง 50 วินาที

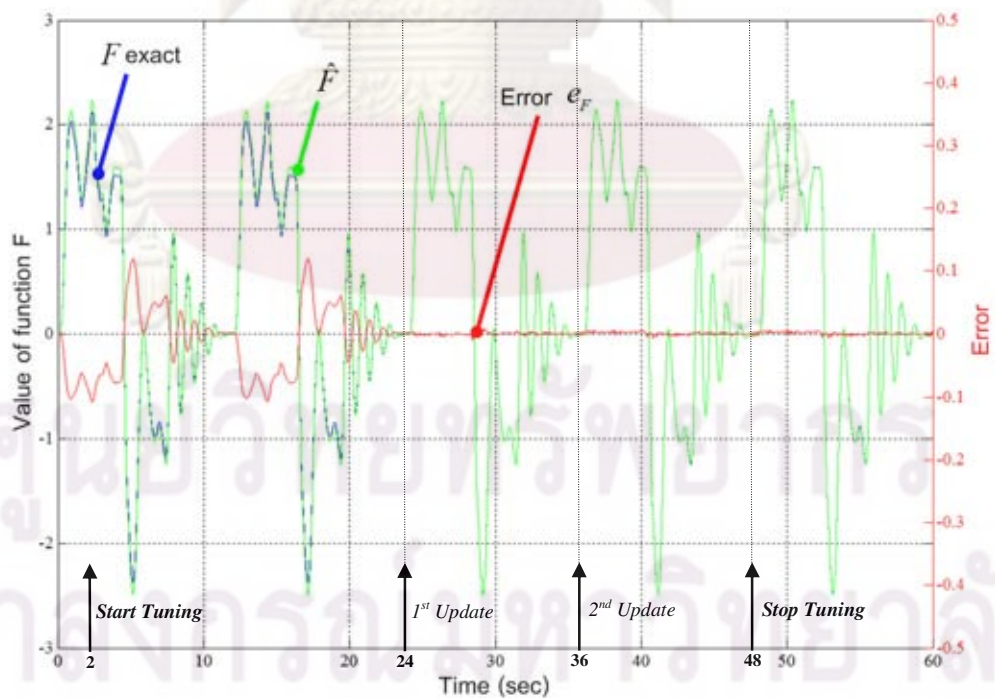


(ข) ผลลัพธ์ที่เวลา 0 ถึง 10 วินาที



(ค) ผลลัพธ์ที่เวลา 40 ถึง 50 วินาที

รูปที่ 5.15 ผลลัพธ์เมื่อชดเชยเวลาหน่วงของการควบคุมให้ระบบจานหมุนติดตามทางเดินอ้างอิงแบบต่อเนื่องใดๆ ด้วยตัวควบคุมชนิดปรับค่าเองได้

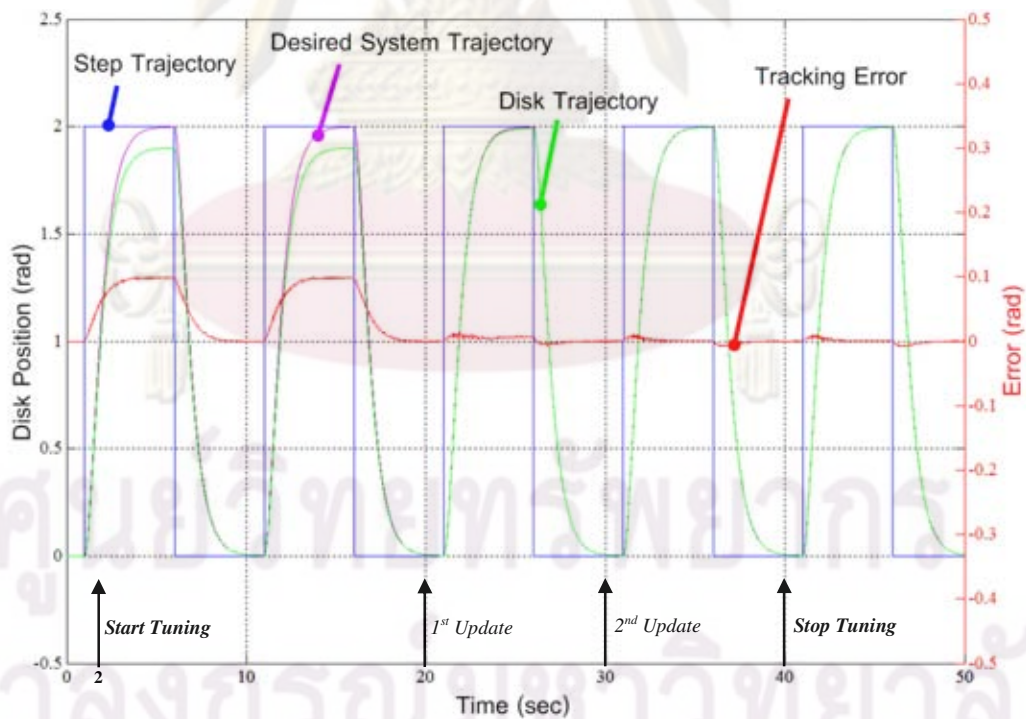


รูปที่ 5.16 การลู่เข้าของฟังก์ชัน  $\hat{F}$  สู่ค่าจริง ในการจำลองควบคุมระบบจานหมุนให้ติดตามทางเดินอ้างอิงแบบต่อเนื่องใดๆ

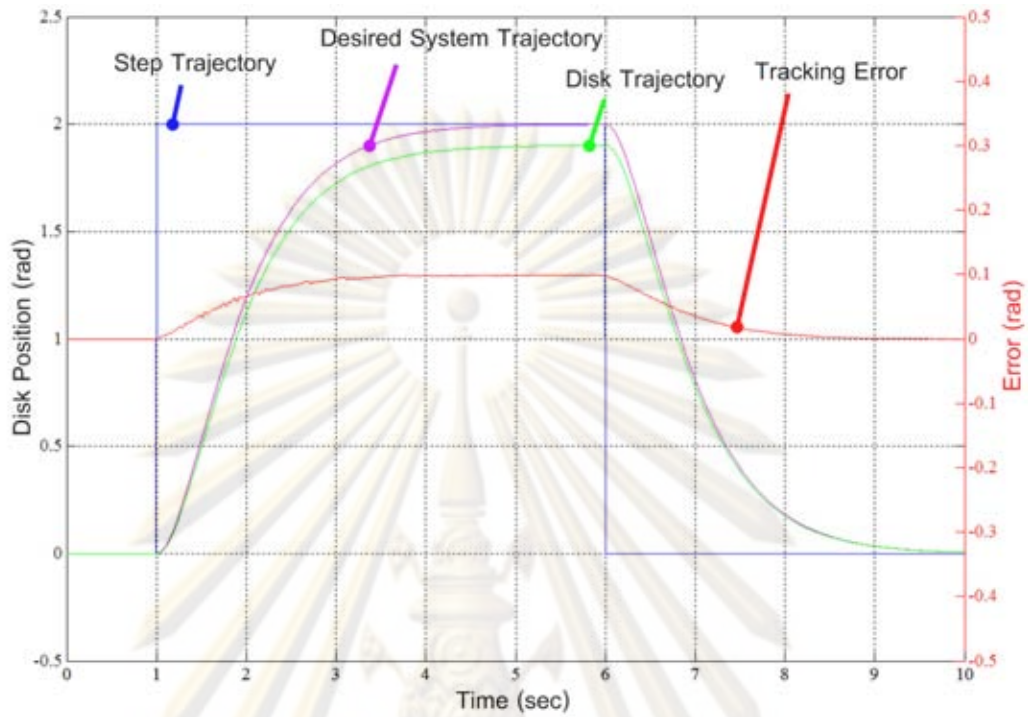
### 5.4.3 การทดลองควบคุมให้จานหมุนติดตามสัญญาณทางเดินอ้างอิงรูปคลื่นพัลส์

กำหนดให้สัญญาณทางเดินอ้างอิงเป็นคลื่นพัลส์รูปสี่เหลี่ยม แอมพลิจูด 2 เรเดียน มีคาบเวลา 10 วินาที ความกว้างพัลส์ 5 วินาที มีการหน่วงเฟส 1 วินาที และให้เอาต์พุตของระบบเริ่มต้นที่ 0 เรเดียน ทำการปรับสัญญาณอ้างอิงให้มีลักษณะเป็นสัญญาณต่อเนื่อง โดยให้สัญญาณอ้างอิงผ่านฟังก์ชันถ่ายโอนที่มีพลวัต คือ ค่าเวลาคงที่  $t_c = 0.5$  วินาที และอัตราส่วนการหน่วง  $\xi = 1$  พร้อมทั้งกำหนดค่าเริ่มต้นของตัวควบคุมเช่นเดียวกับในหัวข้อ 5.4.1

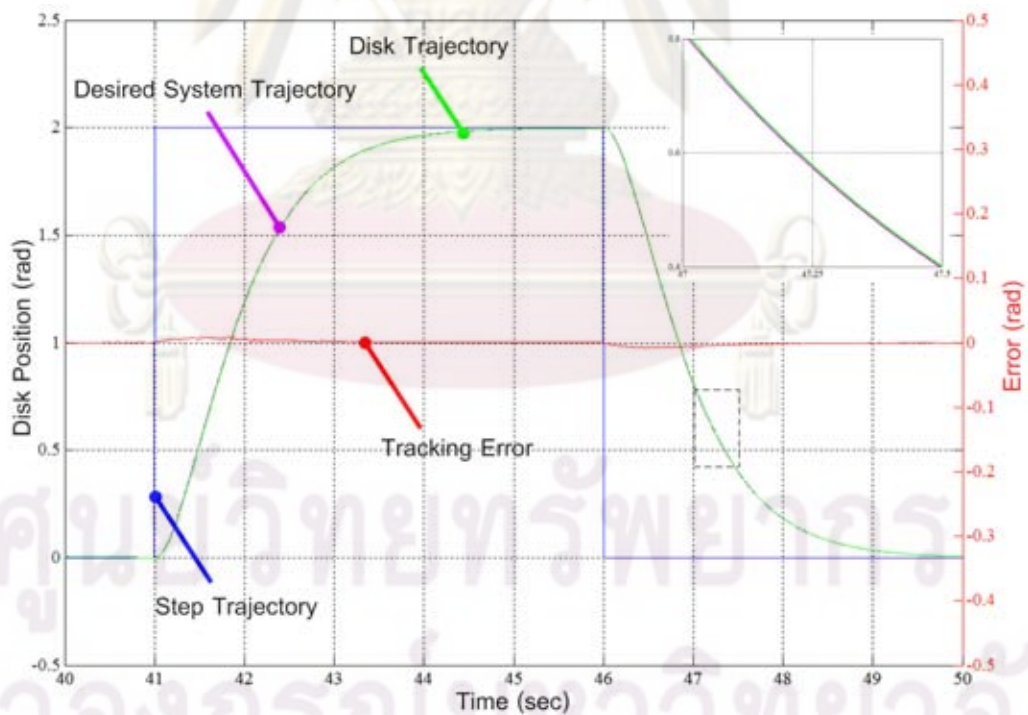
ผลลัพธ์การควบคุมในรูปที่ 5.17 และผลลัพธ์เมื่อชดเชยเวลาหน่วงรูปที่ 5.18 พร้อมทั้งการลู่เข้าของค่า  $\hat{F}$  ในรูปที่ 5.19 แสดงให้เห็นถึงความสามารถของตัวควบคุมชนิดปรับค่าเองได้เช่นเดียวกับการทดลองที่ผ่านมา นั่นคือ ตัวควบคุมสามารถปรับปรุงค่า  $\hat{F}$  ให้ลู่เข้าสู่ค่าจริงได้ ส่งผลให้เอาต์พุตของระบบลู่เข้าสู่ทางเดินอ้างอิงที่มีพลวัตเท่ากับที่ต้องการได้ โดยตัวควบคุมสามารถลดค่าความผิดพลาดของการติดตามทางเดินเมื่อชดเชยเวลาหน่วงจะลดลงได้ จนกระทั่งต่ำกว่าค่าที่กำหนดในรอบที่ 3 ของการปรับปรุงค่า ส่งผลให้เอาต์พุตของระบบมีการตอบสนองต่อสัญญาณทางเดินอ้างอิงรูปคลื่นพัลส์เช่นเดียวกับระบบที่มีพลวัตเท่ากับที่กำหนด



(ก) ผลลัพธ์ที่เวลา 0 ถึง 50 วินาที



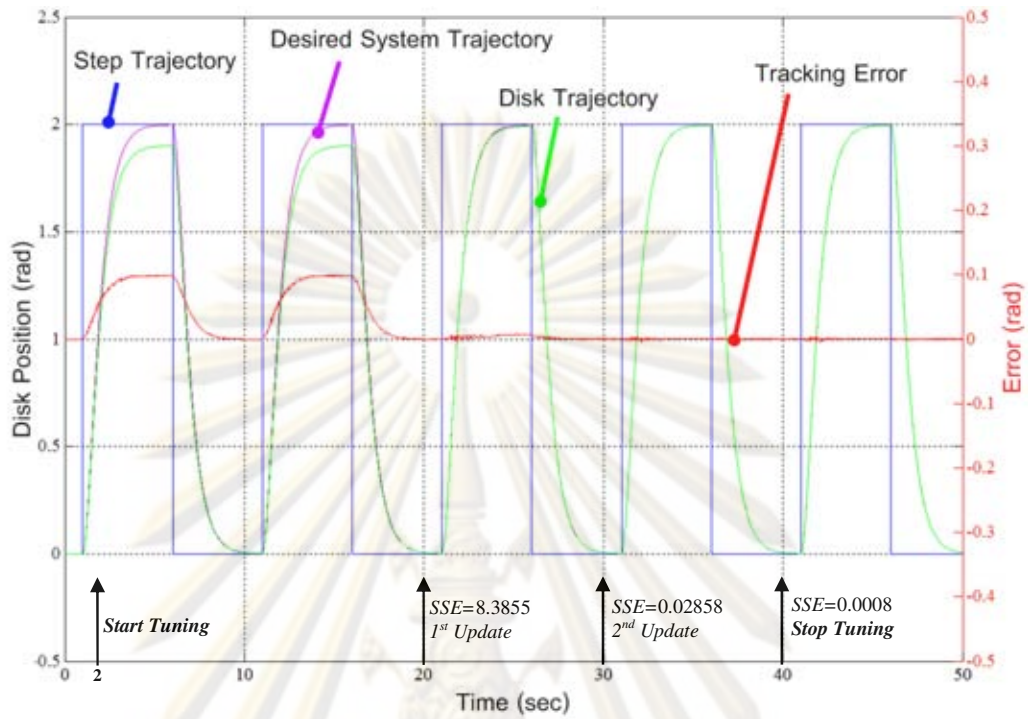
(ข) ผลลัพธ์ที่เวลา 0 ถึง 10 วินาที



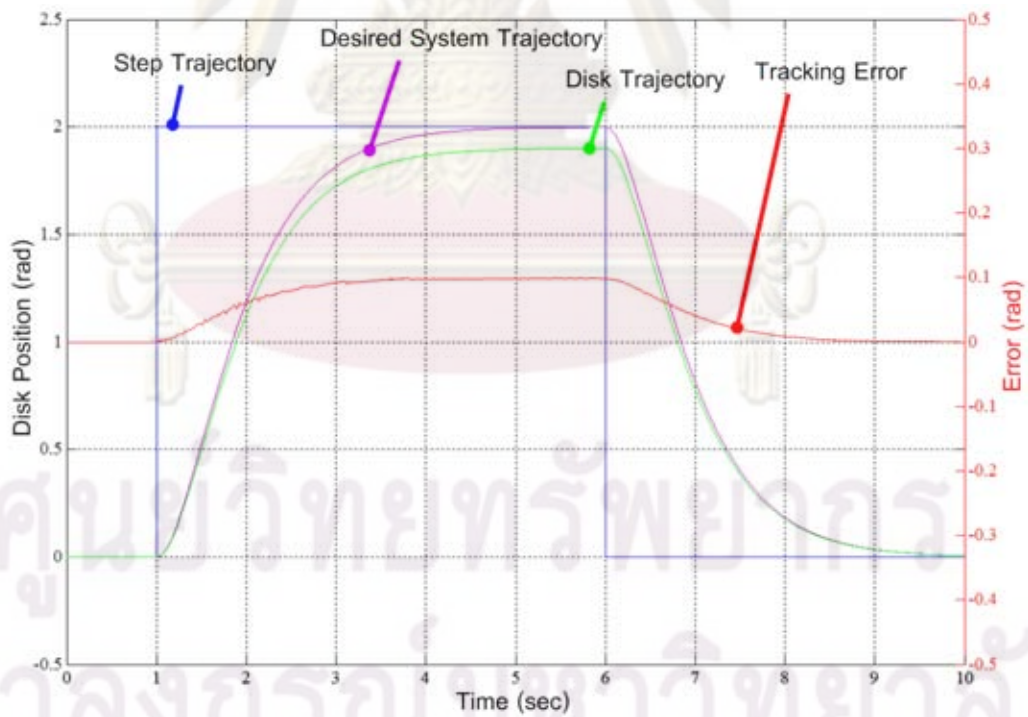
(ค) ผลลัพธ์ที่เวลา 40 ถึง 50 วินาที

รูปที่ 5.17 ผลการควบคุมให้ระบบจานหมุนติดตามทางเดินรูปคลื่นพัลส์ด้วยตัวควบคุมชนิดปรับ

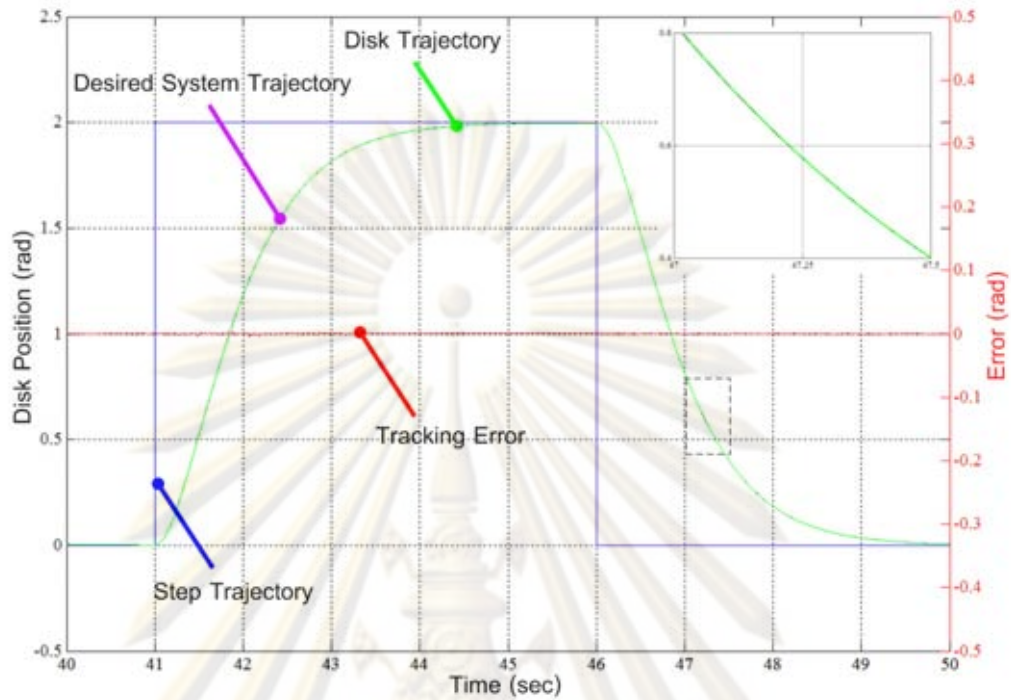
ค่าเองได้



(ก) ผลลัพธ์ที่เวลา 0 ถึง 50 วินาที

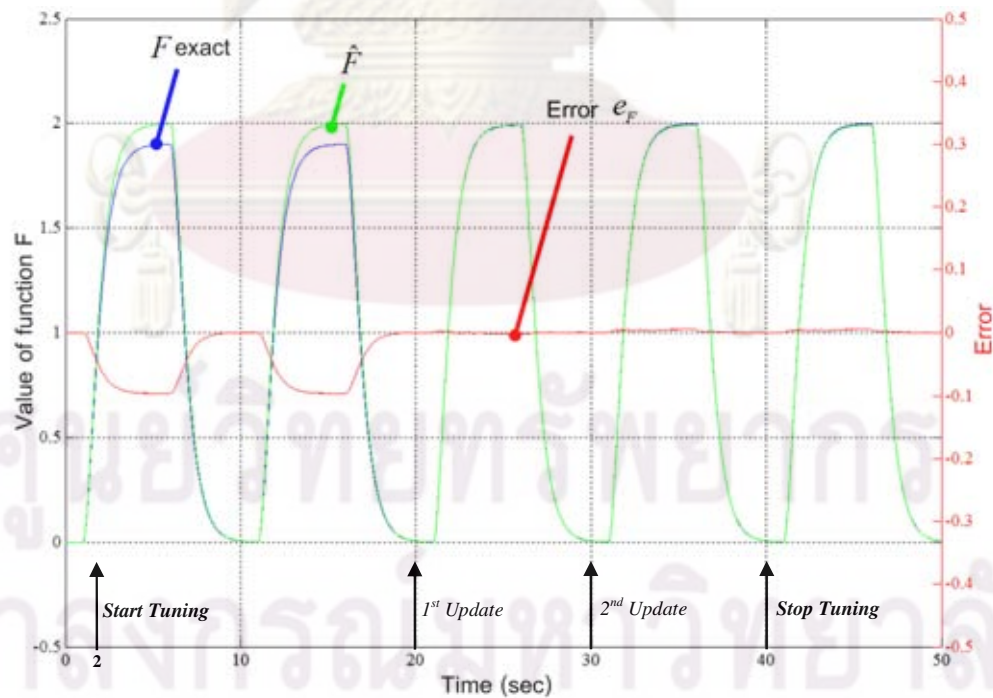


(ข) ผลลัพธ์ที่เวลา 0 ถึง 10 วินาที



(ค) ผลลัพธ์ที่เวลา 40 ถึง 50 วินาที

รูปที่ 5.18 ผลลัพธ์เมื่อชดเชยเวลาหน่วงของการควบคุมให้ระบบงานหมุนให้ติดตามทางเดินรูปคลื่นพัลส์ด้วยตัวควบคุมชนิดปรับค่าเองได้



รูปที่ 5.19 การลู่เข้าของฟังก์ชัน  $\hat{F}$  สู่ค่าจริง ในการจำลองควบคุมระบบงานหมุนให้ติดตามทางเดินอ้างอิงรูปคลื่นพัลส์

#### 5.4.4 สรุปผลการด้วยตัวควบคุมชนิดปรับค่าเองได้

ในกรณีที่ทราบเฉพาะสัมประสิทธิ์ของเทอม  $\theta$  ในแบบจำลองของระบบจานหมุนทางกล และสัญญาณทางเดินอ้างอิงเป็นฟังก์ชันเป็นคาบ ผลการทดลองในหัวข้อ 5.4.1 และ 5.4.2 แสดงให้เห็นว่าตัวควบคุมที่แปลงระบบควบคุมให้เป็นเชิงเส้นด้วยการป้อนกลับชนิดปรับค่าเองได้ที่น่าเสนอไปนั้นสามารถควบคุมให้เอาต์พุตของระบบติดตามทางเดินอ้างอิงแบบต่อเนื่องได้อย่างมีประสิทธิภาพ โดยการปรับปรุ่ค่า  $F$  ของแบบจำลองให้เข้าสู่ค่าจริงได้ จนกระทั่งความผิดพลาดของการติดตามทางเดินชดเชยเวลาหนึ่งต่ำกว่าค่าความผิดพลาดที่ยอมรับได้ คงเหลือไว้เพียงเวลาหนึ่งที่เกิดจากลักษณะเฉพาะของตัวควบคุม

เช่นเดียวกับผลการทดลองในหัวข้อ 5.4.3 ตัวควบคุมสามารถควบคุมให้เอาต์พุตของระบบเข้าสู่ทางเดินอ้างอิงแบบต่อเนื่องที่มีพลวัตเท่ากับที่กำหนดซึ่งสร้างขึ้นจากการให้สัญญาณอ้างอิงที่มีลักษณะเป็นขั้นบันไดผ่านฟังก์ชันถ่ายโอนที่มีพลวัตตามที่ต้องการ จนกระทั่งเอาต์พุตของระบบสามารถติดตามทางเดินอ้างอิงดังกล่าวได้เป็นอย่างดี แสดงให้เห็นว่าวิธีการนี้ทำให้ตัวควบคุมสามารถรับมือกับสัญญาณอ้างอิงแบบไม่ต่อเนื่องที่มีลักษณะเป็นขั้นบันไดได้ โดยระบบควบคุมจะมีการตอบสนองต่อสัญญาณอ้างอิงตามพลวัตที่กำหนด

## บทที่ 6

### สรุปการวิจัยและข้อเสนอแนะ

#### 6.1 สรุปผลการวิจัย

ตัวควบคุมติดตามทางเดินสำหรับระบบงานหมุนทางกลที่นำเสนอ เป็นตัวควบคุมที่ออกแบบในระบบเวลาไม่ต่อเนื่อง โดยใช้พื้นฐานของการแปลงระบบควบคุมให้เป็นเชิงเส้นด้วยการป้อนกลับ ทำให้สามารถชดเชยพลวัตของระบบได้ แบบจำลองของระบบปิดจะมีลักษณะเป็นสมการทางพีชคณิตที่มีความสัมพันธ์คือ เอาต์พุตของระบบที่เวลา  $k+1$  เท่ากับสัญญาณอ้างอิงที่เวลา  $k$  เป็นผลทำให้สามารถควบคุมเอาต์พุตได้อย่างแม่นยำและรวดเร็ว ซึ่งเอื้อต่อการนำไปใช้ในการควบคุมเส้นทางเดินของตำแหน่งของงานหมุน และมีข้อดีคือการสร้างสัญญาณควบคุมไม่จำเป็นต้องนำข้อมูลอนุพันธ์อันดับหนึ่งและอันดับสองของสัญญาณอ้างอิงมาใช้ในการคำนวณ

ในกรณีที่ทราบแบบจำลองของระบบงานหมุนทางกลเพียงบางส่วน หรือแบบจำลองของระบบมีพารามิเตอร์ที่ไม่ทราบค่า และสัญญาณทางเดินอ้างอิงเป็นฟังก์ชันเป็นคาบ ตัวควบคุมถูกออกแบบให้สามารถปรับค่าเองได้ ซึ่งใช้การหาเอกลักษณ์ของระบบปิดแบบออนไลน์ เพื่อนำข้อมูลมาปรับปรุงพารามิเตอร์ของตัวควบคุม โดยใช้แบบจำลองตารางค้นหาร่วมกับวิธีกำลังสองน้อยสุดแบบวนซ้ำ

เมื่อทราบแบบจำลองของระบบงานหมุนที่มีความแม่นยำ ผลการจำลองการควบคุมด้วยตัวควบคุมที่ใช้การแปลงระบบให้เป็นเชิงเส้นที่ออกแบบในระบบเวลาไม่ต่อเนื่อง สามารถจำลองควบคุมระบบงานหมุนทางกลให้มีเสถียรภาพ และควบคุมให้อเอาต์พุตของระบบติดตามสัญญาณทางเดินอ้างอิงแบบต่อเนื่องได้เป็นอย่างดีโดยมีเวลาหน่วงคงที่

ในกรณีเส้นทางเดินอ้างอิงเป็นแบบไม่ต่อเนื่องมีลักษณะเป็นขั้นบันได ระบบควบคุมในลักษณะนี้อาจไม่สามารถรับประกันสมรรถภาพในช่วงรอยต่อของสัญญาณขั้นบันไดได้ อาจทำให้อเอาต์พุตเกิดการสั่นก่อนเข้าสู่เส้นทางเดินที่ต้องการ ปัญหานี้สามารถแก้ไขได้โดยการปรับสัญญาณอ้างอิงให้มีลักษณะเป็นสัญญาณแบบต่อเนื่องที่มีพลวัตตามที่กำหนด โดยให้สัญญาณอ้างอิงผ่านฟังก์ชันถ่ายโอนที่มีพลวัตตามที่ต้องการก่อนเข้าสู่ระบบควบคุม ผลการจำลองควบคุมแสดงให้เห็นว่าวิธีการนี้ทำให้ระบบควบคุมมีการตอบสนองเช่นเดียวกับระบบที่มีพลวัตเท่ากับที่กำหนด



การจำลองการควบคุมด้วยตัวควบคุมชนิดปรับค่าเองได้ ผลการจำลองควบคุม แสดงให้เห็นว่าตัวควบคุมที่นำเสนอสามารถปรับปรุงค่าพารามิเตอร์ของแบบจำลองให้เข้าสู่ค่าจริงได้ ซึ่งจะส่งผลให้ค่าความผิดพลาดของการติดตามทางเดินลดลง และเอาต์พุตของระบบเข้าสู่ทางเดินอ้างอิงแบบต่อเนื่อง จนกระทั่งเอาต์พุตของระบบสามารถติดตามทางเดินอ้างอิงได้อย่างถูกต้องโดยเวลาหน่วงคงที่

ผลการทดลองควบคุมจริงกับระบบจานหมุนทางกล ให้ผลลัพธ์ที่สอดคล้องกับการจำลองการควบคุม ซึ่งแสดงถึงศักยภาพของตัวควบคุมในการควบคุมให้เอาต์พุตของระบบติดตามทางเดินแบบต่อเนื่องได้อย่างมีประสิทธิภาพโดยมีเวลาหน่วงคงที่ โดยเฉพาะการควบคุมในลักษณะ มาสเตอร์-สเลฟ ซึ่งสัญญาณอ้างอิงมีการสั่น ตัวควบคุมที่นำเสนอให้ผลการควบคุมที่ดีกว่าวิธีแปลงระบบให้เป็นเชิงเส้นด้วยการป้อนกลับโดยทั่วไปอย่างชัดเจน ทั้งนี้เป็นผลมาจากที่สัญญาณควบคุมไม่ได้ถูกคำนวณโดยใช้อินพุตอันดับหนึ่งและอันดับสองของสัญญาณอ้างอิง

เช่นเดียวกับผลการทดลองควบคุมกับระบบจริงด้วยตัวควบคุมชนิดปรับค่าเองได้ ผลลัพธ์จากการทดลอง แสดงให้เห็นว่าตัวควบคุมที่แปลงระบบควบคุมให้เป็นเชิงเส้นด้วยการป้อนกลับชนิดปรับค่าเองได้ที่นำเสนอไปนั้นสามารถปรับปรุงค่าพารามิเตอร์ของแบบจำลองให้เข้าสู่ค่าจริงได้ จนกระทั่งความผิดพลาดของการติดตามทางเดินชดเชยเวลาหน่วงต่ำกว่าค่าความผิดพลาดที่ยอมรับได้ คงเหลือไว้เพียงเวลาหน่วงที่เกิดจากลักษณะเฉพาะของตัวควบคุม ส่งผลให้เอาต์พุตของระบบติดตามสัญญาณทางเดินอ้างอิงแบบต่อเนื่องได้อย่างมีประสิทธิภาพ

รวมไปถึงผลการทดลองควบคุมเมื่อสัญญาณอ้างอิงเป็นสัญญาณแบบไม่ต่อเนื่องมีลักษณะเป็นขั้นบันได ซึ่งบ่งชี้ว่าวิธีการรับมือกับสัญญาณแบบไม่ต่อเนื่องที่ได้นำเสนอไปนั้นทำให้ตัวควบคุมสามารถรับมือกับสัญญาณอ้างอิงที่มีลักษณะเป็นขั้นบันไดได้อย่างน่าพอใจ โดยระบบควบคุมจะมีการตอบสนองต่อสัญญาณอ้างอิงตามพลวัตที่กำหนด

## 6.2 ข้อเสนอแนะ

ตัวควบคุมที่แปลงระบบควบคุมเป็นระบบเชิงเส้นด้วยการป้อนกลับชนิดปรับค่าเองได้สำหรับระบบจานหมุนทางกลที่นำเสนอในวิทยานิพนธ์นี้มีผลการควบคุมที่น่าพอใจ แต่ยังคงมีข้อจำกัดในการนำไปใช้งานกับระบบจานหมุนทางกลที่โมเมนต์ความเฉื่อยของจานหมุนมีค่าไม่คงที่ ดังนั้นยังจำเป็นต้องพัฒนาตัวควบคุมให้สามารถนำไปใช้ได้กับระบบจานหมุนทางกลที่หลากหลาย รวมไปถึงการพัฒนาต่อยอดเพื่อนำไปใช้ในการควบคุมแขนกล (Robot Arm) ให้

สามารถติดตามทางเดินได้อย่างมีประสิทธิภาพ โดยเฉพาะการควบคุมในลักษณะของมาสเตอร์/สเลฟ อีกทั้งการปรับปรุงตัวควบคุมยังคงต้องได้รับการพัฒนาให้มีศักยภาพมากขึ้น เพื่อให้สามารถปรับค่าให้เหมาะสมกับระบบงานหมุนทางกลที่ต้องการควบคุมในกรณีไม่ทราบแบบจำลองของระบบทั้งหมดได้



# ศูนย์วิจัยทรัพยากร จุฬาลงกรณ์มหาวิทยาลัย

## รายการอ้างอิง

- [1] Dorf, R. C., and Bishop, R. H. Modern Control System. New Jersey: Prentice-Hall, 2001.
- [2] Ziegler, J. G., and Nichols, N. B. Optimum Settings for Automatic Controller. ASME Transactions Journals 64, 8 (1942) : 759-768
- [3] Levine, W. S. The Control Handbook. New Jersey: CRC Press, 1996.
- [4] Wang, L., Barnes, T. J. D., and Cluett, W. R. New Frequency-domain Design Method for PID Controlllers. IEEE Proceedings Control Theory and Applications 142, 4 (July 1995) : 265-271
- [5] Astrom, K. J., and Hagglund, T. PID Controllers: Theory, Design, and Tuning. 1<sup>st</sup> edition. North Carolina: Instrument Society of America, 1995.
- [6] Callier, F. M., and Desoer, C. A. Linear System Theory. London: Springer-Verlag, 1991.
- [7] Friedland, B. Control System Design: An Introduction to State Space Methods. New York: Dover, 2004.
- [8] Rugh, W. J. Linear System Theory. 2<sup>st</sup> edition. New Jersey: Prentice Hall, 1995.
- [9] Zadeh, L. A., and Desoer, C. A. Linear System Theory: the State Space Approach. New Jersey: McGraw-Hill, 1963.
- [10] Frankin, G. A., Powell, J. D., and Emami-Naeini, A. Feedback Control of Dynamic Systems. Massachusetts: Addison-Wesley, 1991.
- [11] Brockett, R. W. Feedback Invariants for Nonlinear Systems. Proceedings of 7<sup>th</sup> IFAC World Congress. Helsinki. 1978
- [12] Hunt, L. R., Su, R., and Meyer, G. Global transformations of nonlinear system. IEEE Transactions on Automation Control 28, 1 (1983) : 24-31

- [13] Ogunnaike, B. K. Controller Design for nonlinear process systems via variable transformations. Industrial & Engineering Chemistry Process Design and Development 25 (1986) : 241-248
- [14] Xu, Z., Hauser, J., and Hunt, L. R. Higher Order Approximate Input-Output Linearization. IEEE Transactions on Automation Control (1992) : 1976-1981
- [15] Kravaris, C. Input/output linearization: A nonlinear analog of placing poles at process zeros. American Institute of Chemical Engineering Journals 34, 11 (1988) : 1803-1812
- [16] Henson, M. A., and Seborg, D. E. Input/output linearization of general nonlinear processes. American Institute of Chemical Engineering Journals 36, 11 (1990) : 1753-1757
- [17] Xu, Z., Hauser, J., and Hunt, L. R. Higher Order Approximate Input-Output Linearization. IEEE Transactions on Automation Control (1992) : 1976-1981
- [18] Slotine, J. E., and Li, W. Applied nonlinear control. New Jersey: Prentice-Hall, 1991.
- [19] Chanchareon, R., Pongsin, N., Reeseewat, P., and Jiamluksanapaisal, S. Controller design based on computed feedback linearization. Proceedings of IEEE International Conference on Robotics, Automation and Mechatronics. Bangkok, Thailand. June 2006
- [20] ศุภวัฒน์ เจียมลักษณะไพศาล, และ รัชทิน จันทร์เจริญ. การประมาณการแปลงระบบเป็นเชิงเส้นด้วยการป้อนกลับของระบบถึงนำสองถึง. ในบทความการประชุมวิชาการเครือข่ายวิศวกรรมเครื่องกลแห่งประเทศไทยครั้งที่ 20. มหาวิทยาลัยสุรนารี, นครราชสีมา. ตุลาคม 2549
- [21] Sastry, S., and Bodson, M. Adaptive Control: Stability, Convergence, and Robustness. New Jersey: Prentice-Hall, 1989.
- [22] Osburn, P. V., Whitaker, H. P., and Kezer, A. New Developments in the Design of Model Reference Adaptive Control Systems. Institute of the Aerospace Sciences 61-39 (1967)

- [23] Mareels, I. M. Y., Anderson, B. D. O., Bitmead, R. R., Bodson, M. and Sastry, S. Revisiting the MIT Rule for Adaptive Control. Proceedings of 2<sup>nd</sup> IFAC Workshop on Adaptive Systems in Control and Signal Processing. Lund, Sweden. 1986
- [24] James, D. J. Stability of a Model Reference Control System. AIAA Journal 9, 5 (1970)
- [25] Parks, P. C. Lyapunov Redesign of Model Reference Adaptive Control Systems. IEEE Transactions on Automatic Control AC-11, 3 (1966) : 362-367
- [26] Vos, E. W., and Valavain, L. Input/Output Linearization Using Model Reference Adaptive Control Techniques. Proceedings of 30<sup>th</sup> Conference on Decision and Control. Brighton, England. 1991
- [27] Astrom, K. J., and Wittenmark, B. Adaptive Control. 1<sup>st</sup> edition. Addison-Wesley, 1989.
- [28] Kalman, R. E. Design of Self-Optimizing Control Systems. ASME Transactions Journals 80 (1958) : 468-478
- [29] Astrom, K. J., and Wittenmark, B. On Self Tuning Regulators. Automatica 9 (1973) : 185-199
- [30] Hang, C. C., Cai, Y. S., and Lim, K. W. A Dual-Rate Self-Tuning Pole-Placement Controller. IEEE Transactions on Industrial Electronics 40, 1 (February 1993) : 106-129
- [31] ธเนศ ธีรศักดิ์านนท์. การควบคุมไม่เชิงเส้นแบบปรับตัวสำหรับแขนหุ่นยนต์ข้อต่อเดียวแบบอ่อนตัว. วิทยานิพนธ์ปริญญาโทมหาบัณฑิต ภาควิชาวิศวกรรมไฟฟ้า คณะวิศวกรรมศาสตร์ จุฬาลงกรณ์มหาวิทยาลัย, 2543.
- [32] Suzuki, M., Yamamoto, T., and Mitsukura, Y. A design of evolutionary tuning PID controllers. IFAC Adaptation and Learning in Control and Signal Processing (October 2001) : 219-224.
- [33] อนุชา ทิพย์วัลย์. การออกแบบตัวควบคุมพีไอดีชนิดปรับค่าเองได้โดยใช้เจเนติกอัลกอริทึมประยุกต์ในการบวนการปรับค่าพีไอซีให้เป็นกลาง. วิทยานิพนธ์ปริญญาโทมหาบัณฑิต ภาควิชาวิศวกรรมเคมี คณะวิศวกรรมศาสตร์ จุฬาลงกรณ์มหาวิทยาลัย, 2545.

- [34] Hoang, N. D., and Huyen, B. T. Application of self-tuning controller using pole assignment method in controlling electric oven. International Symposium on Electrical & Electronics Engineering. HCM City, Vietnam, October 2007
- [35] Yu, D. L., Chang, T. K., and Yu, D. W. A stable self-learning PID control for multivariable time varying systems. Control Engineering Practice 15 (2007) : 1577-1587.
- [36] Craig, J. J. Introduction to Robotics: Mechanics and Control. 3<sup>rd</sup> edition. New Jersey: Prentice-Hall, 2005.
- [37] Chanchareon, R., Sangveraphunsiri, V., and Chatranuwathanal, S. Tracking Control of an Inverted Pendulum Using Computed Feedback Linearization Technique. Proceedings of IEEE International Conference on Robotics, Automation and Mechatronics. Bangkok, Thailand. December 2006
- [38] Kulakowski, B. T., Gardner, J. F. and Shearer, J. L. Dynamic Modelling and Control of Engineering System. 3<sup>rd</sup> edition. New York: Cambridge University Press, 2007.
- [39] วิบูลย์ แสงวีระพันธุ์ศิริ. การควบคุมระบบพลศาสตร์. พิมพ์ครั้งที่ 2. กรุงเทพมหานคร: สำนักพิมพ์จุฬาลงกรณ์มหาวิทยาลัย, 2545.
- [40] Nelles, O. Nonlinear system identification: From classical approaches to neural network and fuzzy model. Berlin: Springer-Verlag, 2001.



ภาคผนวก

ศูนย์วิทยทรัพยากร  
จุฬาลงกรณ์มหาวิทยาลัย

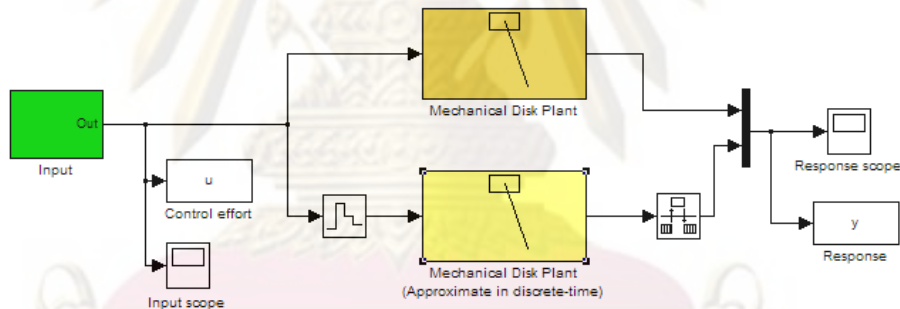
## ภาคผนวก ก

### โปรแกรมที่ใช้ในการจำลองและควบคุมระบบจานหมุน

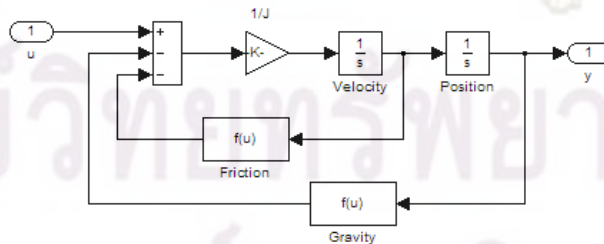
โปรแกรมที่ใช้ในการจำลองการควบคุมและโปรแกรมที่ใช้ในการควบคุมระบบจริง เขียนขึ้นโดยใช้บล็อกของซิมูลิงค์ในโปรแกรมแมทแล็บ/ซิมูลิงค์ (MatLab/Simulink) เวอร์ชัน 7.8.0 ดังต่อไปนี้

#### ก.1 โปรแกรมจำลองเอาต์พุตของแบบจำลอง

โปรแกรมจำลองเอาต์พุตของแบบจำลองระบบจานหมุนทางกล ใช้เปรียบเทียบเอาต์พุตที่ได้จากแบบจำลองพลวัตของระบบในรูปสมการดิฟเฟอเรนเชียล กับเอาต์พุตที่ได้จากแบบจำลองในรูปสมการดิฟเฟอเรนซ์ ซึ่งเป็นโปรแกรมที่ใช้ในตอนที 3.3.2 แสดงดังรูปที่ ก.1

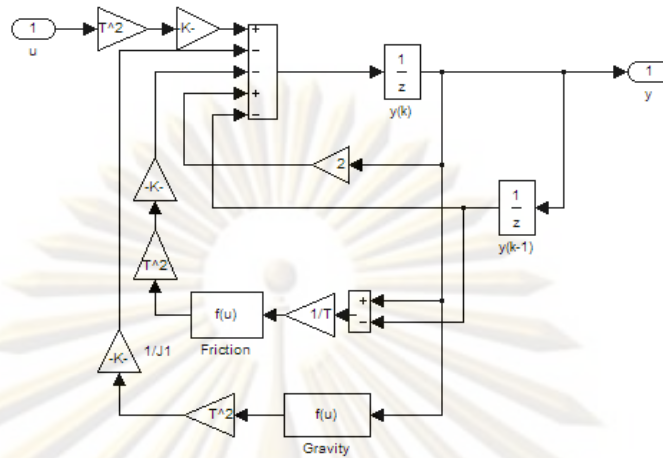


(ก) บล็อกไดอะแกรมของโปรแกรมโดยรวม



(ข) บล็อกไดอะแกรมของแบบจำลองในรูปสมการดิฟเฟอเรนเชียล

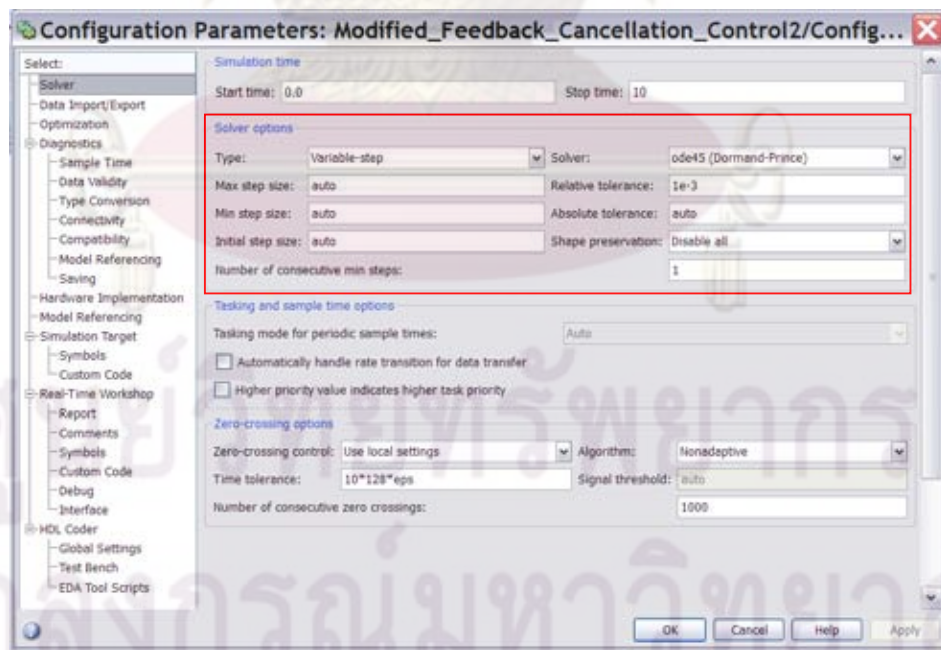




(ค) บล็อกไดอะแกรมของแบบจำลองในรูปสมการดิฟเฟอเรนซ์

รูปที่ ก.1 โปรแกรมจำลองเอาต์พุตของแบบจำลองระบบจานหมุนทางกล

ระเบียบวิธีเชิงตัวเลขที่ใช้แก้สมการดิฟเฟอเรนเชียลเชิงสามัญ (Ordinary Differential Equation) ในโปรแกรมจำลองคือ ระเบียบวิธี Dorman-Prince ซึ่งอยู่ในกลุ่มของระบบวิธีรุงเง-กุตตา (Runge-Kutta) โดยมีรายละเอียดดังรูปที่ ก.2



รูปที่ ก.2 หน้าต่างการกำหนดระเบียบวิธีเชิงตัวเลขที่ใช้ในโปรแกรมจำลองของโปรแกรมแม็ทแล็บ/

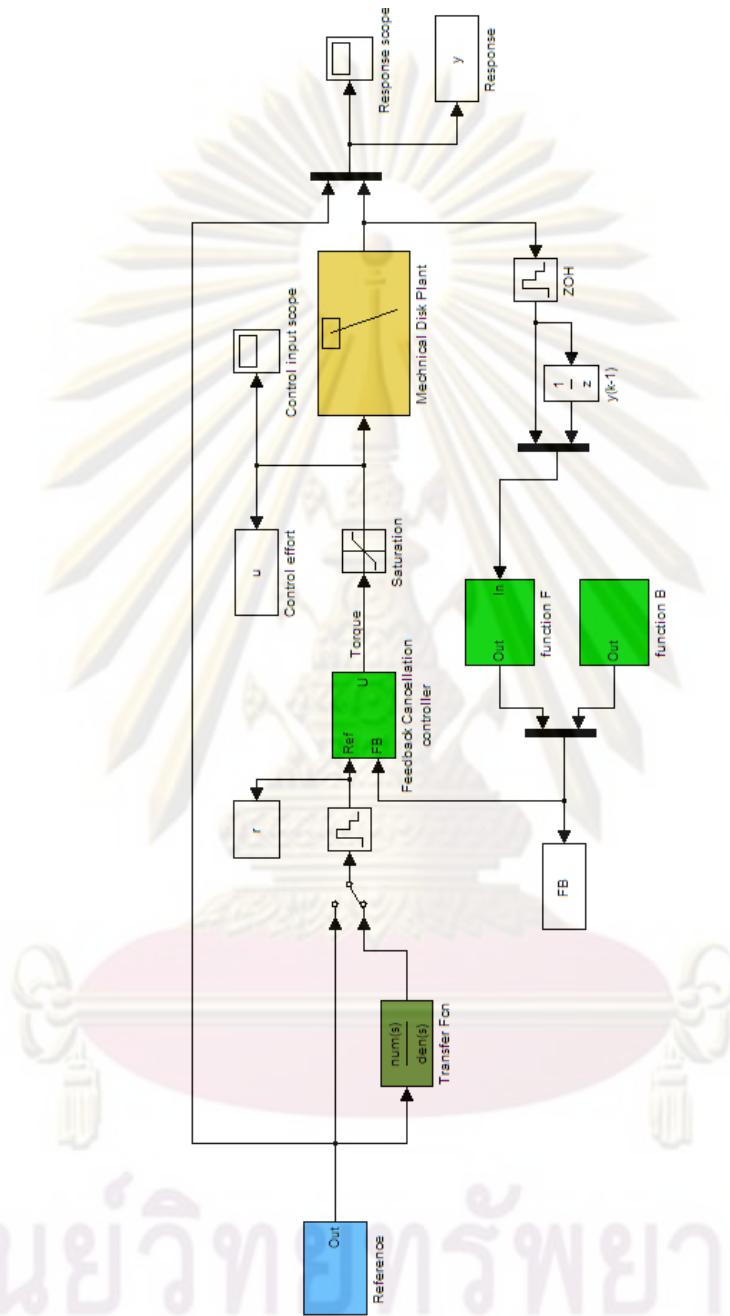
ซิมูลิงค์

## ก.2 โปรแกรมจำลองควบคุมระบบงานหมุนทางกล

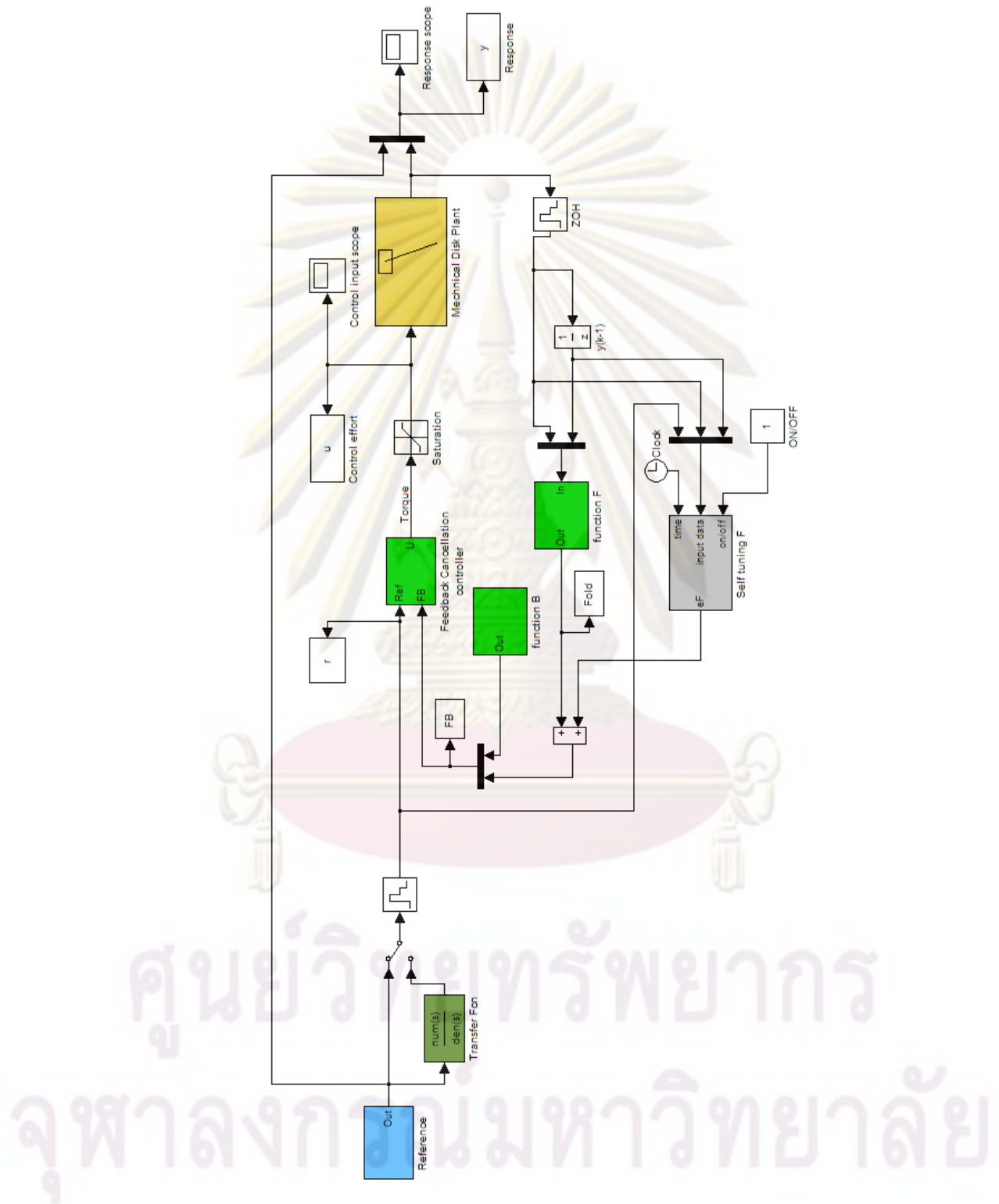
โปรแกรมจำลองควบคุมระบบงานหมุนทางกลที่ใช้ในตอนๆที่ 3.3.3 สามารถเลือกสัญญาณทางเดินอ้างอิงแบบต่างๆได้ รวมไปถึงการกำหนดพลวัตของฟังก์ชันถ่ายโอนที่ใช้ในการปรับสัญญาณแบบขั้นบันไดให้เป็นเส้นทางเดินแบบต่อเนื่องตามต้องการ ดังแสดงในรูปที่ ก.3 และโปรแกรมจำลองควบคุมระบบงานหมุนทางกลด้วยตัวควบคุมชนิดปรับค่าเองได้ที่ใช้ในตอนๆที่ 4.4 ได้มีการเพิ่มส่วนของการปรับปรุงตัวควบคุมดังแสดงรูปที่ ก.4



ศูนย์วิทยทรัพยากร  
จุฬาลงกรณ์มหาวิทยาลัย



รูปที่ ก.3 โปรแกรมจำลองควบคุมระบบจานหมุนทางกลด้วยวิธีแปลงระบบเป็นเชิงเส้นด้วยการป้อนกลับที่นำเสนองาน

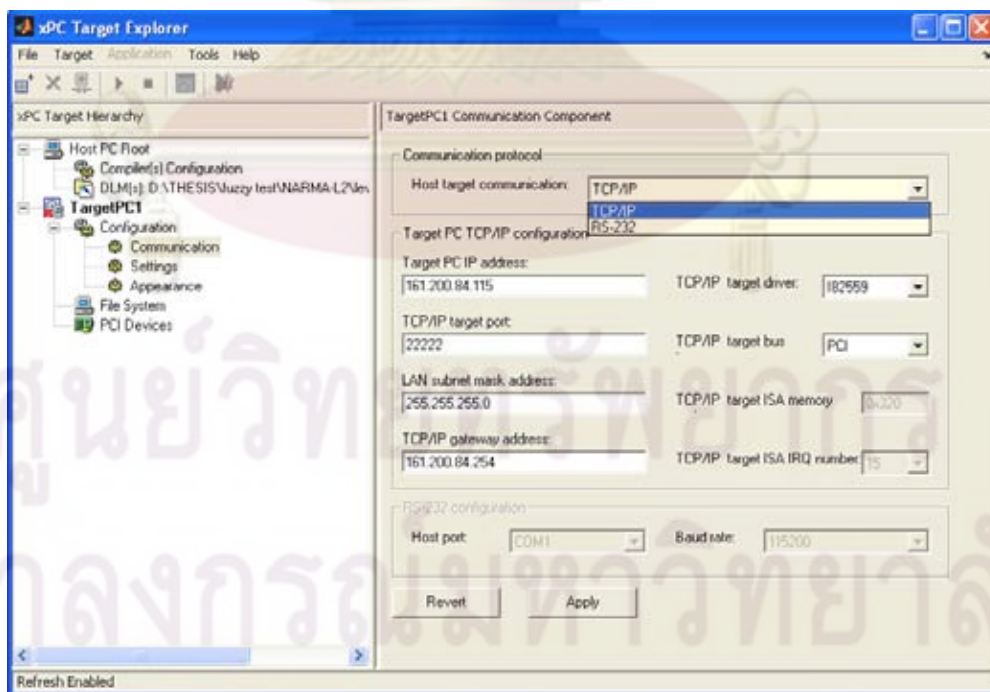


รูปที่ ก.4 โปรแกรมจำลองควบคุมระบบจานหมุนทางกลด้วยตัวควบคุมชนิดปรับค่าเองได้

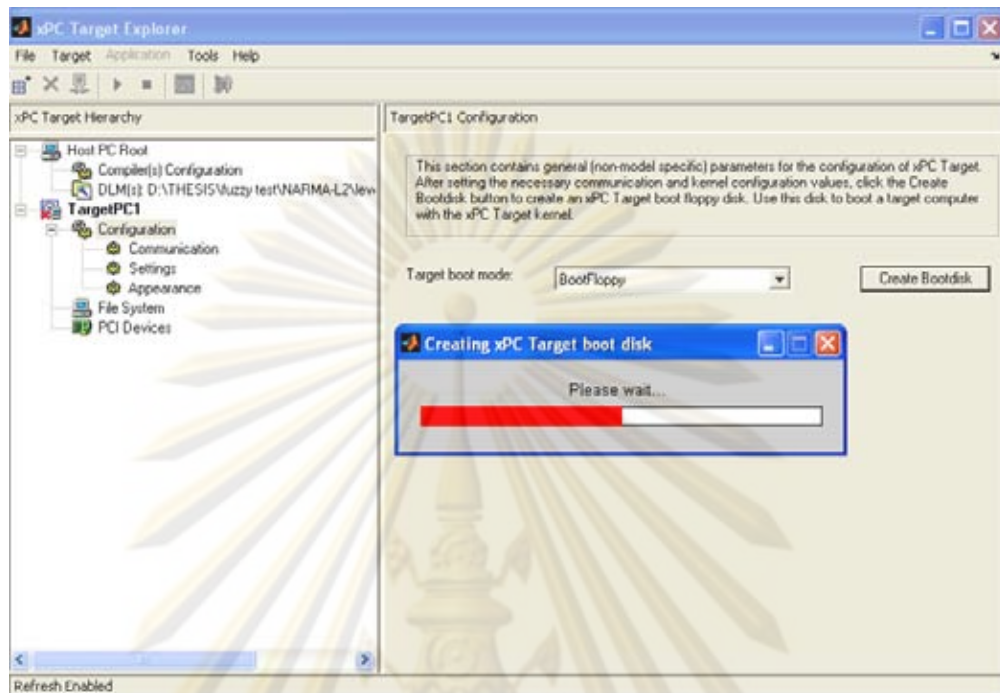
### ก.3 โปรแกรม xPC Target

xPC Target เป็นกล่องเครื่องมือ (Toolbox) ที่อยู่ในโปรแกรมแมทแล็บ มีความสามารถควบคุมระบบในเวลาจริง ในการใช้งาน xPC Target นั้นจะมี Target PC และ Host PC ที่สื่อสารระหว่างกันด้วยระบบ RS232 หรือ TCP/IP Protocol โดยโปรแกรมที่ใช้ควบคุมระบบงานหมุนทางกลถูกเขียนในเครื่อง Host PC จากนั้นจะทำการแปลงโปรแกรมด้วย Real-Time Workshop ให้โปรแกรมที่สร้างจาก แมทแล็บ/ซิมูลิงค์ อยู่ในรูปของภาษาซี แล้วจากนั้นจะใช้ C/C++ คอมไพเลอร์ แปลงภาษาซีให้เป็นโค้ดที่ Target PC สามารถเข้าใจได้ และได้จะถูกส่งจาก Host PC ไปยัง Target PC ด้วย xPC Target เพื่อใช้ในการควบคุมระบบงานหมุนทางกลในเวลาจริง นอกจากนั้น xPC Target ยังทำหน้าที่รับส่งข้อมูลระหว่าง Target PC กับ Host PC สามารถกำหนดพารามิเตอร์หรือค่าต่างๆ เพื่อควบคุมระบบผ่าน Host PC ในเวลาจริงได้ และเนื่องจาก Target PC ไม่ได้ทำงานภายใต้ระบบปฏิบัติการวินโดวส์ ทำให้สามารถกำหนดคาบเวลาสุ่มที่ใช้ในการควบคุมได้ต่ำถึงระดับไมโครวินาที

การใช้งาน xPC Target จะต้องกำหนดค่าพารามิเตอร์ในการสื่อสารระหว่าง Host PC กับ Target PC ตามรูปที่ ก.5 จากนั้นจึงสร้างบุตติสก์สำหรับ Target PC เพื่อใช้ในการบูทเครื่อง ตามรูป ก.6



รูปที่ ก.5 หน้าต่างกำหนดพารามิเตอร์การสื่อสารของ xPC Target

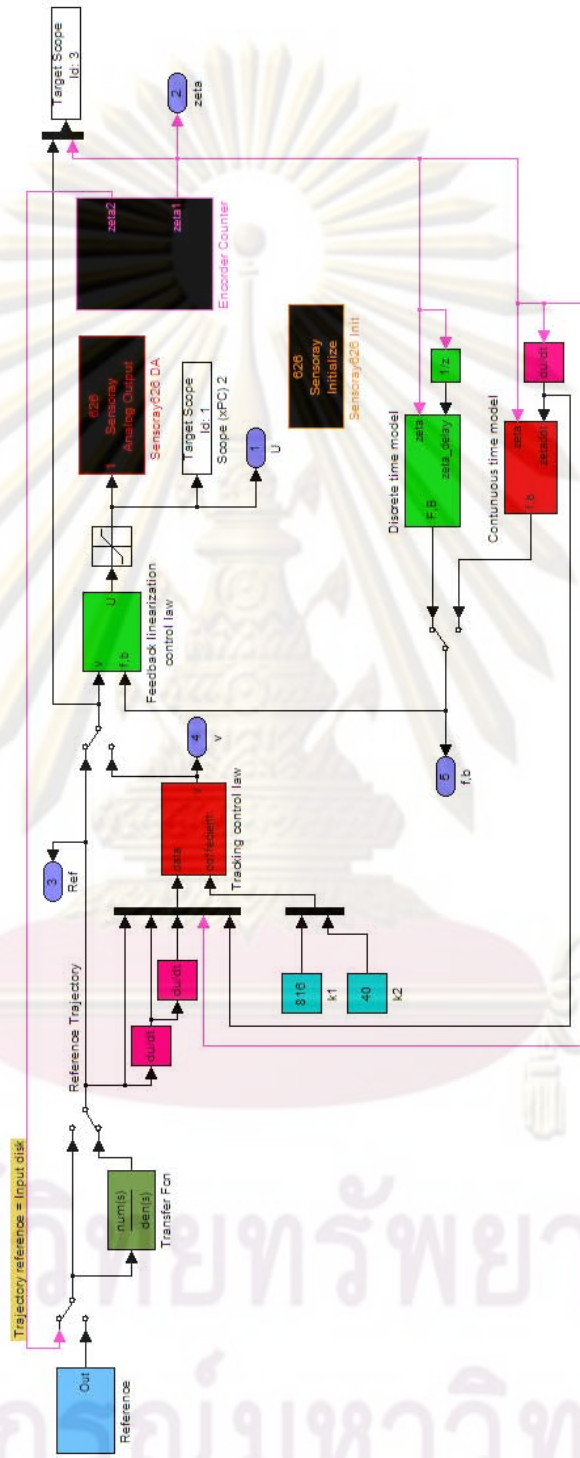


รูปที่ ก.6 หน้าต่างสร้างบูตดิสก์สำหรับ Target PC ของ xPC Target

#### ก.4 โปรแกรมควบคุมระบบงานหมุนทางกลในเวลาจริง

ในการควบคุมระบบงานหมุนในเวลาจริงจะใช้โปรแกรมที่เขียนขึ้นในเครื่อง Host PC ด้วยบล็อกของซิมูเลชันโปรแกรมแมทแล็บ/ซิมูเลชัน จากนั้นจึงทำการแปลงโปรแกรมที่เขียนไปยังเครื่อง Target PC ที่ใช้ในการควบคุมระบบงานหมุน

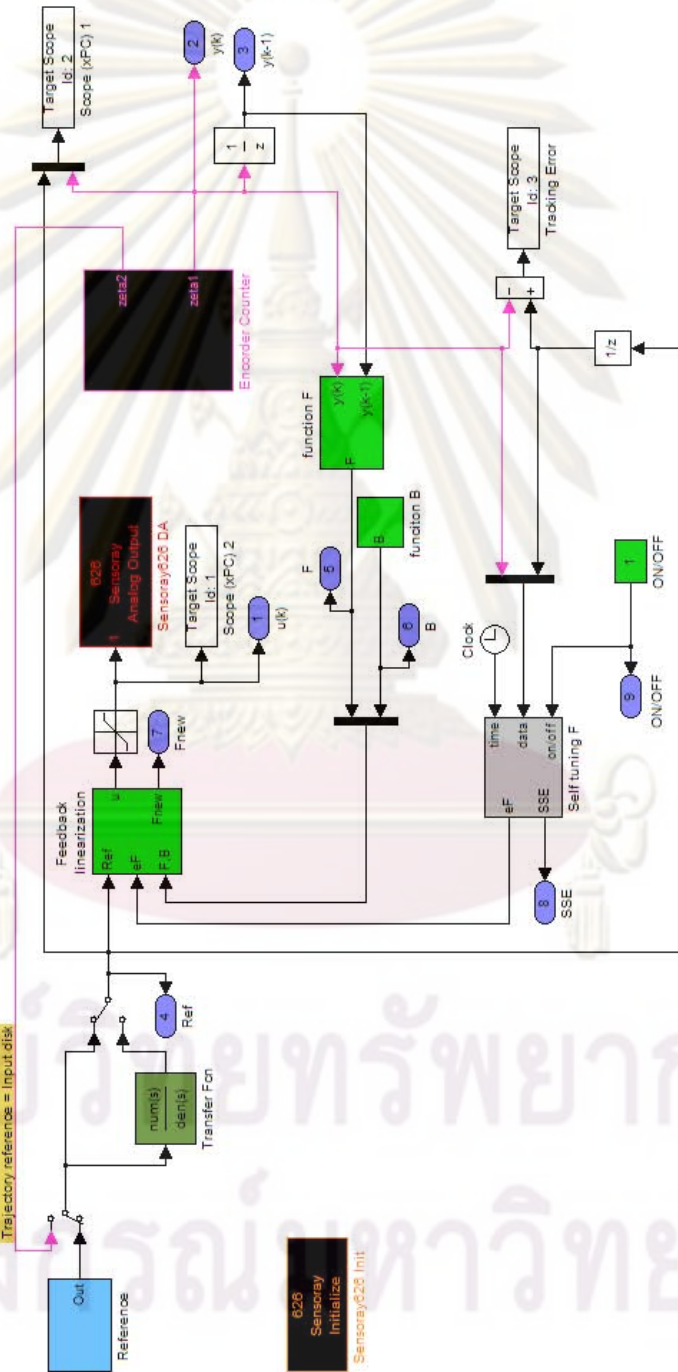
โปรแกรมควบคุมเส้นทางเดินของระบบงานหมุนทางกลที่ใช้ในตอนต้นที่ 5.3 สามารถเลือกวิธีการควบคุมได้ว่าจะจำลองการควบคุมโดยใช้ตัวควบคุมที่นำเสนอ หรือใช้วิธีการควบคุมที่แปลงระบบให้เป็นเชิงเส้นด้วยการป้อนกลับโดยทั่วไป และสามารถเลือกสัญญาณทางเดินอ้างอิงแบบต่างๆ ได้ รวมไปถึงการกำหนดพลวัตของฟังก์ชันถ่ายโอนที่ใช้ในการปรับสัญญาณแบบขั้นบันไดให้เป็นเส้นทางเดินแบบต่อเนื่องตามต้องการ สัญญาณควบคุมที่คำนวณได้ถูกส่งไปยังส่วน D/A ของแผงวงจร Sensoray model 626 เพื่อจ่ายสัญญาณแรงดันไปควบคุมมอเตอร์ และรับสัญญาณพัลส์จากเอนโค้ดเดอร์ของงานหมุนด้วยตัวนับสัญญาณเอนโค้ดเดอร์ของแผงวงจร Sensoray model 626 เช่นกัน ดังรูปที่ ก.7



รูปที่ ก.7 โปรแกรมควบคุมระบบจานหมุนทางกด้วยวิธีแปลงระบบเป็นเชิงเส้นด้วยการป้อนกลับที่  
นำเสนอ

ศูนย์วิจัยทรัพยากร  
จุฬาลงกรณ์มหาวิทยาลัย

โปรแกรมที่ใช้ในตอนี่ 5.4 ซึ่งเป็นโปรแกรมควบคุมเส้นทางเดินของระบบงาน  
 หมุนทางกลด้วยตัวควบคุมชนิดปรับค่าเองได้ มีลักษณะคล้ายคลึงกับโปรแกรมที่ใช้ในตอนี่ 5.3  
 แต่ได้มีการเพิ่มส่วนของการปรับปรุงตัวควบคุมเข้าไป และตัดวิธีการควบคุมที่แปลงระบบให้เป็น  
 เชิงเส้นด้วยการป้อนกลับโดยทั่วไปออก ดังรูปที่ ก.8



รูปที่ ก.8 โปรแกรมควบคุมระบบงานหมุนทางกลด้วยตัวควบคุมชนิดปรับค่าเองได้



## การควบคุมทางเดินของระบบไม่เชิงเส้นด้วยการป้อนกลับเพื่อหักล้างพลวัตของระบบ

### Tracking Control of a Nonlinear Systems using a Feedback Cancellation of Plant Dynamics

ธนะชัย วิชาวารศิลป์, รัชทิน จันทร์เจริญ\* และ ศุภาวุฒิ จันทรานุกวัฒน์

ภาควิชาวิศวกรรมเครื่องกล คณะวิศวกรรมศาสตร์ จุฬาลงกรณ์มหาวิทยาลัย ปทุมวัน กรุงเทพฯ 10330

\*ติดต่อ: Ratchatin.C@eng.chula.ac.th, (662) 2186643, (662) 2522889

#### บทคัดย่อ

บทความนี้นำเสนอวิธีการควบคุมระบบไม่เชิงเส้นที่สามารถเขียนอยู่ในรูป companion form ได้ โดยใช้การหักล้างพลวัตของระบบ วิธีการนี้เริ่มจากการหาแบบจำลองไม่เชิงเส้นของระบบโดยใช้คู่สัญญาณอินพุตเอาต์พุตจากข้อมูลการเคลื่อนที่จริง จากนั้นสร้างสัญญาณควบคุมโดยคำนวณบนพื้นฐานของเอาต์พุตของระบบที่เวลาปัจจุบันและอดีตเพื่อกำจัดพลวัตของระบบ ทำให้แบบจำลองของระบบปิดมีลักษณะเป็นสมการทางพีชคณิตที่มีความสัมพันธ์คือ เอาต์พุตในอนาคตเท่ากับอินพุตที่เวลาปัจจุบันโดยมีเวลาหน่วงคงที่ เป็นผลทำให้เราสามารถควบคุมเอาต์พุตได้อย่างแม่นยำและรวดเร็ว เอื้อต่อการนำไปใช้ในการควบคุมเส้นทางเดินของอินพุต บทความนี้ได้ทดลองควบคุมระบบจานหมุน ซึ่งผลการทดลองแสดงว่าการควบคุมเส้นทางเดินแบบต่อเนื่องนั้นสามารถทำได้อย่างสมบูรณ์ ในกรณีเส้นทางเดินอ้างอิงเป็นแบบไม่ต่อเนื่องมีลักษณะเป็นขั้นบันได ระบบควบคุมในลักษณะนี้อาจไม่สามารถรับประกันสมรรถภาพในช่วงรอยต่อของสัญญาณขั้นบันไดได้ อาจทำให้เอาต์พุตเกิดการสั่นก่อนที่จะเข้าสู่สัญญาณเส้นทางเดินที่ต้องการ ปัญหาที่สามารถแก้ไขได้โดยการปรับสัญญาณอ้างอิงให้มีลักษณะเป็นสัญญาณต่อเนื่องที่มีพลวัตตามที่กำหนด โดยให้สัญญาณอ้างอิงผ่านสมการฟังก์ชันถ่ายโอนที่มีพลวัตตามที่ต้องการก่อนเข้าสู่ระบบควบคุม วิธีการนี้เป็นผลทำให้ระบบควบคุมแบบปิดกลับมามีพลวัตเท่ากับที่กำหนด จากผลการควบคุมระบบจานหมุนพบว่าวิธีการดังกล่าวสามารถรับมือกับสัญญาณอ้างอิงที่มีลักษณะเป็นขั้นบันไดได้อย่างมีประสิทธิภาพ

**คำหลัก:** ควบคุมระบบไม่เชิงเส้น, การหักล้างพลวัตของระบบ, การควบคุมทางเดิน, การป้อนกลับสเตด

#### Abstract

This paper proposes a technique to control nonlinear system that can be written in companion form by cancellation of its dynamics. First, the model of a nonlinear system is determined from

the input-output data pairs. Then, the control effort is computed based on the current output and its past values in order to suppress the dynamics of the system, and thus, the resulting closed loop system behavior is in algebraic form. The resulting behavior is that the output in the future equals the current input with a constant delay. In this way, the output is accurately and rapidly controlled and the control of the output trajectory is easy. The experimentation on the disk plant demonstrates that the technique is able to control the plant to perfectly track a desired smooth trajectory. In case that the trajectory contains a step or discontinuity, the technique cannot guarantee the stability during the discontinuity and the output may fluctuate before it converts to the trajectory. To solve this problem, the reference discontinuous trajectory should be modified such that it becomes smooth trajectory with specified dynamics. The transfer function that contains a desired dynamics is inserted and used to modify the reference. The modified technique gives a desired dynamics to the closed loop system. The experimentation demonstrates that the modified technique can effectively control the system to follow a step trajectory.

**Keywords:** Nonlinear System Control, Plant Dynamics Cancellation, Tracking Control, State Feedback

## 1. บทนำ

การออกแบบตัวควบคุมที่ทำให้เอาต์พุตของระบบไม่เชิงเส้นติดตามทางเดินเป็นงานที่ทำยากเนื่องจากเอาต์พุตและสัญญาณควบคุมมีความสัมพันธ์แบบไม่เชิงเส้น ส่งผลให้ตัวควบคุมที่ออกแบบบนพื้นฐานของการประมาณระบบให้เป็นเชิงเส้นรอบจุดสมดุลหรือจุดทำงานนั้นให้ผลการควบคุมไม่เป็นที่น่าพอใจสำหรับระบบซึ่งทำงานบนพื้นที่ทำงานที่กว้าง วัตถุประสงค์หลักของบทความนี้คือการออกแบบตัวควบคุมทางเดินที่ความแม่นยำและนำไปใช้ได้จริงกับระบบไม่เชิงเส้นในการติดตามสัญญาณอ้างอิงที่มีการเปลี่ยนแปลง เมื่อหลายปีที่ผ่านมามีปัญหาที่ได้รับการสนใจเพิ่มมากขึ้นในภาคอุตสาหกรรม ชุดส่งกำลังทางกลถูกแทนที่ด้วยเทคโนโลยีทางอิเล็กทรอนิกส์ที่เรียกว่า "By-wire" [1] ยกตัวอย่างเช่น คันเร่งของยานยนต์รุ่นใหม่ซึ่งใช้เทคโนโลยีนี้ โดยตำแหน่งของคันเร่งจะถูกตรวจจับโดยเซ็นเซอร์และส่งผ่านทางสายสัญญาณเพื่อนำมาใช้ในการเปิดลิ้นปีกผีเสื้อ เช่นเดียวกับกับเทคโนโลยี "Steer by wire" ที่ถูกนำมาใช้กับยานยนต์รุ่นใหม่ในขณะนี้ นอกจากนี้ยังมีงานด้านอื่นที่ต้องการตัวควบคุมทางเดินที่มีความแม่นยำอีกเช่น อุปกรณ์มาสเตอร์/สเลฟ [2,3] หุ่นยนต์

ที่ขับเคลื่อนด้วยความเร็วสูง [4] และ เครื่องจักรซีเอ็นซีความเร็วสูง [5]

ในความเป็นจริงแล้วระบบทางกลล้วนแล้วแต่เป็นระบบไม่เชิงเส้น ระบบโดยทั่วไปจะประกอบด้วยแรงเสียดทานซึ่งจะมีความไม่เป็นเชิงเส้นสูงเมื่อมีแรงเสียดทานแห้ง (dry friction) รวมอยู่ด้วย ความไม่เป็นเชิงเส้นเนื่องจากแรงโน้มถ่วง และการเปลี่ยนแปลงของความเฉื่อยหรือภาวะ ทำให้ตัวควบคุมพีไอดีให้ผลการควบคุมไม่เป็นที่น่าพอใจ โดยเฉพาะการควบคุมทางเดิน ตัวควบคุมนี้ไม่สามารถควบคุมทำให้ค่าความผิดพลาดของการติดตามทางเดิน (tracking error) ลู่เข้าสู่ศูนย์ได้ (asymptotically decrease)

วิธีการที่ถูกนำมาใช้ในการออกแบบตัวควบคุมทางเดินอย่างได้ผลคือวิธีการที่เรียกว่า "computed torque" [6] วิธีการนี้สัญญาณควบคุมจะประกอบด้วยสองส่วนคือ ส่วนป้อนกลับเพื่อแปลงระบบให้เป็นเชิงเส้น (feedback linearization part) และส่วนขับเคลื่อนระบบ (servo part) สำหรับส่วนป้อนกลับเพื่อแปลงระบบให้เป็นเชิงเส้นจะคำนวณสัญญาณควบคุมบนพื้นฐานของการป้อนกลับสเตตเพื่อทำให้ระบบปิดเป็นเชิงเส้น จากนั้นสัญญาณควบคุมของส่วนขับเคลื่อนระบบจะถูกคำนวณจาก

ระบบปิดเชิงเส้นเพื่อควบคุมให้ค่าความผิดพลาดของการติดตามทางเดินเข้าสู่ศูนย์ โดยทั้งสองส่วนจะทำงานพร้อมกันในรูปแบบของตัวควบคุมทางเดินซึ่งให้ผลการควบคุมทางเดินที่สมบูรณ์

ในกรณีที่เรารวบพลวัตของระบบเชิงเส้นที่มีความแม่นยำ จะสามารถนำสัญญาณอ้างอิง อนุพันธ์อันดับหนึ่งและอันดับสองของสัญญาณอ้างอิงมาใช้คำนวณหาสัญญาณควบคุมโดยใช้วิธีการ inverse dynamic ของระบบเชิงเส้น วิธีการนี้สัญญาณทางเดินอ้างอิงเป็นสัญญาณแบบเดี่ยว (single signal) ซึ่งเมื่อนำไปใช้ควบคุมพลวัตของระบบเชิงเส้นจะให้ผลลัพธ์ของทางเดินที่สมบูรณ์ และเนื่องจากระบบปิดเป็นเชิงเส้น การพิสูจน์เสถียรภาพของระบบสามารถทำได้โดยใช้ทฤษฎีของระบบเชิงเส้น [7]

ความยุ่งยากในการใช้วิธีการ computed torque คือต้องทราบแบบจำลองพลวัตของระบบปิดที่มีความแม่นยำ อีกทั้งยังต้องใช้อนุพันธ์อันดับหนึ่งและอันดับสองของตำแหน่งอ้างอิงและตำแหน่งจริงในการคำนวณสัญญาณควบคุม ในกรณีที่อุปกรณ์อินพุต (input device) เป็นเครื่องกำเนิดสัญญาณตำแหน่งอ้างอิง อนุพันธ์อันดับหนึ่งและอนุพันธ์อันดับสองของตำแหน่งอ้างอิงจะต้องถูกคำนวณในเวลาจริง (real time) ซึ่งจำเป็นต้องใช้ความสามารถในการคำนวณของฮาร์ดแวร์ที่สูงจึงเป็นการเพิ่มต้นทุน นอกจากนี้ในการคำนวณสัญญาณควบคุมต้องใช้ทั้งการป้อนกลับสดเพื่อกำจัดความไม่เป็นเชิงเส้นของระบบ และใช้การคำนวณบนพื้นฐานของวิธีการ inverse dynamic ของระบบเชิงเส้น เพื่อนำไปใช้ในการควบคุมพลวัตของระบบให้สามารถติดตามทางเดินแบบต่อเนื่องได้อย่างสมบูรณ์ อีกปัญหาหนึ่งสำหรับวิธีการนี้ก็คือแบบจำลองของระบบไม่เชิงเส้นต้องมีความแม่นยำเพียงพอซึ่งการหาแบบจำลองที่มีความแม่นยำนั้นจำเป็นต้องใช้วิธีการที่มีความยุ่งยาก

วิธีจัดการกับปัญหาเหล่านี้คือ สัญญาณควบคุมต้องไม่เพียงแต่กำจัดความไม่เป็นเชิงเส้นของระบบ แต่ต้องถูกออกแบบให้กำจัดพลวัตของระบบ ทำ

ให้ระบบปิดอยู่ในรูปสมการทางพีชคณิตของความสัมพันธ์ระหว่างสัญญาณอินพุตและเอาต์พุต สัญญาณตำแหน่งอ้างอิงจึงสามารถนำมาใช้อ้างอิงได้โดยตรง โดยที่ระบบยังคงสามารถติดตามทางเดินได้อย่างสมบูรณ์

ในบทความนี้จะนำเสนอวิธีการควบคุมที่ใช้การหักล้างพลวัตของระบบสำหรับระบบไม่เชิงเส้นที่สามารถเขียนอยู่ในรูป companion form ได้ วิธีการดังกล่าวถูกออกแบบบนระบบเวลาไม่ต่อเนื่องบนพื้นฐานของการแปลงระบบควบคุมให้ระบบควบคุมเป็นระบบเชิงเส้นด้วยการป้อนกลับ (feedback linearization) โดยใช้แบบจำลองไม่เชิงเส้นของระบบที่หาได้จากคู่สัญญาณอินพุตเอาต์พุตของข้อมูลการเคลื่อนที่จริง และเพื่อแสดงถึงศักยภาพของวิธีการควบคุม จึงได้ออกแบบตัวควบคุมสำหรับควบคุมทางเดินของระบบงานหมุนทางกลที่มีความไม่เป็นเชิงเส้น และทำการทดลองควบคุมทางเดินในเวลาจริงเพื่อแสดงให้เห็นว่าวิธีการดังกล่าวสามารถนำมาใช้งานได้จริง ซึ่งจะเป็นรากฐานที่สำคัญในการออกแบบตัวควบคุมเอนกประสงค์สำหรับระบบไม่เชิงเส้นต่อไป

## 2. การป้อนกลับเพื่อหักล้างพลวัตของระบบ

ระบบที่สนใจคือระบบไม่เชิงเส้นแบบอินพุตเดี่ยวเอาต์พุตเดี่ยวที่สามารถเขียนอยู่ในรูป companion form ได้

$$y^{(n)} = a(y) + b(y)u \quad (1)$$

โดยที่  $a$  และ  $b$  เป็นฟังก์ชันของสเตต  $y = [y, \dot{y}, \dots, y^{(n-1)}]^T$  และ  $b$  ไม่เข้าใกล้ศูนย์,  $y$  เป็นเอาต์พุต และ  $u$  เป็นอินพุต ระบบมีเสถียรภาพแบบ BIBO (bounded input bounded output) และระบบ (1) มี relative degree  $= n$  ไม่มี internal dynamics และมีความสามารถในการควบคุมได้ [7]

ระบบ (1) สามารถเขียนในรูปแบบเวลาไม่ต่อเนื่องโดยอาศัยค่าจำกัดความตามสมการออยเลอร์ (Euler Equation) หรือวิธี finite difference method

[13,14] จะได้สมการดิฟเฟอเรนซ์ (difference equation) ดังนี้

$$y_{k+1} = f_0(\mathbf{y}_k) + g_0(\mathbf{y}_k)u_{k-d+1} \quad (2)$$

โดยที่  $y_k$  เป็นเอาต์พุตที่เวลา  $k$ ,  $d$  เป็น relative degree,  $\mathbf{y}_k = [y_{k-n+1}, \dots, y_k]^T$  จากระบบ (2) จะพบว่า เราไม่สามารถหากล้างพลวัตของระบบได้โดยการให้กฎการควบคุมคือ

$$u_{k-d+1} = \frac{r_k - f_0(\mathbf{y}_k)}{g_0(\mathbf{y}_k)} \quad (3)$$

โดยที่  $r_k$  เป็นสัญญาณอ้างอิง เนื่องจากในกรณีที่  $d > 1$  สัญญาณอินพุตที่เวลาปัจจุบันขึ้นกับสัญญาณเอาต์พุตในอนาคต ซึ่งประเด็นนี้เป็นที่ทราบกันดีสำหรับระบบเชิงเส้นในรูปแบบเวลาไม่ต่อเนื่อง (linear discrete-time system) [8,9] โดยเป้าหมายของส่วนนี้คือการแก้ปัญหาดังกล่าวสำหรับระบบไม่เชิงเส้น (2)

ในการแก้ปัญหาดังกล่าวจะพิจารณาระบบ (2) ในรูปปริภูมิสแตต (state space) โดยการเลือกเอาต์พุตในปัจจุบันและอดีตเป็นตัวแปรสแตต นั่นคือ

$$x_i(k) = y(k-n+i) \text{ สำหรับ } i = 1, 2, \dots, n \quad (4)$$

กำหนดให้  $\mathbf{x}(k) = [x_1(k), \dots, x_n(k)]^T$  เป็นเวกเตอร์สแตต และ  $y(k)$  เป็นเอาต์พุตที่สนใจ จะได้สมการที่อยู่ในรูปปริภูมิสแตตคือ

$$\begin{aligned} x_1(k+1) &= x_2(k) \\ x_2(k+1) &= x_3(k) \\ &\vdots \end{aligned} \quad (5)$$

$$x_n(k+1) = f_0(\mathbf{x}(k)) + g_0(\mathbf{x}(k))u_{k-d+1}$$

$$y(k) = x_n(k)$$

ในการแก้ปัญหาดังกล่าวเราจำเป็นต้องหากล้างพลวัตของระบบโดยการป้อนกลับที่สมเหตุสมผล [12] นั่นคือแทนค่าเอาต์พุตในอนาคตด้วยเทอมที่ประกอบด้วย  $\mathbf{x}(k)$  หรือให้  $x_n(k+1) = y(k+1)$  ดังนี้

$$\begin{aligned} x_n(k+2) &= f_0(\mathbf{x}(k+1)) \\ &\quad + g_0(\mathbf{x}(k+1))u_{k-d+2} \end{aligned} \quad (6)$$

แทน  $\mathbf{x}(k+1)$  ในสมการที่ (6) ด้วยเทอมด้านขวามือของสมการที่ (5) จะได้

$$\begin{aligned} x_n(k+2) &= f_1(\mathbf{x}(k), u_{k-d+1}) \\ &\quad + g_1(\mathbf{x}(k), u_{k-d+1})u_{k-d+2} \end{aligned} \quad (7)$$

ใช้วิธีการเดียวกันนี้วนซ้ำเรื่อยๆ โดยกำหนดให้

$$\begin{aligned} \mathbf{u}_{k-d+i} &= [u_{k-d+1}, u_{k-d+2}, \dots, u_{k-d+i}]^T \text{ จะได้} \\ x_n(k+3) &= f_2(\mathbf{x}(k), \mathbf{u}_{k-d+2}) \\ &\quad + g_2(\mathbf{x}(k), \mathbf{u}_{k-d+2})u_{k-d+3} \\ &\vdots \end{aligned} \quad (8)$$

$$\begin{aligned} x_n(k+d-1) &= f_{n-2}(\mathbf{x}(k), \mathbf{u}_{k-2}) \\ &\quad + g_{n-2}(\mathbf{x}(k), \mathbf{u}_{k-2})u_{k-1} \end{aligned}$$

จากนั้นเปลี่ยนตัวแปรสแตต ดังนี้

$$z_i(k) = x_i(k) \text{ สำหรับ } i = 1, 2, \dots, n$$

$$z_{n+i}(k) = x_n(k+i) \text{ สำหรับ } i = 1, 2, \dots, d-1$$

และกำหนดให้

$$\mathbf{z}(k) = [z_1(k), \dots, z_n(k), z_{n+1}(k), \dots, z_{n+d-1}(k)]^T$$

เป็นเวกเตอร์สแตต

สมการปริภูมิสแตตจะกลายเป็น

$$\begin{aligned} z_1(k+1) &= z_2(k) \\ z_2(k+1) &= z_3(k) \\ &\vdots \\ z_{n+d-1}(k+1) &= f_{n-1}(\mathbf{x}(k), \mathbf{u}_{k-1}) \\ &\quad + g_{n-1}(\mathbf{x}(k), \mathbf{u}_{k-1})u_k \\ &= \varphi(\mathbf{z}(k)) + \Gamma(\mathbf{z}(k))u_k \\ y(k) &= z_n(k) \end{aligned} \quad (9)$$

ระบบสมการ (9) สามารถเขียนให้อยู่ในรูปแบบของสมการดิฟเฟอเรนซ์ได้ดังนี้

$$y_{k+d} = F(\boldsymbol{\theta}_k) + G(\boldsymbol{\theta}_k)u_k \quad (10)$$

โดยที่

$$\begin{aligned} \boldsymbol{\theta}_k &= [\mathbf{x}(k), \mathbf{u}_{k-1}]^T \\ &= [x_1, \dots, x_n, u_{k-d+1}, \dots, u_{k-1}]^T \\ &= [y_{k-n+1}, \dots, y_k, u_{k-d+1}, \dots, u_{k-1}]^T \end{aligned}$$

พิจารณาสมการ (10) ถ้าให้กฎการควบคุมแบบป้อนกลับ (feedback control law) หรืออินพุต  $u_k$  คือ

$$u_k = \frac{r_k - F(\boldsymbol{\theta}_k)}{G(\boldsymbol{\theta}_k)} \quad (11)$$

ความไม่เป็นเชิงเส้นและพลวัตของระบบจะถูกกำจัดและจะได้แบบจำลองของระบบปิดเป็นสมการทางพีชคณิตที่มีความสัมพันธ์คือ เอาต์พุตที่เวลา  $k+d$  เท่ากับสัญญาณอ้างอิงที่เวลา  $k$

$$y_{k+d} = r_k \quad (12)$$

จากระบบปิด (12) เราสามารถควบคุมทางเดินได้โดยให้  $r_k$  เป็นสัญญาณทางเดินอ้างอิงซึ่งจะให้เอาต์พุตที่มีเวลาหน่วงเท่ากับ  $d$

พิจารณา zero dynamics ของระบบ (9) เมื่อให้สัญญาณควบคุม (11) โดยกำหนดให้สัญญาณอ้างอิง  $r_k$  เป็นศูนย์ จะได้ระบบ (13) ซึ่งจะเห็นว่าพลวัตของ  $z_i$  สำหรับ  $i = 1, \dots, n-1$  มีเสถียรภาพ ดังนั้นระบบเป็น minimum phase

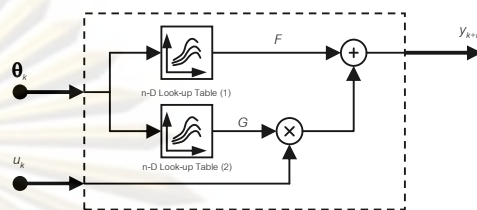
$$\begin{aligned} z_1(k+1) &= z_2(k) \\ z_2(k+1) &= z_3(k) \\ &\vdots \\ z_{n-1}(k+1) &= 0 \end{aligned} \quad (13)$$

### 3. ระบบจำลองของระบบ

การหาแบบจำลองของระบบพลวัตเพื่อนำมาใช้คำนวณสัญญาณควบคุมแบบป้อนกลับ ในบทความนี้ได้ใช้การจำลองระบบจากอินพุตเอาต์พุตที่ได้จากการทดลอง โดยจะประมาณให้อยู่ในรูปของแบบจำลองตารางค้นหา (look-up table model) ซึ่งมีความเหมาะสมกับระบบที่มีความไม่เป็นเชิงเส้นสูงสามารถใช้งานได้ง่ายและมีวิธีการคำนวณที่ไม่ซับซ้อน [10,11] ร่วมกับการประมาณค่าพารามิเตอร์โดยใช้ตัวกรองคาลมานซึ่งเป็นเทคนิคการประมาณค่าที่ถูกพัฒนาขึ้นมาจากวิธีความแปรปรวนน้อยที่สุดในรูปปริภูมิสแตต ให้มีขั้นตอนการคำนวณแบบวิธีเรียกซ้ำ [15,16] ในการหาเอกลักษณ์ของระบบ ดังนี้

พิจารณาระบบ (10) เมื่อ  $\theta_k$  คงที่ ณ จุดใดๆ จะพบว่าฟังก์ชัน  $F(\theta_k)$  และ  $G(\theta_k)$  จะมีค่าคงที่ด้วย เนื่องจากระบบไม่เปลี่ยนแปลงตามเวลา ดังนั้นแบบจำลองตารางค้นหาของระบบ (10) จึงถูกออกแบบให้ประกอบด้วยตารางค้นหาสองตารางโดย

แต่ละตารางมีมิติเท่ากับจำนวนตัวแปรในฟังก์ชัน  $F(\theta_k)$  และ  $G(\theta_k)$  หรือเท่ากับขนาดของ  $\theta_k$  แบบจำลองจะเป็นดังรูปที่ 1



รูปที่ 1 แบบจำลองตารางค้นหาสำหรับระบบ (10)

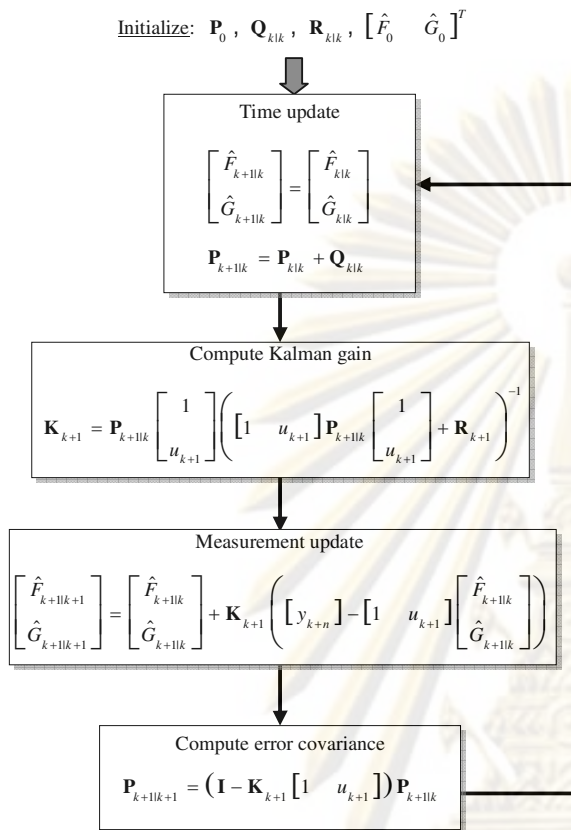
ในส่วนของวิธีการประมาณค่า  $F(\theta_k)$  และ  $G(\theta_k)$  ของแบบจำลอง จะใช้ตัวกรองคาลมานเป็นตัวประมาณค่า โดยจะประมาณค่า  $F$  และ  $G$  เป็นจุดๆ รอบจุด  $\theta_k$  คงที่ใดๆ ซึ่ง  $F$  และ  $G$  มีค่าคงที่และแบบจำลองของระบบจะอยู่ในรูปแบบเชิงเส้น

พิจารณาระบบ (10) ในรูปสแตตเสปซ ณ จุด  $\theta_k$  คงที่ สำหรับตัวกรองคาลมาน

$$\begin{aligned} \begin{bmatrix} F_{k+1} \\ G_{k+1} \end{bmatrix} &= \begin{bmatrix} F_k \\ G_k \end{bmatrix} + \mathbf{w}_k \\ y_{k+n} &= \begin{bmatrix} 1 & u_k \end{bmatrix} \begin{bmatrix} F_k \\ G_k \end{bmatrix} + \mathbf{v}_k \end{aligned} \quad (14)$$

โดยที่ สัญญาณรบกวนของกระบวนการ  $\mathbf{w}$  และสัญญาณรบกวนของค่าการวัด  $\mathbf{v}$  เป็น zero-mean Gaussian white noise process ที่มีเมตริกซ์ความแปรปรวนร่วมกึ่งบวกแน่นอน (positive semi-definite covariance matrix)  $\mathbf{Q}$  และ  $\mathbf{R}$  ตามลำดับ

ขั้นตอนการคำนวณของตัวกรองคาลมานจะเป็นแบบวิธีเรียกซ้ำดังรูปที่ 2 โดยที่  $\mathbf{P}$  เป็นเมตริกซ์ความแปรปรวนของค่าความคลาดเคลื่อน (covariance matrix of error) และ  $\mathbf{K}$  เป็นเมตริกซ์เกนคาลมาน (Kalman gain matrix) ซึ่งเมื่อได้แบบจำลองของระบบที่มีความแม่นยำเพียงพอแล้ว ก็สามารถนำค่า  $F(\theta_k)$  และ  $G(\theta_k)$  ไปใช้ในการควบคุมได้



รูปที่ 2 ขั้นตอนการคำนวณในการประมาณค่า  $F$  และ  $G$  โดยใช้ตัวกรองคาลมาน

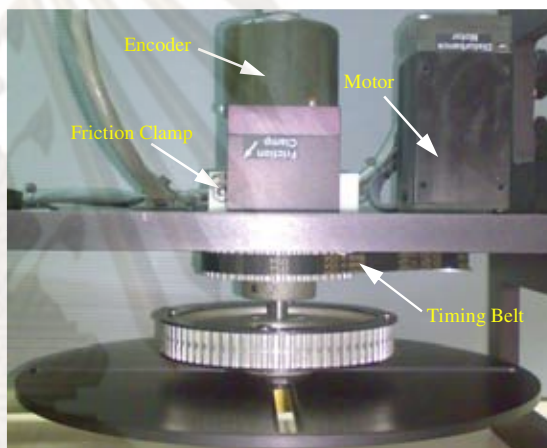
#### 4. ระบบจานหมุนไม่เชิงเส้น

ส่วนระบบไม่เชิงเส้นที่ใช้ทดลองเพื่อแสดงให้เห็นถึงศักยภาพของตัวควบคุม คือระบบจานหมุน Educational Control Products (ECP) model 220 ดังแสดงในรูปที่ 3ก โดยระบบมีกลไกที่ทำให้สามารถปรับโมเมนต์ความเฉื่อยและอัตราทดได้ นอกจากนี้ยังสามารถจำลอง แรงเสียดทาน ความยืดหยุ่น (Drive flexibility) และแบ็กแล็ช (backlash) ชุดทดลองจะประกอบด้วยจานหมุนสองจาน จานหมุนเล็ก (input disk) ใช้เป็นอุปกรณ์สร้างสัญญาณตำแหน่งอ้างอิงในเวลาจริง ขณะที่จานหมุนใหญ่ (pendulum disk) เป็นระบบไม่เชิงเส้นที่ต้องการควบคุม โดยมอเตอร์ที่ใช้ขับจานหมุนเป็น brushless DC servo motor ซึ่งใช้งานร่วมกับเอ็นโค้ดเดอร์ความละเอียด 4000 PPR และใช้

ตัวควบคุมคือ Matlab® xPC Real time Controller ในการทดลองควบคุมทางเดินในเวลาจริง ดังรูป 3ข



(ก) ระบบทางกล



(ข) รายละเอียดของระบบทางกล



(ค) Matlab® xPC Real time Controller

#### รูปที่ 3 ระบบจานหมุน ECP model 220

จานหมุนใหญ่ซึ่งเป็นระบบไม่เชิงเส้นที่ต้องการควบคุม จะถูกติดตั้งอย่างที่แกนของจานหมุนเพื่อสร้างแรงเสียดทานแห้ง และติดมวลทองเหลืองบนจานหมุนเพื่อสร้างผลกระทบจากแรงโน้มถ่วงซึ่งไม่เป็นเชิงเส้น

โปรแกรมควบคุมที่ออกแบบบน Matlab® Simulink จะถูกนำไปใช้ในการควบคุมด้วย Matlab® xPC Real time target PC สำหรับการควบคุมทางเดินของจานหมุน ซึ่ง target PC ประกอบด้วย Pentium processor, RAM 100 MB, การ์ด AD 8133 และการ์ด AD 726 โดยใช้เวลาลุ่ม (sampling time) ที่ 0.001 วินาที

### 5. การนำมาใช้ในการควบคุม

แบบจำลองของระบบจานหมุนสามารถเขียนได้ดังนี้

$$\ddot{y}(t) + f(y(t), \dot{y}(t)) - mgl \sin(y(t)) = u(t) \quad (15)$$

โดยที่  $y$  คือตำแหน่งของจานหมุนหรือเอาต์พุต

$m$  คือมวลของตุ้มถ่วง

$f$  คือแรงเสียดทาน

$u$  คืออินพุต

ระบบ (15) เป็นระบบไม่เชิงเส้นอันดับสอง ซึ่งสามารถเขียนในรูปแบบเวลาไม่ต่อเนื่องได้เป็น

$$y_{k+1} = F(y_k, y_{k-1}) - G(y_k, y_{k-1})u_k \quad (16)$$

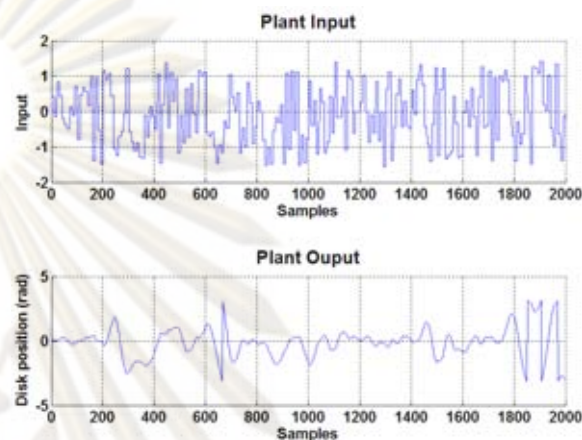
ดังนั้นสัญญาณควบคุมของระบบจะอยู่ในรูป

$$u_k = \frac{r_k - F(y_k, y_{k-1})}{G(y_k, y_{k-1})} \quad (17)$$

จากระบบ (16) การหาเอกลักษณ์ของระบบ จะใช้แบบจำลองที่ประกอบด้วยตารางค้นหา 2 มิติ (two-dimensional look-up table) สำหรับฟังก์ชัน  $F(y_k, y_{k-1})$  และ  $G(y_k, y_{k-1})$  โดยกำหนดให้อินพุตทั้งสองของตารางค้นหาอยู่ในช่วง  $-\pi$  เรเดียน ถึง  $\pi$  เรเดียน และกำหนดให้มีระยะห่างระหว่างจุดข้อมูลเท่ากับ  $\pi \times 10^{-2}$  เรเดียน ทั้งสองตาราง ดังนั้นตารางค้นหาแต่ละตารางจะมีขนาด  $201 \times 201$  จุดข้อมูล

การประมาณค่าฟังก์ชัน  $F$  และ  $G$  จะใช้สัญญาณอินพุตเอาต์พุตจากการเคลื่อนที่จริงจำนวน 120000 สัญญาณ ดังในรูปที่ 4 โดยให้อินพุตของสัญญาณเป็นแบบสุ่มที่มีความถี่เท่ากับ 5 – 20 เฮิรตซ์ เวลาสุ่มเท่ากับ 0.001 วินาที จากนั้นใช้ตัวกรองคาล

มานในการประมาณค่า  $F$  และ  $G$  ของแบบจำลองแบบออฟไลน์ โดยกำหนดค่าเริ่มต้นของตัวกรองคาลมานในแต่ละจุดข้อมูลเป็นดังนี้  $P_0 = 100I_2$ ,  $Q_0 = 0_{2,2}$ ,  $R_0 = 0.01$  และ  $[\hat{F}_0 \ \hat{G}_0]^T$  ได้จากการสุ่ม



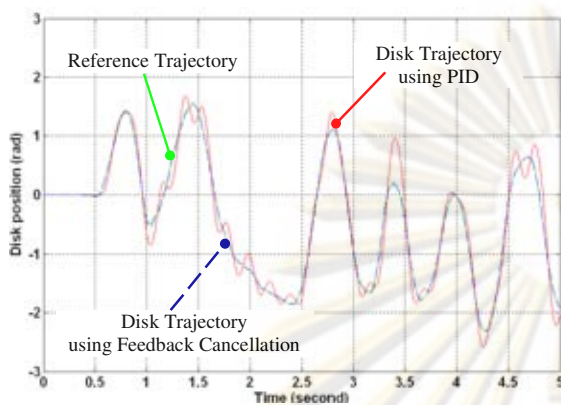
รูปที่ 4 สัญญาณอินพุตเอาต์พุต (บางส่วน)

### 6. ผลการทดลองควบคุม

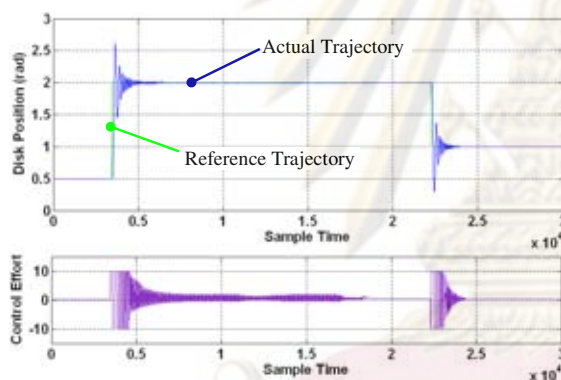
การทดลองจะแบ่งออกเป็นสองส่วน การทดลองแรกให้สัญญาณทางเดินอ้างอิงแบบต่อเนื่อง (smooth arbitrary trajectory) ที่ถูกสร้างขึ้นในเวลาจริงด้วยจานหมุนเล็ก ผลลัพธ์การควบคุม (รูปที่ 5) แสดงให้เห็นว่าระบบควบคุมมีความสามารถในการควบคุมทางเดินของระบบให้มีผลตอบสนองตรงกับสัญญาณทางเดินอ้างอิงที่ต้องการทั้งแอมพลิจูดและเฟส ในขณะที่ตัวควบคุมพีไอดีไม่มีศักยภาพเพียงพอในการควบคุมทางเดินของระบบ นั่นคือผลลัพธ์ที่ได้มีความคลาดเคลื่อนจากสัญญาณอ้างอิงและมีเฟสล่าช้า

การทดลองที่สองให้สัญญาณเส้นทางเดินอ้างอิงมีลักษณะเป็นขั้นบันไดซึ่งเป็นเส้นทางเดินแบบไม่ต่อเนื่อง ผลลัพธ์ของการควบคุม (รูปที่ 6) ปรากฏว่าเอาต์พุตเกิดการสั่นก่อนที่จะเข้าสู่สัญญาณเส้นทางเดินอ้างอิง เนื่องจากสัญญาณควบคุมที่จะนำระบบเข้าสู่ทางเดินมีค่าสูงจนเกินขีดจำกัดของฮาร์ดแวร์ ทำให้สัญญาณควบคุมอิมิตัวที่ค่าสูงสุดที่เป็นไปได้ อย่างไรก็ตามสัญญาณควบคุมจะมีคาลดลงเมื่อเมื่อระบบเข้าใกล้เส้นทางเดินอ้างอิง การสั่นจะ

ลดลงเมื่อสัญญาณควบคุมที่คำนวณได้มีค่าไม่เกินขีดจำกัดของฮาร์ดแวร์

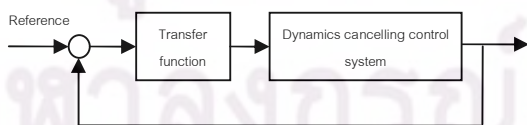


รูปที่ 5 ผลการควบคุมทางเดินแบบต่อเนื่องเปรียบเทียบการใช้ตัวควบคุมพีไอดี



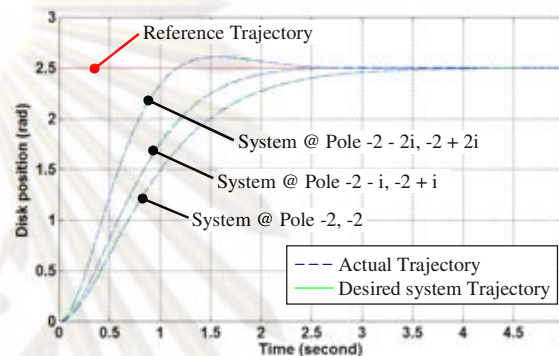
รูปที่ 6 ผลการควบคุมเมื่อสัญญาณอ้างอิงมีลักษณะเป็นขั้นบันได

วิธีการรับมือกับเส้นทางเดินอ้างอิงแบบไม่ต่อเนื่องสามารถทำได้โดยการปรับสัญญาณอ้างอิงให้มีลักษณะเป็นสัญญาณต่อเนื่องที่มีพลวัตตามที่กำหนด โดยให้สัญญาณอ้างอิงผ่านสมการฟังก์ชันถ่ายโอนที่มีพลวัตเท่ากับที่กำหนด ดังรูปที่ 7



รูปที่ 7 ระบบควบคุมเมื่อสัญญาณอ้างอิงไม่ต่อเนื่องทดลองควบคุมโดยกำหนดให้พลวัตของระบบปิดมีโพลของระบบปิดที่ตำแหน่งต่างๆ เป็น  $-2, -2 \pm i$  และ  $-2 \pm 2i$  ตามลำดับ ผลลัพธ์การควบคุม (รูปที่ 8)

แสดงให้เห็นว่าวิธีการนี้สามารถรับมือกับสัญญาณอ้างอิงที่มีลักษณะเป็นขั้นบันไดได้อย่างมีประสิทธิภาพ นั่นคือเอาต์พุตมีการตอบสนองเช่นเดียวกับระบบที่มีพลวัตเท่ากับที่กำหนด ดังนั้นวิธีการนี้จะเป็นผลทำให้ระบบควบคุมแบบปิดกลับมามีพลวัตเท่ากับที่กำหนด



รูปที่ 8 ผลการควบคุมเมื่อสัญญาณอ้างอิงมีลักษณะเป็นขั้นบันไดโดยการกำหนดโพลของระบบปิดที่ตำแหน่งต่างๆ

### 7. สรุป

บทความนี้ประสบความสำเร็จในการนำวิธีการควบคุมทางเดินด้วยการป้อนกลับเพื่อหักล้างพลวัตของระบบมาใช้ในการควบคุมระบบจริง จากผลการทดลองกับระบบจานหมุนแสดงให้เห็นว่า วิธีการควบคุมทางเดินด้วยการป้อนกลับเพื่อหักล้างพลวัตของระบบ สามารถควบคุมระบบไม่เชิงเส้นให้มีความแม่นยำตามที่สร้างขึ้นในเวลาจริงตามที่ต้องการได้อย่างสมบูรณ์ นอกจากนี้ยังสามารถรับมือกับสัญญาณอ้างอิงที่มีลักษณะเป็นขั้นบันได ทำให้ผลตอบสนองมีพลวัตตามที่กำหนดได้อีกด้วย

### 8. กิตติกรรมประกาศ

ผู้วิจัยขอขอบคุณ ห้องปฏิบัติการวิจัยหุ่นยนต์ และระบบอัตโนมัติ ภาควิชาวิศวกรรมศาสตร์เครื่องกล จุฬาลงกรณ์มหาวิทยาลัย ที่ได้ให้การสนับสนุนเครื่องมืออุปกรณ์และเงินทุนแก่งานวิจัยในครั้งนี้



### 9. เอกสารอ้างอิง

- [1] Setlur, P., Wagner, J.R., Dawson, D.M. and Braganza, D. (2006). A Trajectory Tracking Steer-by-Wire Control System for Ground Vehicles, *IEEE Transactions on Vehicular Technology*, vol. 55, no. 1, January 2006, pp. 76 – 85.
- [2] Rossi, C., Tilli, A. and Tonielli, A. (2000). Robust Control of a Throttle Body for Drive by Wire Operation of Automotive Engines, *IEEE Transactions on Control Systems Technology*, vol. 8, no. 6, November 2000, pp. 993 – 1002.
- [3] Yokokohji, Y. and Yoshikawa, T. (1994). Bilateral Control of Master-Slave Manipulators for Ideal Kinesthetic Coupling-Formulation and Experiment, *IEEE Transactions on Robotics & Automation*, vol. 10, no. 5, October 1994, pp. 605 – 620 DC.
- [4] Kamalzadeh, A. and Erkorkmaz, K. (2006). Accurate tracking controller design for high-speed drives, *International Journal of Machine Tools & Manufacture*, vol. 47, December 2006, pp. 1393 – 1400.
- [5] Erkorkmaz, K. and Altintas, Y. (2001). High speed CNC system design Part III: high speed tracking and contouring control of feed drives, *International Journal of Machine Tools & Manufacture*, vol. 41, 2001, pp.1637-1658
- [6] Middleton, R.H. and Goodwin, G.C. (1988). Adaptive computed torque control for rigid link manipulations, *Systems and Control Letters*, vol. 10, 1988, pp. 9 – 16.
- [7] Slotine, J.E. and Weiping, L. (1991). *Applied Nonlinear Control*, Prentice-Hall, Englewood Cliffs.
- [8] Goodwin, G.S. and Sin, K.S. (1984). *Adaptive Filtering: Prediction and Control*, Prentice-Hall, Englewood Cliffs.
- [9] Astrom, K.J. and Wittenmark, B. (1989). *Adaptive Control*, Addison-Wesley, Reading, MA.
- [10] Stamm, K. (1996). Description, Identification and Compensation of Nonlinearities by Means of Look-up-Tables, paper presented in *the proceeding of the 1996 IEEE International Symposium on computer-Aided Control System Design*, Dearborn, Michigan, USA
- [11] Nelles, O. (2001). *Nonlinear System Identification: From Classical Approaches to Neural Networks and Fuzzy Models*, Springer, Berlin.
- [12] Chen, F.C. and Khalil, H.K. (1995). Adaptive Control of a Class of Nonlinear Discrete-Time Systems Using Neural Networks, *IEEE Transactions on Automatic Control*, vol. 40, no. 5, may 1995, pp. 791 – 801.
- [13] Kulakowski, B.T., Gardner, J.F. and Shearer, J.L. (2007). *Dynamic Modeling and Control of Engineering Systems*, 3<sup>rd</sup> edition, Cambridge University Press, New York.
- [14] วิบูลย์ แสงวีระพันธุ์ศิริ (2548). การควบคุมระบบพลศาสตร์, พิมพ์ครั้งที่ 2, สำนักพิมพ์แห่งจุฬาลงกรณ์มหาวิทยาลัย, กรุงเทพฯ.
- [15] Aidala, V. (1977). Parameter estimation via the kalman filter, *IEEE Transactions on automatic control*, vol. 22, June 1977, pp. 471 – 472.
- [16] Ljung, L. (1999). *System identification theory for the user*, 2<sup>nd</sup> edition, Prentice-Hall, New Jersey.
- [17] Monaco, S. and Normand-Cyrot, D. (1987). Minimum-phase nonlinear discrete-time system and feedback stabilization, paper presented in *the proceeding of the 26<sup>th</sup> IEEE conference on decision and control*, Los Angeles, California, USA.

## ประวัติผู้เขียนวิทยานิพนธ์

นายระชะชัย วิศวารศิลป์ เกิดเมื่อวันที่ 8 ตุลาคม พ.ศ. 2528 ที่จังหวัดเชียงราย สำเร็จ การศึกษาระดับปริญญาวิศวกรรมศาสตรบัณฑิต สาขาวิชาวิศวกรรมเครื่องกล คณะ วิศวกรรมศาสตร์ จุฬาลงกรณ์มหาวิทยาลัย ในปีการศึกษา 2549 และเข้าศึกษาต่อในหลักสูตร วิศวกรรมศาสตรมหาบัณฑิต สาขาวิชาวิศวกรรมเครื่องกล คณะวิศวกรรมศาสตร์ จุฬาลงกรณ์ มหาวิทยาลัย ในปีการศึกษา 2550



ศูนย์วิทยทรัพยากร  
จุฬาลงกรณ์มหาวิทยาลัย